

وزارة التعليم والبحث العلمي
MINISTÈRE DE L'ENSEIGNEMENT ET DE LA RECHERCHE SCIENTIFIQUE

1ER

ECOLE NATIONALE POLYTECHNIQUE

DEPARTEMENT : GENIE CIVIL

PROJET DE FIN D'ETUDES

SUJET

POLYCLINIQUE DE MATERNITE
(R + 6)

Proposé par :
BEREP

Etudié par :
A. ACHACHI
N. NACER

Dirigé par :
Melle. DJILLALI



PROMOTION : JUIN 1984

Démerciements

- Pour terminer à remercier vivement notre formatrice
Melle DJILLALI pour tous ses conseils et son aide
si efficace.
- Pour terminer aussi à témoigner notre gratitude à
M^E HAFIDI et M^E BONÉVILLE pour leur aide
et leurs conseils judicieux.
- Notre sympathie et profonde reconnaissance à tous
les membres de l'Atelier du PÉDEP en particuliers MM^{es}:
HADDOUTHE, SAMIA, BOUAAD, EL HADI, FAZID, NACERA,
BOBY, ainsi que MM^{es}: LOHAL, BOUHERRA et MOUHOUD.
- Nos remerciements à tous les enseignants qui ont contribué
à notre formation.
- Notre respect aux membres du jury qui nous a
l'honneur d'apprécier notre modeste travail.

- ACHACHI & NACER -

- DE DI ET CÉS .

je dédie ce mémoire de fin d'études à :

- Mon père qui est mort pour que vive l'Algérie
- Ma mère, mon frère et un soeur tous vivants.
- Ma femme et mes enfants : Said, Mohamed et Lamia
- Mes beaux parents et leurs enfants grands et petits.
- Ma belle sœur et son époux, à mon beau frère mon ami dont je cite : Hamed BOUACHELAGUEM

Hamed DALI

Pour leurs enseignements et leur aide.

- ACHACHI Areghi .

je dédie ce modeste travail à :

- Mes très chers parents
- Mes frères et soeurs
- Ma grande mère
- tous mes amis et à tous ceux qui me sont chers

Nacer - Nacer .

- SOMMAIRE -

CHAP. I : INTRODUCTION

- Présentation de l'ouvrage 1
- Caractéristiques des Matériaux 2
- Prédimensionnement des éléments 6

CHAP. II : CALCUL DES ELEMENTS

- Acrotère 13
- Planchers 16
- Escalier 42

CHAP. III : ETUDE AU SEISME

- Calcul des rigidité 53
- Etude Dynamique 63
- Calcul des Caractéristiques Géométriques . . . 82
- Calcul au Seisme 86
- Vérification au renversement 91

CHAP. IV : ETUDE AU VENT 92

CHAP. V : CALCUL DES EFFORTS HORIZONTAUX 97

CHAP. VI : CALCUL DES EFFORTS VERTICAUX 118

CHAP. VII : COMBINAISON DES CHARGES 128

CHAP. VIII : FERRAILLAGE DES PONTEAUX 142

CHAP. IX : FERRAILLAGE DES POTEAUX 161

CHAP. X : FONDATIONS 178

CHAPITRE : I

- INTRODUCTION -

- Présentation de l'Ouvrage.
- Caractéristiques Mécaniques des Matériaux.
- Prédimensionnement.

- 1.1 - Présentation de l'ouvrage -

Le projet qui nous a été confié par le B.E.R.E.P consiste à étudier les éléments résistants d'une polyvalentine R+G étages qui sera implantée dans une zone de moyenne sismicité.

Les dimensions du bâtiment sont les suivantes :

Largeur totale : 19,60 m

Largeur totale : 26,15 m

Hauteur totale (Accotement comprise) : 23,35 m.

Hauteur d'étage : 8,20 m

Départure : le bâtiment est entouré par des portiques longitudinaux et transversaux ; le couplissage se fait en maçonnerie.

Planchers : les planchers de la terrasse sont à coquillages (16+4), ceux de l'étage étant constitués par des dalles pleines et des caps, caps ; le plancher du PDC est entièrement en dalle pleine de 18 cm.

Étaliers : les étaillers sont construits en béton armé et leur réalisation s'effectuera étage par étage afin de limiter l'empilement des échelles.

Maçonnerie : toute la maçonnerie sera constituée en brique, briques, les murs extérieurs sont à double élévation séparées par un vide d'environ 5 cm, les murs intérieurs sont des élévations de déclivité de 10 cm d'épaisseur.

Révêtement : revêtement pour les planchers et les étaillers.
l'écaillage dans les salles d'eau.

Caux de travail du sol : le rapport du sol pose et utiliser des pieux pour arriver au bon sol. (8m). La force portante est estimée à 25 bars.

- 1.2 CARACTÉRISTIQUES MÉCANIQUES DES MATERIAUX

1.2.1 - BÉTON :

Il est dosé à 350 kg/m³ de CPA 325 et sujet à un contre-attenué.

- le couvercle des granulats : 5-15

- résistance nominale de compression à 28 jours : $\sigma'_{28} = 275 \text{ kg/cm}^2$

- résistance nominale de traction à 28 jours : $\delta_{28} = 20,7 \text{ kg/cm}^2$.

Contrainte de compression admissible (CCPA C8 Art. 9, 4)

$$\bar{\sigma}'_b = \alpha \cdot \beta \cdot \gamma \cdot \delta \cdot \sigma'_{28} \quad \text{avec } \sigma'_{28} = 275 \text{ kg/cm}^2$$

α : dépend de la classe du ciment utilisé ($\alpha = 1$ pour CPA 325).

β : dépend de l'efficacité du contre-attenué : $\beta = 5/6$ (contre-attenué)

γ : dépend des épaisseurs relatives des éléments et des dimensions des granulats.

pour $C_g : 5/15$, $\gamma = 1$.

δ : dépend de la nature de la sollicitation.

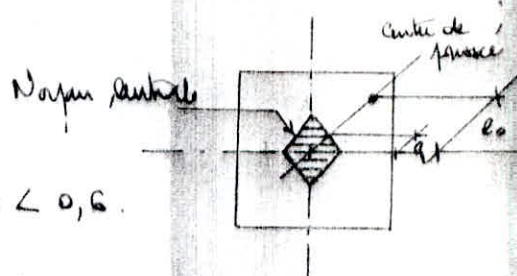
$\delta = 0,3$ en flexion simple.

$\delta = 0,6$ flexion simple

en flexion composite :

$$\delta = \begin{cases} 0,3 \left(1 + \frac{e_0}{3e_1} \right) & \text{si } \delta \leq 0,6, \\ 0,6 & \text{si } \delta \geq 0,6. \end{cases}$$

où : e_0 désigne l'excentricité de la force extérieure par rapport à la section du béton seul.



e₁: rayon vecteur de même signe que e₀, du moyen central de cette même section dans le plan radial passant par le centre de pressé.

ε : dépend de la forme de la section et de la position de l'axe neutre; en compression simple $\varepsilon=1$ quelle est la forme de la section.
 $0,5 \leq \varepsilon < 1$ pour les autres axes.

- En outre pour les sollicitations du 2^e genre les facteurs des contraintes sont majorés de 50% ($\times 1,5$).

1.2.3.1) valeurs des contraintes :

1. - Compression simple :

$$\bar{\sigma}_{b_0}' = 1 \times \frac{5}{6} \times 0,3 \times 1 \times 275 = 68,5 \text{ kg/cm}^2.$$

et sous SP₁ (sollicitation du 1^e genre) $\bar{\sigma}_{b_0}' = 68,5 \text{ kg/cm}^2$.

et sous SP₂ (" du 2^e genre) $\bar{\sigma}_{b_0}' = 102,75 \text{ kg/cm}^2$

2. - Traction :

$$\bar{\sigma}_b = \alpha \cdot \beta \cdot \gamma \cdot \bar{\sigma}_{2B}' \quad (\text{C.C.B.A. BB Art. 8-5})$$

α, β, γ définies précédemment.

$$\theta = 0,018 + \frac{2,1}{\bar{\sigma}_{2B}'} \quad \text{où } \bar{\sigma}_{2B}' \text{ est en bars.}$$

$$\theta = 0,0258 \quad \text{d'où } \bar{\sigma}_b = 1 \times \frac{5}{6} \times 1 \times 0,0258 = 5,8 \text{ bars.}$$

$$\text{et sous SP}_1: \bar{\sigma}_b = 5,9 \text{ kg/cm}^2.$$

$$\text{et sous SP}_2: \bar{\sigma}_b = 8,85 \text{ kg/cm}^2.$$

3. - Flexion simple :

En flexion simple ou en flexion avec traction pour les sections rectangulaires et les sections en Té dont l'axe neutre tombe

dans la table : sous SP₁, $\bar{\sigma}_b' = 137 \text{ kg/cm}^2$.

sous SP₂, $\bar{\sigma}_b' = 205,5 \text{ kg/cm}^2$.

1.2.3 - ACIERS :

On distingue 2 catégories d'aciérs :

Aciérs doux (couche lisse) de nuance Fe E 24

$$\sigma_{en} = 2350 \text{ kg/cm}^2 \text{ et } 2400 \text{ kg/cm}^2$$

contrainte admissible : $\bar{\sigma}_a = \frac{2}{3} \sigma_{en} = 1600 \text{ kg/cm}^2$ sous SP₁.

$$\bar{\sigma}_a = \sigma_{en} = 2400 \text{ kg/cm}^2 \text{ sous SP}_2.$$

- Aciérs à Haute Antécécance (H.A) de nuance Fe E 40.

$$\sigma_{en} = 4200 \text{ kg/cm}^2, \phi \leq 20 \text{ mm.}$$

$$\sigma_{en} = 4000 \text{ kg/cm}^2, \phi > 20 \text{ mm.}$$

contrainte admissible :

$$\phi \leq 20 \begin{cases} \bar{\sigma}_a = 2800 \text{ kg/cm}^2 \text{ sous SP}_1, \\ \bar{\sigma}_a = 3200 \text{ kg/cm}^2 \text{ sous SP}_2. \end{cases}$$

La contrainte de traction est imposé par la condition de non fissuration (CCPA 69 Art. 4.9) :

La valeur maximale de la contrainte des armatures est limitée à la plus grande des valeurs suivantes en bars :

$$\sigma_1 = k \cdot \eta \cdot \frac{\bar{w}_g}{\phi + 10 \bar{w}_g}, \quad \sigma_2 = 2,4 \sqrt{\frac{k \eta}{\phi} \cdot \bar{\sigma}_b}$$

σ_1 : étant la contrainte de fissuration systématique.

σ_2 : étant la contrainte de fissuration accidentelle.

k : coefficient minima de plissement des consignes de la fissuration sur le comportement de l'acierage.

$K = 1,5 \cdot 10^6$ pour une fissuration peu visible

$K = 1 \cdot 10^6$ si la fissuration est préjudiciable

$K = 0,5 \cdot 10^6$ pour une fissuration très préjudiciable.

η : coefficient de fissuration

- $\eta = 1$ pour les cordes lisses.

- $\eta = 1,6$ pour les cordes H.A.

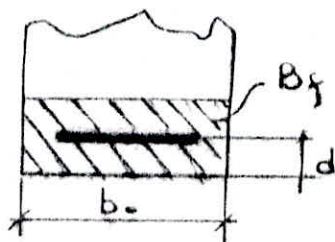
ϕ : diamètre en mm de la plus grosse des baines tendues.

w_f : pourcentage de fissuration définie par: $w_f = \frac{A}{B_f}$

où A représente la section totale des baines tendues.

B_f désigne la section d'enveloppe des baines tendues

$$\text{soit } B_f = 2 d \cdot b.$$



1.3 - PRÉDIMENSIONNEMENT DES ÉLÉMENTS

1- Poutres :

La portée maximale des poutres est $L = 6,00\text{m}$. dans le sens transversal ; elle est de $l = 4,30\text{m}$ dans le sens longitudinal.
nous prédimensionnerons largeur et hauteur des poutres selon

les conditions suivantes : $\begin{cases} 0,4h_t \leq b \leq 0,7h_t \\ \frac{l}{15} \leq h_t \leq \frac{l}{10} \end{cases}$

- poutres principales :

$$\frac{600}{15} \leq h_t \leq \frac{600}{10} \quad \text{soit } 40 \leq h_t \leq 80 \text{ cm}$$

on choisira $h_t = 50\text{ cm}$ du Niveau VII à I
et $h_t = 60\text{ cm}$ du Niveau IV à I

$0,4h_t \leq b \leq 0,7h_t$, on choisira $b = 30\text{ cm}$.

- poutres secondaires :

$$\frac{430}{15} \leq h_t \leq \frac{430}{10} \quad \text{soit } h_t = 50\text{ cm}$$

$0,4h_t \leq b \leq 0,7h_t$ on adoptera $b = 30\text{ cm}$.

2 - Poteaux :

Pour prédimensionner les poteaux, nous allons d'abord procéder à une descente de charge pour déterminer la charge permanente et la surcharge renvoyant à chaque poteau de l'ossature.

Le secteur est déterminer à partir de la formule suivante :

$$S = \frac{N}{\sigma_{b0}^{'}} , \text{ où } N \text{ est l'effort de compression et } \sigma_{b0}^{'} \text{ la contrainte de compression du béton.}$$

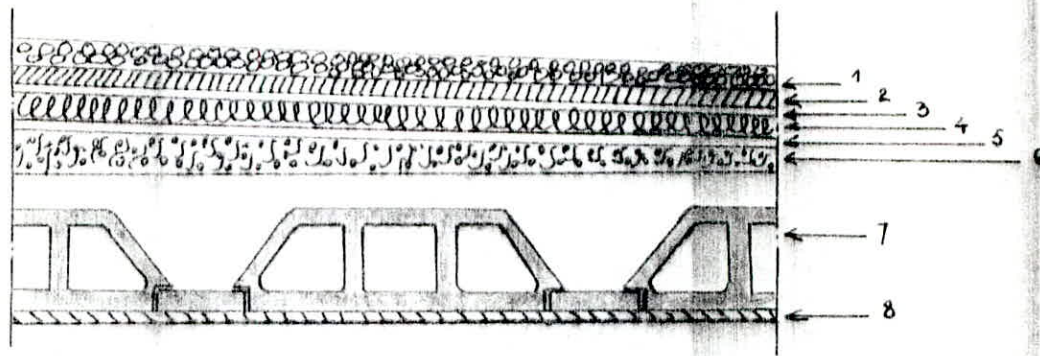
Les calculs sont faits en admettant que les poutres reposent simplement sur les poteaux ; cette façon de procéder sous-estime un peu la charge des poteaux centraux, mais par contre surcharge les poteaux de rive ; On peut en tenir compte d'une façon admissible en majorant la charge sur les poteaux centraux de 10 à 15% et en minoyant celle des poteaux de rive de 5 à 10%.

On peut alors établir à l'échelle suivante les sections des poteaux de :

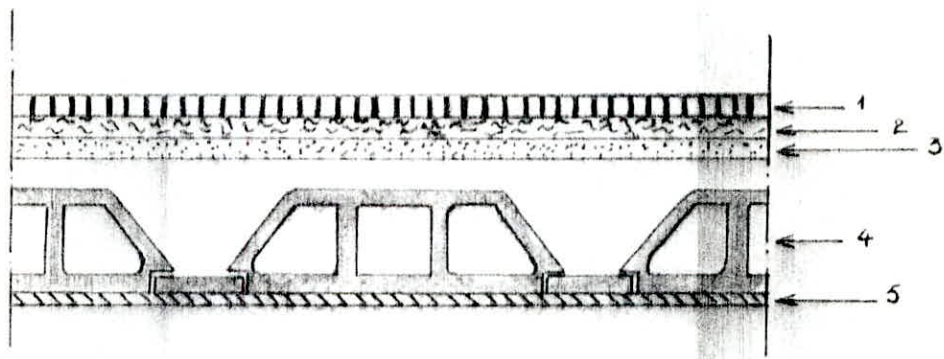
- Poteau de rive : $40 \times 40 \text{ cm.}$
- Poteau intermédiaire : $50 \times 60 \text{ cm.}$

- 1.3.2 CHARGES & SURCHARGES

- Plancher terrasse:



- Plancher étage courant:



- Plancher RDC:

En raison des fortes surcharges auxquelles il est soumis, ce dernier a été encastré entièrement en dalle pleine de 18 cm d'épaisseur; Le détail de prédimensionnement et de calcul sera donné plus loin.

Plancher terrasse (non Accessible)

- 5cm granit coulé 5/15	75 kg/m ²
- Etanchéité Multiconche	10 kg/m ²
- Forme de pente	200 kg/m ²
- Isolation thermique (brique 4cm)	13,5 kg/m ²
- Table de compression + flourdis (16+4)	265 kg/m ²
- Enduit en plâtre (1,5cm)	25,5 kg/m ²
	<u>G = 589 kg/m²</u>

charge: la terrasse étant inaccessible la surcharge d'exploitation sera prise égale à 100kg/m², d'où la charge positive par mètre, l'autre devant un plancher terrasse est de:

$$Q = G + 1,2P = 589 + 1,2 \times 100 = 709 \text{ kg/m}^2.$$

(A) La hauteur du flourdis est choisie suivant la condition de la limitation de la flèche (cc R.A 63).

$$h_t \geq \frac{l}{22,5} = \frac{4,35}{22,5} = 19,33 \text{ cm}$$

avec un plancher coûts coûts de 16+4.

- Plancher Etage encastré

Comme il a été indiqué dans la présentation de l'ouvrage, le plancher supporte une partie en dalle pleine (salle d'accouchement) et le reste des corps-vivants ; de ce fait nous calculerons charges et surcharges dans chaque partie :

- Partie corps-vivants

- Charge Permanente :

Carréage	44	kg/m ²
Mortier de pose (1cm)	20	kg/m ²
Sable (2cm)	34	kg/m ²
Isolation thermique	13,5	kg/m ²
Rouleau + table caissonné (16+4)	268,0	kg/m ²
Faux plafond	5	kg/m ²
Plâtre	75	kg/m ²

$$G = 456,5 \text{ kg/m}^2$$

$$P = 250 \text{ kg/m}^2$$

- Surcharge d'exploitation

Partie dalle pleine :

L'épaisseur de la dalle a été choisie selon la condition :

$$\frac{l}{40} \leq e \leq \frac{l}{30}, \quad l : \text{étant la plus grande portée de la dalle soit } l = 600 \text{ cm}$$

15 ≤ e ≤ 20 cm , on choisira une dalle de 18 cm d'épaisseur

poids propre de la dalle : $2500 \times 0,18 = 450 \text{ kg/m}^2$

- Charge permanente :

Les mêmes éléments rentrent dans la composition de cette partie du plancher mis à part le fûts du cap's creux qui sera remplacé par celui de la dalle pleine ; la charge permanente sera alors $G = 641,5 \text{ kg/m}^2$.

- surcharge d'exploitation : c'est une salle d'accueillement : $P = 300 \text{ kg/m}^2$.
- Murs extérieurs :

Deux épaisseur totale est de 25 cm : ils sont composés de deux briques creuses de 10 cm et un vide d'isolation thermique et phonique de 5 cm. Ils sont recouverts d'un enduit de bâtiard avec peinture de vinyl à l'intérieur et à l'extérieur (15 mm).

$$\text{- enduit (15 mm)} : (1500 \times 0,015) \times 2 = 33 \text{ kg/m}^2$$

$$\text{- briques} : \dots \dots \dots \quad 192 \text{ kg/m}^2$$

sont au total

$$\underline{231 \text{ kg/m}^2}$$

- Plancher R.D.C :

Le plancher rcp de chausse sera encastré sur dalle pleine, étant donné les forts surcharges (dalle de réunion, chambres d'équipements, réfectoire etc...)

de la même manière : $\frac{l}{40} \leq e \leq \frac{l}{30}$ il restera une épaisseur de dalle châssie égale à $\frac{40}{30} = 18$ cm.

comme le dernier ne comporte pas de faux plafond sa charge permanente est de $638,5 \text{ kg/m}^2$

- Surcharge d'exploitation :



$250 \text{ kg/m}^2 \rightarrow$ le reste

- Surcharge d'exploitation : Escalier

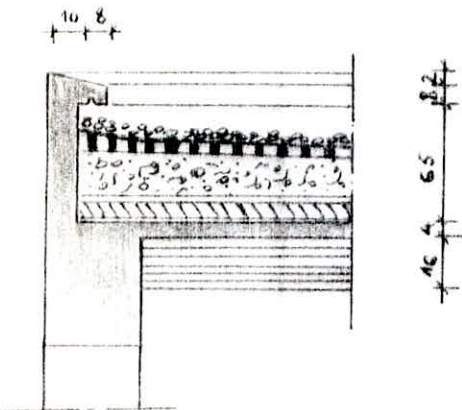
Le ouvrage étant un édifice public la surcharge passe au niveau de l'escalier et : 400 kg/m^2 .

CHAPITRE : II

- CALCUL DES ELEMENTS -

- Acrotère
- Planchers
- Escaliers

2.1 - CALCUL DE L'ACROTERE



L'Acrotere est assimilé à une corde

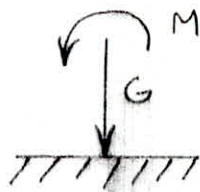
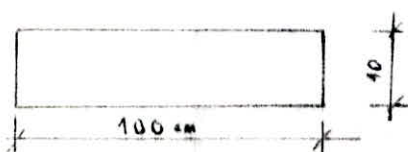
encastree dans le plancher terrasse ;

Elle est soumise à son poids propre (G) et à la surcharge (P) due à la main courante.

$$G = 0,75 \times 0,1 \times 2500 = 187,5 \text{ kg/m}$$

$$P = 100 \text{ kg/m}.$$

Pour le calcul de cet élément, on prend une section rectangulaire de dimensions $b \times h_t$; le calcul se fait en flexion uniaxiale par la méthode de P. CHADON.



• Le calcul se fait par ml.

Section rectangulaire : 100×10

$$\text{Effort Normal : } N = G = 187,5 \text{ kg/m}$$

$$\text{Moment produit par } P : M = 1,2 P \times h = 1,2 \times 100 \times 0,75 = 90 \text{ kg.m}$$

$$\begin{aligned} \text{Excentricité : } e &= \frac{M}{N} = \frac{90}{187,5} = 0,48 \text{ m} \\ e_1 &= \frac{h_t}{2} = \frac{0,10}{2} = 0,016 \text{ m} \end{aligned} \quad \left. \begin{array}{l} \text{In section} \\ \Rightarrow \text{est comprimée} \\ \text{Partiellement} \end{array} \right\}$$

- Calcul du moment fictif : $M_f = N \cdot f$

$$f = e + \frac{h_t}{2} - d = 0,48 + 0,10 - 0,02 = 0,51 \text{ m}$$

$$\text{d'où } M_f = 187,5 \times 0,51 = 95,625 \text{ kg.m/m.}$$

$$\mu = \frac{M_0}{\bar{\sigma}_a \cdot b h^2} = \frac{15 \times 95,625 \cdot 10^5}{2800 \times 100 \times 100} = 0,008 \rightarrow \begin{cases} k = 109 \\ t = 0,9597 \end{cases}$$

$$\bar{\sigma}_b' = \frac{2800}{109} = 25,63 < 137 \text{ kg/cm}^2, \text{ les aciers comprimés ne sont pas nécessaires.}$$

- Calcul des armatures tendues :

$$A_1 = \frac{M_0}{\bar{\sigma}_a \cdot 2h} = \frac{95,625 \cdot 10^5}{2800 \times 0,9597 \times 100} = 0,44 \text{ cm}^2$$

$$\text{d'où : } A = A_1 - \frac{N}{\bar{\sigma}_a} = 0,44 - \frac{187,5}{2800} = 0,373 \text{ cm}^2.$$

- Vérifications des fonctions :

- Condition de non fragilité (Art. 52 CCPA 68) :

$$A \geq 0,69 \cdot b \cdot h \cdot \frac{\bar{\sigma}_b}{\bar{\sigma}_{en}}, \text{ avec } \begin{cases} \bar{\sigma}_b = 5,9 \text{ kg/cm}^2 \\ \bar{\sigma}_{en} = 4200 \text{ kg/cm}^2 \\ h = 8 \text{ et } b = 100 \end{cases}$$

$$A \geq \frac{0,69 \times 100 \times 8 \times 5,9}{4200} = 0,76 \text{ cm}^2$$

La section trouée plus haut n'a pas d'acier suffisante, nous vérifions celle au bas pour la condition de non fragilité soit $A = 0,78 \text{ cm}^2$ en châssis 4T6 / ml ($\approx 1,13 \text{ cm}^2$) espacés de 25 cm.

Vérification de la fissuration :

le pourcentage d'acier est : $\tilde{\omega}_f$

$$\tilde{\omega}_f = \frac{A}{P_{sf}} = \frac{1,13}{2 \times 100 \times 2} = 0,002825$$

$$k = 10^6, \eta = 1,6 \text{ et } \phi = 6 \text{ mm.}$$



$$\sigma_1 = \frac{\kappa \eta \cdot w_1}{\phi + 10w_1} = \frac{10^6 \times 1,6 \times 0,002825}{1 + 10 \times 0,002825} = 732,63 \text{ kg/cm}^2$$

$$v_{2,1} = 2,4 \sqrt{\frac{\kappa \kappa_0 \delta_b}{\phi}} = 2,4 \sqrt{\frac{1,6 \cdot 10^6 \times 5,9}{1}} = 3010 \text{ kg/cm}^2$$

$$\max(v_1, v_2) = 3010 \text{ kg/cm}^2 > 2800 \text{ kg/cm}^2$$

La fissuration est ainsi vérifiée.

- Vérification de l'effort dans les aciers :

la section d'armature à l'enclavement doit résister à

$$\text{d'effort } F_a = T + \frac{M}{\gamma} = 120 - \frac{95,6 \times 10^5}{\gamma \cdot \gamma} = -1240,07 \text{ t}$$

Les armatures ne sont donc soumises à aucun effort de traction.

Vérification au séisme :

Les acieries sont soumises à des sollicitations horizontales de direction quelconque agissant seules : $F_H = \delta \cdot W$

- δ : coefficient sismique local uniforme donné par : $\delta = 0,20 + 0,10d$.

- $w = 6$, poids propre de l'acierie.

$$\delta = 1,6 \quad \text{et } \delta \cdot w = 0,35$$

$$W = 0,1675 t/\text{ml}$$

$$\rightarrow F_H = 0,35 \times 0,1675 = 0,0656 t/\text{ml}$$

Petite valeur trouvée est faible par rapport à la surcharge

majeure : $F_H = 0,0656 t/\text{ml} < 1,2P = 0,120 t/\text{ml}$.

Donc en conclusion nous pouvons dire que l'acierie peut supporter cet effort F_H du séisme.

2.2 - CALCUL DES PLANCHERS

2.2.1 Plancher d'errasse:

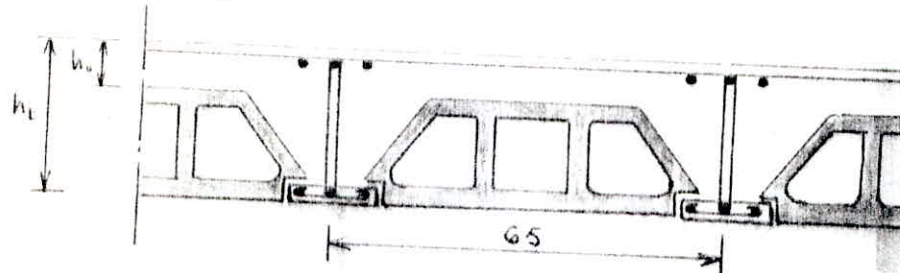
C'est un plancher à corps creux constitué par des poutrelles préfabriquées associées au corps creux.

- charge venant à ce plancher par unité de surface :

$$G + 1,2P = 580 + 1,2 \times 120 = 708 \text{ kg/m}^2$$

- charge venant aux poutrelles par mél.

$$q = 708 \times 0,65 = 460,95 \text{ kg}$$



Le principe de calcul des poutrelles se fait en 2 étapes

Etape (I) : Ainsi le calcul de la table de conception. dans le cas la poutrelle est considérée simplement appuyée ; elle supporte son poids propre, le poids du corps creux et la charge de l'errasse qui pose l'horizontale.

Etape (II) : Calcul de la poutrelle fine, travaillant comme une poutre continue. les charges et surcharges étant définies comme précédemment.

- Etape (I) :

$$\begin{aligned}
 \text{poids propre de la poutrelle : } & 0,12 \times 0,04 \times 2500 = 12 \text{ kg/m} \\
 \text{du corps creux : } & 95 \times 0,65 = 62 \text{ kg/m} \\
 \text{Surcharge : } & 1,2 \times 100 \times 0,65 = 178 \text{ kg/m} \\
 & \hline
 & 152 \text{ kg/m}
 \end{aligned}$$

- Effort maximum en tranché : $M_o = \frac{q \cdot l^2}{8} = \frac{152 \times 4,3^2}{8} = 351,3 \text{ kgm}$

- Effort tranchant maximum : $T = \frac{q \cdot l}{2} = \frac{152 \times 4,3}{2} = 326,8 \text{ kg}$

. Aciers tendus : $d = 2 \text{ cm}, h = h_f - d = 24 - 2 = 22 \text{ cm}$

$$\mu = \frac{A_s \cdot M}{\sigma_a \cdot b \cdot h^2} = \frac{15 \times 351,3 \cdot 10^2}{2800 \times 12 \times 22^2} = 3,92 \rightarrow \begin{cases} k = 1,2 \\ \varepsilon = 0,6914 \end{cases}$$

$$\sigma_b' = \frac{\sigma_a'}{k} = \frac{2800}{0,6914} = 4133,33 \text{ kg/cm}^2 > 137 \text{ kg/cm}^2$$

Cela signifie que les aciers demandés sont nécessaires, cependant on ne peut placer ces armatures du fait que la section de béton est trop faible ; il est donc nécessaire de prévoir un étaillage pour aider la poutrelle à supporter les charges avant le coulage de la table de compression.

- Etape (II) :

Calcul de la largeur de la table de compression (Art. 20.3 CEBM 63).

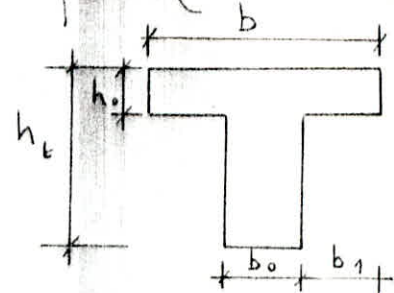
L : distance entre nœuds minimaux

$$\text{des poutrelles : } 65 - 12 = 53 \text{ cm}$$

l : portée de la poutrelle, entre nœuds

$$\text{des appuis : } 470 - 0,25 = 4,05$$

l_2 : distance entre points de moments nuls.



La largeur de la table de compression sera prise, conformément à l'article en vigueur, selon la plus restrictive des conditions suivantes :

$$b_1 = \frac{b - b_0}{2} \leq \frac{l}{2} \quad (\text{Art. 23.31})$$

$$b_1 = \frac{b - b_0}{2} \leq \frac{l}{10} \quad (\text{Art. 23.32})$$

$$b_1 = \frac{b - b_0}{2} \leq \frac{2 d_x}{3} \quad (\text{Art. 23.33})$$

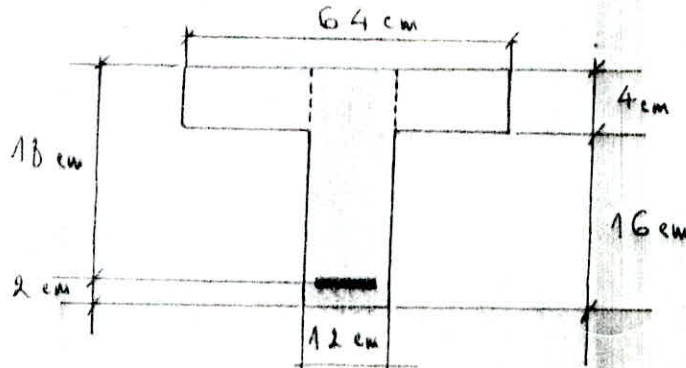
ce qui nous donne aux valeurs : $\left\{ \begin{array}{l} b_1 \leq \frac{53}{2} = 26,5 \text{ cm} \\ b_1 \leq \frac{40,5}{10} = 4,05 \text{ cm} \\ b_1 \leq \frac{2}{3} \sqrt{\frac{B M_x}{9}} = 56 \text{ cm} \end{array} \right.$

et il ressort que $b_1 = 26 \text{ cm}$.

d'autre part l'ancien barème (afin d'éviter les contraintes trop élevées au point de fracture).

$$\left. \begin{array}{l} 6,0 \leq b_1 \leq 8,0 \\ 24 \leq b_1 \leq 32 \end{array} \right\} \text{on prendra donc } b_1 = 26 \text{ cm}$$

$$\left. \right\} \text{d'où } b = 2b_1 + b_0 = 26 \times 2 + 12 = 64 \text{ cm}$$



→ Etude des Effets sur la poutrelle :

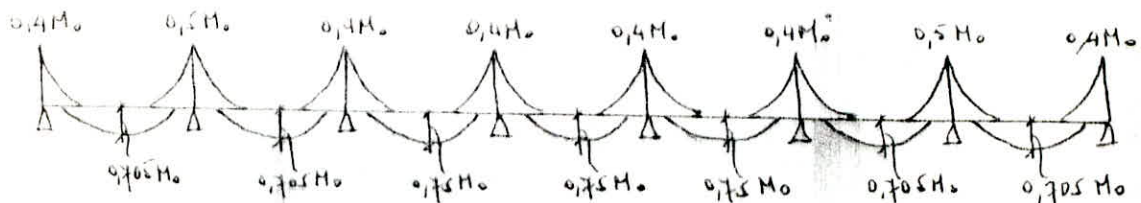
Sous notre plancher nous distinguons 2 types de poutrelles :

(1) Poutrelles à 7 travées.

(2) Poutrelles à 6 travées.

Le calcul des effets se fait par la méthode superposée et selon l'article 55 du CEBF 88 où que les conditions prémisses pour ce schéma sont vérifiées.

les moments se répartissent suivant le schéma ci-dessous :



en tenant dans chaque travée la condition :

$$M_t + \frac{M_w + M_e}{2} \geq 1,15 Mo$$

Etude du Type (1) :

Calcul des moments pour chaque travée,

- $l_1 = 4,05 \text{ m}$:

$$M_{o,1} = \frac{q l_1^2}{8} = \frac{461 \times 4,05^2}{8} = 945,2 \text{ kg-m}$$

$$\left\{ \begin{array}{l} M_w = 0,4 Mo = 378,08 \text{ kg-m} \\ M_e = 0,5 Mo = 472,6 \text{ kg-m} \\ M_L = 0,705 Mo = 666,36 \text{ kg-m} \end{array} \right.$$

$$T_1 = \frac{q l_1}{2} = \frac{461 \times 4,05}{2} = 933,52 \text{ kg.}$$

- $l_2 = 3,20 \text{ m}$:

$$M_{o,2} = \frac{q l_2^2}{8} = \frac{461 \times 3,20^2}{8} = 590,08 \text{ kg-m} \rightarrow \left\{ \begin{array}{l} M_w = 0,5 Mo = 295,04 \text{ kg-m} \\ M_e = 0,4 Mo = 206,08 \text{ kg-m} \\ M_L = 0,705 Mo = 416 \text{ kg-m} \end{array} \right.$$

$$T_2 = \frac{q l_2}{2} = \frac{461 \times 3,20}{2} = 737,6 \text{ kg.}$$

$$- l_3 = 0,35 \text{ m} :$$

$$M_{03} = \frac{q l_3^2}{8} = \frac{481 \times 0,35^2}{8} = 646,69 \text{ kg-m}$$

$$T = \frac{q l_3}{2} = \frac{481 \times 0,35}{2} = 172,95 \text{ kg}$$

hances intermédiaires : $\begin{cases} M_C = M_W = 0,4 M_{03} = 0,4 \times 646,69 = 258,67 \text{ kg-m} \\ M_E = 0,75 M_{03} = 485,01 \text{ kg-m} \end{cases}$

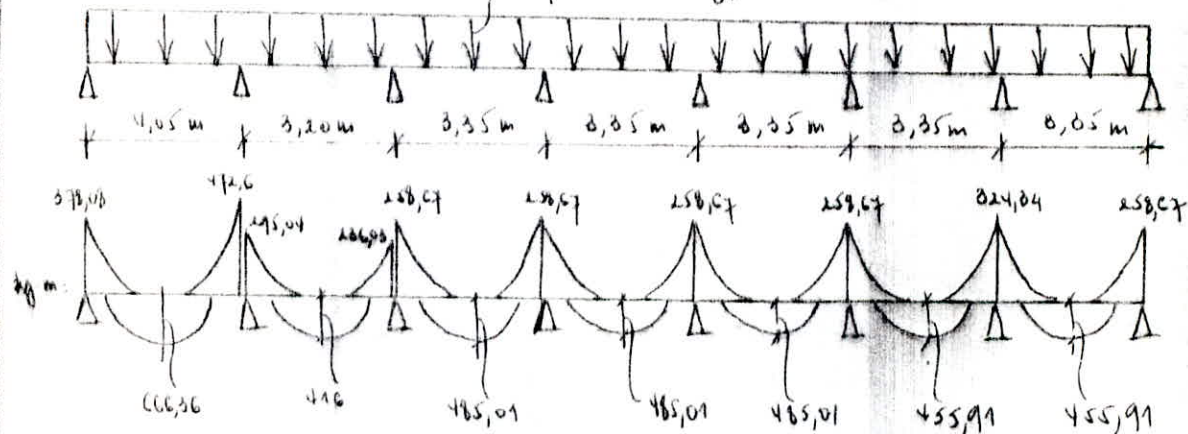
Écarté de rive :

$$\begin{cases} M_C = 0,4 M_{03} = 258,67 \text{ kg-m} \end{cases}$$

$$\begin{cases} M_W = 0,5 M_{03} = 323,34 \text{ kg-m} \end{cases}$$

$$\begin{cases} M_E = 0,75 M_{03} = 455,91 \text{ kg-m} \end{cases}$$

$$q = 461 \text{ kg/m}$$



- Fermetage des Pontilles : (Méthode CHARRON) :

accrétions inférieures : le moment maximum rencontré est :

$$M_{max} = 666,36 \text{ kg-m}$$

$$\mu = \frac{15 M_e}{S_A b h^2} = \frac{15 \times 666,36 \cdot 10^3}{1600 \times 64 \times 18} = 0,0172.$$

$$\begin{cases} \beta = \frac{b_o}{b} = \frac{12}{64} = 0,1875 \\ \delta = \frac{h_o}{h} = \frac{4}{18} = 0,222 \end{cases}$$

Les Abaqus donnent :

$$\alpha = 0,175, y = d\delta = 0,175 \times 18 = 3,15$$

$3,15 < 4 \text{ cm}$: 1^{re} neutre tombe dans la table de compression donc

en considérant la section rectangulaire fictive $b \times h_f$: $64 \times 20 \text{ cm}$.

$$M = 0,0772 \rightarrow \begin{cases} k = 71,3 \\ \xi = 0,9421 \end{cases}$$

$$A = \frac{M}{\xi_a \cdot \xi \cdot h} = \frac{0,0772 \cdot 30 \cdot 10^6}{2800 \times 0,9421 \times 18} = 1,4 \text{ cm}^2 \text{ en } 2T12 (2,26 \text{ cm}^2)$$

→ Armatures Supérieures:

- Le moment Maximum sur appuis : $M_a = -472,6 \text{ kg-m}$

La table de compression étant tendue, on néglige les 2 ailes dans les calculs. On aura une section rectangulaire de ($b \times h_f$): $42 \times 20 \text{ cm}$.

$$\mu = \frac{15 M_a}{\xi_a \cdot b \cdot h^2} = \frac{15 \times 472,6 \cdot 10^6}{2800 \times 42 \times 18^2} = 0,0651 \rightarrow \begin{cases} k = 32,5 \\ \xi = 0,8947 \end{cases}$$

$$A = \frac{472,6 \cdot 10^6}{2800 \times 0,8947 \times 18} = 1,648 \text{ cm}^2 \text{ on prendra } 1T12 (1,13 \text{ cm}^2)$$

→ vérifications :

1. - Condition de non fragilité : (CEN/TC 68 Art. 52)

$$\frac{A}{b \cdot h} \geq \psi_t \cdot \frac{\xi_b}{\xi_a} \left(\frac{h_f}{h} \right)^2$$

A : section d'armatures longitudinales tendues.

b : Largeur de la traverse.

ξ_b : entraîne de traction de référence du béton.

ξ_a : entraîne admissible de référence des aciers.

h_f, h : hauteur totale et hauteur utile de la pièce.

$\psi_t = \begin{cases} 0,58 & \text{aciers bons de laminage} \\ 0,54 & \text{aciers usinés.} \end{cases}$

$$\text{d'où : } A \geq \psi_t \cdot b \cdot h \cdot \frac{\xi_b}{\xi_a} \left(\frac{h_f}{h} \right)^2 = 0,54 \times 18 \times 18 \times \frac{58}{54} \times \left(\frac{20}{18} \right)^2 = 936 \text{ cm}^2$$

Cette condition est vérifiée.

2. - Vérification des entrainements :

- Alors (entraîné) : $A = 2,20 \text{ cm}^2$, $b = 64 \text{ mm}$, $h = 18 \text{ cm}$, $M_t = 666,36 \text{ kg/m}$

$$\bar{\omega} = \frac{A \times \bar{\omega}_0}{b \cdot h} = \frac{100 \times 1,18}{64 \times 18} = 0,196 \rightarrow \begin{cases} k = 54,8 \\ \xi = 0,9284 \end{cases}$$

$$\sigma_a = \frac{M_t}{A \cdot \xi \cdot h} = \frac{666,36 \cdot 10^6}{2,20 \times 0,9284 \times 18} = 1764,38 < 2800 \text{ kg/cm}^2$$

vérifié.

$$\sigma_b' = \frac{\sigma_a}{k} = \frac{1764,38}{54,8} = 32,2 < 137 \text{ kg/cm}^2$$

vérifié.

- Alors (sur appuis) : $A = 1,13 \text{ cm}^2$, $b = 12 \text{ cm}$, $h = 18 \text{ cm}$, $M_a = 472,67 \text{ kg/m}$

$$\bar{\omega} = \frac{100 \cdot A}{b \cdot h} = \frac{100 \times 1,13}{12 \times 18} = 0,523 \rightarrow \begin{cases} k = 31,1 \\ \xi = 0,8915 \end{cases}$$

$$\sigma_a = \frac{M}{A \cdot \xi \cdot h} = \frac{472,67 \cdot 10^6}{1,13 \times 0,8915 \times 18} = 2606,28 < 2800 \text{ kg/cm}^2$$

$$\sigma_b' = \frac{2606,28}{31,1} = 83,8 < 137 \text{ kg/cm}^2 \text{ OK!}$$

les entrainements sont donc parfaitement vérifiés.

3. - Résolution de l'équation de l'équilibre :

- En tenuillé : $\sigma_1 = \frac{k \eta}{\phi} \times \frac{\tilde{\omega}_f}{1 + 10 \tilde{\omega}_f}$, $\sigma_2 = 2,4 \sqrt{\frac{k \eta \sigma_b}{\phi}}$

$$\tilde{\omega}_f = \frac{A}{2 \cdot b \cdot h} = \frac{2,20}{48} = 0,047$$

$$\sigma_1 = 2,4 \sqrt{\frac{1,5 \cdot 10^6 \times 1,6 \times 5,9}{48}} = 2607 \text{ kg/cm}^2$$

$$\sigma_1 = \frac{1,5 \cdot 10^6 \times 1,6 \times 0,047}{48} = 6394,6 \text{ kg/cm}^2 > 2800 \text{ kg/cm}^2$$

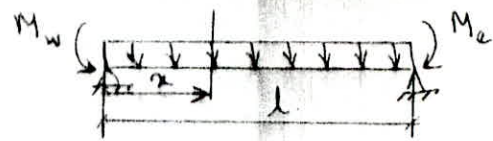
- Sur appuis :

$$\tilde{\omega}_f = \frac{1,13}{48} = 0,023, \quad \sigma_1 = \frac{1,5 \cdot 10^6 \times 1,6 \times 0,023}{48} = 3811,13 > 2800 \text{ kg/cm}^2$$

La fixation est vérifiée.

- Armatures transversales :

Calcul de l'effort tranchant.



$T_x = Q_x + \frac{M_w - M_e}{l}$, effort tranchant en un point quelconque d'Abcisse x.

$$T_A = \frac{q l}{2} + \frac{M_w - M_e}{l}, \quad T_B = -\frac{q l}{2} + \frac{M_w - M_e}{l}$$

$$l_1 = 1,05 \text{ m}$$

$$M_w = 376,06 \text{ kg.m}$$

$$M_e = 472,0 \text{ kg.m}$$

$$M_t = 868,68 \text{ kg.m}$$

$$l_2 = 3,20 \text{ m}$$

$$M_w = 295,04 \text{ kg.m}$$

$$M_e = 236,03 \text{ kg.m}$$

$$M_t = 416 \text{ kg.m}$$

$$l_3 = 3,35 \text{ m}$$

$$M_w = 256,67 \text{ kg.m}$$

$$M_e = 186,01 \text{ kg.m}$$

$$M_t = 323,34 \text{ kg.m}$$

$$M_w = 256,67 \text{ kg.m}$$

$$M_e = 323,34 \text{ kg.m}$$

$$M_t = 455,91 \text{ kg.m}$$

$$M_w = 323,34 \text{ kg.m}$$

$$M_e = 256,67 \text{ kg.m}$$

$$M_t = 455,91 \text{ kg.m}$$



$$T_A = \frac{q l}{2} + \frac{M_w - M_e}{l}, \quad T_B = -\frac{q l}{2} + \frac{M_w - M_e}{l}$$

$$\left. \begin{array}{l} T_A = \frac{469 \times 1,05}{2} + \frac{376,06 - 472,0}{1,05} = 910,18 \text{ kg.} \\ M_w = 376,06 \text{ kg.m} \\ M_e = 472,0 \text{ kg.m} \\ M_t = 868,68 \text{ kg.m} \end{array} \right\}$$

$$\left. \begin{array}{l} T_B = -\frac{469 \times 1,05}{2} + \frac{376,06 - 472,0}{1,05} = -956,06 \text{ kg.} \\ l_2 = 3,20 \text{ m} \end{array} \right\}$$

$$\left. \begin{array}{l} T_A = \frac{469 \times 3,20}{2} + \frac{295,05 - 236,03}{3,20} = 756,04 \text{ kg.} \\ M_w = 295,04 \text{ kg.m} \\ M_e = 236,03 \text{ kg.m} \end{array} \right\}$$

$$\left. \begin{array}{l} T_B = -\frac{469 \times 3,20}{2} + \frac{295,05 - 236,03}{3,20} = -719,15 \text{ kg.} \\ M_t = 416 \text{ kg.m} \end{array} \right\}$$

$$\left. \begin{array}{l} T_A = \frac{469 \times 3,35}{2} + \frac{256,67 - 256,67}{3,35} = 992,175 \text{ kg.} \\ M_w = 256,67 \text{ kg.m} \\ M_e = 256,67 \text{ kg.m} \end{array} \right\}$$

$$\left. \begin{array}{l} T_B = -992,175 \text{ kg.} \\ M_t = 323,34 \text{ kg.m} \end{array} \right\}$$

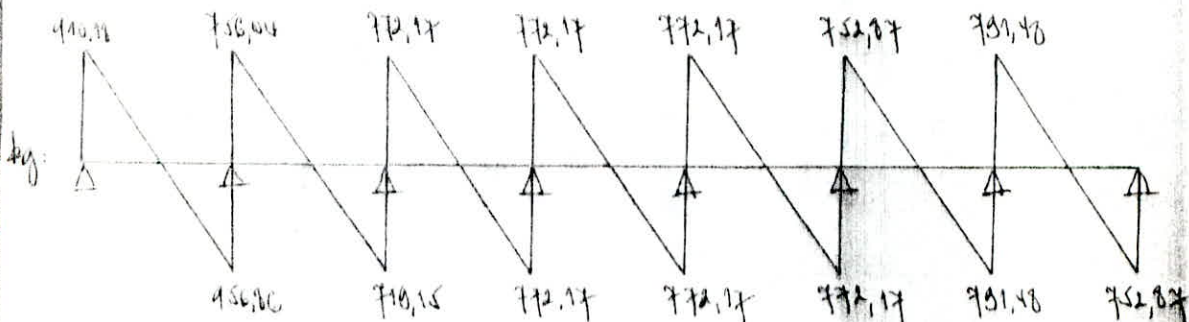
$$\left. \begin{array}{l} T_A = \frac{469 \times 0,05}{2} + \frac{256,67 - 323,34}{0,05} = 752,87 \text{ kg.} \\ M_w = 256,67 \text{ kg.m} \\ M_e = 323,34 \text{ kg.m} \end{array} \right\}$$

$$\left. \begin{array}{l} T_B = -\frac{469 \times 0,05}{2} + \frac{256,67 - 323,34}{0,05} = -711,46 \text{ kg.} \\ M_t = 416 \text{ kg.m} \end{array} \right\}$$

$$\left. \begin{array}{l} T_A = \frac{469 \times 3,35}{2} + \frac{323,34 - 256,67}{3,35} = 701,96 \text{ kg.} \\ M_w = 323,34 \text{ kg.m} \\ M_e = 256,67 \text{ kg.m} \end{array} \right\}$$

$$\left. \begin{array}{l} T_B = -\frac{469 \times 3,35}{2} + \frac{323,34 - 256,67}{3,35} = -752,92 \text{ kg.} \\ M_t = 455,91 \text{ kg.m} \end{array} \right\}$$

- disparition des effets tranchants :



- Calcul des armatures transversales : (Art. 58.3 CPTA 87)

Il y a nécessité d'installer les armatures transversales si :

$$C_b > \frac{3}{4} \bar{\delta}_b \quad \text{avec } C_b = \frac{T_{max}}{b \cdot z}, \quad T_{max} = 158,66 \text{ kg} \\ z = \frac{f}{3} \cdot h$$

$$C_b = \frac{158,66}{12 \times \frac{7}{9} \times 18} = 5,06, \text{ et } \frac{3}{4} \bar{\delta}_b = \frac{3}{4} \times 5,9 = 4,425 \text{ kg/cm}^2$$

donc : $5,06 \text{ kg/cm}^2 > 4,425 \text{ kg/cm}^2$ les armatures transversales sont nécessaires.

Sur appuis : $\bar{\delta}'_b = 63,8 + z / \text{cm}^2 > \bar{\delta}'_{b0} = 68,5 \text{ kg/cm}^2$.

donc $C'_b = \left(1,5 - \frac{\bar{\delta}'_b}{\bar{\delta}'_{b0}} \right) \bar{\delta}'_b = \left(1,5 - \frac{63,8}{68,5} \right) 5,9 = 10,33 \text{ kg/cm}^2$

$$C_b = 5,06 < 10,33 \text{ kg/cm}^2 \text{ donc vérifié}$$

vérification des facteurs :

$$\beta_{st} = \beta_{st} \cdot \gamma_{en}, \quad \gamma_{en} = 2+00 \text{ (acier doux)}$$

comme la section ne comporte pas de reprise elle betonnage

$$\beta_{st} = \text{Max} \begin{cases} 2/3 \\ 1 - \frac{e_L}{\bar{\delta}'_b} = \left(1 - \frac{5,06}{68,5} \right) = 0,804 \end{cases} \rightarrow \beta_{st} = 0,804$$

$$\gamma_{st} = 1,504 \times 2+00 = 2169,8 \text{ kg/cm}^2.$$

L'espacement t est donné par la formule :

$$t = A_t \cdot g \cdot b \cdot t$$

en choisissant un étais $\phi = 6$ dont $A_t = 0,58$

$$\text{on obtient } t = 0,58 \times 15,75 \times 2169,6 = 19,3 \text{ cm.}$$

0,58

- Espacement admissible :

D'après l'article 25.12 le RPIACB, l'espacement admissible est

$$\text{donné par : } \left\{ \begin{array}{l} \bar{t}_1 = h \left(1 - \frac{0,3 \cdot c_b}{\bar{c}_b} \right) \\ \bar{t}_2 = 0,2 \cdot h \end{array} \right.$$

$$\text{et } t \leq \min(\bar{t}_1, \bar{t}_2).$$

$$t_1 = 18 \left(1 - \frac{0,3 \times 5,06}{5,0} \right) = 13,38 \text{ cm}$$

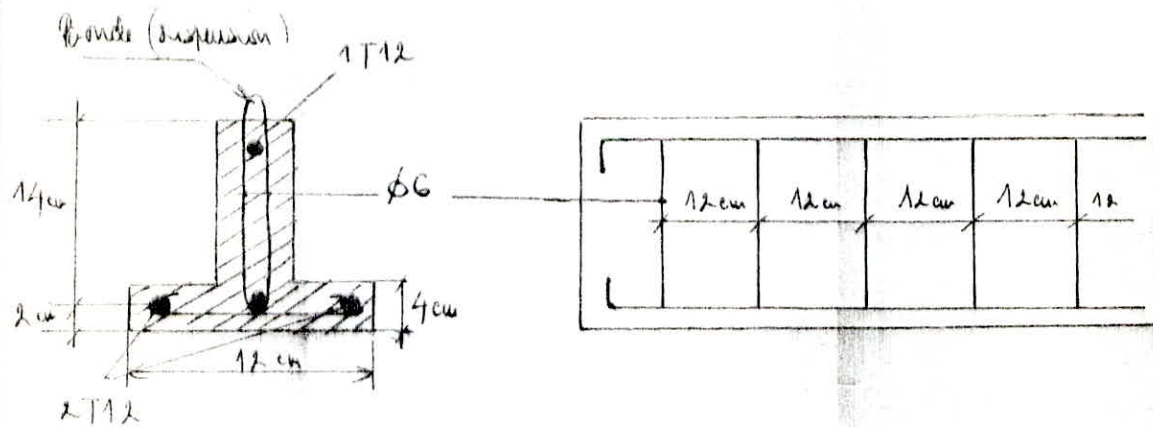
$$t_2 = 0,2 \times 18 = 3,6 \text{ cm.}$$

en choisissant pour espacement $t = 12 \text{ cm}$.

Puisque les poutrelles sont préfabriquées, et pour des facilités d'exécution, nous garderons cet espacement constant dans la poutrelle sauf si nous dispense de la séparation de la goutte.

On entendra cet espacement et ces armatures transversales pour toutes les autres travées conformément à l'article 25.12 le RPIACB qui précise l'usage d'armatures d'unes icônes au plus de la hauteur utile de la poutre même si l'effet tranchant est nul.

En définitif on pourra donner ce petit schéma
croquis:



- Influence de l'effet d'encaissant au calculage des appuis
(Art. 31/ le CHAGD)

on doit vérifier pour les armatures tendues que :

$$A_{\text{ta}} > T + \frac{M}{z}$$

Appuis	$M (\text{kg} \cdot \text{cm})$	$\frac{M}{z} (\text{kg})$	$T (\text{kg})$	$T + \frac{M}{z}$
(1)	$376,08 \cdot 10^2$	-2400,5	910,16	-1480,32
2.	$472,6 \cdot 10^2$	-3000,0	956,66	-2048,99
(3)	$258,07 \cdot 10^2$	-1642,84	772,17	-870,18
(4)	$258,07 \cdot 10^2$	-1642,84	772,17	-870,18
(5)	$258,07 \cdot 10^2$	-1642,84	772,17	-870,18
(6)	$258,07 \cdot 10^2$	-1642,84	772,17	-870,18
(7)	$223,84 \cdot 10^2$	-1416	951,48	-626,55
(8)	$258,07 \cdot 10^2$	-1642,84	752,87	-889,48

On remarque que $T + M < 0$ quelque soit l'appui sur lequel on se trouve ; par conséquent la force de traction due à l'effet tranchant est équilibrée par la force de compression induite par le moment négatif à l'appui.

- Anchorage des armatures : (EDNA 68 / Art. 30)

- hauteur d'adhérence admissible :

$$\bar{c}_j = 1,25 \psi_a^2 \cdot \bar{b}_L$$

$\psi_a = 1,5$ pour les barres à forte adhérence

$$\Rightarrow \bar{c}_j = 1,25 \times 1,5^2 \times 5,0 = 16,8 \text{ kg/cm}^2$$

- longueur de poulment désiré :

$$l_d = \frac{\phi \bar{b}_L}{\psi c_j} = \frac{\phi \times 160}{4 \times 16,8} = 4,2 \phi = 50,4 \text{ cm}$$

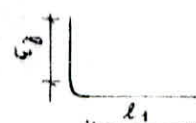
Comme il est impossible de réaliser cet ancrage dans une partie de largeur $b=30 \text{ cm}$, nous procéderons à un ancrage par enroule.

- ancrage par enroule :

$$l_1 = 30 - 2 - 5\phi - 1,5 = 20,5 \text{ cm}$$

$$l_3 = \frac{l_d - 2,11c - l_1}{1,89} = \frac{50,4 - 2,11 \times 6 - 20,5}{1,89} = 8,8 \text{ cm}$$

$$l_2 = 9 \text{ cm.}$$



Sérialisation de la compression de la bille d'Anast.

TV2	Poutrelle

La continuité dans la bretelle d'abut est égale à :

$$\sigma_b' = \frac{T\sqrt{2}}{b_0 \cdot c} = \frac{2T}{b_0 \cdot c}$$

où c désigne la largeur de l'appui, cette dernière est égale à :

puisque $\sigma_b' \geq \sigma_b$, il faut que $c \geq \frac{2T_{max}}{b_0 \cdot \sigma_b'}$

$$c \geq \frac{2 \times 956,96}{30 \times 8,95} = 0,93 \text{ cm} \quad \text{soit } c = 1,5 \text{ cm}$$

- Condition de non entraînement aux appuis :

épaisseur d'adhérence admissible : $\bar{\epsilon}_d = 2 \gamma_d \cdot \bar{\sigma}_b$

$$\bar{\epsilon}_d = 2 \times 1,5 \times 8,9 = 17,7 \text{ kg/cm}^2$$

épaisseur d'adhérence des bânes :

$$\epsilon_d = \frac{T}{\gamma \cdot P_{Pi}} \quad \text{où } P_{Pi} : \text{périmètre utile de la bâne considérée.}$$

$$\gamma = \rho / g$$

$$\epsilon_d = \frac{956,96}{\frac{7(18) \times 3,14 \times 1,2}{8}} = 16,12 \text{ kg/cm}^2 < \bar{\epsilon}_d = 17,7 \text{ kg/cm}^2$$

donc la condition de non entraînement des bânes aux niveaux des appuis est vérifiée.

. Vérification de la flèche. (Art. 58,4 LCPA 68)

l'épaisseur des planchers à coquilles creux doit être telle que leur déformation reste suffisamment faible pour ne pas nuire à l'aspect et à l'utilisation de la construction ; si les deux facteurs sont vérifiés on peut se dispenser de donner une justification de la rigidité des planchers.

Les 3 conditions de l'article étaté sont les suivantes:

$$1. \frac{h_e}{l} \geq \frac{1}{22,5} \text{ soit } \frac{20}{405} = 0,049 \geq \frac{1}{22,5} = 0,044 \text{ donc vérifiée}$$

$$2. \frac{h_e}{l} \geq \frac{1}{15} M_e \text{ soit } 0,049 \geq \frac{1}{15} \frac{0,705 M_e}{M_e} = 0,047 \text{ donc vérifiée}$$

$$3. \frac{A}{b \times h} \leq \frac{36}{5em} \text{ soit } \frac{2,26}{12 \times 18} = 0,009 \leq \frac{36}{4200} = 0,01 \text{ vérifié aussi.}$$

Ferraillage de la Table de l'antre (Art. 58 ; cfr p. 63)

Des armatures sont utiles dans la mesure où :

elles limitent les risques de fissuration par retrait

elles permettent de résister aux effets de charges appliquées sur des surfaces existante

elles réalisent aussi un effet de répartition entre nervures voisines.

Armatures perpendiculaires aux nervures.

L'écartement entre nervure (65 cm) étant compris entre 50 et 60 cm

A section d'armature sera déterminé en cm^2/ml on aura :

$$A_1 \geq 0,02 \cdot \ln \left(\frac{2180}{6em} \right) = 0,02 \times 65 \times \frac{2180}{4200} = 0,668 \text{ cm}^2$$

L'écartement peut être limité à 20 cm selon l'Art. 58/2 cfr p. 63

on prendra alors 5 T.S / ml ont $A = 0,981 \text{ cm}^2/\text{ml}$.

Armatures parallèles aux nervures :

$$A_2 \geq \frac{A_1}{2} = \frac{0,668}{2} = 0,334 \text{ cm}^2/\text{ml}$$

L'écartement étant limité à 30 cm soit $A = 3T.S / ml (0,589 \text{ cm}^2/\text{ml})$

Le ferraillage adopté pour la table sera un Treillis simple T.S 5/5.

- remarque :

En entamant le calcul des portilles, nous avons pris en
compte l'on distinguait dans notre plancher 2 types de portilles.

Le premier dont le calcul a été effectué et le second, dont

nous suggérons d'adopter le même renforcement car après

l'étude faite : } le moment maximum en tranché est $M_t = 485,01 \text{ kg.m}$

aux appuis et $M_d = -323,24 \text{ kg.m}$

ce qui justifie le choix de portille identique sur tout
plancher.

2.2.2 - PLANCHER ETAGE COURANT -

Nous étudierons séparément la partie en dalle pleine, et la partie en lofts creux :

- partie en lofts creux :

$$G = 456,5, P = 250 \text{ kg/m}^2 \text{ donc } Q = 456,5 + 1,2 \times 250 = 756,5 \text{ kg/m}^2$$

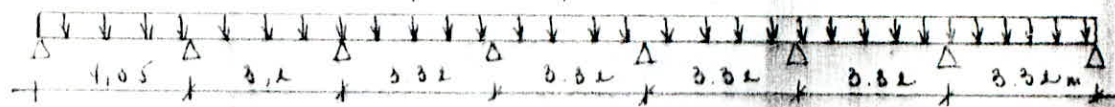
$$q = 756,5 \times 0,65 = 492,25 \text{ kg/m} \approx 492 \text{ kg/m}$$

on a dans le cas 3 types de portelles :

- Portelle à 7 travées avec grande portée : 4,05 m (1)
- Portelle à 6 travées avec portée : 3,32 m. (2)
- Portelle à 5 travées avec portée : 3,32 m. (3)

Du fait le calcul et le renouvelage des portelles du type (1), le reste se fera de la même manière.

$$q = 492 \text{ kg/m}$$

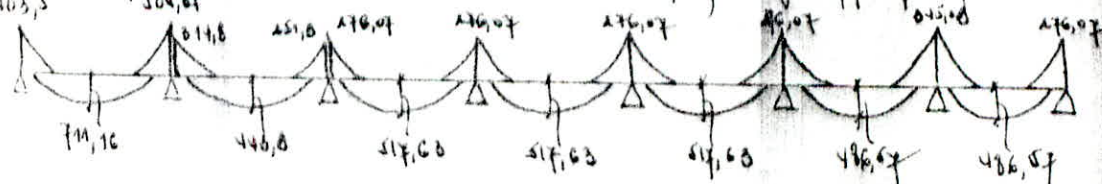


$$- l_1 = 4,05 \text{ m} : \left\{ \begin{array}{l} M_{0,1} = \frac{q l_1^2}{8} = \frac{492 \times 4,05^2}{8} = 1001,75 \text{ kg.m} \\ T_{0,1} = \frac{q l_1}{2} = \frac{492 \times 4,05}{2} = 996,3 \text{ kg} \end{array} \right.$$

$$- l_2 = 3,20 \text{ m} : \left\{ \begin{array}{l} M_{0,2} = \frac{q l_2^2}{8} = \frac{492 \times 0,20^2}{8} = 628,76 \text{ kg.m} \\ T_{0,2} = \frac{q l_2}{2} = \frac{492 \times 3,20}{2} = 787,1 \text{ kg} \end{array} \right.$$

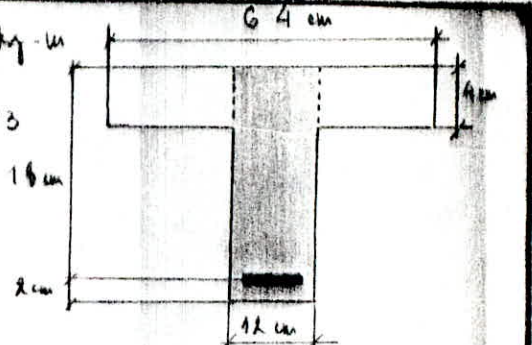
$$- l_3 = 0,85 \text{ m} : \left\{ \begin{array}{l} M_{0,3} = \frac{q l_3^2}{8} = \frac{492 \times 0,85^2}{8} = 650,18 \text{ kg.m} \\ T_{0,3} = \frac{q l_3}{2} = \frac{492 \times 0,85}{2} = 824,1 \text{ kg} \end{array} \right.$$

et on l'épure des moments selon la méthode simplifiée déjà appliquée plus haut :



- Armatures inférieures: $M_{\text{in}}^{\text{max}} = 211,16 \text{ kg-m}$

$$\mu = \frac{15 \text{ M}}{\bar{b}_a b \cdot h^2} = \frac{15 \times 211,16 \cdot 10^2}{2600 \times 84 \cdot 19^2} = 0,0193$$



$$\left\{ \begin{array}{l} p = \frac{b_0}{b} = \frac{12}{19} = 0,632 \\ e = \frac{h_0}{h} = \frac{4}{19} = 0,211 \end{array} \right.$$

$$\text{sat } \alpha = 0,170, \quad \gamma_f = d/h = 3,2 < 4 \text{ cm}$$

Zone d'axe neutre toute dans la table de compression; on extrait une autre la section rectangulaire de $84 \times 20 \text{ cm}$.

$$\mu = 0,0193 \rightarrow \left\{ \begin{array}{l} K = 69 \\ E = 0,0905 \end{array} \right.$$

$$A = \frac{M}{\bar{b}_a \cdot h} = \frac{211,16 \cdot 10^2}{2600 \times 0,0905 \times 19} = 1,5 \text{ cm}^2 \text{ sat } 2T12 (2,26 \text{ cm}^2)$$

- Armatures supérieures: $M_{\text{u}}^{\text{max}} = -504,37 \text{ kg-m}$ (rect. rect. $12 \times 20 \text{ cm}$)

$$\mu = \frac{15 \text{ M}}{\bar{b}_a b \cdot h^2} = \frac{15 \times 504,37 \cdot 10^2}{2600 \times 12 \times 19^2} = 0,06948 \rightarrow \left\{ \begin{array}{l} K = 31,2 \\ E = 0,0919 \end{array} \right.$$

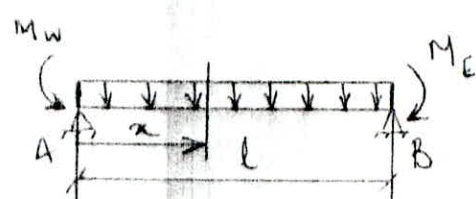
$$A = \frac{M}{\bar{b}_a \cdot h} = \frac{504,37 \cdot 10^2}{2600 \times 0,0919 \times 19} = 1,12 \text{ cm}^2 \text{ sat } 1T12 (1,13 \text{ cm}^2)$$

- Calcul des Armatures L'causées par l'effort tranchant:

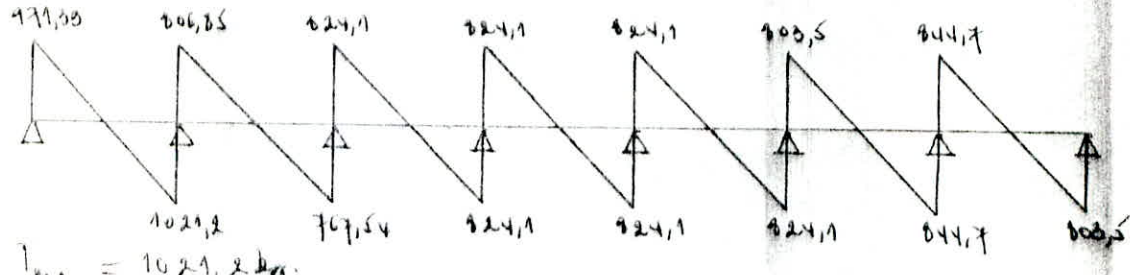
$$T_A = Q_A + \frac{M_w - M_c}{l}$$

$$\left\{ \begin{array}{l} T_A = \frac{q l}{2} + \frac{M_w - M_c}{l} \\ T_B = -\frac{q l}{2} + \frac{M_w - M_c}{l} \end{array} \right.$$

nos résultats les valeurs trouvées pour l'effort tranchant



sur le diagramme suivant :



$$l_{max} = 1021,2 \text{ kg/m}$$

$$\sigma_b = \frac{l}{b \cdot z} = \frac{1021,2}{12 \times 15,75} = 5,1 \text{ kg/mm}^2 > \frac{3}{4} \bar{\sigma}_b = 4,425 \text{ kg/mm}^2.$$

$$l = 12 \text{ m.}$$

On va ensuite refaire toute la vérification car on a opté pour le même renforcement que celui de la tenue et les efforts sont presque égaux.

- Etude et Fluage de la tache en dalle plate : -

$$\text{Fluage : } \sigma = 841,5 \text{ kg/mm}^2, P = 300 \text{ kg/mm}^2$$

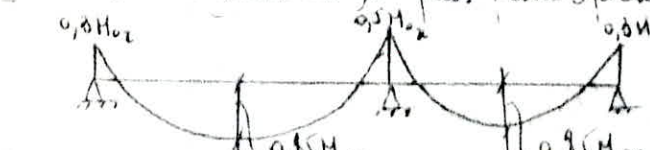
$$P = \sigma + 1,2P = 841,5 + 1,2 \times 300 = 1001,5 \text{ kg/mm}^2.$$

les conditions de l'article 87 et cpr 69 sont vérifiées, on applique donc la méthode simplifiée de calcul des planchers à charge négative en tenant dans de vérifier la relation :

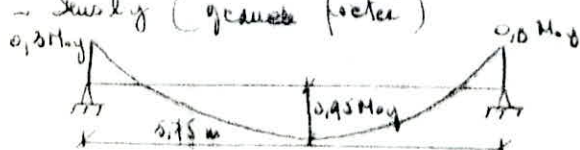
$$M_t + \frac{M_w + M_b}{2} \geq 1,25 M_o$$

les moments sont données par le schéma suivant :

sous l'x (sous la plus forte portée) :



- Dessus y (générale portée) :



- Calcul des moments isostatiques:

Il qui on a pu le lire sur le schéma, nous disposons de deux méthodes.

$$\text{Panneau (1)} : \quad 5,75 \times 4,05 \text{ m}, \quad f = \frac{4,05}{5,75} = 0,7 \rightarrow \begin{cases} \mu_x = 0,0726 \\ \mu_y = 0,55 \end{cases}$$

$$\begin{cases} M_{0x} = \mu_x \cdot q l^2 = 0,0726 \times 1001,5 \times 4,05 = 1195,89 \text{ kg-m/mel} \\ M_{0y} = \mu_y \cdot M_{0x} = 0,55 \times 1195,89 = 657,19 \text{ kg-m/mel.} \end{cases}$$

$$\text{Panneau (2)} : \quad 5,75 \times 8,20 \text{ m}, \quad f = \frac{8,20}{5,75} = 1,44 \rightarrow \begin{cases} \mu_x = 0,0811 \\ \mu_y = 0,55 \end{cases}$$

$$\begin{cases} M_{0x} = 0,0811 \times 1001,5 \times 8,20 = 934,26 \text{ kg-m/mel} \\ M_{0y} = 0,55 \times 934,26 = 510,21 \text{ kg-m/mel.} \end{cases}$$

		M_{0x} kg-m/mel	μ	k	δ	A cm ² /mél
sens x-x sur tout	Armatures superficielles	$0,55M_{0x}=1016,5$	0,0212	0,8,4	0,1862	2,12 mm ² ST 9
la petite partie	Armatures superficielles	$0,5M_{0x}=597,5$	0,0125	95,3	0,95	1,4 mm ² ST 8
sens y-y sur tout	Armatures superficielles	$0,55M_{0y}=621,9$	0,0125	95,3	0,95	1,4 mm ² ST 8
la grande partie	Armatures superficielles	$0,5M_{0y}=399,55$	0,00413	156	0,9709	0,45 mm ² ST 8

- vérifications :

- la condition de non fragilité (Art. 18, 21 CEBPAC 68) :

on doit respecter : $A_x \geq 0,69 \cdot b \cdot h \cdot \bar{t}_b (1-f)$

$$b = 100 \text{ mm}, \quad h = 18 \cdot 2 = 36 \text{ mm} \quad 5 \text{ mm} \quad h$$

$$\bar{t}_b = 5,9 \text{ kg/cm}^2, \quad f_{cu} = 4200 \text{ kg/cm}^2, \quad f = 0,7$$

$$A_x \geq \frac{0,69 \times 100 \times 36 \times 5,9}{4200} \cdot \frac{1-0,7}{2} = 1,003 \text{ cm}^2.$$

$$A_y \geq \frac{0,69 \cdot b \cdot h \cdot \bar{t}_b}{4} \cdot 1 + f = 0,659 \text{ cm}^2.$$

La condition de non fragilité est donc vérifiée.

- Vérification de la formuation :

$$\sigma_x = 2,4 \sqrt{\frac{M_e}{b \cdot h}} \leq b = 2,4 \sqrt{1,5 \cdot 1,6 \times 5,9} = 8192,99 > 2800 \text{ kg/cm}^2$$

la formuation est vérifiée.

Vérification de la flèche :

Il n'y aura pas nécessaire de donner une justification de la flèche si les 2 conditions sont vérifiées :

$$\frac{M_e}{l_a} > \frac{M_c}{204 l_a} \quad \text{et} \quad \frac{A}{b \cdot h} < \frac{20}{5 \text{ cm}}$$

$$M_e = 0,85 M_{ez} \quad \frac{l_a}{l_n} = \frac{1,9}{4,05} = 0,474 > 1,985 = 0,475 \text{ vérifié}$$

$$\tilde{w} = \frac{A}{b \cdot h} = \frac{2,51}{100 \times 16} = 0,0015 < \frac{20}{5 \text{ cm}} = 0,004 \text{ vérifié aussi.}$$

- Vérification des国民的es

suivant la plus petite portée

$$\tilde{w} = \frac{100 A}{b \cdot h} = \frac{100 \times 2,51}{100 \times 16} = 0,156 \rightarrow \begin{cases} k = 0,9352 \\ k = 62,3 \end{cases}$$

$$\sigma_a = \frac{M}{A \cdot b \cdot h} = \frac{1018,5 \cdot 10^3}{1,51 \times 0,9352 \times 16} = 2706,5 < 2800 \text{ kg/cm}^2$$

$$\sigma'_b = \sigma_a = 2706,5 = 43,44 < 187 \text{ kg/cm}^2$$

suivant la plus grande portée :

$$\tilde{w} = \frac{100 A}{b \cdot h} = \frac{100 \times 1,5}{100 \times 16} = 0,0937 \rightarrow \begin{cases} k = 82,5 \\ k = 0,9487 \end{cases}$$

$$\sigma_a = \frac{M}{A \cdot b \cdot h} = \frac{824,1 \cdot 10^3}{1,5 \times 0,9487 \times 16} = 2714,1 \text{ kg/cm}^2 < 2800 \text{ kg/cm}^2$$

$$\sigma'_b = \frac{\sigma_a}{k} = \frac{2714,1}{82,5} = 33,26 \text{ kg/cm}^2 < 187 \text{ kg/cm}^2.$$

- Effet de courbure et armatures transversales:

poids propre de la dalle: $P = 100,5 \times 5,95 \times 0,80 = 18429,5 \text{ kg}$.

$$\text{au milieu de } I_y: T_y = \frac{P}{3I_y + t_a} = \frac{18429,5}{2 \times 5,95 \times 0,2} = 1253,5 \text{ kg.}$$

$$\text{au milieu de } I_x: T_x = \frac{P}{3I_y} = \frac{18429,5}{3 \times 5,95} = 1068,25 \text{ kg.}$$

Intervalle de sécurité de l'aileron dans le béton:

$$C_b = T = \frac{1253,5}{b \cdot g} = \frac{1253,5}{100 \times 9,81} = 0,89 \text{ kg/cm}^2 < 1,15 \bar{\sigma}_b = 2,78 \text{ kg/cm}^2$$

où $\bar{\sigma}_b < \bar{\sigma}_s$

Les armatures transversales ne sont pas nécessaires.

- Influence de l'effet de courbure aux équations des appuis:

$$A\bar{\sigma}_a \geq T + \frac{M}{r}$$

$$\text{deux x-x: } 1253,5 - \frac{507,5 \cdot 10^6}{9,81 \cdot 0,8} = - 3017,2 \text{ kg} < 0$$

$$\text{deux y-y: } 1068,25 - \frac{107,32 \cdot 10^6}{9,81 \cdot 0,8} = - 3107 \text{ kg} < 0$$

Mais les équations place qui aucune répartition de la section d'armatures inférieures où leur charge n'est nécessaire.

2.2.3 - PLANCHER DE-CHAUSSEE

- Calcul des dalles (Art. 57 / rapport 68) :

Étant donné que les caissons fixés par cet article sont vérifiés en appliquant la méthode simplifiée.

ce qui signifie que dans le plancher (KDC) nous avons 2 types de panneaux I et II.

Panneau I ($5,75 \times 4,05$) surchargeé pour : a) 500 kg/m^2 } selon
" " " b) 250 kg/m^2 } l'usage

Panneau II ($3,25 \times 4,05$) surchargeé pour a) 500 kg/m^2 }
" " " b) 250 kg/m^2 }

$$\left. \begin{array}{l} f_{P_1} = \frac{4,05}{5,75} = 0,7 \\ f_{P_2} = \frac{3,25}{4,05} = 0,82 \end{array} \right\} \begin{array}{l} \text{dans les 2 cas: } 0,4 \leq f \leq 1. \text{ donc les} \\ \text{dalles du rez de chaussee portent dans 2 cas.} \end{array}$$

- Calcul des charges:

surecharge de 500 kg/m^2 : $G_1 = 638,5 + 1,2 \times 500 = 1236,5 \text{ kg/m}^2$.

" de 250 kg/m^2 : $G_2 = 638,5 + 1,2 \times 250 = 936,5 \text{ kg/m}^2$.

- Calcul des moments:

selon le sens Δx : les moments se distinguent comme suit:

appuis: rives = $0,5 M_x$; intermédiaires = $0,5 M_x$

l'avis: rives = $0,75 M_x$; intermédiaires = $0,75 M_x$

selon le sens Δy : cette répartition qui est conforme à la méthode simplifiée reste valable.

$$f_{P_1} = 0,7, M_{x_1} = 0,0725, M_{y_1} = 0,55$$

$$M_{x_2} = M_{y_1} \text{ et } M_{y_2} = M_{x_1}.$$

$$\begin{cases} M_{\text{axI(a)}} = 0,0728 \times 1286,5 \times 4,05^2 = 1476,5 \text{ kg-m} \\ M_{\text{yIz(a)}} = 812,07 \text{ kg-m} \end{cases}$$

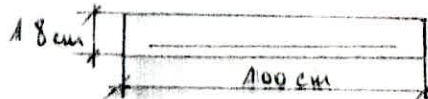
$$\begin{cases} M_{\text{axI(b)}} = 0,0728 \times 936,5 \times 4,05^2 = 1118,27 \text{ kg-m} \\ M_{\text{yIz(b)}} = 615 \text{ kg-m.} \end{cases}$$

$$\begin{cases} p_1 = 0,62 & , \mu_2 = 0,0593 & , \mu_3 = 0,714 \end{cases}$$

$$\begin{cases} M_{\text{axII(a)}} = 0,0593 \times 1206,5 \times 0,35^2 = 822,93 \text{ kg-m} \\ M_{\text{axII(b)}} = 0,0593 \times 936,5 \times 0,35^2 = 693,23 \text{ kg-m} \end{cases}$$

$$\begin{cases} M_{\text{yIIa}} = 589,53 \text{ kg-m} \\ M_{\text{yIIb}} = 444,99 \text{ kg-m.} \end{cases}$$

- Calcul des Armatures:



On prendra une bande de 1m

écartillage des poutres dans le sens x-x (petite portée):

	$M (\text{kg-m})$	μ	K	ξ	$A \text{ cm}^2/\text{m}$
Spantrennung H	Armat. Inf. $0,85 M_{\text{Ia}} = 1256$	0,0262	56	0,9287	3,01 mT CT 8
	Armat. Sup. $0,5 M_{\text{Ia}} = 826,52$	0,0193	67	0,989	2,2 mT 5 T 8
Fahrzeuge H	Armat. Inf. $0,85 M_{\text{Ib}} = 920,53$	0,0189	65,9	0,988	2,26 mT 5 T 8
	Armat. Sup. $0,5 M_{\text{Ib}} = 559,13$	0,0117	98,5	0,9517	1,3 mT 3 T 8
G. Vagons H	Armat. Inf. $0,85 M_{\text{IIa}} = 299,45$	0,0146	98,3	0,9463	1,05 mT 4 T 8
	Armat. Sup. $0,5 M_{\text{IIa}} = 499,44$	0,0086	104,5	0,9581	0,95 mT 2 T 8
Zugmaschine H	Armat. Inf. $0,85 M_{\text{IIb}} = 629,74$	0,011	91,5	0,9534	1,24 mT 3 T 8
	Armat. Sup. $0,5 M_{\text{IIb}} = 304,81$	0,0045	122	0,9035	0,72 mT 2 T 8

Fixage des panneaux dans le sens y-y (grande portée) :

		M (kg-m)	μ	K	\bar{z}	A cm^2/m
$\frac{3}{4}$	Armat. Inf.	$0,75 M_{IIa} = 690,26$	0,0144	78,7	0,9466	1,62 dmt ATB.
	Armat. Sup.	$0,5 M_{IIa} = 406,03$	0,0085	105	0,9583	0,84 dmt ATB.
$\frac{5}{6}$	Armat. Inf.	$0,75 M_{IIb} = 522,75$	0,0109	92,0	0,9583	1,22 dmt ATB.
	Armat. Sup.	$0,5 M_{IIb} = 307,5$	0,0084	123	0,9637	0,71 dmt ATB.
$\frac{7}{8}$	Armat. Inf.	$0,75 M_{IIIa} = 483,4$	0,0104	94,5	0,9543	1,16 dmt ATB.
	Armat. Sup.	$0,5 M_{IIIa} = 295,98$	0,0061	120	0,9645	0,68 dmt ATB.
$\frac{9}{10}$	Armat. Inf.	$0,75 M_{IIIb} = 376,24$	0,0109	110	0,96	0,68 dmt ATB.
	Armat. Sup.	$0,5 M_{IIIb} = 222,5$	0,0046	146	0,969	0,51 dmt ATB.

- Vérification

- Condition de la fragilité (Art. 19/21 ECMA 09)

$$\text{on doit vérifier } A_x \geq 0,69 \cdot b \cdot h \cdot \frac{\bar{s}_b}{\delta_{\text{en}}} \quad (\underline{l-f})$$

$$A_y \geq 0,69 \cdot b \cdot h \cdot \frac{\bar{s}_b}{\delta_{\text{en}}} \quad (1+f)$$

$$l-f = 0,7 \quad A_x \geq 0,69 \times 100 \times 76 \times \frac{\bar{s}_b}{4200} \quad (\underline{l-f}) = 1,06 \text{ cm}^2$$

$$A_y \geq 0,659$$

$$l-f = 0,62 \quad A_2 \geq 0,69 \times 100 \times 76 \times \frac{\bar{s}_b}{4200} \quad (\underline{l-f})$$

$$A_y \geq 0,7$$

On constate que quelque soit le sens et les dimensions du panneau, le renfort déterminé est supérieur à 1 cm^2 et de ce fait la condition est évidemment vérifiée.

- Limitation de la flexion (Art. extraits) :

$$\sigma_2 = 2,4 \sqrt{\frac{K \cdot n}{\phi}} \bar{\sigma}_b = 2,4 \sqrt{\frac{1,5 \times 1,05 \times 1,6 \times 5,9}{8}} = 3192,99 \text{ kg/cm}^2$$

$\sigma_2 = 3192,99 \text{ kg/cm}^2 > 2800 \text{ kg/cm}^2$ la flexion est vérifiée.

- Vérification de la flèche

$$\frac{h_0}{l_0} \geq \frac{M_e}{2 \cdot M_u} : \quad \frac{10}{405} = 0,044 \geq \frac{0,05}{20} = 0,0025$$

$$W_o = \frac{A}{b \cdot h} \leq \frac{d_0}{b \cdot h} : \quad \frac{3,01}{100 \times 16} = 0,0018 \leq \frac{d_0}{420} = 0,00476$$

Les 2 conditions étant vérifiées, conformément à l'article en question, nous nous dispensons de donner une justification de la flèche.

- Vérification des barreaux :

Maintenant la plus petite portée.

$$W = \frac{100 \cdot A}{b \cdot h} = \frac{100 \times 3,01}{100 \times 16} = 0,187 \rightarrow \begin{cases} K_2 = 56,0 \\ \beta = 0,9299 \end{cases}$$

$$\bar{\sigma}_a = \frac{M}{A \cdot z \cdot h} = \frac{1255 \cdot 10^2}{3,01 \times 0,9299 \times 16} = 2000 \leq \bar{\sigma}_a$$

$$\bar{\sigma}'_b = \frac{\bar{\sigma}_a}{\beta} = \frac{2000}{0,9299} = 5000 \text{ kg/cm}^2 \leq 137 \text{ kg/cm}^2$$

Maintenant la grande portée :

$$W = \frac{100 \cdot A}{b \cdot h} = \frac{100 \times 2,01}{100 \times 16} = 0,125 \rightarrow \begin{cases} K = 90,3 \\ \beta = 0,9414 \end{cases}$$

$$\bar{\sigma}_a = \frac{M}{A \cdot z \cdot h} = \frac{810,25 \cdot 10^2}{2,01 \times 0,9414 \times 16} = 1295,5 \text{ kg/cm}^2 \leq 2000 \text{ kg/cm}^2$$

$$\bar{\sigma}'_b = \frac{\bar{\sigma}_a}{\beta} = \frac{1295,5}{90,3} = 14,38 \leq 137 \text{ kg/cm}^2$$

les conditions sont vérifiées.

- Vérification du dégagement :

l'effet tranchant est donné par les 2 expressions :

$$\text{au milieu de } ly: \quad T_y = \frac{P}{2ly + lx}$$

$$\text{au milieu de } lx: \quad T_x = \frac{P}{lx + ly} \quad \left. \begin{array}{l} \text{Avec } P \\ P = q ly \cdot lx \end{array} \right\}$$

les significations de la constante de dégagement et de l'influence de l'effet tranchant au chargement des appuis sont présentées dans forme de tableau.

$$\text{constante de dégagement: } C_b = 1 < C_b = 1,15 \quad T_b = 0,702 \frac{N}{mm^2}$$

$$\text{Effet dans les murs: } A\bar{\sigma}_m > T + \frac{M}{y} \quad (\text{aux appuis})$$

	$P (kN)$	$T (kN)$	$C_b^{(mm)}$ (N/mm^2)	$M_a (kg-cm)$	$T + \frac{M}{y}$
$\sigma_{max} = 1,32$	28795	$T_y = 1881,7$	1,32	$M_{ax} = 92.652$	- 4766,3
		$T_x = 1069,2$		$M_{ay} = 40.603$	- 1231
$\sigma_{max} = 1,08$	21.309	$T_y = 1402,5$	1,08	$M_{ax} = 85.913$	- 2591,2
		$T_x = 1264,5$		$M_{ay} = 80.350$	- 932,1
$\sigma_{max} = 1,04$	18.996	$T_y = 1465,16$	1,04	$M_{ax} = 41.144$	- 1473,7
		$T_x = 1380,5$		$M_{ay} = 89346$	- 717,7
$\sigma_{max} = 0,98$	12.706	$T_y = 1103,7$	0,98	$M_{ax} = 31.161$	- 1116,06
		$T_x = 1045,7$		$M_{ay} = 22.250$	- 543,57

on constate dans le tableau que les valeurs de C_b sont inférieures à \bar{C}_b , les armatures transversales sont insuffisantes et de plus le taux aux instants des appuis ne sont pas assez à nuancer l'effet de l'action.

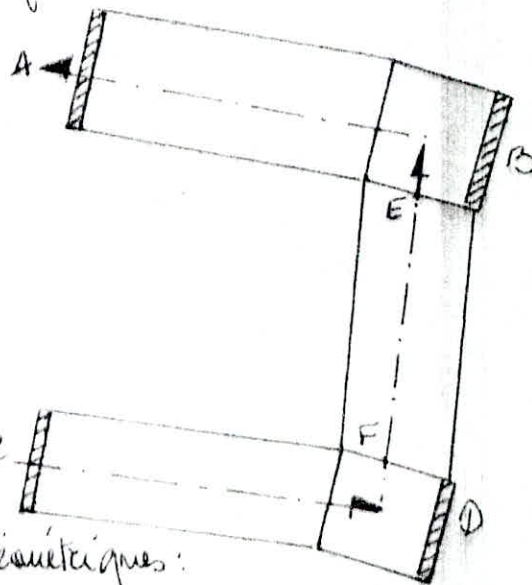
2.3 - CALCUL DES ESCALIERS

- Introduction :

C'est un escalier à 3 pailllasses et 2 paliers intermédiaires.

Le calcul se fait de 2 façons distinctes. Dans un première étape nous considérons la partie AB (idem. pour CD), composée d'une paillasse et d'un palier, comme une partie reposant simplement sur les parties A et B; part contre dans la deuxième étape la paillasse EF se décalera, comme une partie encastrée encastree dans les 2 paliers intermédiaires et l'on calculera par conséquent, compte dans les calculs et un moment et encastrément aux appuis.

On fait cette analyse nous aboutissant au schéma statique suivant :



Caractéristiques géométriques:

$h = 17\text{cm}$, hauteur de la marche.

$g = 30\text{cm}$, largeur de la marche.

1° Inclinaison de la paillasse et déviation par: $\tan \alpha = \frac{h}{g} = \frac{17}{30} = 0,567$.

$$\operatorname{tg} \alpha = 0,567 \Rightarrow \alpha = 29,85^\circ$$

Les dimensions de marche (g) et contre-marche (h)

d'assent décrit la relation de BRONDEL :

$$0,59 \leq g + 2h \leq 0,66$$

mais $g + 2h = 0,35 + 2 \times 0,17 = 0,64$ ce qui est scolaire.
les 2 types de fûts ont les mêmes caractéristiques ;
la seule différence c'est dans le nombre de marches
et fait augmenter la hauteur à gravir.

Le passeur de la failleuse :

$$\frac{L}{m} \leq L \leq \frac{L}{2m} \quad \text{soit} \quad \frac{4,05}{5,00} \leq L \leq \frac{4,05}{2,00} \\ 1,35 \leq L \leq 2,025$$

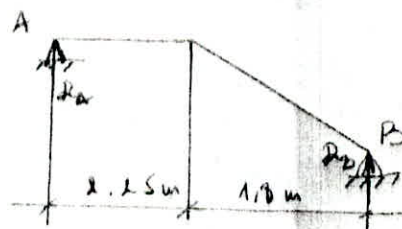
on prendra $L = 1,8 \text{ m}$.

Le calcul se fera pour un échelle d'escalierment et
une hauteur linéaire.

- Calcul des charges :

- Type I :

- failleuse : poids propre : $\frac{0,18 \times 1,00 \times 2500}{\cos 29,85^\circ} = 517,28 \text{ kg/m}$



marches : poids propre : $\frac{0,17 \times 2,00 \times 1,00}{2} = 1,7 \text{ kg/m}$

meilleur de force : $0,02 \times 2,00 \times 1,00 = 40 \text{ kg/m}$

écrattement (canalage) : $0,02 \times 2,00 \times 1,00 = 44 \text{ kg/m}$

échelle en plate : $= 30 \text{ kg/m}$

charge permanente : $C = 818,28 \text{ kg/m}$

surcharge net exploitation: $P = 400 \times 1,00 = 400 \text{ kg/m}^2$

charge revenant à la fondation: $q_1 = 6 + 1,2P = 1,30t/\text{m}^2$.

- Pâlier:

charge permanente:

poids propre du pâlier: $0,12 \times 2500 \times 1,00 = 450 \text{ kg/m}^2$

carrelage: = 44 kg/m^2

mortier: = 40 kg/m^2

enduit plâtré: = 30 kg/m^2

$$\text{---} = 564 \text{ kg/m}^2$$

charge totale revenant au pâlier:

$$q_2 = 6 + 1,2P = 6,00 + 1,2 \times 400 = 1,04 t/\text{m}^2$$

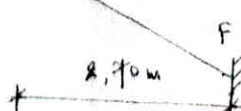
- Type II:

le deuxième type n'est autre que la parfaite intégration du niveau dans l'interaction charge par rapport aux autres.

La même I et II ont les mêmes caractéristiques géométriques et nous avons $q_1 = q_2 = 1,30t/\text{m}^2$.

- Remarque:

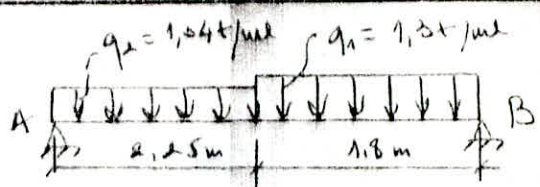
la composante horizontale fléchit la fondation par contre, la composante verticale provoque un effet de tension sur la partie supérieure et un effet de compression sur la partie inférieure qui sont égaux et qui donnent des contraintes dans le béton, de compression et de traction négligeables (1 kg/cm^2).



.-- Calcul des Efforts :

- Type 2

Scheme statique:



$$\sum M_C/B = 0 : \quad 2_B \times 4,05 = 1,04 \times 2,25 + 1,3 \times 1,8 \times 0,9$$

$$2_B = 2,21 t$$

$$\sum M_C/A = 0 : \quad 2_B \times 4,05 = 1,3 \times 1,8 \times 3,15 + 1,04 \times 2,25 \times 1,125$$

$$2_B = 2,47 t.$$

$$0 \leq x \leq 2,25 : \quad \begin{cases} T(x) = 2,21 - 1,04x \\ M(x) = 2,21x - 1,04 \cdot \frac{x^2}{2} \end{cases}$$

$$2,25 \leq x \leq 4,05 : \quad \begin{cases} T(x) = 2,21 - 1,04 \times 2,25 - 1,3(x-2,25) \\ M(x) = 2,21x - 1,04 \times 2,25(x-2,25) - 1,3(x-2,25)^2 \end{cases}$$

$$T(x) = 0 : \quad 2,21 - 1,04x = 0 \rightarrow x = 2,125 \text{ m}$$

$$\text{d'où } M_{\max} = 2,21 \times 2,125 - 1,04 \times 2,125^2 = 2,35 \text{ t-m.}$$

$$T_{\max} = 2,47 t$$

On suppose qu'il y a un seuil-décalage au niveau

$$\text{de appuis : } \begin{cases} M_F = 0,65 M_{\max} = 0,65 \times 2,35 = 1,50 \text{ t-m} \\ M_a = 0,3 M_{\max} = 0,3 \times 2,35 = 0,7 \text{ t-m} \end{cases}$$

. Désignation des Armatures :

Armature supérieure : $H = 1,99 \text{ t-m}$

$$\mu = \frac{15 \cdot M}{\sigma_a b h^2} = \frac{15 \times 1,99 \cdot 10^5}{2800 \times 100 \times 76^2} = 0,0416 \rightarrow \begin{cases} k = 41,8 \\ z = 0,9135 \end{cases}$$

$$A = \frac{M}{Eh \sigma_a} = \frac{1,99 \cdot 10^5}{0,9135 \times 2800 \times 76} = 4,86 \text{ cm}^2 \text{ soit } 10 \text{ TB/(5,04 cm)}^2$$

armature de ceinture : $A < Ar < \frac{A}{4}$ soit donc 8 TB/cm^2

- Armatures supérieures : $M_a = -0,7 \text{ tm}$.

$$\mu = \frac{15 \times 0,7 \cdot 10^5}{2800 \times 100 \times 16^2} = 0,01464 \rightarrow \begin{cases} k = 78,2 \\ \xi = 0,9464 \end{cases}$$

$$A = \frac{0,7 \cdot 10^5}{0,9464 \times 2800 \times 16} = 1,65 \text{ cm}^2 \text{ sur } 5 \text{ TB/m}$$

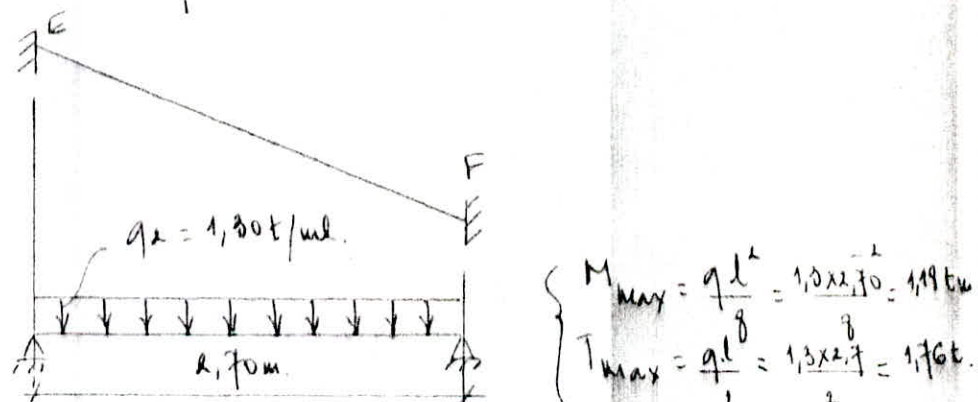
- armatures de réfaction : $\frac{A}{4} < A_r < \frac{A}{2}$ ont 2 TB/m
surtout dans le béton.

section en tasse : $t_b' = \frac{2800}{42,8} = 65,42 \text{ tog/cm}^2$
Vérifiée

Section d'appui : $t_b' = \frac{2800}{78,2} = 35,8 \text{ tog/cm}^2$.
Vérifiée

- Type II :

Schéma statique :



Ensuite on a tenu compte d'un encastrement partiel de cette faille dans les piliers de repos nous renonçons avec les moments suivants : $\{ M_E = 0,95 M_{\max} = 1,093 \text{ tm.}$

$$\{ M_a = 0,3 M_{\max} = 0,354 \text{ tm.}$$

Section en tasse (armatures inférieures) :

$$\mu = \frac{15 \times 1,093 \cdot 10^5}{2800 \times 100 \times 16^2} = 0,01209 \rightarrow \begin{cases} k = 63,7 \\ \xi = 0,9365 \end{cases}$$

$$A = \frac{M}{\sigma_s \cdot b} = \frac{1,003 \cdot 10^5}{280 \times 0,9612 \times 16} = 2,19 \text{ cm}^2 \text{ sur } 576 \text{ N/m}$$

- vérification de la répartition : $A/4 < A_r < A$ sur 273 m

Section d'appui : (acuitées spéciales)

$$\mu = \frac{1,5 \times 0,854 \cdot 10^3}{280 \times 100 \times 16^2} = 0,0074 \rightarrow \begin{cases} h = 114 \\ \phi = 0,9612 \end{cases}$$

$$A = \frac{0,354 \cdot 10^3}{280 \times 0,9612 \times 16} = 0,822 \text{ cm}^2 \text{ sur } 576 \text{ N/m}$$

Acuitées de répartition : $A/4 < A_r < A$ sur 273 m .

- vérifications :

- fondation de non fragilité (Art 52/ceBA67)

$$\frac{A}{b \cdot h} \geq \psi_4 \cdot \frac{\bar{b}_2}{\bar{b}_a} \cdot \left(\frac{h}{h} \right)^2$$

$$A \geq 0,54 \times 100 \times 16 \times 5,9 \frac{(16)}{280 \times 16}^2 = 2,30 \text{ vérifié.}$$

- fondation de non fissuration :

$$\bar{b}_2 = 2,4 \sqrt{\frac{\psi_1}{\phi}} \cdot \bar{b}_a = 2,4 \sqrt{\frac{1,6 \times 1,5 \cdot 10^6 \times 5,9}{8}} = 3193 \text{ kg/cm}^2$$

$3193 \text{ kg/cm}^2 > 280 \text{ kg/cm}^2$ (la fissuration n'est pas à craindre)

- vérification des contraintes :

$$\text{- Groupe 1: } w_c \frac{100A}{b \cdot h} = \frac{100 \times 5,02}{100 \times 16} = 0,314 \rightarrow \begin{cases} \psi = 42 \\ \phi = 0,96123 \end{cases}$$

$$\sigma_a = \frac{M}{A \cdot \frac{h}{2}} = \frac{1,99 \cdot 10^5}{5,02 \times 0,96123 \times 16} = 2716 \text{ kg/cm}^2 < 280 \text{ kg/cm}^2$$

$$\sigma_b = \frac{M}{2 \cdot b} = 64,66 \text{ kg/cm}^2 < 107 \text{ kg/cm}^2, \text{ vérifié.}$$

- Groupe II : $\omega = \frac{100 \times 2,51}{100 \times 16} = 0,1568 \rightarrow \begin{cases} k = 62 \\ \xi = 0,9351 \end{cases}$

$$\sigma_a = \frac{1,003 \cdot 10^6}{2,51 \times 16 \times 0,9351} = 2691 \text{ kg/cm}^2, \text{ vérifié}$$

$$\sigma_b = \frac{2691}{62} = 43,7 \text{ kg/cm}^2, \text{ vérifié}$$

Flambement sur le bassement

- Groupe I : $\begin{cases} C_b = T_{\max} = \frac{2,47 \cdot 10^3}{q \times b} = 1,76 \text{ kg/cm}^2 \\ C_b < \bar{C}_b \end{cases}$

$$\bar{C}_b = 1,15 \bar{b}_b = 1,15 \times 5,9 = 6,78 \text{ kg/cm}^2$$

Les actions transversales sont alors nulles.

- Groupe II : $C_b = \frac{1,76 \cdot 10^6}{\frac{7 \times 16}{8} \times 100} = 1,25 \text{ kg/cm}^2 < \bar{C}_b = 6,78 \text{ kg/cm}^2$

- Influence de l'effort tranchant à l'appui :

Groupe I : $T + \frac{M}{q} = 1760 - \frac{0,1 \cdot 10^6}{7/8 \cdot 16} = -2800 \text{ kg} < 0$

Groupe II : $T + \frac{M}{q} = 1760 - \frac{0,854 \cdot 10^6}{7/8 \cdot 16} = -708,57 < 0$
vérifié

Vérification de la flèche :

La flèche admissible pour une partie suffisamment chargée

et suffisamment appuyée est : $f = \frac{59l^4}{394EI}$

$$f = \frac{1000 \sqrt{16}}{28} = 3000 \sqrt{2} / 28 = 1160,89,87 \text{ kg/cm}^2$$

$$I = \frac{bh^3}{12} = \frac{10 \times 18^3}{12} = 46800 \text{ cm}^4$$

- Type I :

$$f_1 = \frac{5qL^4}{384EI} = \frac{5 \times 1,3 \times 1,05^4 \times 10^4}{284 \times 116081,87 \times 48600} = 0,80 \text{ cm}$$

- Type II :

$$f_2 = \frac{5 \times 1,3 \times 2,7^4 \times 10^4}{384 \times 116081,87 \times 48600} = 0,16 \text{ cm.}$$

Fleches admissibles :

$$f_1 = \frac{L}{500} = \frac{4,05}{500} = 0,81 \text{ cm} > f_1 = 0,80 \text{ cm}$$

$$f_2 = \frac{L}{500} = \frac{2,70}{500} = 0,54 \text{ cm} > f_2 = 0,16 \text{ cm.}$$

La fléche est vérifiée dans les deux cas.

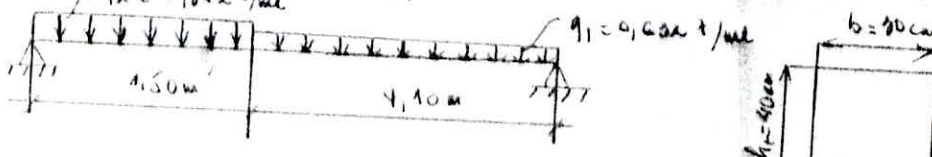
2.3.2 - Calcul de la partie palier

Les parties supportant le palier intermédiaire sera calculée comme une partie semi-encastree aux poteaux et uniformément chargée par $q_1 + q_2$.

q_1 : réaction du palier de l'escalier

q_2 : poids du remplissage supporté par cette partie plus le poids propre de cette dernière.

$$q_1 = 2,21 \text{ t/m} \quad \text{et} \quad q_2 = 0,231 \times 1,44 + 0,380,4 \times 2,50 = 0,682 \text{ t/m}$$



$$\sum M_A = 0 : R_B \times 5,6 = 0,632 \times 4,1 \times 3,55 + 2,84 \times 1,5 \times 0,75$$

$$R_B = 2,213 \text{ t.}$$

$$\sum M_{t/b} = 0 : T_A \times 1,6 = 2,842 \times 1,5 \times 4,95 + 0,632 \times 4,1 \times 2,05$$

$$T_A = 4,644 \text{ t}$$

$$0 \leq x \leq 1,5 : T(x) = 4,64 - 2,842x$$

$$\left\{ \begin{array}{l} M(x) = 4,64x - 2,842x^2 \\ \end{array} \right.$$

$$1,5 \leq x \leq 4,09 : \left\{ \begin{array}{l} T(x) = 4,64 - 2,842 \times 1,5 - 0,632(x-1,5) \\ \end{array} \right.$$

$$\left\{ \begin{array}{l} M(x) = 4,64x - 2,842(\underline{x-1,5}) \times 1,5 - 0,632(\underline{x-1,5})^2 \\ \end{array} \right.$$

M_{\max} et sonne pour $T=0$: 2

$$4,64 - 2,842 \times 1,5 - 0,632(x-1,5) = 0 \Rightarrow x = 2,09 \text{ m}$$

$$\text{et } M_{\max} = 4,64 \times 2,09 - 1,842(2,09 - 0,95) \times 1,5 - 0,632(2,09 - 1,5)^2 = \\ = 3,875 \text{ t.m}$$

$$T_{\max} = 4,64 \text{ t.}$$

on prend :

$$\left\{ \begin{array}{l} M_t = 0,85 M_{\max} = 3,29 \text{ t.m} \\ \end{array} \right.$$

$$\left\{ \begin{array}{l} M_a = 0,3 M_{\max} = 1,18 \text{ t.m} \\ \end{array} \right.$$

- calcul des armatures :

- section inférieure (Acier. inf.) :

$$\mu = \frac{A_s M}{\sigma_a b h^2} = \frac{15 \times 3,29 \cdot 10^5}{2800 \times 30 \times 37^2} = 0,043 \rightarrow \left\{ \begin{array}{l} \kappa = 41,6 \\ \xi = 0,9117 \end{array} \right.$$

$$A_s = \frac{M}{\xi \cdot \sigma_a} = \frac{3,29 \cdot 10^5}{0,9117 \times 37 \times 2800} = 8,48 \text{ cm}^2 \text{ soit } 2T14 (4,62 \text{ cm}^2)$$

$$b_s = \frac{\bar{b}_a}{\kappa} = \frac{2800}{41,6} = 67,3 < 180 \text{ kg/cm}^2, \text{ suffisante.}$$

- section sur appui (Acier. sup.) :

$$\mu = \frac{A_s \times 1,16 \times 10^5}{30 \times 2800 \times 37^2} = 0,01518 \rightarrow \left\{ \begin{array}{l} \kappa = 77 \\ \xi = 0,9457 \end{array} \right.$$

$$A_s = \frac{1,16 \cdot 10^5}{2800 \times 0,9457 \times 37} = 1,18 \text{ cm}^2 \text{ soit } 2T10 (1,57 \text{ cm}^2).$$

- Vérification :

- Condition de non fragilité (Art 52 CEPAC68) :

$$A \geq b h \psi_1 \frac{\bar{\sigma}_a}{\bar{\sigma}_u} \left(\frac{h_t}{h} \right)^2$$

$$A \geq 300 \times 37 \times 0,54 \times 5,9 \left(\frac{40}{37} \right)^2 = 1,47 \text{ vérifiée.}$$

- condition de non fissuration :

$$\sigma_f = \frac{\kappa N}{\phi} \cdot \frac{w_f}{1 + 10 w_f} = 1,516 \times 1,6 \times \frac{0,0256}{1 + 1,256} = 3603,784$$

$$w_f = \frac{A}{P_{fg}} = \frac{4,62}{2 \times 5 \times 30} = 0,0256, \quad \sigma_f > \bar{\sigma}_a \text{ vérifié}$$

- Vérification de la flèche :

$$\frac{h_t}{16} \geq \frac{1}{10} \cdot \frac{M_t}{M_u} \quad 2,61 > 0,985 \text{ vérifié.}$$

$$\frac{h_t}{L} > \frac{1}{16} \quad 0,066 > 0,0625 \text{ vérifié.}$$

$$\frac{A}{b \cdot h} = \frac{4,62}{200 \times 37} = 0,00416 \leq \frac{43}{600} = 0,01$$

Vérification des soustractions :

$$w = \frac{100 A}{b \cdot h} = \frac{100 \times 4,62}{200 \times 37} = 0,416 \rightarrow \begin{cases} \chi = 35,6 \\ \varepsilon_c = 0,9012 \end{cases}$$

$$\bar{\sigma}_a = \frac{M}{E \cdot h \cdot A} = \frac{3,29 \cdot 10^5}{0,9012 \times 67 \times 4,62} = 2135,6 \text{ kg/cm}^2$$

$$\bar{\sigma}_a < \bar{\sigma}_u \quad \text{et} \quad \bar{\sigma}_b = \frac{\bar{\sigma}_a \cdot 2135,6}{4} = 58,9 \text{ kg/cm}^2 < 137 \text{ kg/cm}^2$$

Effet flançant

$$T_{\max} = 4,64t, \quad C_b = \frac{1}{b \cdot \bar{b}_b} = \frac{4,64 \cdot 10^3}{b \cdot \bar{b}_b} = \frac{4,64 \cdot 10^3}{30 \times 3,5} = 4,177 \text{ kg/cm}^2$$

$$\bar{C}_b = 3,5 \bar{b}_b = 3,5 \times 3,9 = 20,65 \text{ kg/cm}^2 \text{ vérifié}$$

Armatures transversales :

$$\sigma_{ap} = f_{at} 6 \text{ cm}, \quad f_{at} = 1 - \frac{C_b}{3 \bar{b}_b} = 1 - \frac{4,177}{3 \times 3,9} = 0,91$$

$$\text{d'où } \sigma_{at} = 25,9 \text{ kg/cm}^2$$

$$\text{En prenant un rectangle d'acier } \phi = 6 \rightarrow A_t = 113 \text{ cm}^2.$$

$$\text{d'où } t = A_t / \sigma_{at} = 113 / 25,9 = 4,40 \text{ cm}$$

épaisseur admissible :

$$t = \max \left\{ 0,2 \cdot h = 0,2 \times 37 = 7,4 \text{ cm} \right. \\ \left. h \left(1 - \frac{0,32b}{\bar{b}_b} \right) = 37 \left(1 - \frac{0,3 \times 4,40}{3,9} \right) = 28,025 \text{ cm} \right\}$$

mais pour être sûre : $t = 20 \text{ cm}$

Condition aux appuis :

$$T + \frac{M}{\bar{b}} = 4,64 \cdot 10^3 + \frac{116 \cdot 10^3}{3,5} = 1056,98 \text{ kg}$$

$$A \bar{b}_a = 1,5 \times 20 = 30 > 1056,98 \text{ kg}$$

entraîne alors la faille de béton :

$$c \geq \frac{2 T_{\max}}{b \cdot \bar{b}_b} = \frac{2 \times 4,64 \cdot 10^3}{30 \times 3,9} = 4,5 \text{ cm} \quad c = 5 \text{ cm}$$

$$\text{longueur de scellement : } l_d = \frac{\phi \cdot \bar{b}_a}{4 \bar{C}_d}$$

CHAPITRE : III

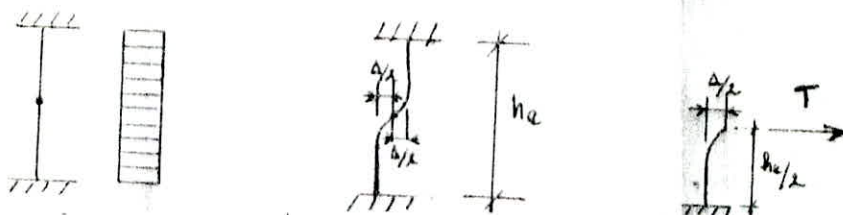
- ETUDE AU SEISME -

- Calcul à la rigidité.
- Etude Dynamique.
- Calcul des Caractéristiques Géométriques.
- Calcul au Seisme.
- Vérification au renversement.

3.1 - CALCUL A LA RIGIDITE

d'effort tranchant de niveau, défini par la somme des forces horizontales appliquées aux étages supérieurs, représente l'élément actif de la rigidité globale du pontique.

Cet effort tranchant perdant le déplacement relatif de niveau est à dire déplacement entre extrémités des poteaux.



La relation entre le déplacement Δ et l'effort tranchant T est connue à l'aide du schéma de l'astigmatisme.

$$\frac{\Delta}{2} = \frac{T(\frac{h_e}{2})^3}{3EI} \quad \text{ou} \quad \Delta = \frac{Th_e^3}{12EI}$$

en h_e : hauteur d'étage

I : moment d'inertie du poteau dans le plan du déplacement.

Δ : déplacement relatif du niveau des planchers.

T : effort tranchant dans le poteau.

La relation entre Δ et T permet de définir une notion fondamentale pour le calcul des ponts : la rigidité relative du niveau. cette rigideur représente l'effort tranchant qui permet un déplacement unitaire entre les extrémités des poteaux.

$$R = \frac{Th_e^3}{12EI} \quad \text{ou} \quad R_{iso} = \frac{12EI}{h_e^3}$$

en posant $i_p = \frac{I}{h_e}$ rigidité linéaire du poteau, on a: $R_{iso} = \frac{12E}{h_e^2} \cdot i_p$

La rigidité relative de niveau dans le cas où le poteau est encastré à une extrémité et articulé à l'autre est définie d'une manière analogue par : $\Delta = \frac{I_{bh}^3}{3EI}$

$$\text{et } \Delta_{i\infty}^{(1)} = \frac{3E}{bh^2} i_p, \quad (\Delta_{i\infty}^{(1)} = \frac{\Delta_{i\infty}}{4})^{3EI}$$

Finalement la rigidité de l'effet manchon se fait proportionnellement aux rigidités relatives de niveau, mais en réalité la rotation des nœuds entraîne une diminution des moments fléchissants dans les poteaux. Ce qui permet d'affirmer que la rigidité de la structure dans les parties est infime : $\Delta_i = \rho \Delta_{i\infty}, (\rho \leq 1)$
 ρ étant un coefficient de réduction qui tient compte de la rigidité géométrique et mécanique des portes et des poteaux et la variation de celle-ci sur la hauteur de l'édifice, en posant $\rho = \frac{i_{pt}}{i_{portes}}$



$$\rho = \frac{1}{2(1+k)}, \quad \text{poteau articulé en fondation.}$$



$$\rho = \frac{1}{1+k}, \quad \text{poteau encastré dans les portes.}$$



$$\rho = \frac{1+k}{2(1+k)}, \quad \text{poteau semi-encastré en fondation.}$$

Enfin la rigidité relative de niveau du poteau est donnée par :

$$R_i = f \cdot R_{i,\infty} = \frac{12 E}{h_a^2} \cdot i_{\text{par}} \cdot f$$

Par contre la rigidité de niveau du ponton pour l'étage est définie par : $R_i^* = \sum R_i$.

En utilisant les notations de rigidité relative de niveau et l'effort tranchant de niveau, le déplacement relatif de l'étage se calcule par : $\Delta_i = \frac{T_i}{R_i^*}$

T_i est l'effort tranchant de niveau

$$\Delta_i = v_i - v_{i-1}$$

$$f_i = \sum_{i=1}^n \Delta_i : \text{flèche au niveau } i.$$

- Calcul pratique des pontons à nœuds rigides soumis à l'action des forces latérales :

Méthode de K. MUTO.

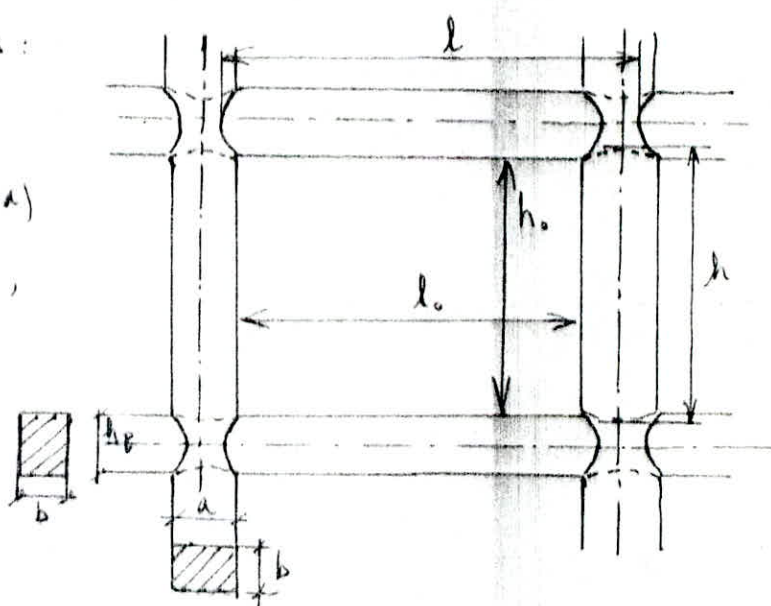
- Notations :

$$l = l_0 + 2 h_p,$$

$$\text{et } l \leq \frac{4}{3} (l_0 + a)$$

$$h = h_0 + 2 \cdot \frac{a}{4},$$

$$\text{et } h \leq h_0 + h_p$$



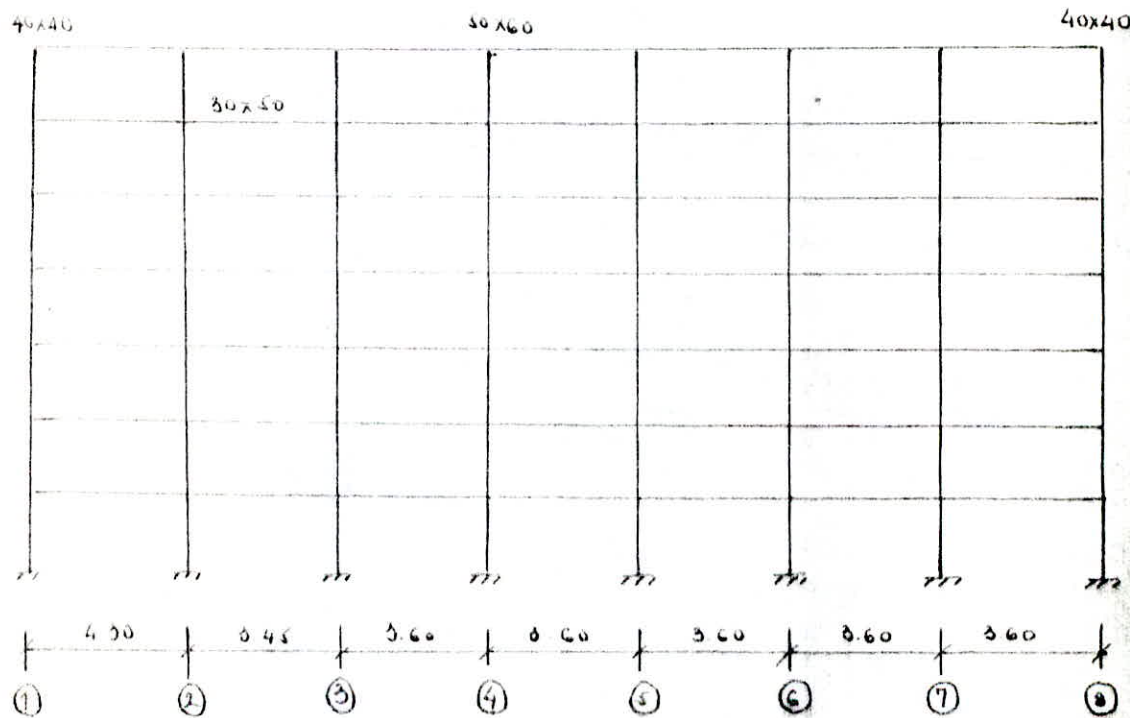
- Valeurs à calculer :

* moment d'inertie de chaque poteau : $I_{\text{pot}} = \frac{b \cdot a^3}{12}$

* Rigidité linéaire des poteaux : $i_{\text{pot}} = \frac{I_{\text{pot}}}{h}$

- moment d'inertie de la poutre : $I_{\text{pout}} = \frac{b h^3}{12}$
 - rigidité linéaire de la poutre : $i_{\text{pout}} = \frac{I_{\text{pout}}}{l}$
 - degré d'enca斯特ment des poteaux : $K = \frac{l}{i_{\text{pout}}}$
 - coefficient de rigidité des poteaux β $\sum i_{\text{pout}}$
 - Rigidité totale des poteaux : $R_{\text{pout}} = \frac{12E}{h^2} i_{\text{pout}} \cdot \beta$
- Tableau de rigidités

3.1.1 Poutre Longitudinal



3.1.1.1 Poutre Linéaire de poutre (30x50cm)

1 - Technique intermédiaire :

POTERES	l (cm)	i_{poutre} (cm 4)
1 - 2	410	962,19
2 - 3	320	976,56
3 - 4	335	882,03
4 - 5	340	519,11

2. Pochique de rivière

Poteaux	h (cm)	i portes (cm^3)
1 - 2	415	753,01
2 - 3	330	946,96
3 - 4	345	905,79
1 à 4	345	905,79

3.112) Vente d'acierie des Poteaux :
 - Poteau 1 à 2. $\left(\frac{40 \times 40}{2} = 2,135,10 \text{ cm}^3 \right)$
 - Poteau 1 à 4. $\left(\frac{52 \times 62}{2} = 0,25,10 \text{ cm}^3 \right)$

1. Pochique à l'intersection

Poteaux	h (cm)	i pot. (cm^3)
1	290	735,51
2 à 4	295	2118,64
8	290	735,51

2. Pochique de rivière

Poteaux	h (cm)	i pot. (cm^3)
1	290	735,51
2 à 4	290	735,51
8	290	735,51

On appelle au tableau qui suit ce et alors
 lequel vont être données les résultats du calcul à la
 rigidité, la valeur E (modèle d'élasticité longitudinal)

$$E = 21.000 \sqrt{1,2 \times 295} = 381,48 \text{ t/cm}^2$$

3.1.3- PORTIQUE INTERMÉDIAIRE

file tot.	$h_{pt}(\text{cm})$	$i_{pt}(\text{cm}^3)$	$K = \frac{i_{pt}}{Z_{\text{parties}}}$	$\ell = \frac{1}{1+4K}$	$R_i = \frac{12E}{h_{pt}^2} i_{pt} \cdot \ell$
1	290	735,51	0,4482	0,3412	13,68
2	295	2116,64	0,6008	0,23	31,42
3	295	2116,64	0,5547	0,31	34,62
4,5,6,7	295	2116,64	0,58	0,305	34,07
8	290	735,51	0,4	0,364	15,37

NIVEAU X

7 à 2

$$\sum R_i = 232,55 \text{ t/cm}$$

3.1.4- PORTIQUE DE RIVE

file pt.	$h_{pt}(\text{cm})$	$i_{pt}(\text{cm}^3)$	$K = \frac{i_{pt}}{Z_{\text{parties}}}$	$\ell = \frac{1}{1+4K}$	$R_i = \frac{12E}{h_{pt}^2} i_{pt} \cdot \ell$
1	290	735,51	0,4488	0,34	13,66
2	290	735,51	0,210	0,536	21,46
3	290	735,51	0,109	0,557	22,311
4,5,6,7	290	735,51	0,2	0,5518	22,09
8	290	735,51	0,4	0,68	15,25

$$\sum R_i = 161,04 \text{ t/m}$$

On a la rigidité totale de niveau dans le sens longitudinal qui va dans sens x-x et on l'a disposé de 3 portiques intermédiaires et 2 portiques de rives :

$$R_x = 3 \times 232,55 + 2 \times 161,04 = 1019,13 \text{ t/cm}.$$

Sur un le même tableau pour le niveau Reg-de-dimanche (ce dernier a été isolé dans le 1^{er} calcul du fait que les conditions d'appui changeant, les flexions de ce niveau se renvoient au contre au sommet et actuelles en fondation à droite)

- Pochique intermédiaire sans longitudinal

3.1.1.5 - NIVEAU 2.D.C.

Nombre de poteaux	h poteau	i poteau	$\frac{R_0 + R_1}{\sum i_{poteau}}$	$R = \frac{i+2}{i+4K}$	$R = \frac{1+6}{h_{poteau}} i_{poteau}$
1	290	735,51	0,9648	0,5058	20,28
2	295	2118,64	1,218	0,4080	52,488
3	295	2118,64	1,109	0,4480	50,828
4,5,6,7	295	2118,64	1,135	0,4780	53,40
8	290	735,51	0,8	0,5380	21,55

$$\sum R_i = 362,12 \text{ t/cm}$$

3.1.1.6.

- Pochique de rewe NIVEAU 2.D.C. sans long.

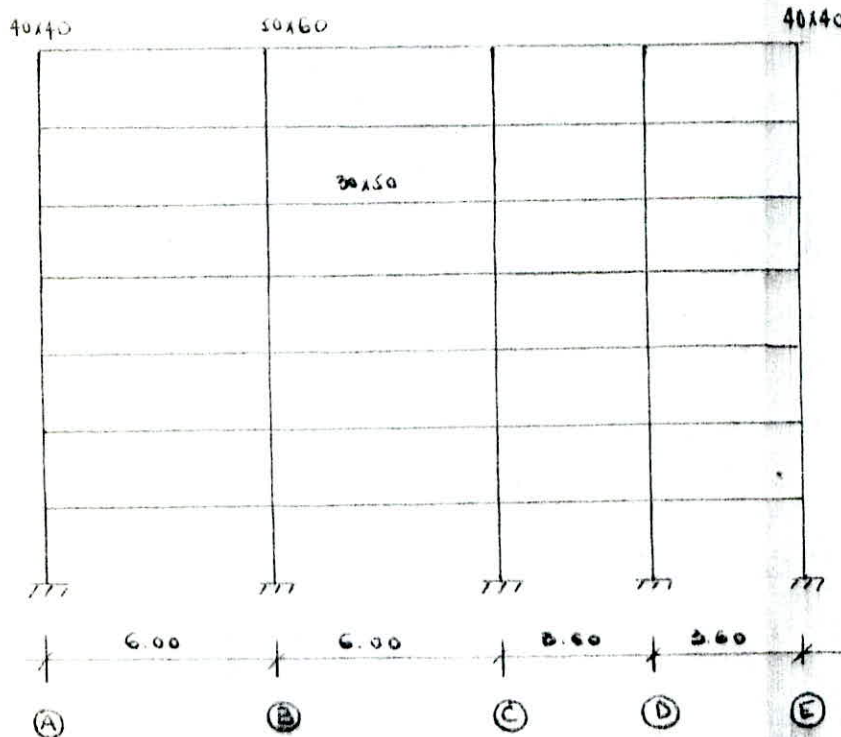
Nombre de poteaux	h poteau	i poteau	$R = \frac{i_{poteau}}{\sum i_{poteau}}$	$R = \frac{i+2}{i+4K}$	$R = \frac{1+6}{h_{poteau}} i_{poteau}$
1	290	735,51	0,576	0,504	29,17
2	290	735,51	0,432	0,652	26,11
3	290	735,51	0,390	0,6685	26,76
4,5,6,7	290	735,51	0,406	0,666	26,69
8	290	735,51	0,812	0,538	21,557

$$\sum R_i = 201,35 \text{ t/cm}$$

En répétition à l'ale du niveau 1 est:

$$R = 0 \times 362,12 + 2 \times 201,35 = 1409,86 \text{ t/cm}$$

3.1.2 Poutre sur E cantileval:



3.1.2.1.

1 - Poutre Intermediaire

POUTRES	l (cm)	i_{poutre} (cm^3)
A - B	575	543,47
B - C	565	558,89
C - D	325	961,54
D - E	335	932,83

$$I_{poutre} = 3,125 \cdot 10^5 \text{ cm}^4$$

2 - Poutre de rive

POUTRES	l (cm)	i_{poutre} (cm^3)
A - B	585	534,18
B - C	595	534,18
C - D	345	905,70
D - E	345	905,70

$$I_{poutre} = 3,125 \cdot 10^5 \text{ cm}^4$$

3.1.2.29 Niveaux $I_{pt}^{40 \times 40} = 2,135,10^5 \text{ cm}^4$, $I_{pt}^{50 \times 50} = 0,10^5 \text{ cm}^4$.

1 - Partie que intermédiaire

Poteaux	$h(\text{cm})$	$i_{pt}(\text{cm}^3)$
A	295	723,05
B, C, D	300	3000
E	290	723,05

2 - Partie de rive

Poteaux	$h(\text{cm})$	$i_{pt}(\text{cm}^3)$
A	290	735,51
B, C, D	290	735,51
E	290	735,51

3.1.2.3 - Cépitude du portique intermédiaire : (Niveau Tz2)

f_{pt} $h_{pt}(\text{cm})$	$i_{pt}(\text{cm}^3)$	$I_{pt} \text{ cm}^4$	$k_2 = \frac{i_{pt}}{I_{pt}}$	$f = \frac{1}{1+4k}$	$\lambda = \frac{12E}{64} \cdot i_{pt} \cdot f$ t/cm
A	295	723,05	0,665	0,273	10,389
B	300	3000	1,367	0,154	20,579
C	300	3000	0,98	0,2	30,75
D	300	3000	0,75	0,209	36,61
E	290	723,05	0,397	0,392	15,43

$$\sum \lambda_i = 116,757 \text{ t/cm}$$

3.1.2.4 - Cépitude du portique de rive :

f_{pt} $h_{pt}(\text{cm})$	$i_{pt}(\text{cm}^3)$	$I_{pt} \text{ cm}^4$	$k_2 = \frac{i_{pt}}{I_{pt}}$	$f = \frac{1}{1+4k}$	$\lambda = \frac{12E}{64} \cdot i_{pt} \cdot f$ t/cm
A	290	735,51	0,688	0,288	10,66
B	290	735,51	0,344	0,420	16,84
C	290	735,51	0,252	0,496	18,8
D	290	735,51	0,2	0,55	24,1
E	290	735,51	0,1	0,391	15,25

NIVEAUX
(Tz2)

$$\sum \lambda_i = 84,65 \text{ t/cm}$$

La cépitude totale des niveaux : $R = 6 \times 116,757 + 2 \times 84,65 = 969,84 \text{ t/cm}$.

- Rigidität der Nieren ① des durchströmten (durch transversal)

3.1.2.5 - Portionen intermédiaire :

$\frac{f_{de}}{P_{st}}$	h_{pot}	$i_{pot} \text{ (cm}^3\text{)}$	$K = \frac{i_{pot}}{\sum i_{pot}}$	$\rho = \frac{K+2}{2+4K}$	$R = \frac{12E}{h_{pot}^2} i_{pot} \cdot \rho$
A	295	723,05	1,33	0,455	17,302
B	300	3000	2,734	0,3659	55,733
C	300	3000	1,92	0,401	61,82
D	300	3000	1,58	0,43	65,65
E	290	723,05	0,774	0,544	21,42

3.1.2.6 - Portionen alle ohne

$$\sum R_i = 121,425 \text{ t/m}$$

$\frac{f_{de}}{P_{st}}$	$h_{pot} \text{ (cm)}$	$i_{pot} \text{ (cm}^3\text{)}$	$K = \frac{i_{pot}}{\sum i_{pot}}$	$\rho = \frac{K+2}{2+4K}$	$R = \frac{12E}{h_{pot}^2} i_{pot} \cdot \rho$
A	290	735,51	1,576	0,448	16,003
B	290	735,51	0,638	0,565	22,64
C	290	735,51	0,51	0,621	24,87
D	290	735,51	0,4	0,666	26,68
E	290	735,51	0,3	0,538	21,54

$$\sum R_i = 113,742 \text{ t/cm}$$

Die aufgeführte Totale der Nieren ① ist:

$$R = 6 \times 121,425 + 2 \times 113,742 = 1556,854 \text{ t/cm}$$

3.2 - ETUDE DYNAMIQUE

- Introduction :

Dès qu'une structure se trouve à une excitation variable dans le temps, elle effectue tout d'abord et tant que dure l'excitation, une série d'oscillations propres, réelles par de leurs axes complexes. Ces deux succèdent dès que l'oscillation à pris fin les oscillations libres qui obéissent à des axes plus simples et qui disparaissent rapidement.

La connaissance cinétique de la réponse d'une structure à une excitation donnée permet la connaissance de l'état de l'entraînement à tout instant dans cette structure; cette connaissance n'est pas toujours évidente.

Pour notre cas on suppose que notre structure est élastique c'est à dire qu'il y a proportionnalité entre efforts et déformations, et linéaire : déformations toujours proportionnelles aux forces appliquées indépendamment des changements susceptibles d'intervenir dans la géométrie de la structure.

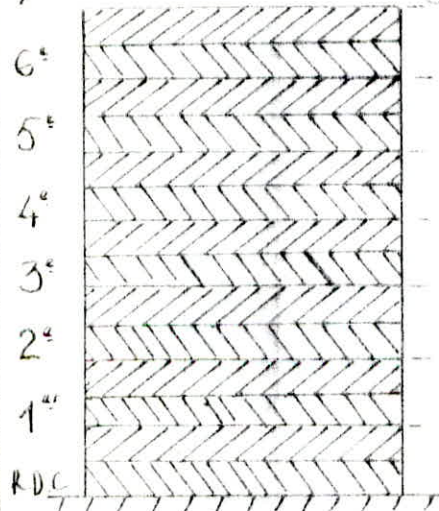
- Schématisation (Modélisation) :

Pour avoir la meilleure approximation possible dans les calculs il faut faire attention à choisir un modèle mathématique aussi proche que possible du système réel.

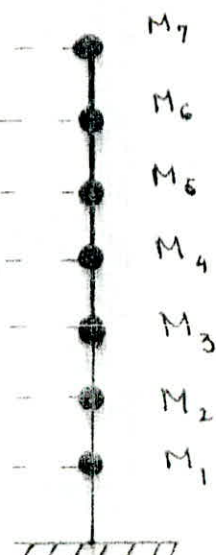
On suppose les planchers rigides (ce qui est très admissible si on n'a pas d'empoussis horizontaux ou déformations) et on suppose que les masses des étages sont concentrées au niveau de l'entre-deux de hauteur de nos planchers et on se ramène ainsi à un système à un nombre fini de degrés de liberté en négligeant les effets de rotation des masses autour d'axes horizontaux et verticaux et en négligeant les déplacements verticaux des éléments soumis à une excitation horizontale.

On aboutit à un schéma dans lequel la structure est représentée sous n masses effectuant des oscillations planes dans lesquelles les déplacements se résument à des translations horizontales, dans le plan de la figure, le système présente alors autant de degrés de liberté que de masses en oscillation.

7°



Modélisation



3.2.2 Méthode de Rayleigh

La méthode de RAYLEIGH (en énergétique) :

Cette méthode approulée comme l'étude de la structure réelle à une structure ne possédant qu'un seul degré de liberté, elle est seulement utilisée pour trouver la fréquence pulsation propre.

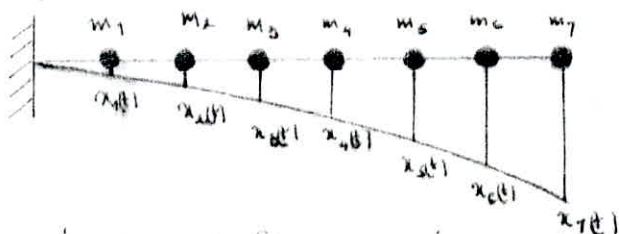
La méthode de Rayleigh repose sur le principe de conservation de l'énergie, l'énergie totale d'un système non amorti et libre de se mouvoir, est constante.

$$E_{tot} = E_c(t) + E_p(t) = \text{constante} \quad (1)$$

$E_c(t)$: énergie cinétique

$E_p(t)$: énergie potentielle à un instant t .

Dans le cas d'un système oscillant ayant plusieurs degrés de liberté les masses : m_1, m_2, \dots, m_n , ayant les elongations $x_1(t), x_2(t), \dots, x_n(t)$ mesurées à partir du état d'équilibre et de la position d'équilibre statique.



Les 2 énergies peuvent être exprimées dans la forme :

$$\left\{ \begin{array}{l} E_c(t) = \frac{1}{2} \sum_{k=1}^n m_k \cdot \dot{x}_k(t) \end{array} \right. \quad (2)$$

$$\left\{ \begin{array}{l} E_p(t) = \frac{1}{2} \sum G_k x_k(t) \end{array} \right. \quad (3) \quad \text{avec } G_k = m_k g,$$

On appelle forces gravitationnelles

qui correspondent aux masses du système.

Dans le cas du mode fondamental, les solutions ont des caractéristiques simples :

$$x_k(t) = A_k \sin(\omega_1 t + \phi_1) \quad (4) \quad k=1, 2, \dots, n.$$

et où A_k représente l'amplitude maximale, ω_1 la pulsation fondamentale et ϕ_1 le déphasage du mode fondamental. En substituant (4) dans les expressions des énergies (2) et (3) on aboutit à :

$$E_C(t) = \frac{1}{2} \omega_1^2 A_k^2 \sin^2(\omega_1 t + \phi_1) \sum_{k=1}^n m_k x_k^2 = E_C^{\max} \cos^2(\omega_1 t + \phi_1) \quad (5)$$

$$E_P(t) = \frac{1}{2} \sin^2(\omega_1 t + \phi_1) \sum_{k=1}^n G_k x_k^2 = E_P^{\max} \sin^2(\omega_1 t + \phi_1) \quad (6)$$

On constate que pendant le mouvement oscillatoire le système passe par 2 positions extrêmes, à cet instant $E_C = 0$ car $(\dot{x}(t)) = 0$ et E_P est maximum (car $\ddot{x}(t) = x$ élémentaire maximale du mouvement); de même le système passe par la position d'équilibre statique, à cet instant E_C est maximale ($\ddot{x}(t) = 0$) tandis que l'énergie potentielle à ce même moment est nulle $E_P = 0$ ($\dot{x}(t) = 0$); finalement à la finition de ces observations on peut écrire :

$$E_{Cq.} = 0 + E_P^{\max} = E_C^{\max} + 0 = \text{constante}$$

$$\text{d'où : } E_P^{\max} = E_C^{\max} \quad (7)$$

en remplaçant les valeurs maximales des énergies dans l'expression (7) on obtient : $\frac{1}{2} \sum_{k=1}^n G_k x_k^2 = \frac{1}{2} \omega_1^2 \sum_{k=1}^n m_k x_k^2 \quad (8)$ et en diviseant par $\frac{1}{2} \sum_{k=1}^n G_k x_k^2$ on trouve l'expression de la pulsation fondamentale :

$$\omega_{1,K}^2 = \frac{\sum_{k=1}^n G_k x_k^2}{\sum_{k=1}^n m_k x_k^2}$$

Pour calculer la pulsation avec cette formule, il faut connaître la forme de la défense du système (les valeurs de α_x) dépendant de la défense. Il faut être certain que par la résolution de l'équation différentielle, c'est-à-dire par les méthodes précises évoquant celle des calculs.

Pour établir la formule apposée, on supposera que la défense est affine à celle obtenue en appliquant une force uniforme au sommet du système où il ne peut faire déplacement que les déplacements v_i déterminés par la méthode de MOTS en imaginant des forces statiques horizontales sur toutes les masses et ayant pour intensité : $G_i = m_i g$.
avec la période fondamentale sera :

$$T = 2\pi \sqrt{\frac{\sum_{i=1}^n m_i v_i^2}{g \sum_{i=1}^n m_i v_i}}$$
 (10)

La précision des résultats obtenus avec la méthode de Rayleigh dépend du choix de la ligne élastique, cette précision peut être améliorée en utilisant un procédé itératif de correction de la ligne élastique.

- Procédé itératif :

- On calcule le coefficient adimensionnel c .

$$c_{ij} = \frac{v_{ij}}{v_{ii}}, \quad v_{ii} : \text{fleche au sommet de la masse}$$

- On commence comme dans le cas précédent à calculer une nouvelle

$$\text{force } F \rightarrow F_i = l_{ii} \cdot \alpha_i$$

les indices i et j évoquent : le premier le niveau de la correction, le second la ligne à laquelle peut venir en ϵ en F .

- Avec les nouvelles forces, on calcule les déplacements v_i et on déduit : $\epsilon_{xi} = \frac{v_i}{l_{ii}}$

la deuxième équation consiste à "calculer une deuxième force F_{xi} : $F_{xi} = l_{xi} \cdot \alpha_i$ qui nous donne v_{xi} .

on procède itérativement et rapidement, convergent et le nombre d'itérations dépend de la précision recherchée;

les opérations sont arrêtées lorsque : $\epsilon_{xi} \approx \epsilon_{(n-1)i}$

On utilise les coefficients additionnels des relations précédentes et aboutit à la relation suivante :

$$T = \frac{2\pi}{\sqrt{\lambda_{nn}}} \cdot \sqrt{\lambda_{nn}} \quad (1)$$

en λ_{nn} : est le coefficient de la $n^{\text{ème}}$ masse, donné par la dernière itération.

- Etape 3e, calcul :

$$\text{on calcule : } \Delta_i = \frac{T_i}{F_i} \quad \text{on} \left\{ \begin{array}{l} T_i : \text{effort tendant du} \\ \text{Niveau courant} \\ F_i : \text{rigidité du Niveau} \\ \text{courant} \\ \Delta_i : \text{déplacement statique} \\ \text{du Niveau} \end{array} \right.$$

- on détermine les déplacements statiques

$$v_i = \sum \Delta_i \quad (\text{déplacement Absolu})$$

$$- On obtient ensuite le coefficient \(\ell = \frac{v_i}{\lambda_{nn}}$$

3.2.3 - Détermination des masses G_i :

3.2.3.1 Niveau 6

$$\text{Acierie : } 187,5(25,75 + 19,2) \times 2 = 16,85 \text{ t}$$

$$\text{Plancher : } 583 \times 25,75 \times 10,2 = 291,2 \text{ t}$$

$$\text{Poteaux : } 22 \times 1,5 (0,4)^2 \times 2500 + 18 \times 1,5 (0,5 \times 0,8) \times 2500 = 33,45 \text{ t}$$

$$\text{Maconnerie : } 261(22,25 + 16,8) \times 2 \times 1,5 = 17 \text{ t}$$

$$\text{retombée : } (22,25 \times 3 + 22,95 \times 2) \times 0,3 \times 0,3 \times 2500$$

$$+ (16,8 \times 6 + 17,6 \times 2) \times 0,3 \times 0,3 \times 2500 = 55,9 \text{ t}$$

$$\checkmark \text{Vale (Ascenceur) : } (2 \times 2,45 \times 0,2 + 0,55 \times 2 \times 0,2 + 2,1 \times 0,2) \times 4,66 \times 2500 = \\ = 443,5 \text{ t}$$

3.2.3.2 Niveau 7

$$\text{Plancher : } 456,5(25,75 \times 19,2 - 7,75 \times 6) = 204,46 \text{ t}$$

$$\text{Dalle : } 641,5 \times 7,75 \times 6 = 29,43 \text{ t}$$

$$\text{Poteau : } 33,45 \times 2 = 66,9 \text{ t}$$

$$\text{Maconnerie : } 2 \times 2,45 = 5,4 \text{ t}$$

$$\text{retombée : } 55,9 \text{ t}$$

$$\checkmark \text{Vale : } (2 \times 2,45 \times 0,2 + 0,55 \times 2 \times 0,2 + 0,2 \times 2,2) \times 3 \times 2500 = 12,35 \text{ t}$$

$$\text{dalle au total : } 423,39 \text{ t}$$

Enfin l'après l'article 3.3.15 RPA A1 :

Un dalle prendra 60% de la surcharge d'exploitation

$$\text{Plancher terrasse } \frac{120 \times 40 \cdot 7}{2} = 48,12 \text{ t}$$

$$P_{\text{terr.}} = 74,16 \text{ t}$$

$$\text{d'où charge soumise au sol : } \begin{cases} P_{\text{terr.}} = 478,62 \text{ t} \\ P_{\text{terr.}} = 487,55 \text{ t} \end{cases}$$

3. 2. 4 - Snes Longitudinal

1^{ere} Iteration:

Niveau	$G_i^I(t)$	$T_i = \sum \alpha_i^I$	$R_i (t/cm)$	$A_i^I = \frac{T_i}{R_i cm}$	$V_i^I = \sum s_i$	$e^I = \frac{V_i^I}{\sum s_i}$
VII	472,62	472,62	1019,13	0,463	12,432	1
VI	497,55	970,17	1019,13	0,951	11,969	0,962
V	497,55	1467,72	1019,13	1,449	11,018	0,886
IV	497,55	1962,27	1019,13	1,928	9,569	0,769
III	497,55	2462,82	1019,13	2,416	7,641	0,614
II	497,55	2960,37	1019,13	2,904	5,225	0,420
I	497,55	3457,92	1489,36	2,321	2,321	0,186

2^{eme} Iteration:

Niveau	$G_i^{II}(t)$	$T_i = \sum G_i^{II}$	$R_i (t/cm)$	$A_i^{II} = \frac{T_i}{R_i cm}$	$V_i^{II} = \sum \alpha_i^{II}$	$e^{II} = \frac{V_i^{II}}{\sum \alpha_i^{II}}$
VII	472,62	472,62	1019,13	0,463	10,389	1
VI	478,64	951,263	1019,13	0,933	9,9261	0,955
V	440,89	1392,09	1019,13	1,366	8,993	0,865
IV	382,61	1774,706	1019,13	1,741	7,627	0,734
III	305,49	2030,2	1019,13	2,041	5,886	0,566
II	208,97	2289,17	1019,13	2,246	3,8451	0,37
I	92,54	2381,71	1489,36	1,599	1,5991	0,154

3^eme Iteration :

Niveau	$G_i^{\text{III}}(t)$	$\bar{T}_i = \sum G_i^{\text{IV}}$	$R_i(t/\text{cm})$	$A_i^{\text{IV}} = \frac{T_i^{\text{IV}}}{R_i}$	$V_i = \sum A_i$	$e_i^{\text{IV}} = \frac{V_i^{\text{IV}}}{\sum A_i}$
VII	472,62	472,62	1019,13	0,463	10,141	1
VI	475,16	947,78	1019,13	0,929	9,678	0,954
V	430,38	1378,16	1019,13	1,358	8,749	0,862
IV	365,2	1743,36	1019,13	1,71	7,397	0,729
III	281,61	2024,97	1019,13	1,986	5,687	0,561
II	184,09	2209,06	1019,13	2,167	3,7016	0,365
I	76,62	2285,68	1489,36	1,534	1,584	0,151

4^e Iteration :

Niveau	$G_i^{\text{IV}}(t)$	$\bar{T}_i = \sum G_i^{\text{IV}}$	$R_i(t/\text{cm})$	$A_i^{\text{IV}} = \frac{T_i^{\text{IV}}}{R_i}$	$V_i = \sum A_i$	$e_i^{\text{IV}} = \frac{V_i^{\text{IV}}}{\sum A_i}$
VII	472,62	472,62	1019,13	0,463	10,113	1
VI	474,66	947,28	1019,13	0,929	9,65	0,954
V	428,38	1376,16	1019,13	1,35	8,721	0,862
IV	362,71	1738,37	1019,13	1,706	7,371	0,729
III	279,12	2011,99	1019,13	1,98	5,665	0,56
II	181,6	2199,59	1019,13	2,158	3,685	0,364
I	75,13	2274,72	1489,36	1,527	1,527	0,151

5^e Itération :

Niveau	$G_i^x(t)$	$\bar{I}_i = I.G.$	R_i	$\Delta_i^x = \frac{T_i^x}{R_i}$	$V_i^x = \sum \Delta_i^x$	$e_i^x = \frac{V_i^x}{\sum \Delta_i^x}$
VII	472,62	472,62	1019,13	0,483	10,11	1
VI	474,66	946,28	1019,13	0,929	9,647	0,954
V	428,88	1376,16	1019,13	1,35	8,718	0,862
IV	362,71	1738,87	1019,13	1,702	7,368	0,729
III	278,62	2017,5	1019,13	1,979	5,662	0,56
II	181,4	2198,61	1019,13	2,157	3,683	0,364
I	76,13	2273,74	1489,36	1,526	1,526	0,151

On remarque que le coefficient $e_n^x = e_i^x$, le pressionnent converge au niveau de la 5^e itération dans la période dans le sens longitudinal est : $T_x = 0,2 \sqrt{I_2} = 0,2 \sqrt{10,11} = 0,636$ p.
 $T_x = 0,636$ pounds.

3.2.5 - Deux Géométrical

1^{re} Iteration

Niveau	G_i^I (t)	$T_i^I = \sum G_i^I$	R_i t/m	$d_i^I = \frac{T_i^I}{R_i}$	$y_i^I = \sum \delta_i$ cm	$e_i^I = \frac{y_i^I - v_i^I}{\sum d_i^I}$
IV	472,62	472,62	869,84	0,543	14,06	1
II	497,55	970,17	869,84	1,115	13,51	0,96
I	497,55	1467,72	869,84	1,687	12,403	0,882
III	497,55	1965,27	869,84	2,259	10,715	0,762
II	497,55	2462,82	869,84	2,831	8,456	0,601
III	497,55	2960,37	869,84	3,403	5,625	0,4
I	497,55	3457,92	1556,052	2,222	2,222	0,158

2^{re} Iteration

Niveau	G_i^{II}	$T_i^{II} = \sum G_i^{II}$	R_i t/m	$d_i^{II} = \frac{T_i^{II}}{R_i}$	$y_i^{II} = \sum \delta_i$ cm	$e_i^{II} = \frac{y_i^{II} - v_i^{II}}{\sum d_i^{II}}$
IV	472,62	472,62	869,84	0,543	11,752	1
II	477,64	950,268	869,84	1,092	11,208	0,953
I	438,84	1389,1	869,84	1,597	10,11	0,86
III	379,13	1768,2	869,84	2,032	8,519	0,724
II	299,02	2067,22	869,84	2,376	6,488	0,558
III	199,02	2266,84	869,84	2,605	4,112	0,349
I	78,61	2344,85	1556,052	1,507	1,507	0,1282

3^e Iteration :

Niveau	G_i^{III} (t)	$\frac{III}{T_2} = \sum G_i^{III}$	R_i (t/cm)	$\Delta_i^{III} = \frac{T_2^{III}}{R_i}$	$V_i^{III} = \sum \delta_i$	$e_i^{III} = \frac{\sqrt{V_i^{III}}}{\sum \Delta_i}$
IV	472,62	472,62	869,84	0,543	11,468	1
V	474,16	946,78	869,84	1,088	10,925	0,952
VI	427,89	1374,67	869,84	1,58	9,83	0,857
VII	360,22	1734,89	869,84	1,994	8,257	0,72
VIII	274,64	2009,53	869,84	2,31	6,263	0,546
IX	173,64	2183,17	869,84	2,509	3,953	0,344
X	63,78	2246,95	1556,052	1,444	1,444	0,126

4^e Iteration :

Niveau	G_i^{IV} (t)	$\frac{IV}{T_2} = \sum G_i^{IV}$	R_i (t/cm)	$\Delta_i^{IV} = \frac{T_2^{IV}}{R_i}$	$V_i^{IV} = \sum \delta_i$	$e_i^{IV} = \frac{\sqrt{V_i^{IV}}}{\sum \Delta_i}$
IV	472,62	472,62	869,84	0,548	11,434	1
V	473,66	946,28	869,84	1,087	10,891	0,952
VI	426,4	1372,68	869,84	1,578	9,804	0,857
VII	358,23	1730,91	869,84	1,989	8,226	0,719
VIII	271,66	2002,57	869,84	2,302	6,237	0,545
IX	171,15	2173,7	869,84	2,498	3,935	0,344
X	62,69	2236,39	1556,052	1,437	1,437	0,125

5^e Iteration :

Niveau	$G_i(t)$	$\bar{G}_i = \sum G_i$	$R_i(t/cm)$	$\Delta_i = \frac{\bar{G}_i}{R_i}$	$V_i = \sum \Delta_i$	$\bar{e}_i = \frac{\sqrt{V_i}}{\sum \Delta_i}$
VII	472,62	472,62	869,84	0,543	11,432	1
VI	473,66	946,28	869,84	1,087	10,89	0,958
V	426,4	1372,67	869,84	1,578	9,802	0,857
IV	357,74	1730,4	869,84	1,989	8,224	0,719
III	271,16	2001,56	869,84	2,304	6,235	0,545
II	171,15	2172,71	869,84	2,498	3,934	0,344
I	62,19	2234,9	1556,052	1,436	1,436	0,125

De la même manière, nous constatons que $\bar{e}_i^I = \bar{e}_i^{II}$ donne le pessimum par rapport à la 5^e itération et la pire de dans le sens transversal et donnée par :

$$T_y = 0,2 \sqrt{V_I} = 0,2 \sqrt{11,432} = 0,676 \text{ secondes.}$$

Remarque :

Il est alors vainable de questionner la validité de la formule empirique du R.P.A 91 Art 3.3.1.1.2, dans son application elle la pénale ($T = 0,1N$) pour les éléments dont le système de renforcement est à section variable. En effet lors travaux des valeurs de la période $T_p = 466 \mu s$, alors que la formule l'assure de $T_y = 0,715$ à $T = 0,1 \times N = 0,7 \times 7 = 0,7 s$. ce qui est très proche de la réalité.

3.2.6 - Etude du 2^e mode: VIANELLO - STODOLA

On connaît le 1^{er} mode de vibration (fundamental)

Soit \ddot{x}_{2j} une expression approximative pour le 2^e mode,
elle peut être écrite sous la forme

$$\ddot{x}_{2j} = \ddot{x}_{1j} + a_1 x_{1j} \quad (1)$$

x_{1j} représente la forme exacte du 1^{er} mode (à déterminer)

x_{1j} : la forme étatique du 1^{er} mode connue.

On multiplie la relation (1) par $G_{ij} x_{1j}$ et on fait

la somme des produits ainsi obtenus:

$$\sum_{j=1}^n G_{ij} \ddot{x}_{2j} x_{1j} = \sum_{j=1}^n G_{ij} \ddot{x}_{2j} x_{1j} + a_1 \sum_{j=1}^n G_{ij} x_{1j}^2$$

La propriété d'orthogonalité nous donne:

$$\sum_{j=1}^n G_{ij} x_{1j} \ddot{x}_{2j} = 0 \quad \text{alors } a_1 = \frac{\sum_{j=1}^n G_{ij} x_{1j} \ddot{x}_{2j}}{\sum_{j=1}^n G_{ij} x_{1j}^2}$$

- On calcule ensuite les ordonnées du 2^e mode

$$\ddot{x}_{2j} = \ddot{x}_{2j} - a_1 x_{1j}$$

et ses forces: $M_{2j}^{(1)} = M_j \ddot{x}_{2j}^{(1)} = \frac{G_{ij}}{G_{jj}} \ddot{x}_{2j}^{(1)}$

- On détermine les déplacements: $\ddot{x}_{2j}^{(1)}$

- Et enfin la pulsation: $\bar{\omega}_2^2 = \frac{\ddot{x}_{2j}^{(1)}}{\ddot{x}_{2j}^{(1)}}$

$$\text{on trouve } \bar{\omega}_2^2 = \frac{\sum \ddot{x}_{2j}^{(1)}}{\sum \ddot{x}_{2j}^{(1)}} \quad \text{avec: } \bar{\omega}_2^2 \leq \omega_2^2 \leq \bar{\omega}_2^2$$

Les valeurs de \ddot{x}_{2j} sont données dans le tableau au sein de ceux d'une défense électrique, on prendra la défense du 2^e mode déterminée à un facteur près; pour cela on utilise les valeurs données par le tableau de POKROVSKI (ordonnées de la forme réduite 2^e Mode)

3.2.6.1-sens dampfrequenz:

2^o MODE

Z/h	x_{2j}^0	$G_j \text{ (t)}$	x_{ij}	$G_j x_{ij} x_{2j}^0$	$G_j x_{ij}^2$	$x_{2j}^{(1)}$	$M_{2j}^{(1)}$	$T = \sum \frac{x_{2j}^{(1)}}{z_j}$	$\Delta_j = \frac{T}{2}$	$x_{2j}^{(2) \text{ (con)}} = \sum \frac{\delta_{2j}}{z_j}$
1	-1	472,62	1	-472,62	472,62	-0,829	-39,35	-39,95	-0,039	-0,11
0,857	-0,7812	497,55	0,954	-370,80	452,83	-0,618	-31,36	-71,31	-0,07	-0,071
0,714	-0,2211	497,55	0,863	-94,82	363,70	-0,074	-3,75	-75,06	-0,073	-0,001
0,571	0,4356	497,55	0,729	157,99	264,41	0,56	28,4	-46,66	-0,045	0,072
0,428	0,902	497,55	0,56	251,32	156,03	0,997	50,59	3,933	0,0038	0,117
0,285	0,9739	497,55	0,364	176,38	65,92	1,0359	52,54	56,47	0,055	0,114
0,142	0,6202	497,55	0,151	46,59	11,34	0,646	32,77	89,24	0,059	0,059
Σ				-305,96	1792,84					

$$\varrho_1 = \frac{\sum_i G_j x_{ij} x_{2j}^0}{\sum G_j x_{ij}^2} = -0,1706$$

$$x_{2j}^{(3)} = x_{2j}^0 - \varrho_1 x_{ij}$$

3.2.6.2.2ma transversal:

2^o MODE

Z/h	x_{2j}^0	G_j	x_{ij}	$G_j x_{ij} x_{2j}^0$	$G_j x_{ij}^2$	\bar{x}_{2j}^0	$M_{2j}^{(0)}$	$T = \sum M_{2j}^{(0)}$	$\alpha_j = \frac{T}{Q}$	$x_{2j}^2 = \sum \delta_{2j}^{(0)}$
1	-1	472,62	1	-472,62	472,62	-0,812	-39,12	-39,12	-0,045	-0,123
0,867	-0,7812	497,55	0,952	-370,03	450,93	-0,602	-30,54	-69,66	-0,08	-0,078
0,714	-0,2811	497,55	0,857	-94,27	365,42	-0,059	-3,04	-72,7	-0,083	0,003
0,571	0,4356	497,55	0,719	155,83	257,21	0,57	28,94	-43,75	-0,05	0,085
0,428	0,302	497,55	0,545	244,59	147,78	1,004	50,944	7,19	0,0082	0,135
0,285	0,9739	497,55	0,344	166,69	58,87	1,038	53,67	59,36	0,068	0,12
0,142	0,6202	497,55	0,125	38,57	7,77	0,6437	32,64	92,5	0,059	0,059
				-331,24	1760,6					

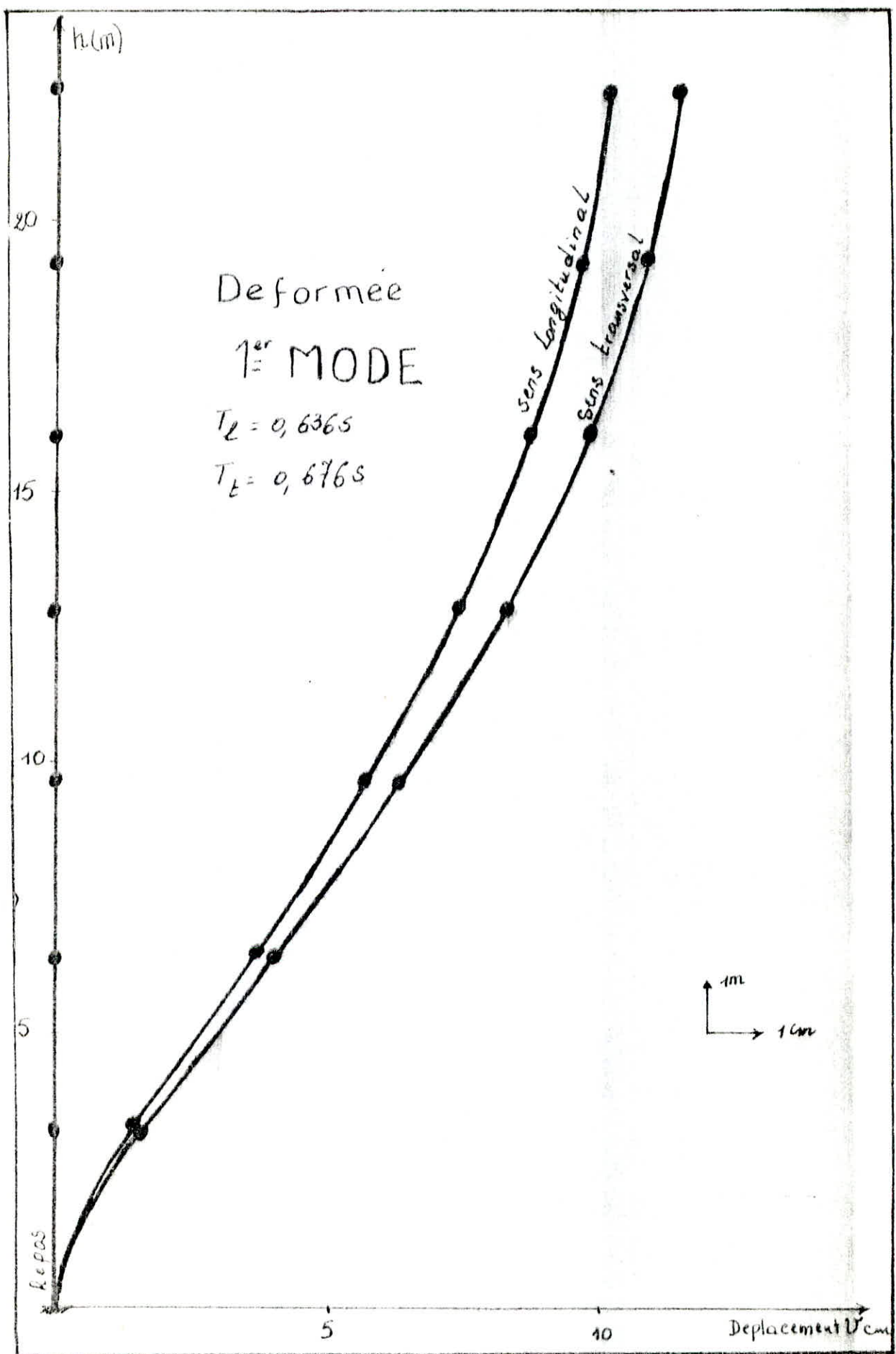
$$\alpha_L = \frac{\sum_i G_j x_{ij} \bar{x}_{2j}^0}{\sum_i G_j x_{ij}^2} = -0,183$$

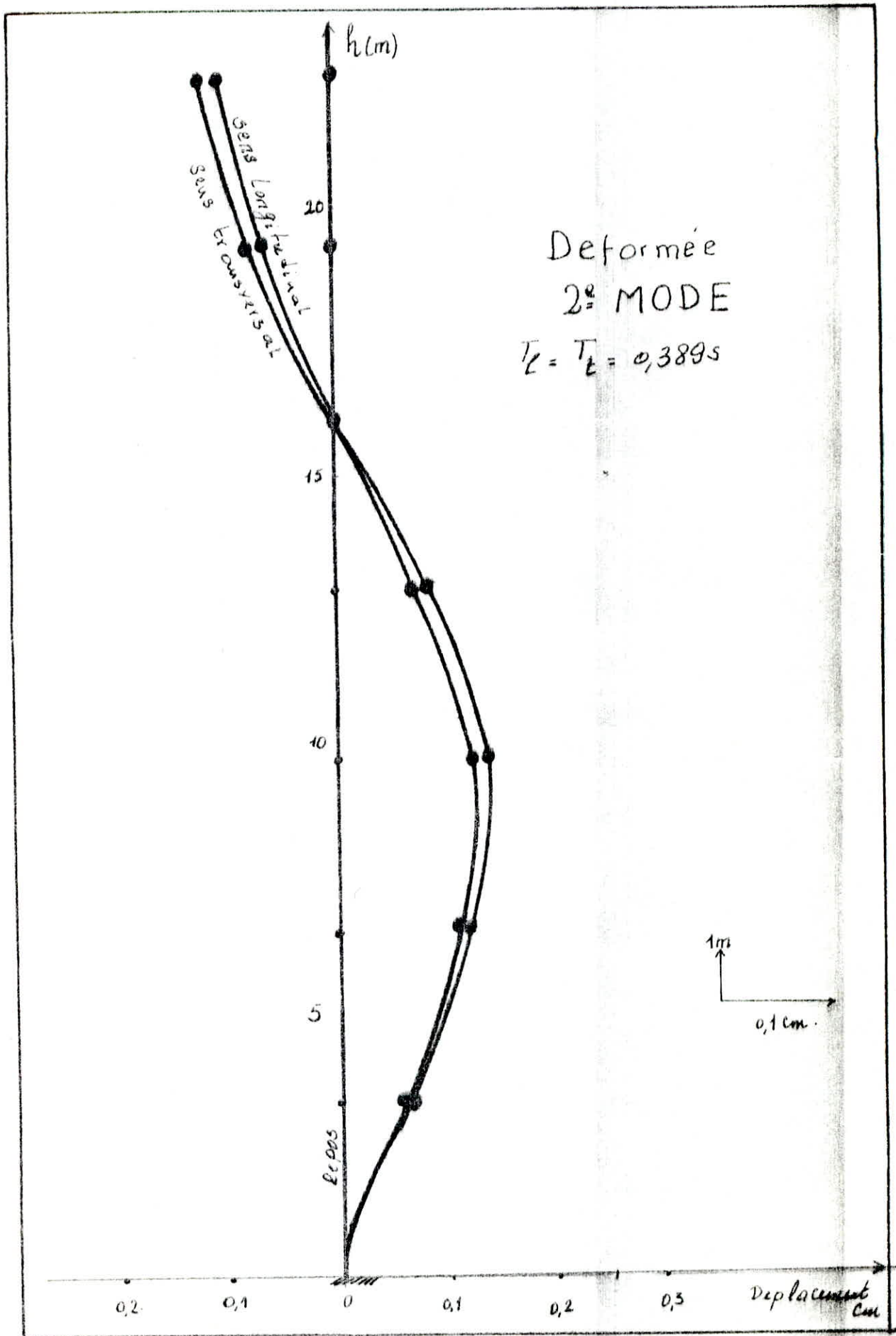
$$\bar{x}_{2j}^0 = x_{2j}^0 - \alpha_L x_{ij}$$

Conclusion :

Tu tes déplacements les plus obtenus, on ne tient pas
compte du 2^e mode pour la diminution quantitative des efforts.
résultat :

	sous longitudinal	sous transversal
$w_2 = \bar{w}_2$	16,14 nd/p	16,11 nd/p
$F_2 = \bar{F}_2$	0,383 p.	0,383 p.





3.3 - CALCUL DES CARACTÉRISTIQUES GÉOMÉTRIQUES

3.3.1. Centré d'inertie:

$$x_i = \frac{\sum I_{xi} \cdot x_i}{\sum I_{xi}}, \quad y_i = \frac{\sum I_{yi} \cdot y_i}{\sum I_{yi}}$$

Poteau 80x50 : $I_x = 0,009 \text{ m}^4$ et $I_y = 0,00825 \text{ m}^4$

Poteau 40x40 : $I_x = I_y = 0,002133 \text{ m}^4$,

$$\sum I_x = 0,2089 \text{ m}^4, \quad \sum I_y = 0,15054 \text{ m}^4$$

$$x_i = \frac{(3 \times 0,009 + 2 \times 0,002133)(4,3 + 7,45 + 11,55 + 14,15 + 18,55 + 22,15) + 25,75 \times 5 \times 0,002133}{0,2089} = 18,146 \text{ m}$$

$$y_i = \frac{(2 \times 0,002133 + 6 \times 0,00825)(6 + 12 + 15,6) + (8 \times 0,002133) \times 15,2}{0,15054} = 10,850 \text{ m}$$

$$\begin{cases} x_i = 18,146 \text{ m} \\ y_i = 10,850 \text{ m} \end{cases}$$

3.3.2. Centré de masse:

3.3.2.1. Surface du plancher = $494,4 \text{ m}^2$ et $\sigma = 589 \text{ kg/m}^2$ (terrasse)

$$x_i = \frac{494,4 \times 589 \times 12,975}{494,4 \times 589} = 12,975 \text{ m}$$

$$y_i = \frac{494,4 \times 589 \times 9,60}{494,4 \times 589} = 9,60 \text{ m}$$

3.3.2.2 - deux poteau: $x_i = \frac{\sum m_i x_i}{\sum m_i} = \frac{\sum s_i x_i}{\sum s_i}$

$$S_{40x40} = 0,16 \text{ m}^2, \quad S_{50x60} = 0,32 \text{ m}^2$$

$$\sum s_i = 22 \times 0,16 + 18 \times 0,32 = 8,92 \text{ m}^2$$

$$x_i = (2 \times 0,96 + 3 \times 0,3) [(5,43 + 7,45 + 11,35 + 14,95 + 19,55 + 22,15)] + 25,75 \times 5 \times 0,96 = 13,12 \text{ m}$$

8,02

$$y_i = (2 \times 0,96 + 6 \times 0,3) [(6 + 12 + 15,6)] + 8 \times 0,96 \times 10,2 = 10,74 \text{ m}$$

8,92

3.3.2.3 - deux - terrasse , acrotée : $x_i = 12,875 \text{ m}$, $y_i = 9,60 \text{ m}$

	$M_i (\text{t})$	$x_i (\text{m})$	$y_i (\text{m})$	$M_i x_i (\text{t} \cdot \text{m})$	$M_i y_i (\text{t} \cdot \text{m})$
1. terrasse	291,20	12,875	9,6	3740,20	2795,52
Acrotée	16,85	12,875	9,6	216,94	161,76
2. Mayenne	34,6	12,875	9,6	445,44	332,16
2. Poterne	42,4	13,12	10,74	556,28	455,32
2. Vale	20,42	2,742	9,92	55,98	182,23
extérieure	36	13,09	10,54	471,24	379,44

de ceint : $\left\{ \begin{array}{l} x_G = \frac{\sum M_i x_i}{\sum M_i} = 12,44 \text{ m} \\ \end{array} \right.$

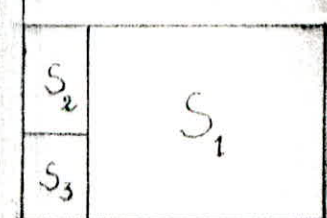
Pour le plancher $\left\{ \begin{array}{l} \end{array} \right.$

terrasse $\left\{ \begin{array}{l} y_G = \frac{\sum M_i y_i}{\sum M_i} = 9,75 \text{ m} \\ \end{array} \right.$

3.3.2.4 Etage du lontant :

Plancher : $\left\{ \begin{array}{l} s_1 = 19 \times 19,2 = 364,8 \text{ (cf. corps aucun)} \Rightarrow 436,5 \text{ kg/m}^2 \\ s_2 = 16,2 \times 4,75 = 77,3 \text{ (cf. * * *)} \\ s_3 = 6 \times 9,75 = 58,5 \text{ (cf. dalle pleine) } \Rightarrow 641,5 \text{ kg/m}^2 \end{array} \right.$

d'ab : $\left\{ \begin{array}{l} x_1 = 16,75 \text{ m} , y_1 = 9,6 \text{ m} \\ x_2 = 3,875 \text{ m} , y_2 = 12,6 \text{ m} \\ x_3 = 3,875 \text{ m} , y_3 = 3 \text{ m} \end{array} \right.$



$$x_G = \frac{345,6 \times 456,5 \times 16,75 + 102,3 \times 456,5 \times 3,875 + 46,5 \times 641,5 \times 3,875}{345,6 \times 456,5 + 456,5 \times 102,3 + 456,5 \times 641,5} = 12,84 \text{ m}$$

$$y_G = \frac{345,6 \times 456,5 \times 9,6 + 102,3 \times 456,5 \times 12,6 + 46,5 \times 641,5 \times 3}{234296,1} = 0,85 \text{ m}$$

	$M_i (\text{t})$	$x_i (\text{m})$	$y_i (\text{m})$	$M_i x_i (\text{t} \cdot \text{m})$	$M_i y_i (\text{t} \cdot \text{m})$
Plancher	234,29	12,54	9,85	2937,99	2190,61
Poteaux	85,63	13,12	10,74	1123,46	919,66
marche	69,28	12,875	9,60	891,98	665,08
estambé	36	12,08	10,54	471,24	395,44
Vale	1574	2,742	9,925	43,96	140,48

$$\left\{ \begin{array}{l} x_G = \frac{\sum M_i x_i}{\sum M_i} = 12,40 \text{ m} \end{array} \right.$$

$$\left\{ \begin{array}{l} y_G = \frac{\sum M_i y_i}{\sum M_i} = 0,74 \text{ m} \end{array} \right.$$

3.3.2.5 - Calcul des Excentricités :

$$\text{Sur } x-x : \left\{ \begin{array}{l} \ell_x = x_F - x_I \quad , \quad x_S = 13,145 \text{ m} \end{array} \right.$$

$$\text{Sur } y-y : \left\{ \begin{array}{l} \ell_y = y_F - y_I \quad , \quad y_S = 10,859 \text{ m} \end{array} \right.$$

- excentricité théorique :

	Carré	Etage fondant
$x_I (\text{m})$	12,44	12,40
$y_I (\text{m})$	5,75	5,75
$\ell_x (\text{m})$	0,706	0,746
$\ell_y (\text{m})$	1,11	1,12

3.3.3 Excentricité Accidentelles :

Les règles du complément C.I.C au P.S 69 précisent une excentricité accidentelle égale à 5% de la plus grande dimension du plan du bâtiment.

$$\text{Cas n°1 : } l_a = 0,05 \times 2,6 = 1,30 \text{ m}$$

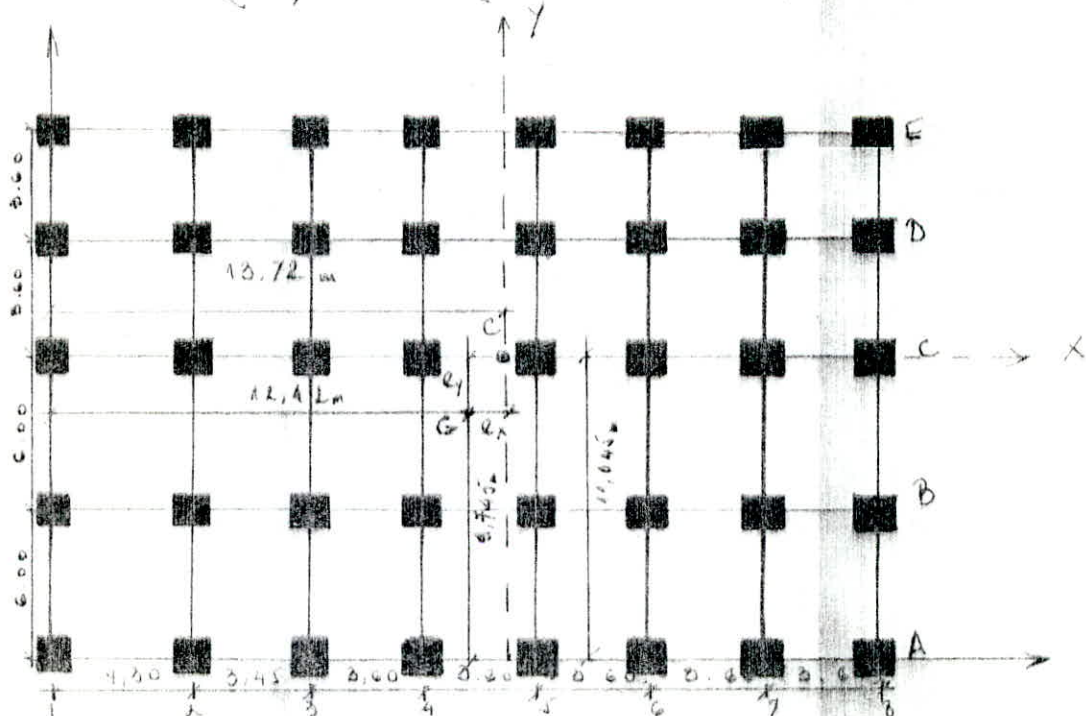
Coujours selon le complément C.I.C au P.S 69, pour toute construction et structures supportant des planchers rigides dans leur plan, on suppose qu'à chaque niveau et étage, chaque direction la résultante des forces horizontales à une excentricité fait rapport au centre de torsion égale à la plus grande des 2 valeurs suivantes :

5% de la plus grande dimension du bâtiment en plan.

Excentricité théorique résultant des plans.

$$\text{Or : } \left\{ \begin{array}{l} l_x = \max(0,706; 0,746; 1,8) = 1,80 \text{ m} \\ l_y = \max(1,11; 1,12; 1,9) = 1,90 \text{ m} \end{array} \right.$$

$$\left\{ \begin{array}{l} l_x = \max(0,706; 0,746; 1,8) = 1,80 \text{ m} \\ l_y = \max(1,11; 1,12; 1,9) = 1,90 \text{ m} \end{array} \right.$$



3.4 - ETUDE AU SEISME

- Règlement utilisé :

Règles Parasismiques Algériennes R.P.A 81

- Introduction :

Le but du R.P.A est de poser les mesures nécessaires à la conception et à l'exécution des constructions de façon à fournir un degré de protection acceptable aux vies humaines et aux biens matériels.

During le R.P.A, les forces vives dynamiques qui se développent dans la construction sont compensées par un système de forces statiques fictives dont les effets sont considérés équivalents aux effets de l'action sismique.

Le Mouvement du sol peut se faire dans une direction quelconque dans le plan horizontal. Les forces vives horizontales sont combinées appliquées successivement suivant deux directions orthogonales, caractéristique, choisis par le projecteur; dans le cas général ces deux directions sont les axes principaux du plan horizontal de la structure.

Les forces statiques équivalentes données par la méthode statique sont inférieures aux forces vives que je transmettent dans la structure élastique sous l'action du sisme extrême, car on tient compte de certains phénomènes tel que la possibilité d'adaptation plastique; cette prise en compte est le plus souvent justifiée puis les structures généralement hyperstatique doivent être élaborée élastique pour passer au plastique lors d'un tremblement de terre.

- Action Sismique :

des forces sismiques horizontales agissent de façon non simultanée dans la direction le long des axes principaux et jouent sur la structure et :

$$V = A \cdot B \cdot D \cdot Q \cdot W$$

- Définitions et valeurs des coefficients :

- A : coefficient d'accélération des zones :

$$\left. \begin{array}{l} \text{groupe et usage I (hôpital)} \\ \text{Zone II (ALGAE)} \end{array} \right\} A = 0,25$$

- D : facteur d'amplification sismique :

D est fonction de la période $D = f(T)$.

$$D = 2 \sqrt{\frac{0,5}{T}} \quad \left. \begin{array}{l} T_x = 0,636 \Delta \rightarrow D_x = 1,77 \\ T_y = 0,676 \Delta \rightarrow D_y = 1,72 \end{array} \right.$$

- B : facteur de comportement de la structure :

portique auto stable : $B = 1/4$ (catégorie 1)

- Q : facteur de qualité : en fonction de l'hyperstabilité et la surabondance du système et des symétries en plan de sa rigidité en élévation et de la qualité du solide pendant la construction, sa valeur est déterminée par la formule : $Q = 1 + \sum_{q=1}^{q=7} P_q$

P_q est la probabilité qui défend q^{th} de l'observation en bas du critère de qualité q ;

si le critère est observé $P_q = 0$

sinon $P_q = 0,1$

* critère des files postures.

Il y a au moins 3 traces dont le rapport de posture n'excède pas 1,5

sous longitudinal & traces dont $\frac{L_{\max}}{L_{\min}} = \frac{430}{345} = 1,24 < 1,5$.

sous transversal :

$\frac{L_{\max}}{L_{\min}} = \frac{600}{360} = 1,66 > 1,5$.

donc sous larg. $P_{q_{1,2}} = 0$, critère observé

sous transv. $P_{q_{1,2}} = 0,1$, critère non observé.

* critère de surabondance en plan.

sous longitudinal & abs $L_{\max} = 1,24 < 1,5$ $P_{q_{1,2}} = 0$, observé.

sous transversal & abs $\frac{L_{\max}}{L_{\min}} = 1,66 > 1,5$ $P_{q_{1,2}} = 0,1$, non observé.

* critère de symétrie en plan:

$$L_x = 28,15 \quad 15\% L_x = 3,92 \quad \left. \begin{array}{l} \\ \end{array} \right\} > (x_0, y_0) \text{ donc } P_{q_{1,2}} = 0.$$

$$L_y = 19,60 \quad 15\% L_y = 2,94 \quad \left. \begin{array}{l} \\ \end{array} \right\} > (x_0, y_0) \text{ donc } P_{q_{1,2}} = 0.$$

* critère de régularité en élévation :

- sous larg. risquée 1^{er} Niveau : $R_1 = 1489,38 t/cm$

 // R² Niveau : $R_2 = 1010,13 t/cm$

$$\frac{R_1}{R_2} = \frac{1489,38}{1010,13} = 1,46, \text{ variation de } 46\%, \text{ critère non observé } P_{q_{3,4}} = 0,1$$

- sous transversal. risquée 1^{er} Niveau : $R_1 = 1558,05 t/cm$

 // R² Niveau $R_2 = 866,04 t/cm$.

$$\frac{R_1}{R_2} = \frac{1558,05}{866,04} = 1,79, \text{ variation de } 79\%, \text{ critère non observé } P_{q_{3,4}} = 0,1.$$

- * critère de qualité des matériaux, non observé: $P_{q=5} = 0,1$
- * critère de qualité de la construction, non observé: $P_{q=6} = 0,1$.

Valeur du facteur Q :

$$\text{seu longitudinal: } Q_L = 1 + 0 + 0 + 0 + 0,1 + 0,1 + 0,1 = 1,8.$$

$$\text{seu transversal: } Q_T = 1 + 0,1 + 0,1 + 0 + 0,1 + 0,1 + 0,1 = 1,5.$$

- latent de W : poids propre de la structure + 50% des surcharges.

$$W = \sum_1^4 G = 472,62 + 6 \times 407,55 = 3457,92 \text{ t.}$$

- action $i=1$ si nique longitudinale.

$$V_L = A D_L B Q_L W = 0,25 \times 1,77 \times 1 \times 1,8 \times 3457,92 = 487,29 \text{ t.}$$

- action si nique transversale:

$$V_T = A D_T B Q_T W = 0,25 \times 1,72 \times \frac{1}{4} \times 1,5 \times 3457,92 = 554,58 \text{ t.}$$

Distribution des forces latérales:

La force latérale totale V doit être distribuée sur la hauteur de la structure selon la formule suivante:

$$V = F_t + \sum_{j=1}^n F_j, \quad F_j: \text{Face concentrée au sommet de la structure.}$$

F_t : face concentrée au sommet de la structure dont la valeur $F_t = 0,97 T \cdot V$; Par ailleurs le RPA stipule que F_t peut être prise égale à zéro quand la période $T \leq 0,7 \text{ s}$. Ce qui entraîne $F_t = 0$, et $V = \sum_{j=1}^n F_j$.

Donc l'effort horizontal total V sera distribué sur la hauteur de la structure suivant la formule:

$$F_j = V \cdot \frac{w_j \cdot h_j}{\sum_{i=1}^n w_i \cdot h_i}$$

NIV	W_0 (x)	h_0 (m)	$W_0 \cdot h_0$ (t-m)	F_{0x} (t)	F_{ix}^c (t)	F_{iy} (t)	F_{iy}^c (t)
7	472,62	22,4	10.686,68	119,59	110,50	134,10	134,10
6	487,55	16,20	9.552,96	107,914	127,5	121	255,10
5	497,55	16	7360,90	93,93	317,43	100,83	355,13
4	487,55	12,80	6368,64	91,94	383,27	80,66	436,59
3	487,55	8,60	4776,48	53,95	443,33	60,49	467,09
2	407,55	6,40	3194,32	35,97	475,20	40,33	537,41
1	487,55	3,20	1592,16	17,89	497,120	20,16	557,59
Σ			44022,04				

3.5 - VÉRIFICATION AU DÉNVERGEMENT

Chaque structure doit être calculée de manière à résister aux effets des courbements qui peuvent être causés par les effets suivants.

Moment de renversement = M_r est. en épingle.

Moment extérieur au coussin:

$$\kappa M_{\text{ext.}} = \sum_{i=1}^7 F_i x_i = F_1 x_1 + F_2 x_2 + \dots + F_7 x_7.$$

• Moment constant: $M_r = b \sum_{i=1}^7 w_i$, w_i : poids du flançage
on doit vérifier:

$$\frac{M_{\text{res.}}}{M_{\text{ext.}}} \geq 1,5.$$

3.5.1 - Flans longitudinaux: $L_x = 28,15 \text{ m}$, $b_{xz} = \frac{L_x}{2} = 13,075 \text{ m}$

$$\text{moment extérieur: } M_{\text{ext.}} = \sum_{i=1}^7 F_i x_i = M_0,50 \times 22,6 + 109,914 \times 13,4 +$$

$$+ 93,03 \times 16,1 + 71,97 \times 10 + 53,95 \times 9,0 + 35,97 \times 6,8 + 14,99 \times 3,4 = 1015,62 \text{ kNm}$$

$$\text{Moment constant: } 13,075 \times 6 + 57,92 = 152,12,3 \text{ kNm}$$

$$\frac{M_{\text{res.}}}{M_{\text{ext.}}} = \frac{152,12,3}{1015,62} = 5,64 > 1,5, \text{ vérifié.}$$

3.5.2 - Flans transversal: $L_y = 19,600$, $b_{zy} = 9,90 \text{ m}$

$$\text{moment extérieur: } M_{\text{ext.}} = \sum_{i=1}^7 F_i x_i = 129,1 \times 22,6 + 121 \times 19,4 + 100,62 \times 16,1 + 90,66 \times 13 + 60,45 \times 9,0 + 40,33 \times 6,6 + 20,16 \times 3,4 = 7987,61 \text{ kNm}$$

$$\text{moment constant: } 19,600 \times 6 + 57,92 = 33897,816 \text{ kNm.}$$

$$\frac{M_{\text{res.}}}{M_{\text{ext.}}} = \frac{33897,816}{7987,61} = 3,77 > 1,5, \text{ également vérifié.}$$

C H A P I T R E : **IV**

- ETUDE AU VENT -

ETUDE AU VENT

- Introduction :

Le vent est soumis à des forces statiquement appliquées à la structure, ces forces dépendent : de la vitesse, du site, de l'altitude, des dimensions de la construction, de la magnétisation dynamique, du coefficient de traînée et de l'effet de masque.

Le vent correspond en fait à un phénomène vibratoire mettant en mouvement la structure constante caractérisée par sa période propre fondamentale. L'introduction de ce coefficient de magnétisation dynamique couplé avec cette période propre et étant la valeur se situe normalement entre 1,1 et 1,3, permet de substituer à tous les phénomènes de forces statiques qui sont censées produire les mêmes effets et les mêmes conséquences.

Si une hauteur H , la pression du vent s'exprime pour une largeur b par : $V_H = q_s \cdot b$

q_s : pression dynamique au niveau H , cette pression peut être obtenue à partir de la pression statique.

$q_s = q \cdot p$, avec p coefficient dynamique tenant compte de la période d'oscillation de la structure.

Le coefficient p est donné par la formule : $p = \delta (1 + \xi \epsilon) \geq 1$

ξ : un coefficient, appelé coefficient de répons dynamique en fonction de la période d'oscillation de la structure.

Comme la période d'oscillation à vide a été déterminée dans l'étude dynamique, il suffit alors d'après le tableau N.V. 2-5

$$\text{pour } \begin{cases} T_x = 0,636 \text{ s} & , \quad \xi_x = 0,60 \\ T_y = 0,676 \text{ s} & , \quad \xi_y = 0,62 \end{cases}$$

$$\text{ont } \xi = \text{Max}(\xi_x, \xi_y) = 0,62$$

- α : coefficient de pulsation ; il dépend de la hauteur H du niveau considéré, il est directement lu sur l'échelle fonctionnelle de la figure 2 III 4 N.V. 65.

$$H = 23,35 \text{ m} \rightarrow \alpha = 0,341$$

$$\text{pour cette surcharge: } 0,341 \leq \alpha \leq 0,36$$

- β : est un coefficient qui vaut 0,7 pour $H < 30 \text{ m}$ c'est une approximation: $\beta = 0,7(1 + 0,62 \times 0,341) = 0,843$
- d'après la condition: $\beta_0 \geq 1$ on trouve donc: $\beta_0 = 1$
- q : Pression statique est obtenue à l'aide de la formule:

$$q = q_H \cdot K_s \cdot K_m \cdot S \cdot C_p$$

q_H : est la pression de base au niveau H . Elle est fonction de la hauteur et de la pression q_{H_0} qui s'exerce à une hauteur de 10m des éléments du sol.

Le sol fondamental est classé en catégorie II ; la pression de base est:

$$q_{H_0}^H = 70 \text{ daN/m}^2$$

$$q_{H_0}^L = 1,75 q_{H_0}^H = 122,5 \text{ daN/m}^2$$

$$\text{alors: } q_H = q_{H_0} \times 2,5 \times \frac{H + 10}{H + 60}$$

4.2 - Calcul des coefficients de pression :

4.2.1 - Action résultante par le vent :

Pour une structure à poutres rectangulaires et à toiture :

$$\text{rapport de dimensions } \lambda : \begin{cases} \lambda_a = \frac{h}{a} = \frac{23,35}{26,15} = 0,893 \\ \lambda_b = \frac{h}{b} = \frac{23,35}{19,60} = 1,19 \end{cases}$$

coefficients α_c : (fig. 2 II 5 H.V.G5 en fonction de λ_a, λ_b)
en trait $\alpha_c = 1$.

* action extérieure :

$$\left\{ \begin{array}{l} \text{Face au vent : } C_e = 0,8 \\ \text{Face S/F le vent : } C_e = -(1,6 \alpha_c - 0,8) = -0,5 \end{array} \right.$$

* action intérieure :

$$\text{(oversession : } C_i = 0,6(1,6 - 1,3 \alpha_c) = 0,3)$$

$$\text{(dépression : } C_i = -0,6(1,3 \alpha_c - 0,8) = -0,3)$$

Ainsi, on continue de la façon la plus défavorable
les actions extérieures moyennes et les actions intérieures :

$$\left\{ \begin{array}{l} \text{Face au vent : } (C_e - C_i)_{\max} = 0,8 - (-0,3) = 1,1 \\ \text{Face S/F le vent : } (C_e - C_i)_{\max} = -0,5 - (-0,3) = -0,2 \end{array} \right.$$

4.2.2 - Effet de site :

Notre bâtiment est implanté sur un sol ne présentant pas de dénivellation, il se trouve par ailleurs au voisinage de la mer, donc exposé : $\alpha_s = 1,3$.

4.2.3 - Effet de masse :

Les constructions environnantes n'ont pas un effet influent

sur notre bâtiment et pour des raisons de sécurité au grand
 $d_{\text{m}} = 1$.

4.2.4 - Effet des dimensions.

$$H < 30 \text{ m} \rightarrow \delta = 0,7 \quad (\text{d'après } \Phi \text{III et N. NC5}).$$

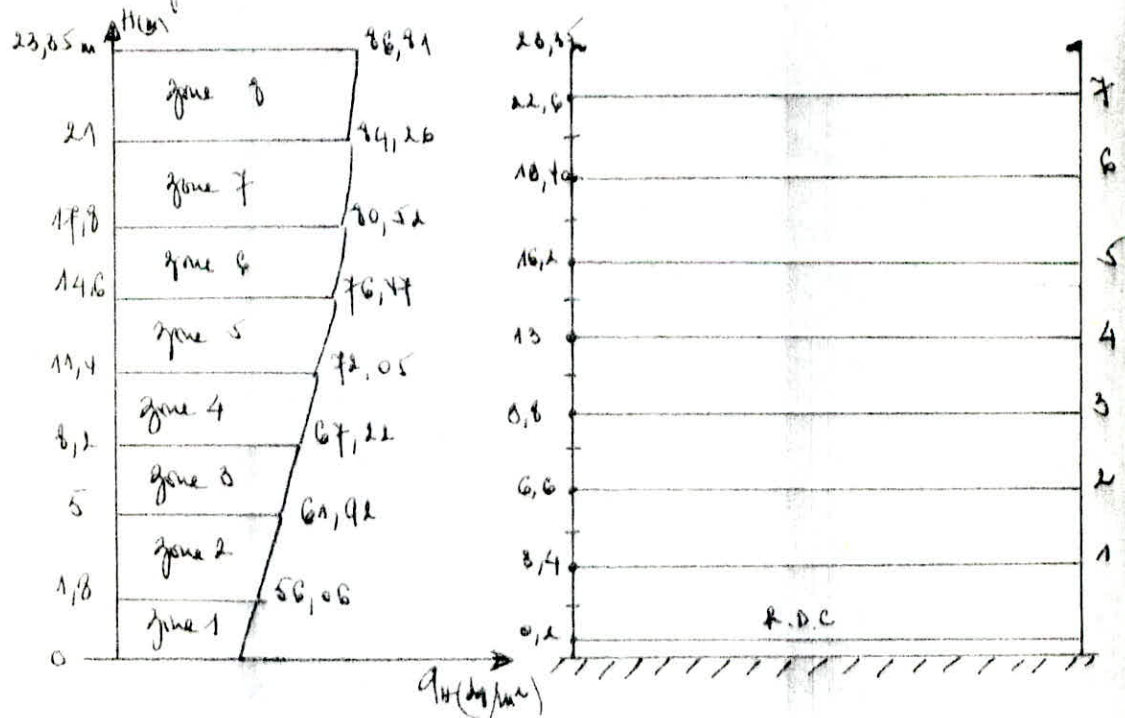
• Caractéristiques géométriques de l'ouvrage:

Il s'agit d'un bâtiment presque à base rectangulaire,
 sans élévation : au plan : $\begin{cases} a = 26,15 \text{ m} \\ b = 19,60 \text{ m} \end{cases}$
 élévation : hauteur effite au vent $H = 23,85 \text{ m}$

4.3 - Calcul de la pression de base :

$$q_H = 2,5 \cdot q_{10} \cdot \frac{H + 18}{H + 60}$$

- Application des Pressions de base:



Un abatisseur de l'onde entre deux niveaux successifs à une étape

$$\text{ensuite: } q = q_{H} \cdot K_H \cdot K_S \cdot f \cdot l = q_H \times 1,13 \times 1,07 \times 1,181$$

$$\text{donc: } q_H = 1,001 \cdot q_H$$

voici la ligne qui suit pour charge normale :

$$\text{des longueurs: } F_{L_n} = q_H \times S_L = 1,001 q_H \times S_L, S_L: \text{sf long.}$$

$$\text{des hauteur: } F_{t_n} = q_H \times S_L = 1,001 q_H \times S_L, S_L: \text{sf long.}$$

$$4.3.1 - \text{Neut. C canonique: } F_{t_n} = 1,001 \cdot q_{Hn} \times S_L$$

NIV	$S_L (m^2)$	$q_{Hn} (\text{kg/m}^2)$	$F_{t_n}^t (\text{kg})$	$F_{t_n}^t \text{ cumulé}$	$F_{ex}^t (\text{kg})$	$F_{ex}^t \text{ cumulé}$
terre	67,48	75,196	5269,98	5269,98	9267,41	9267,41
C.	73,68	72,39	6901,28	12191,24	12034,66	21034,66
S.	73,68	78,495	6875,00	18766,24	11506,300	32,940,95
4	73,68	74,126	6220,29	24986,56	10,165,5	43,126,46
3	73,68	69,685	5832,88	30818,44	10207,54	53,934,00
2	73,68	64,59	5408,62	36226,06	9465,03	63,394,09
1	73,68	56,89	4941,12	41169,28	1647,13	72,016,22
ADC	49,04	52,62	2493,3	43649,50	76384,99	76384,99

$$4.3.2 - \text{Neut. Impluviale: } F_{L_n} = 1,001 q_{Hn} \times S_L^t$$

NIV	$S_L (m^2)$	$q_{Hn} (\text{kg/m}^2)$	$F_{t_n}^t (\text{kg})$	$F_{t_n}^t \text{ cumulé}$	$F_{ex}^t (\text{kg})$	$F_{ex}^t \text{ cumulé}$
terre	46,08	75,196	3964,93	3964,93	8938,63	8938,63
C.	62,72	72,39	5732,68	9697,61	9052,16	18749,77
S.	62,72	74,126	4928,13	14625,72	8624,22	23249,94
4	62,72	74,126	4662,24	18787,96	9159,92	32773,94
3	62,72	69,685	4391,87	23099,83	9650,78	42,424,72
2	62,72	64,59	4053,62	24153,41	7094,29	44,547,71
1	62,72	59,99	3703,52	30857,26	6491,21	64,000,21
ADC	35,28	52,62	1656,29	32415,55	3252,007	57262,71

CHAPITRE V

CALCUL DES EFFORTS HORIZONTAUX

- CHARGES HORIZONTALES

5.1 - Introduction :

La méthode utilisée pour la détermination des efforts dus aux charges horizontales est celle de MUTO, basé sur la rigidité de la structure (Bulletin E.T.C N° 5). Cette méthode est applicable aux structures auto-stables ; elle donne des résultats proches de la méthode exacte, car les points de mouvement nul dans les poteaux sont dans la fonction de la rigidité de ces poteaux et qui décrit un avantage par rapport à la méthode de BOWMAN.

5.2 - Exposé de la méthode :

5.2.1 - Détermination de l'effort de niveau J cependant à chaque étage :

L'effort transversal de l'étage E_j s'applique au C.D.G de l'étage J c'est-à-dire en G, mais comme on a une rotation du plancher autour du centre de torsion C, E_j appliquée en G est équivalent à E_j appliqué en C pour un mouvement simple de torsion : $M_j = E_j \cdot I$ d'où sous l'action de E_j on a un effort de niveau J qui sera égal à :

* Poutres longues horizontaux :

$$T_{jx} = \frac{E_{jx} \cdot R_{jx}}{R_{j0}} + \frac{E_{jy} \cdot R_{jx}}{R_{j0}} \cdot y_j \cdot e_x$$

* Poutres courtes horizontaux :

$$T_{jy} = \frac{E_{jy} \cdot R_{jy} \cdot x_j \cdot e_x}{R_{j0}}$$

En conclusion, on aura dans chaque poteau un effet tranchant de niveau qui sera :

Potique longitudinaux :

$$T_{jx} = \frac{\epsilon_{jx}}{R_{jx}} R_{jx} + \frac{\epsilon_{jx}}{R_{jy}} R_{jy} \gamma_0 e_y + \frac{\epsilon_{jy}}{R_{jx}} R_{jx} \gamma_0 e_x$$

Potique transversaux :

$$T_{jy} = \frac{\epsilon_{jy}}{R_{jy}} R_{jy} + \frac{\epsilon_{jy}}{R_{jx}} R_{jx} \gamma_0 e_x + \frac{\epsilon_{jx}}{R_{jy}} R_{jy} \gamma_0 e_y$$

où R_{jx} : rigidité à la torsion de l'étage j inférieure

γ_0 : rigidité du niveau considéré.

ϵ_{jx} : rigidité de l'étage j inférieur

(e_x, e_y) : extensibilité

ϵ_j : effet tranchant de l'étage j inférieur.

5.2.2 - Calcul de l'effet tranchant revenant à chaque poteau

Si les poteaux d'un même niveau doivent avoir un même déplacement,

alors si on a n poteaux par niveau on aura:

$$\begin{aligned} \delta_j^{(1)} &= \delta_j^{(2)} = \dots = \delta_j^{(i)} = \dots = \delta_j^{(n)} \\ t_i^{(1)} &= \frac{t_1^{(1)}}{r_1^{(1)}} = \dots = \frac{t_i^{(1)}}{r_i^{(1)}} = \dots = \frac{t_n^{(1)}}{r_n^{(1)}} = t_i^{(1)} \end{aligned}$$

$t_j^{(i)}$: part de l'effet tranchant revenant au poteau
i de niveau j.

$r_j^{(i)}$: rigidité corrigée du poteau i de niveau j.

$$\text{donc on a: } t_j^{(i)} = \frac{r_j^{(i)}}{R_j} \cdot T_j$$

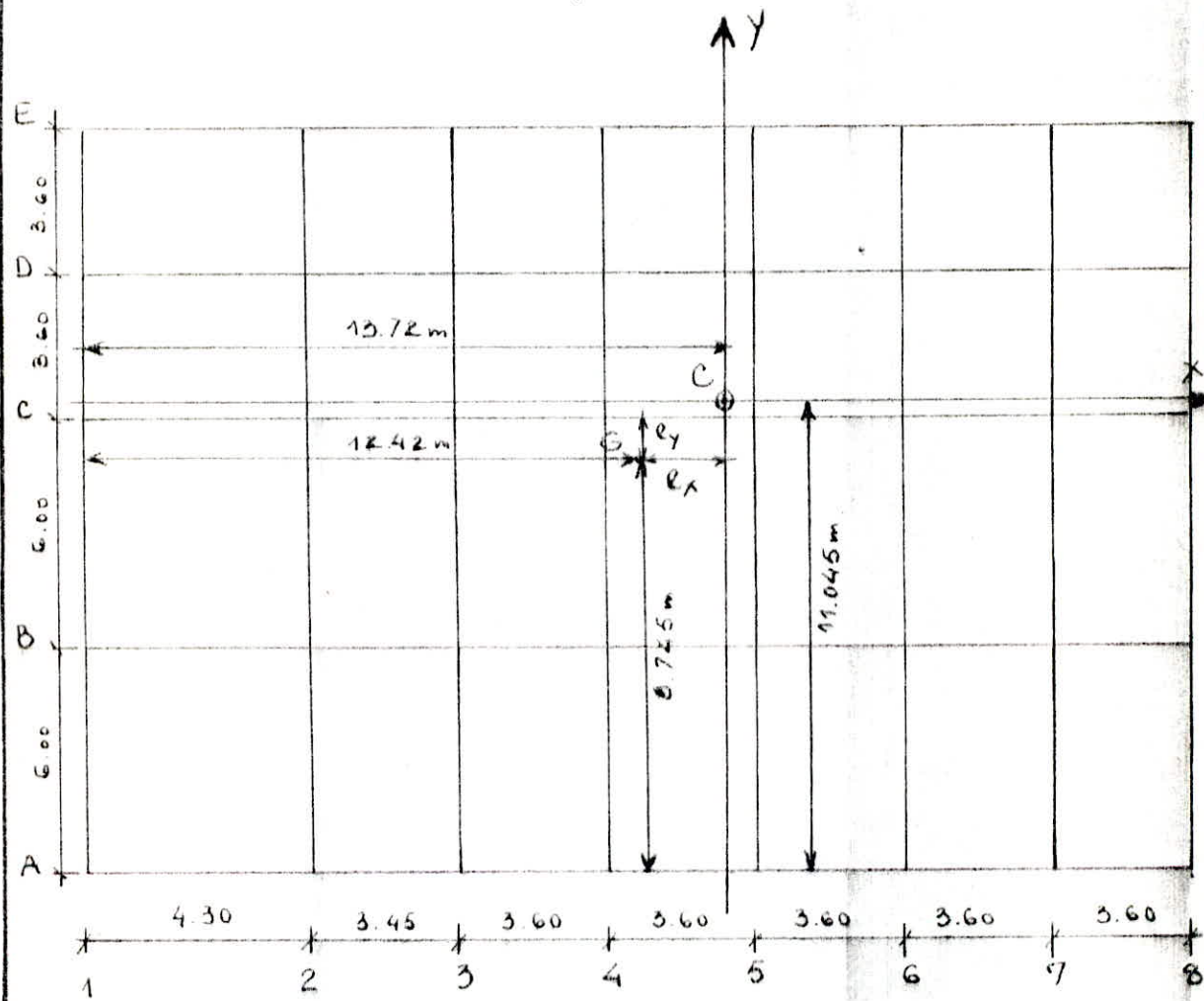
$$\left\{ \begin{array}{l} R_j = \sum_i r_j^{(i)}, \text{ rigidité du niveau } j \text{ inférieur} \\ T_j : \text{ effet tranchant } \end{array} \right.$$

$$\left\{ \begin{array}{l} R_j = \sum_i r_j^{(i)}, \text{ rigidité du niveau } j \text{ inférieur} \\ T_j : \text{ effet tranchant } \end{array} \right.$$

5.2.3 Détermination de la rigidité à la torsion $\rightarrow R_{j0}^*$

$$R_{j0} = \sum_{k=1}^{t=2} R_{0y}^k (x_0^k)^2 + \sum_{l=1}^{t=m} R_{0x}^l (y_0^l)^2$$

Si on choisit le nouveau repère : $x \times y$



$$\text{Pour } j=1: R_{10}^* = 113,742 (13,72^2 + 12,06^2) + 221,42 (9,42^2 + 5,97^2 + 2,37^2 + 1,23^2 + 1,08^2 + 0,83^2) + 201,85 (1,155^2 + 11,045^2) + 362,22 (5,045^2 + 0,955^2 + 1,555^2) = 14,275 \text{ t.cm}$$

$$\text{Pour } j=2 \text{ à viii: } R_{j0}^* = 84,65 (13,72^2 + 12,06^2) + 116,457 (9,42^2 + 5,97^2 + 2,37^2 + 1,23^2 + 0,83^2) + 101,04 (11,045^2 + 8,155^2) + 232,35 (5,045^2 + 0,955^2 + 1,555^2) = 9,596 \text{ t.cm}$$

5.2.4 CALCUL DE L'EFFORT TRANCHANT DE NIVEAU ENSUS DES PORTIQUES TRANSVERSAUX

$$T_{jY} = Z_{jY} \frac{R_{jY}}{R_{jY}} + Z_{dy} \frac{R_{jY}}{R_{j0}} x_j e_x + Z_{dx} \frac{R_{jY}}{R_{j0}} x_j e_y$$

Niveau	Z_{jY}	Z_{dx}	T_{jY}	Portique 1-1	Portique 2-2	Portique 3-3	Portique 4-4	Portique 5-5	Portique 6-6	Portique 7-7	Portique 8-8
VII	134,1	119,59	T_{jY}	13,05	17,99	17,99	17,99	18,48	19,94	21,38	16,55
VI	255,1	227,5	T_{jY}	24,82	34,24	34,24	34,24	35,18	37,93	40,68	31,49
V	355,93	317,43	T_{jY}	34,63	47,77	47,77	47,77	49,08	52,91	56,76	43,93
IV	436,59	389,37	T_{jY}	42,48	58,6	58,6	58,6	60,21	64,91	69,62	53,89
III	497,08	443,33	T_{jY}	48,37	66,72	66,72	66,72	68,55	73,91	79,27	60,62
II	537,41	479,3	T_{jY}	52,29	72,13	72,13	72,13	74,41	79,9	85,70	66,34
I	557,59	497,29	T_{jY}	40,75	79,34	79,34	79,34	81,95	89,61	97,27	53,89

Remarque: Selon l'article 3.3.5 20181, les efforts tranchants négatifs dans le fondation devraient être négligés.

5.2.5 CALCUL DES DISPLACEMENTS RELATIFS DE NIVEAUX
DANS LE SENS TRANSVERSAL.

Article 3.3.7.1 R.P.A 81 :

Le déplacement calculé à partir des forces latérales doit être multiplié par $\frac{10}{2P_0}$ pour obtenir le déplacement relatif, ainsi les déplacements relatifs latéraux d'un étage par rapport aux étages qui lui sont adjacents ne devront pas dépasser $0,0075 \times h$ (hauteur de l'étage) où

$$0,0075 \times 3,20 = 2,4 \text{ cm}, \text{ et } \frac{1}{2P_0} = 2 \text{ car } P_0 = 1/4$$

Niveau	Portique 7-7				Portique 8-8			
	R_{jY}^t / cm	T_{jY}^t	$\frac{1}{2B} A_{jY}$	$S_j = \sum A_{jY} \text{ cm}^2$	$R_{jY}^{(t)} / \text{cm}$	$T_{jY}^{(t)}$	$\frac{1}{2B} A_{jY}$	$S_j = \sum A_{jY} \text{ cm}^2$
VII	116,757	21,38	0,366	3,4589	84,65	16,05	0,391	3,694
VI	116,757	40,68	0,696	3,2759	84,65	31,48	0,744	3,499
V	116,757	56,76	0,972	2,9279	84,65	43,93	1,036	3,127
IV	116,757	69,62	1,192	2,4419	84,65	58,89	1,272	2,609
III	116,757	79,27	1,357	1,8459	84,65	60,62	1,432	1,973
II	116,757	85,70	1,456	1,167	84,65	66,34	1,567	1,257
I	221,425	97,27	0,878	0,439	113,742	53,89	0,946	0,473

5.2.6 - Calcul de l'écart δ carrant dans le sens longitudinal.

$$T_{jx} = \mathcal{E}_{jx} \cdot \frac{\Delta_{jx}}{\Delta_{jx}} + \mathcal{E}_{jy} \frac{\Delta_{jx}}{\Delta_{jy}} \cdot y_{jy} + \mathcal{E}_{jy} \frac{\Delta_{jx}}{\Delta_{jy}} \cdot y_{jx}$$

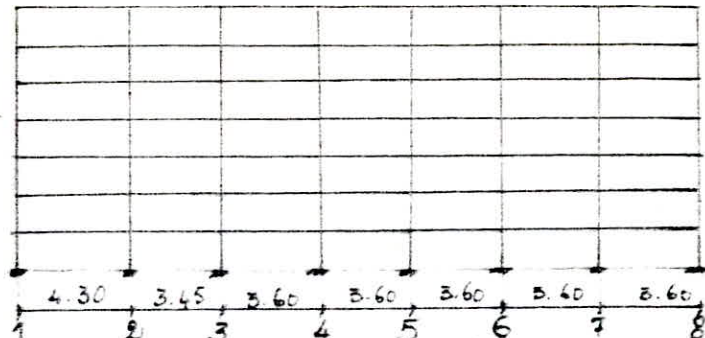
NIV	\mathcal{E}_{jx}	\mathcal{E}_{jy}	T_{jx}	Portique A-A	Portique B-B	Portique C-C	Portique D-D	Portique E-E
VII	119,58	1354,1	T_{jx}	18,83f	24,26	26,023	30,9	23,414
VI	227,5	2555,1	T_{jx}	35,94	51,86	53,312	58,786	44,53
V	319,13	3555,13	T_{jx}	50,159	72,37	74,39	82,033	62,150
IV	389,37	436,59	T_{jx}	61,527	88,77	91,25	100,62	96,238
III	443,33	407,07	T_{jx}	70,05	101,07	103,89	114,567	98,79
II	478,3	587,49	T_{jx}	75,73	109,27	112,42	123,96	116,837
I	487,29	559,58	T_{jx}	87,229	120,94	124,28	132,73	93

5.2.7 - Calcul des déplacements relatifs de niveau j dans les sens longitudinaux

NIV.	PORTIQUE D - D				PORTIQUE E - E			
	Δ_{jx} (cm)	T_{jx} (t)	$\frac{1}{2B} \Delta_{jx}$ (cm)	$\delta_{jx} = \sum \Delta_{jx}$ (cm)	Δ_{jx} (cm)	T_{jx} (t)	$\frac{1}{2B} \Delta_{jx}$ (cm)	$\delta_{jx} = \sum \Delta_{jx}$ (cm)
VII	232,35	30,5	0,264	2,574	161,04	23,414	0,129	2,913
VI	232,35	58,786	0,508	2,142	161,04	44,53	0,553	2,608
V	232,35	52,033	0,1706	2,179	161,04	62,15	0,171	2,392
IV	232,35	100,62	0,166	1,838	161,04	76,238	0,146	2
III	232,35	114,567	0,086	1,403	161,04	86,79	1,077	1,533
II	232,35	123,97	1,068	0,91	161,04	93,837	0,165	0,994
I	362,22	138,78	0,154	0,877	201,65	93	0,124	0,412

5.2.8. CALCUL DES EFFETS TRANCHANTS DE NIVEAU "J" DANS LES DIFFÉRENTS POTEAUX "t_j"

5.2.8.1. PORTIQUE LONGITUDINAL
D - D

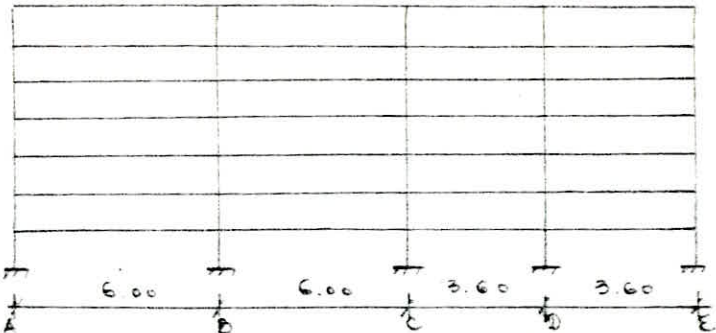


Niveau	T _{bx}	t _{bz1}	t _{bz2}	t _{bz3}	t _{bz4,5,6,7}	t _{bz8}	t _{bx1}	t _{bx2}	t _{bx3}	t _{bx4,5,6,7}	t _{bx8}
VI	30,9	13,66	32,42	34,62	34,07	15,87	1,816	4,811	4,6	4,53	2,044
VII	58,78	13,66	32,42	34,62	34,07	15,87	3,45	8,202	8,759	8,62	3,888
VIII	82,038	13,66	32,42	34,62	34,07	15,87	4,822	11,446	12,22	12,028	5,426
IX	100,62	13,66	32,42	34,62	34,07	15,87	5,975	14,395	14,99	14,75	6,686
X	114,567	13,66	32,42	34,62	34,07	15,87	6,735	15,98	17,07	16,799	7,578
XI	123,96	13,66	32,42	34,62	34,07	15,87	7,287	17,29	18,469	18,776	8,199
II	136,78	29,25	52,18	53,828	53,4	21,55	7,64	19,70	20,326	20,16	8,437

CALCUL DES EFFORTS TRANCHANTS DE NIVEAU "J" DANS LES DIFFERENTS POTEAUX "E"

5.2.8.2. PORTIQUE TRANSVERSAL

7 - 7



Niveau	T _{0x}	r _{0y}	r _{0yB}	r _{0yc}	r _{0yo}	r _{0ye}	t _{0yA}	t _{0yB}	t _{0yc}	t _{0yo}	t _{0ye}
0	29,38	10,389	23,528	30,75	36,61	15,43	1,90	4,32	5,63	2,70	1,82
1	20,68	10,389	23,528	30,75	36,61	15,43	3,62	5,21	10,31	12,57	5,37
2	56,26	10,389	23,528	30,75	36,61	15,43	5,65	11,45	14,95	17,79	4,50
3	64,62	10,389	23,528	30,75	36,61	15,43	6,18	14,06	18,33	21,83	9,20
4	75,24	10,389	23,528	30,75	36,61	15,43	7,05	16,00	20,87	24,35	10,47
5	85,70	10,389	23,528	30,75	36,61	15,43	9,62	17,30	22,57	26,97	11,32
6	95,22	13,302	65,633	61,22	65,63	21,42	2,60	24,51	26,87	28,82	9,51

5.2g) Détermination de la position des points de moments nuls.

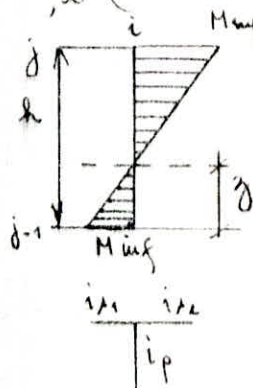
La position du point d'inflexion est calculée en fonction des caractéristiques du pontique ; elle est donnée pour chaque pôleau d'un étage par $y = y_0 + y_1 + y_2 + y_3$

* y_0 : coefficient tiré des tableaux en fonction de $\bar{K} = \frac{1}{2K}$ où K est le nombre d'étage que comporte le pontique et des niveaux de l'étage (réf: tableau n° 2 Bulletin ETC n° 8).

* y_1 : terme de correction due à la variation de rigidité linéaire des portes supérieures et inférieures à l'étage (tableau n° 5 du même bulletin ETC).

$$* y_1 = y_1(\bar{K}, \alpha_1) \text{ avec } \alpha_1 = \frac{i_{p1} + i_{p2}}{i_{p2} + i_{p3}}$$

$$\text{en notant } \begin{cases} i_p = i_{p1} + i_{p2} \\ i_i = i_{p3} + i_{p4} \end{cases} \rightarrow \alpha_1 = \frac{i_p}{i_i}$$



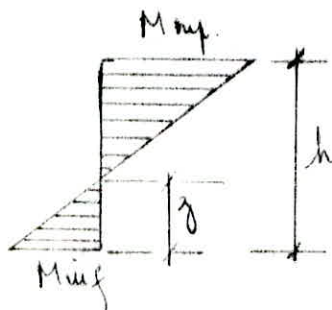
si $i_p > i_i$ on prend $\alpha_1 = \frac{i_i}{i_p}$ et les valeurs de y_1 sont affectées d'un signe (-).

* y_2 : terme de correction due à la variation de la hauteur d'étage de l'étage supérieur adjacent. Il est donné en fonction de α_2 et \bar{K} avec $\alpha_2 = \frac{h_s}{h}$, où h_s : hauteur du niveau sup. et h : hauteur du niveau inférieur

$y_2 = 0$ pour le dernier niveau (tableau n° 5 Bulletin ETC n° 8)

* y_3 : terme de correction due à la variation de la hauteur d'étage de l'étage inférieur adjacent. Il est donné en fonction de α_3 et \bar{K} , avec $\alpha_3 = \frac{h_i}{h}$, où h_i : hauteur du niveau inférieur et h : hauteur du niveau sup. "en dernière"

5.2.9.2 Calcul des moments récurrents à chaque poteau:

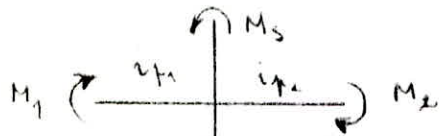


$$M_{\text{max}} = t(h-e)$$

$$M_{\text{inf}} = t \cdot e$$

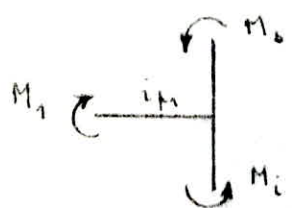
e : effort tranchant de niveau.

- Calcul des moments récurrents à chaque partie.



$$M_1 = \frac{i_{p1}}{i_{p1} + i_{p2}} (M_s + M_i)$$

$$M_2 = \frac{i_{p2}}{i_{p1} + i_{p2}} (M_s + M_i)$$



$$M_1 = M_s + M_i$$

note: dans le cas où $i_{p1} = i_{p2}$ $M_1 = M_2 = 0,5(M_s + M_i)$

$y_1 = y_2 = y_3 = 0$, d'après les tableaux C.T.C Multicell n°5

5.2.9.3. CALCUL DES MOMENTS DANS LES POTEAUX

1 - POSITIQUE LONGITUDINAL D-D

Niveau	file de Poteau	$\bar{k} = \frac{1}{2k}$	$y = y_0$	$\delta = yh$	$b-3$	t_{fx}	$M_i = t_{fx} \delta$	$M_s = t(b-\delta)$
VII	1	1,037	0,35	1,12	2,08	1,816	2,034	3,777
	2	0,8210	0,35	1,12	2,08	4,341	4,828	8,966
	3	0,901	0,35	1,12	2,08	4,6	5,152	9,568
	4,5,6,7	0,892	0,35	1,12	2,08	4,533	5,0736	9,422
	8	1,25	0,315	1,2	2	2,044	2,452	4,088
	1	1,037	0,45	1,44	1,76	3,45	4,968	8,072
	2	0,8210	0,4	1,28	1,92	8,302	10,498	15,747
VI	3	0,901	0,4	1,28	1,92	8,759	11,241	16,817
	4,5,6,7	0,892	0,4	1,28	1,92	8,62	11,033	16,65
	8	1,25	0,45	1,44	1,76	3,888	5,598	6,842
	1	1,037	0,45	1,44	1,76	4,822	6,943	8,486
	2	0,821	0,45	1,44	1,76	11,446	16,482	20,144
	3	0,901	0,45	1,44	1,76	12,82	17,596	21,507
	7,4,5,6	0,892	0,45	1,44	1,76	12,028	17,32	21,109
V	8	1,25	0,4625	1,48	1,72	5,426	8,03	9,332
	1	1,037	0,45	1,44	1,76	5,915	8,517	10,41
	2	0,821	0,45	1,44	1,76	14,895	20,728	25,385
	3	0,901	0,45	1,44	1,76	14,99	21,585	26,382
	4,5,6,7	0,892	0,45	1,44	1,76	14,76	21,24	25,96
	8	1,25	0,4625	1,48	1,72	6,656	9,85	11,448
	1	1,037	0,5	1,6	1,6	6,735	10,776	10,776
IV	2	0,821	0,5	1,6	1,6	15,98	25,368	25,368
	3	0,901	0,5	1,6	1,6	17,07	27,342	27,342
	4,5,6,7	0,892	0,5	1,6	1,6	16,789	26,878	26,878
	8	1,25	0,5	1,6	1,6	7,578	12,124	12,124
	1	1,037	0,5	1,6	1,6	7,287	11,659	11,659
	2	0,821	0,5	1,6	1,6	17,29	27,664	27,664
	3	0,901	0,5	1,6	1,6	18,469	29,55	29,55
III	4,5,6,7	0,892	0,5	1,6	1,6	18,176	29,55	29,55
	8	1,25	0,5	1,6	1,6	8,199	13,118	13,118
	1	1,036	0,65	2,08	1,12	7,64	15,89	8,556
	2	0,821	0,7	2,24	0,96	19,70	44,123	18,912
	3	0,9017	0,65	2,08	1,12	20,326	42,278	22,765
	4,5,6,7	0,89	0,66	2,12	1,08	20,16	42,577	21,93
	8	1,25	0,6375	2,04	1,16	8,187	16,599	9,4389

Calcul des moments dans les poteaux

2. Postique Géométrique 7-7

NIVEAUX	Fili de Poteau	$K = \frac{1}{2}K$	$y = y_0$	$\gamma = yh$	$h - \gamma$	t_{0x}	$M_i = t_{0x}y$	$M_s = t_{0x}h\gamma$
II	A	0,752	0,326	1,045	2,156	1,19	1,981	4,096
	B	0,365	0,7825	1,584	2,616	4,32	2,522	11,301
	C	0,505	0,1325	0,609	2,392	5,63	4,349	13,706
	D	0,633	0,3900	0,960	2,240	6,40	6,432	15,008
	E	1,300	0,380	1,216	1,184	2,82	8,429	5,595
	A	0,752	0,4	1,280	1,920	8,62	4,633	6,950
	B	0,365	0,6025	1,064	2,186	8,21	5,935	14,536
	C	0,505	0,8525	1,123	2,072	10,71	12,080	22,191
	D	0,633	0,4	1,260	1,920	12,57	16,089	24,134
	E	1,300	0,45	1,440	1,760	5,87	7,432	9,451
III	A	0,752	0,45	1,440	1,760	5,05	7,272	9,069
	B	0,365	0,3825	1,224	1,976	11,45	14,014	22,626
	C	0,505	0,4025	1,288	1,912	14,15	14,256	29,594
	D	0,633	0,45	1,340	1,760	17,79	25,614	33,810
	E	1,300	0,465	1,463	1,712	7,50	11,16	12,114
	A	0,752	0,45	1,440	1,760	8,10	8,913	10,804
	B	0,365	0,4325	1,364	1,616	14,06	19,459	26,535
	C	0,505	0,45	1,440	1,760	16,33	16,395	32,260
	D	0,633	0,45	1,440	1,760	21,55	31,485	38,1420
	E	1,300	0,465	1,498	1,712	8,20	13,649	15,750
IV	A	0,752	0,50	1,6	1,6	7,05	11,28	11,28
	B	0,365	0,50	1,6	1,6	16,00	2,616	2,56
	C	0,505	0,50	1,6	1,6	20,87	33,292	33,292
	D	0,633	0,50	1,6	1,6	24,165	49,76	39,48
	E	1,300	0,50	1,6	1,6	10,48	16,762	16,752
	A	0,752	0,50	1,6	1,6	7,62	12,142	12,192
	B	0,365	0,564	1,314	1,325	17,80	31,88	23,84
	C	0,505	0,55	1,70	1,74	22,57	39,72	32,501
	D	0,633	0,5825	1,704	1,496	16,67	45,98	40,118
	E	1,300	0,50	1,6	1,6	11,32	16,112	18,112
V	A	0,752	0,7	2,24	0,96	7,60	14,024	7,496
	B	0,365	0,9	2,98	0,32	14,51	7,58	7,643
	C	0,505	0,75	2,14	0,78	16,87	24,448	11,416
	D	0,633	0,7	2,24	0,56	23,82	64,55	24,667
	E	1,300	0,625	2,082	1,168	9,71	19,12	10,99

5.2.9.4-CALCUL DES MOMENTS DANS LES POUTRES

1- PORTIQUE LONGITUDINAL D-D

Niveau	Nœud	M_s (t.m)	M_i (t.m)	M_u (t.m)	M_d (t.m)
VII	1	-	3,777	-	3,777
	2	-	8,966	3,929	5,035
	3	-	9,568	4,893	4,674
	4, 5, 6, 7	-	9,422	4,711	4,711
	8	-	4,088	4,088	-
	1	2,034	6,072	-	8,106
	2	4,828	10,747	9,016	11,555
	3	5,152	16,817	11,235	10,731
VI	4, 5, 6, 7	5,0736	16,55	10,8118	10,8118
	8	2,4528	6,8428	9,2956	-
	1	4,968	8,486	--	13,396
	2	10,498	20,144	13,427	17,208
	3	11,211	21,507	16,782	15,982
	4, 5, 6, 7	11,033	21,69	16,3615	16,3615
	8	5,598	9,332	14,93	-
	1	6,943	10,41	-	17,353
V	2	16,483	25,335	18,384	23,48
	3	17,596	26,382	22,49	21,483
	4, 5, 6, 7	17,32	25,96	21,64	21,64
	8	8,03	11,448	19,478	-
	1	8,517	10,776	-	19,293
	2	20,728	25,568	20,286	25,998
	3	21,585	27,312	25	23,886
	4, 5, 6, 7	21,24	26,878	24,059	24,059
IV	8	9,85	12,124	31,974	-
	1	10,776	11,659	-	22,435
	2	25,568	27,664	23,32	29,895
	3	27,312	29,55	29,079	27,77
	4, 5, 6, 7	26,878	29,55	28,814	28,214
	8	12,124	13,1984	25,242	-
	1	11,659	8,556	-	20,215
	2	27,664	18,912	20,41	26,15
III	3	29,55	22,765	26,753	25,558
	4, 5, 6, 7	29,55	21,83	25,74	25,74
	8	13,118	9,438	28,557	-

Tableau des Moments dans les Ponts

2 - Pontique Circumferential 7-7

Niveau	Nœuds	M_s (Nm)	M_i (Nm)	M_1 (Nm)	M_2 (Nm)
I	A	—	4,096	—	4,096
	B	—	11,201	5,800	5,699
	C	—	13,466	4,915	8,548
	D	—	15,102	7,616	7,364
	E	—	5,595	5,595	—
II	A	1,981	6,950	—	6,931
	B	2,522	17,536	9,940	10,115
	C	7,549	22,191	9,760	16,974
	D	6,432	24,134	15,512	15,036
	E	3,429	9,451	12,98	—
III	A	4,633	9,662	—	13,521
	B	6,735	22,626	15,512	15,814
	C	12,080	28,584	14,842	25,813
	D	16,089	31,310	24,055	23,320
	E	7,732	12,44	20,572	—
IV	A	4,242	10,894	—	18,168
	B	14,01	26,583	19,597	19,941
	C	19,255	32,260	19,803	32,901
	D	25,617	36,420	32,418	31,506
	E	11,16	15,750	26,91	—
V	A	8,913	11,28	—	20,193
	B	19,459	25,6	22,331	22,723
	C	26,395	33,292	21,822	34,952
	D	31,435	38,46	36,131	35,028
	E	13,689	16,752	20,441	—
VI	A	11,28	12,192	—	23,472
	B	25,6	23,97	24,566	24,998
	C	33,292	32,501	24,105	41,826
	D	38,46	40,19	40,57	38,335
	E	16,752	18,112	24,86	—
VII	A	12,192	7,295	—	15,488
	B	31,68	7,643	10,44	18,78
	C	38,423	21,496	22,345	36,76
	D	45,48	27,867	37,474	36,136
	E	19,112	10,91	29,102	—

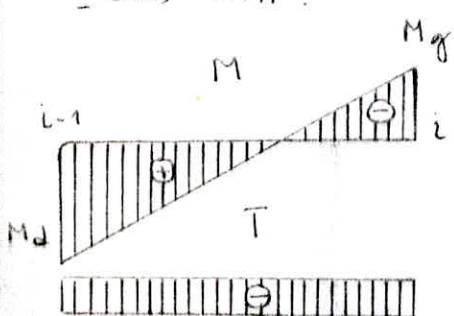
5.2.95 Calcul des Efforts tranchants dans les Ponts

les Efforts tranchants dans les ponts sont obtenus à partir des moments aux nœuds, calculés précédemment.

- Méthode de calcul:

Du carrelage on trace la défendante avec les moments en ses nœuds, puis on détermine l'équation des moments fléchissants qui s'écrit sous la forme: $M(x) = ax + b$.

- Dans \vec{SIN} :

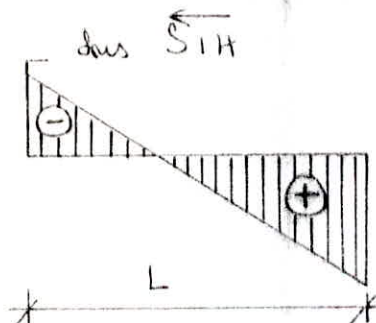


$$\left\{ \begin{array}{l} \text{pour } x=0, M(x=0) = M_d = b \\ \text{pour } x=L, M(x=L) = -M_g = aL + b \\ \text{d'où } M(x) = (M_g + M_d)x + M_g \end{array} \right.$$

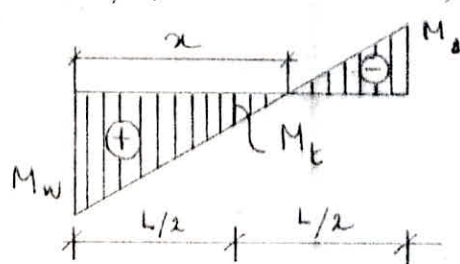
$$T(x) = \frac{dM(x)}{dx} = \frac{(M_g + M_d)}{L}$$

Par Analogie,

$$T(x) = \frac{M_g + M_d}{L}$$



- Moments en tenuï, sur \vec{SIN} :



$$\frac{x}{x} = \frac{M_e}{L-x} \Rightarrow x = \frac{M_w \cdot L}{M_w + M_e} \quad (1)$$

$$\frac{x}{M_w} = \frac{x - L/2}{M_e} \Rightarrow M_e = M_w \left(1 - \frac{L}{2x}\right) \quad (2)$$

$$\text{A partir de (1) et (2): } M_e = \frac{M_w - M_g}{2}$$

Nota: sur \vec{SIN} le moment en tenuï est du même changé de signe.

CALCUL DES EFFORTS TRANCHANTS DANS LES POUTRES

1. PORTIQUE LONGITUDINAL D-D

Niveau	travée	L	$M_L = M_W$	$M_g = M_c$	$T_{S,H} \rightarrow$	$T_{S,H} \leftarrow$	$M_{T,S,H}$	$M_{L,S,H}$
VII	1-2	4,30	3,77	3,929	-1,79	+1,79	-0,0795	+0,0795
	2-3	3,45	5,035	4,893	-2,871	+2,871	0,071	-0,071
	3-4	3,60	4,674	4,711	-2,607	+2,607	-0,0185	+0,0185
	4-5 5-6 6-7	3,60	4,711	4,711	-2,617	+2,617	0	0
	7-8	3,60	4,711	4,088	-2,44	+2,44	0,3115	-0,3115
	1-2	4,30	8,106	9,016	-3,98	+3,98	-0,455	+0,455
VI	2-3	3,45	11,855	11,835	-6,6	+6,6	0,16	-0,16
	3-4	3,60	10,811	10,811	-5,983	+5,983	-0,04	+0,04
	4-5 5-6 6-7	3,60	10,811	10,811	-6	+6	0	0
	7-8	3,60	10,811	9,2056	-5,585	+5,585	+0,757	-0,757
	1-2	4,30	10,396	13,427	-6,23	+6,23	-0,0155	+0,0155
	2-3	3,45	17,203	16,732	-9,83	+9,83	0,238	-0,238
V	3-4	3,60	15,982	16,361	-8,984	+8,984	-0,189	+0,189
	4-5 5-6 6-7	3,60	16,361	16,06	-9,08	+9,08	0	0
	7-8	3,60	16,361	14,93	-8,69	+8,69	0,715	-0,715
	1-2	4,30	17,35	18,324	-8,29	+8,29	-0,487	+0,487
	2-3	3,45	23,48	22,49	-13,32	+13,32	0,495	-0,495
	3-4	3,60	21,48	21,64	-11,97	+11,97	-0,08	+0,08
IV	4-5 5-6 6-7	3,60	21,64	21,64	-12,02	+12,02	0	0
	7-8	3,60	21,64	19,418	-11,41	+11,41	1,081	-1,081
	1-2	4,30	19,293	20,287	-9,2	+9,2	-0,497	+0,497
	2-3	3,45	25,99	25	-14,78	+14,78	0,495	-0,495
	3-4	3,60	23,08	24,059	-13,018	+13,018	-0,0865	+0,0865
	4-5 5-6 6-7	3,60	24,059	24,059	-13,36	+13,36	0	0
III	7-8	3,60	24,059	24,974	-12,78	+12,78	1,0425	-1,0425
	1-2	4,30	22,435	23,52	-10,64	+10,64	-0,4425	+0,4425
	2-3	3,45	29,895	29,08	-17,09	+17,09	0,4075	-0,4075
	3-4	3,60	27,11	28,214	-15,55	+15,55	-0,222	+0,222
	4-5 5-6 6-7	3,60	28,214	28,214	-15,67	+15,67	0	0
	7-8	3,60	28,214	25,242	-14,84	+14,84	1,486	-1,486
II	1-2	4,30	30,215	30,41	-9,44	+9,44	-0,195	+0,195
	2-3	3,45	26,15	26,75	-15,33	+15,33	-0,3	+0,3
	3-4	3,60	25,558	25,74	-14,25	+14,25	-0,091	+0,091
	4-5 5-6 6-7	3,60	25,74	25,74	-14,3	+14,3	0	0
I	7-8	3,60	25,74	22,557	-13,41	+13,41	1,5915	-1,5915

Calcul des Moments en Flexion et des Efforts

2 - Recherchants dans les Pontes - Portique transversal 7-7

NIVEAU	TRAVEES	L	$M_d = M_w$	$M_p = M_e$	T_{S1H}	T_{S2H}	M_{E1H}	M_{E2H}
VII	A - B	6.00	4,096	5,60	-1,616	1,616	-0,752	0,752
	B - C	6.00	5,691	4,915	-1,769	1,769	0,892	-0,892
	C - D	3.60	7,548	4,616	-4,490	4,490	0,466	-0,466
	D - E	3.60	7,384	5,515	-3,603	3,603	0,894	-0,894
VI	A - B	6.00	4,981	4,940	-3,145	3,145	-0,504	0,504
	B - C	6.00	10,115	9,760	-3,3125	3,3125	0,114	-0,114
	C - D	3.60	16,974	15,512	-9,028	9,028	0,731	-0,731
	D - E	3.60	15,083	12,98	-7,755	7,755	1,079	-1,079
V	A - B	6.00	13,521	13,542	-4,843	4,843	-1,010	1,010
	B - C	6.00	13,914	13,642	-5,108	5,108	0,486	-0,486
	C - D	3.60	25,812	24,054	-13,852	13,852	0,879	-0,879
	D - E	3.60	23,520	20,542	-12,192	12,192	1,374	-1,374
IV	A - B	6.00	18,166	18,594	-6,20	6,20	-0,715	0,715
	B - C	6.00	19,541	19,603	-6,454	6,454	0,569	-0,569
	C - D	3.60	32,701	32,149	-18,110	18,110	0,101	-0,101
	D - E	3.60	31,506	28,891	-16,226	16,226	2,298	-2,298
III	A - B	6.00	20,793	22,361	-7,084	7,084	-1,069	1,069
	B - C	6.00	22,723	21,822	-7,424	7,424	0,450	-0,450
	C - D	3.60	37,452	38,131	-20,548	20,548	0,910	-0,910
	D - E	3.60	35,028	30,441	-18,185	18,185	2,293	-2,293
II	A - B	6.00	23,142	24,566	-8,006	8,006	-0,544	0,544
	B - C	6.00	24,993	24,105	-8,174	8,174	0,474	-0,474
	C - D	3.60	41,823	40,58	-22,883	22,883	0,629	-0,629
	D - E	3.60	38,356	34,866	-20,860	20,860	2,184	-2,184
I	A - B	6.00	19,488	19,44	-6,488	6,488	0,124	-0,124
	B - C	6.00	19,76	12,345	-7,020	7,020	-1,282	1,282
	C - D	3.60	38,86	39,234	-21,148	21,148	0,793	-0,793
	D - E	3.60	36,136	29,102	-18,121	18,121	0,514	-0,514

5.2.9.6 - Efforts normaux sur les poteaux sous / ~~sur~~ 5TH

Le poteau supportant la partie au niveau du nœud i, subit un effort normal ; sa valeur est donnée par les relations suivantes :

$$\{ N_i = T_e^i - T_w^i, \text{ au droit du poteau de la file } (i) \}$$

$$\{ N_{i+1} = T_e^{i+1} - T_w^{i+1}, \text{ au droit du poteau de la file } (i+1) \}$$

$T_e^i, T_e^{i+1}, T_w^i, T_w^{i+1}$ sont pris en valeur algébriques.

si $\{ N_i > 0 : \text{ compression du poteau} \}$

$\{ N_i < 0 : \text{ traction du poteau} \}$

1 - Poétique Cranwell 7-7

NIV.	POT ⁺	N_{S1H}^{\rightarrow}	N_{S1H}^{\leftarrow}
<i>II</i>	A	-1,616	1,616
	B	-0,163	0,163
	C	-2,291	2,291
	D	0,885	-0,885
	E	-3,605	3,605
<i>III</i>	A	-3,145	3,145
	B	-0,1645	0,1645
	C	-5,7155	5,7155
	D	1,273	-1,273
	E	-9,755	9,755
<i>I</i>	A	-4,643	4,643
	B	-0,266	0,266
	C	-0,443	0,443
	D	1,66	-1,66
	E	-12,192	12,192
<i>IV</i>	A	-4,290	4,290
	B	-0,164	0,164
	C	-11,653	11,653
	D	1,884	-1,884
	E	-16,126	16,126

NIV.	POT ⁺	N_{S1H}^{\rightarrow}	N_{S1H}^{\leftarrow}
<i>II</i>	A	-4,084	4,084
	B	-0,334	0,334
	C	-13,184	13,184
	D	2,393	-2,393
	E	-16,185	16,185
<i>III</i>	A	-8,106	8,106
	B	-0,169	0,169
	C	-14,714	14,714
	D	2,28	-2,28
	E	-20,6	20,6
<i>I</i>	A	-6,498	6,498
	B	-0,532	0,532
	C	-14,128	14,128
	D	3,024	-3,024
	E	-16,121	16,121

CALCUL DES EFFORTS NORMALS DANS LES POTEAUX S/SIH

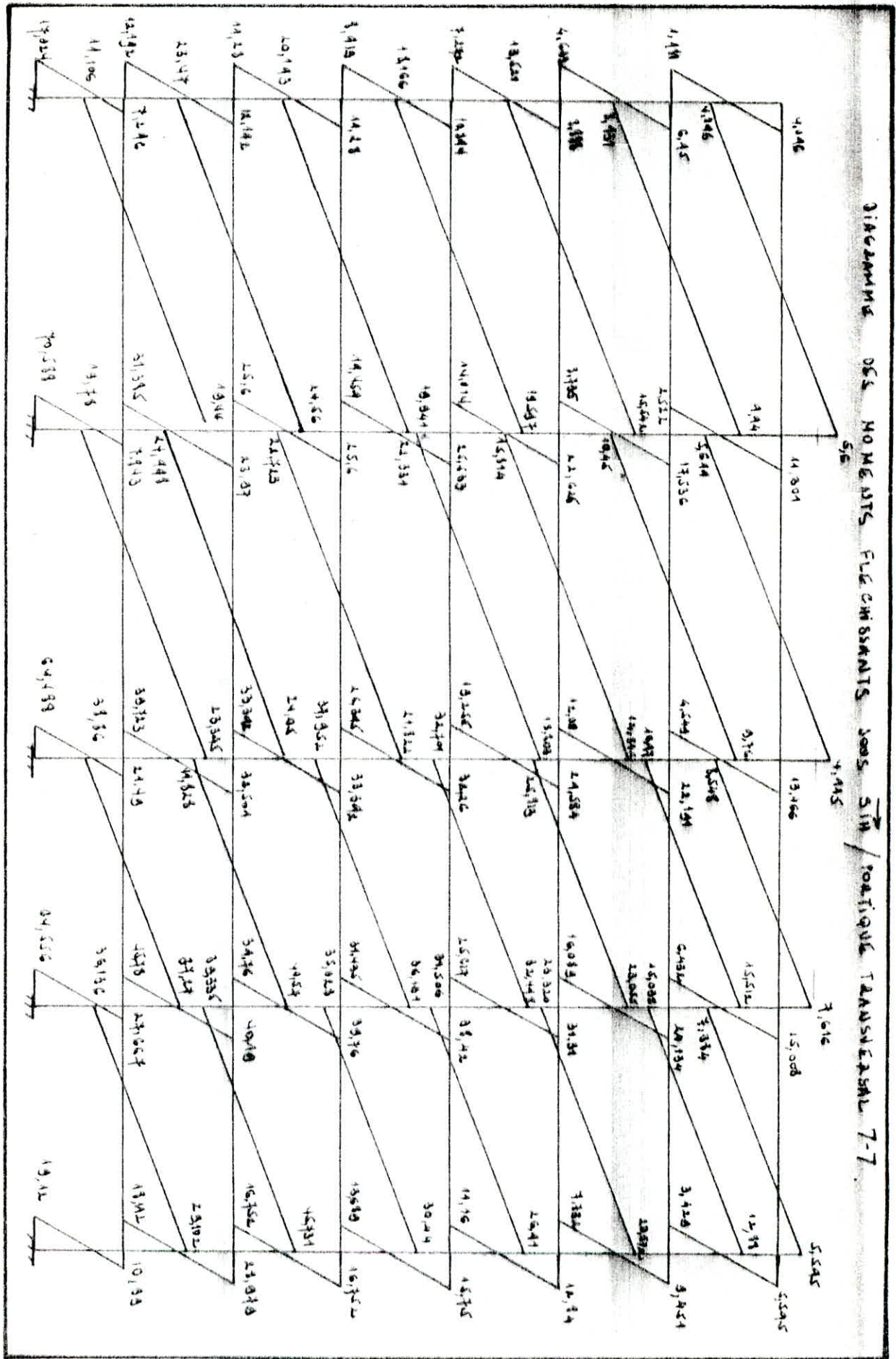
2 - Portique longitudinal D-D.

Niveau	Poteau	$N_{S_iH}^{\rightarrow}$	$N_{S_iH}^{\leftarrow}$
IV	1	-1,79	+1,79
	2	-1,087	+1,087
	3	0,27	-0,27
	4	-0,01	+0,01
	5, 6	0	0
	7	0,111	-0,111
	8	-2,44	+2,44
	1	-3,98	+3,98
V	2	-2,62	+2,62
	3	+0,617	-0,617
	4	-0,017	+0,017
	5, 6	0	0
	7	0,415	-0,415
	8	-5,585	+5,585
	1	-6,23	+6,23
	2	-3,6	+3,6
VI	3	+0,846	-0,846
	4	-0,096	+0,096
	5, 6	0	0
	7	0,39	-0,39
	8	-8,69	+8,69
	1	-8,29	+8,29
	2	-5,03	+5,03
	3	1,35	-1,35
VII	4	-0,05	+0,05
	5, 6	0	0
	7	0,61	-0,61
	8	-11,41	+11,41

Niveau	Poteau	$N_{S_iH}^{\rightarrow}$	$N_{S_iH}^{\leftarrow}$
III	1	-9,2	+9,2
	2	-5,58	+5,58
	3	1,462	-1,462
	4	-0,042	+0,042
	5, 6	0	0
	7	0,58	-0,58
	8	-12,78	+12,78
	1	-10,64	+10,64
II	2	-6,45	+6,45
	3	1,54	-1,54
	4	-0,12	+0,12
	5, 6	0	0
	7	0,83	-0,83
	8	-14,84	+14,84
	1	-8,44	+8,44
	2	-5,89	+5,89
I	3	1,08	-1,08
	4	-0,05	+0,05
	5, 6	0	0
	7	0,89	-0,89
	8	-13,41	+13,41

DIGESTIVE HUMORS & SECRETIONS DUE TO SODIUM LORGINIDINE D.D. -

DIRECTORS		MOMENTS		ELECTRICALS		TENSILE		SHEAR		ROTATIONAL		LATERAL		D.D.	
3,777	3,929	4,893	4,711	4,711	4,711	9,42	9,42	9,42	9,42	9,42	9,42	9,2955	4,088	4,088	
3,777	3,966	3,968	3,742	3,742	3,742	9,42	9,42	9,42	9,42	9,42	9,42	6,3428	4,028	4,028	
3,777	5,035	4,674	4,711	4,711	4,711	10,81	10,81	10,81	10,81	10,81	10,81	10,81	4,711	4,711	
3,777	6,072	4,828	5,152	5,073	5,073	16,55	16,55	16,55	16,55	16,55	16,55	16,55	2,428	2,428	
3,777	10,555	13,429	10,311	10,311	10,311	16,35	16,35	16,35	16,35	16,35	16,35	16,35	5,076	5,076	
3,777	9,486	20,444	14,211	14,033	14,033	11,05	11,05	11,05	11,05	11,05	11,05	11,05	4,933	4,933	
3,777	13,351	11,32	15,912	16,36	16,36	16,36	16,36	16,36	16,36	16,36	16,36	16,36	9,332	9,332	
3,777	10,441	25,335	26,338	21,64	21,64	21,64	21,64	21,64	21,64	21,64	21,64	21,64	5,598	5,598	
3,777	17,35	14,59	17,52	17,32	17,32	17,32	17,32	17,32	17,32	17,32	17,32	17,32	19,478	19,478	
3,777	23,46	21,43	21,64	21,64	21,64	21,64	21,64	21,64	21,64	21,64	21,64	21,64	3,05	3,05	
3,777	10,776	20,287	25	24,059	24,059	24,059	24,059	24,059	24,059	24,059	24,059	24,059	24,059	24,059	
3,777	20,725	27,312	26,873	26,873	26,873	26,873	26,873	26,873	26,873	26,873	26,873	26,873	21,974	21,974	
3,777	25,99	23,32	21,53	21,24	21,24	21,24	21,24	21,24	21,24	21,24	21,24	21,24	9,75	9,75	
3,777	14,629	24,03	23,86	23,08	23,08	24,03	24,03	24,03	24,03	24,03	24,03	24,03	15,242	15,242	
3,777	10,776	25,565	27,312	26,873	26,873	26,873	26,873	26,873	26,873	26,873	26,873	26,873	13,1184	13,1184	
3,777	22,455	24,477	23,93	23,93	23,93	23,93	23,93	23,93	23,93	23,93	23,93	23,93	13,1184	13,1184	
3,777	11,655	20,441	26,74	25,49	25,49	25,49	25,49	25,49	25,49	25,49	25,49	25,49	12,557	12,557	
3,777	3,552	18,912	28,15	28,55	28,55	28,55	28,55	28,55	28,55	28,55	28,55	28,55	9,438	9,438	
3,777	27,266	26,74	21,93	21,93	21,93	21,93	21,93	21,93	21,93	21,93	21,93	21,93	13,1184	13,1184	
3,777	26,15	25,74	25,74	25,74	25,74	25,74	25,74	25,74	25,74	25,74	25,74	25,74	4,267	4,267	
3,777	44,123	42,378	42,378	42,378	42,378	42,378	42,378	42,378	42,378	42,378	42,378	42,378	4,267	4,267	



C H A P I T R E : VI

-CALCUL DES CHARGES
VERTICALES -

- CALCUL DES CHARGES VÉRTICALES -

méthode utilisée :

6.1. Méthode de la quin:

- Creavans fictifs de Poteaux:

$$h_n = 0,9 h_m \text{ si le nœud}$$

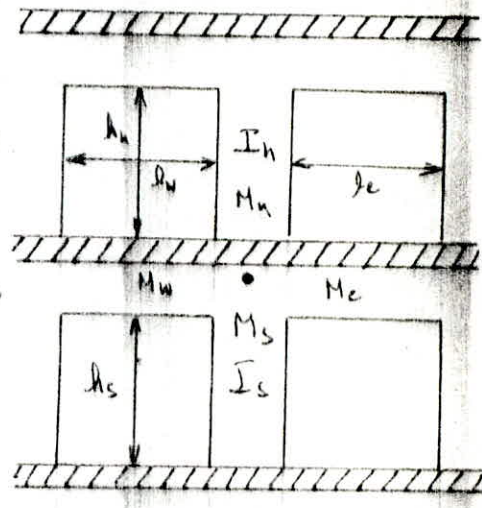
appartient à l'aval des planchers

$$h'_n = 0,8 h_n \text{ sinon}$$

$h'_s = 0,8 h_s$, sauf si les poteaux

sont articulés : $h'_s = h_s$.

$$k_n = \frac{I_n}{h'_n}, k_{sc} = \frac{I_s}{h'_s}$$



- Creavans fictifs :

traverses intermédiaires : $l'_w = 0,8 l_w$, $l'_e = 0,8 l_e$

$$k_w = \frac{\delta_w}{l'_w}, k_s = \frac{\delta_s}{l'_s}$$

traverses de rive :

$$\begin{cases} \text{nœud de rive droite} & l'_w = 0,8 l_w \\ & l'_s = 0 \end{cases}$$

$$\begin{cases} \text{nœud de rive gauche} & l'_w = 0 \\ & l'_s = 0,8 l_e \end{cases}$$

Nœud isolé du nœud de rive :

$$l'_w = k_1 l_w, l'_s = l_{s-2}$$

avec $k_1 = 0,8$ pour $k_{s-1} + k_m \geq 1,5 k_{s-1}$ } Nœud de rive gauche
 $k_1 = \left(1 - \frac{k_{s-1} + k_m}{1,5 k_{s-1}}\right)$, si $k_{s-1} + k_m < 1,5 k_{s-1}$ } rive gauche

Nœud dans le rive droite (Nœud 3 de rive) :

$$l'_{ex} = \chi_3 l_{ex}, \text{ avec } \chi_3 = 0,8, \text{ pour } k_{s3} + k_{n3} \geq 1,5 k_{ws}$$

$$\chi_3 = 1 - \frac{k_{s3} + k_{n3}}{k_{ws}}, \text{ pour } k_{s3} + k_{n3} < 1,5 k_{ws}$$

on pose dans ce cas : $\chi_3 = 0,8$

$$D = k_n + k_s + k_e + k_w.$$

- moments fictifs: $M'_w = q_w l_e^2$, $M'_e = q_e l_e$

• Calcul des moments: $8,5$ $8,5$

- Nœud intermédiaire :

$$M_{w2} = M'_e \frac{k_w}{D} + M'_w (1 - \frac{k_w}{D})$$

$$M_e = M'_e (1 - \frac{k_e}{D}) + M'_w \frac{k_e}{D}$$

$$M_s = k_s (M'_e - M'_w)$$

$$M_n = M'_w (M'_e - M'_w)$$

- Nœud de rive :

rive gauche: $\left\{ M_e = M'_e (1 - \frac{k_e}{D}) \right.$, rive droite: $\left\{ M_w = M'_w (1 - \frac{k_w}{D}) \right.$

$$\left. \begin{array}{l} M_s = M'_e \frac{k_s}{D} \\ M_n = M'_w \frac{k_n}{D} \end{array} \right\}$$

$$\left. \begin{array}{l} M_s = M'_w \frac{k_s}{D} \\ M_n = M'_w \frac{k_n}{D} \end{array} \right\}$$

6.1.2 - Moments en flancs:

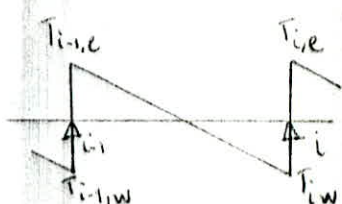
$$M_t = M_o - M_{i,w} + M_{i,e}$$

$$\frac{M_{i,w}}{\Delta} \quad \frac{M_{i,e}}{\Delta}$$

6.1.3 - Effets franchissant dans les parties

$$\left\{ T_{i,w} = \frac{q_l}{2} + M_{i,w} - M_{i,e} \right.$$

$$\left. \begin{array}{l} T_{i,e} = -\frac{q_l}{2} + M_{i,e} - M_{i,w} \end{array} \right\}$$



6.1.4 - Effets assomme apposé sur le ponts des poteaux:

$$\left\{ N_{i,w} = T_{i,w} - T_{i,e} - M_{i,w}, M_{i,e}, M_{i,w} \text{ en valeur absolue.} \right.$$

$$\left. \begin{array}{l} N_i = T_{i,e} - T_{i,w} \quad T_i \text{ en valeur absolue} \end{array} \right\}$$

Schème du Portique longitudinal

1	2	3	4	5	6	7	8
9	10	11	12	13	14	15	16
17	18	19	20	21	22	23	24
25	26	27	28	29	30	31	32
33	34	35	36	37	38	39	40
41	42	43	44	45	46	47	48
49	50	51	52	53	54	55	56
57	58	59	60	61	62	63	64

Schéma du portique transversal.

1	2	3	4	5
6	7	8	9	10
11	12	13	14	15
16	17	18	19	20
21	22	23	24	25
26	27	28	29	30
31	32	33	34	35
36	37	38	39	40

6.2 Calcul des charges verticales exercant

sur la surface revêtante au portique

6.2.1 Portique longitudinal 7.7 :

$$\text{Surface revêtante au portique: } S = 19,20 \times 3,60 = 69,12 \text{ m}^2$$

$$\text{Charge permanente: Plancher terrasse: } 589 \times 3,60 = 2,12 \text{ t/mel}$$

$$\text{Portes: } 0,3 \times 0,3 \times 2,5 = 0,225 \text{ t/mel}$$

$$G = 2,345 \text{ t/mel}$$

$$\text{Surcharge: } P = 0,1 \times 3,60 = 0,36 \text{ t/mel.}$$

$$\text{Charge permanente: Étage courant:}$$

$$\text{Plancher: } 456,5 \times 3,60 = 1,643 \text{ t/mel}$$

$$\text{Portes: } 0,225 \text{ t/mel}$$

$$G = 1,868 \text{ t/mel}$$

$$\text{Surcharge: } P = 0,25 \times 3,6 = 0,9 \text{ t/mel.}$$

6.2.2 Portique longitudinal S-D:

$$\text{Surface revêtante au portique: } S = 0,65 \times 2,5 \times 5 = 16,75 \text{ m}^2$$

$$\text{Niveau terrasse: } * \text{ Charge permanente:}$$

$$\text{Plancher: } 588 \times 0,65 = 0,382 \text{ t/mel}$$

$$\text{Portes: } 0,3 \times 0,6 \times 2,5 = 0,375 \text{ t/mel}$$

$$G = 0,757 \text{ t/mel}$$

$$* \text{ Surcharge d'exploitation: } P = 0,10 \times 0,65 + 0,1 \times 0,3 = 0,095 \text{ t/mel}$$

$$\text{Niveau étage courant: } * \text{ Charge permanente:}$$

$$\text{Plancher: } 456,5 \times 0,65 = 0,28 \text{ t/mel}$$

$$\text{Portes: } 0,225 \text{ t/mel}$$

$$* \text{ Surcharge P:}$$

$$G = 0,6 \text{ t/mel}$$

$$P = 0,05 \times 0,25 + 0,5 \times 0,25 = 0,2375 \text{ t/mel}$$

6.3. Caractéristiques Géométriques du Poteau longitudinal.

N°	$\frac{h_w}{h_s}$	L_w	L_e	h_n	h_s	$10^4 \frac{I_w}{I_s}$	$10^4 \frac{I_e}{I_s}$	L_{av}	L'_e	h'_n	h'_s	k_w	k_e	k_n	k_s	$D.10^4$	X	
1	-	3,85	-	2,70	31,25	21,33	-	3,08	-	2,16	-	10,14	-	9,87	20,01	0,870		
2	3,85	2,95	-	2,70	31,25	62,5	3,55	2,06	-	2,16	9,83	13,24	-	28,93	51,5	-		
3	2,95	3,10	-	2,70	31,25	62,5	2,36	2,48	-	2,16	13,24	12,60	-	28,93	54,71	-		
4	3,10	3,10	-	2,70	31,25	62,5	2,48	2,48	-	2,16	12,60	12,60	-	28,93	54,73			
5	3,10	3,10	-	2,70	31,25	62,5	2,48	2,48	-	2,16	12,60	11,16	-	28,93	52,49			
6	3,10	3,15	-	2,70	31,25	62,5	2,48	2,83	-	2,16	12,60	11,16	-	28,93	52,49			
7	3,15	-	-	2,70	31,25	21,33	2,52	-	-	2,16	12,40	-	-	9,87	22,27	0,89		
8	-	3,85	2,70	2,70	31,25	21,33	-	3,08	2,43	2,16	-	10,14	8,77	9,87	28,79	0,8		
9	-	3,85	2,70	2,70	31,25	21,33	-	3,08	2,43	2,16	-	10,14	8,77	9,87	28,79	0,8		
10	3,85	2,95	2,70	2,70	31,25	62,5	3,08	2,36	2,43	2,16	10,14	13,24	35,72	28,93	78,03	-		
11	2,95	3,10	2,70	2,70	31,25	62,5	2,36	2,48	2,43	2,16	13,24	12,60	25,72	28,93	80,49	-		
12	3,10	3,10	2,70	2,70	31,25	62,5	2,48	2,48	2,43	2,16	12,60	12,60	35,72	28,93	79,85	-		
13	3,10	3,15	2,70	2,70	31,25	62,5	2,48	2,83	2,43	2,16	12,60	12,40	25,72	28,93	79,65			
14	-	2,70	2,70	31,25	21,33	2,82	-	2,43	2,16	12,40	-	8,77	9,87	9,87	31,05	0,8		
15	-	3,85	2,70	2,70	31,25	21,33	-	3,08	2,16	2,16	-	10,14	9,87	9,87	29,89	0,8		
16	-	3,85	2,95	2,70	31,25	21,33	-	3,08	2,43	2,16	-	10,14	13,24	28,93	81,25			
17	-	2,95	3,10	2,70	31,25	21,33	-	3,08	2,16	2,16	-	10,14	9,87	9,87	29,89	0,8		
18	-	2,95	3,10	2,70	31,25	62,5	0,08	2,56	2,16	2,16	10,14	13,24	28,93	28,93	81,25			
19	-	2,95	3,10	2,70	2,70	31,25	62,5	2,36	2,48	2,16	2,16	13,24	12,60	28,93	28,93	83,7		
20	-	3,10	3,10	2,70	2,70	31,25	62,5	2,48	2,48	2,16	2,16	12,60	12,60	38,93	38,93	83,06		
21	-	3,10	3,15	2,70	2,70	31,25	62,5	2,48	2,48	2,16	2,16	12,60	12,40	28,93	28,93	82,86		
22	-	3,15	-	2,70	2,70	31,25	21,33	2,52	-	2,16	2,16	12,40	-	9,87	9,87	32,14	0,8	
23	-	3,15	2,70	2,70	31,25	62,5	2,48	2,83	2,43	2,16	12,60	12,40	28,93	28,93	82,86			
24	-	3,15	-	2,70	2,70	31,25	21,33	2,52	-	2,16	2,16	12,40	-	9,87	9,87	32,14	0,8	

Poteaux intermédiaires: $I = \frac{0,6 \times 0,5^3}{12} = 62,5 \cdot 10^4 \text{ m}^4$

Poteaux de rive: $I = 21,03 \cdot 10^4 \text{ m}^4$, Poutres: $I = 31,25 \cdot 10^4 \text{ m}^4$

6.4 - Caractéristiques géométriques du pontique transversal.

Niveau	h _{0,0}	L _w	L _e	h _n	h _s	I _w 10 ⁴	I _e 10 ⁴	L _w	L _e	h _n '	h _s '	k _w	k _e	k _a	k _s	D 10 ⁻⁴	X
4	-	5,50	-	2,70	31,25	21,33	-	4,40	-	2,16	-	7,10	-	9,18	16,975	0,81	
2	5,50	3,40	-	2,70	31,25	90	4,48	4,32	-	2,16	7,01	7,23	-	41,66	55,9		
3	5,40	3	-	2,70	31,25	90	4,62	2,4	-	2,16	7,23	15,02	-	41,66	61,91		
4	3	3,10	-	2,70	31,25	90	2,4	2,16	-	2,16	13,02	11,32	-	41,66	61,02		
5	3,10	-	-	2,70	31,25	21,33	2,48	-	-	2,16	12,6	-	-	9,875	22,47	0,89	
6	-	5,5	2,70	2,70	31,25	21,33	-	4,4	2,48	2,16	-	7,10	8,77	9,875	25,74	0,8	
7	5,5	5,40	2,7	2,7	31,25	90	4,4	4,32	2,43	2,16	7,1	7,23	37,07	41,66	93,06		
8	5,4	3	2,7	2,7	31,25	90	4,32	2,4	2,43	2,16	7,23	13,02	37,07	41,66	98,98		
9	3	3,10	2,7	2,7	31,25	90	2,4	2,48	2,48	2,16	13,02	12,6	37,07	41,66	104,35		
10	3,10	-	2,7	2,7	31,25	21,33	2,48	-	2,43	2,16	12,6	-	8,77	9,875	31,24	0,802	
11	-	5,5	2,70	2,7	31,25	21,33	-	4,4	2,16	2,16	-	7,10	9,875	9,875	26,85	0,8	
12	5,5	5,40	2,7	2,7	31,25	90	4,4	4,32	2,16	2,16	7,1	7,23	37,07	37,07	88,47		
13	5,4	3	2,7	2,7	31,25	90	4,32	2,4	2,16	2,16	7,23	13,02	37,07	37,07	94,39		
14	3	3,10	2,7	2,7	31,25	90	2,4	2,48	2,16	2,16	13,02	12,6	37,07	37,07	99,76		
15	3,10	-	2,7	2,7	31,25	21,33	2,48	-	2,16	2,16	12,6	-	9,875	9,875	32,35	0,8	

Moments d'inertie:

$$\text{Poteaux de rive: } I = \frac{0,4 \times 0,4^3}{12} = 21,33 \cdot 10^4 \text{ m}^4$$

$$\text{Poteaux intermédiaires: } I = \frac{0,3 \times 0,6^3}{12} = 90 \cdot 10^4 \text{ m}^4$$

$$\text{Poutres: } I = \frac{0,3 \times 0,8^3}{12} = 31,25 \cdot 10^4 \text{ m}^4$$

6.5 - Calcul des Efforts dans / G

Porte ouvrante transversale

Niveau	L'_e	L'_w	q_e	q_w	M'_e	M'_w	M_e	M_w	M_n	M_0	Travee	$T_{(x=0)}$	$T_{(x=L)}$	M_t	N
1	4,4	-	2,345	-	0,34	-	3,10	-	-	3,10	1- 2	6,646	-7,42	6,288	6,646
2	4,32	4,45	2,345	2,345	5,148	5,47	5,189	5,429	-	-0,239	2- 3	7,11	-6,95	5,59	14,58
3	2,4	4,32	2,345	2,345	1,589	5,148	2,337	4,73	-	-2,34	3- 4	4,398	-4,04	1,706	11,348
4	2,76	2,4	2,345	2,345	2,10	1,869	2,026	1,689	-	0,322	4- 5	4,573	-3,87	2,42	8,68
5	-	2,48	-	2,345	-	1,696	-	0,745	-	0,745	-	-	-	1	3,87
6	4,4	-	1,868	-	4,284	-	3,08	-	1,45	1,632	6- 7	5,41	-5,79	4,746	5,41
7	4,32	4,4	1,868	1,868	4,10	4,284	4,11	4,24	-0,064	-0,068	7- 8	5,604	-5,53	4,404	11,384
8	2,4	4,32	1,868	1,868	1,265	4,10	1,63	3,893	-1,06	-1,19	8- 9	3,463	-3,26	1,569	8,993
9	2,48	2,4	1,868	1,868	1,851	1,265	1,84	1,235	0,0305	0,034	9- 10	3,51	-3,21	1,953	6,77
10	-	2,48	-	1,868	-	1,35	-	0,805	0,379	0,426	-	-	-	3,21	-
11	4,4	-	1,868	-	4,284	-	3,128	-	1,564	1,564	11- 12	5,418	-5,789	4,72	5,418
12	4,32	4,4	1,868	1,868	4,10	4,284	4,11	4,24	-0,064	-0,064	12- 13	5,64	-5,56	4,41	11,43
13	2,4	4,32	1,868	1,868	1,265	4,10	1,636	3,88	-1,13	-1,13	13- 14	3,47	-3,25	1,563	9,03
14	2,48	2,4	1,868	1,868	1,851	1,265	1,84	1,27	0,03	0,03	14- 15	3,505	-3,22	1,944	6,755
15	-	2,48	-	1,868	-	1,851	-	0,824	0,412	0,412	-	-	-	3,22	-

6.6 - Calcul des Efforts dans / P.
Portique à courbes

N°	$\frac{M}{N}$	L_e	L'_w	q_e	q_w	M'_e	M'_w	M_e	M_w	M_n	M_s	Travée	$T_{(x=0)}$	$T_{(x=4)}$	M_t	N
1	4,4	-	0,36	-	0,36	0,849	-	0,418	-	-	0,411	1 - 2	1,02	-1,14	0,965	1,02
2	4,32	4,455	0,36	0,36	0,36	0,7904	0,84	0,796	0,833	-	-0,031	2 - 3	1,09	-1,048	0,859	2,23
3	2,4	4,32	0,36	0,36	0,36	0,244	0,79	0,358	0,726	-	-0,361	3 - 4	0,615	-0,62	0,214	1,743
4	2,16	2,4	0,36	0,36	0,36	0,328	0,244	0,308	0,26	-	0,04	4 - 5	0,748	-0,534	0,357	1,32
5	-	2,48	-	0,36	-	0,26	-	0,114	-	0,114	-	-	-	-	0,594	
6	4,4	-	0,9	-	2,05	-	1,48	-	0,696	0,786	6 - 7	2,606	-2,79	2,288	2,606	
7	4,32	4,4	0,9	0,9	1,916	2,05	1,98	2,044	-0,029	-0,033	7 - 8	2,71	-2,68	2,122	5,504	
8	2,4	4,32	0,9	0,9	0,61	1,916	0,709	1,876	-0,511	-0,875	8 - 9	1,668	-1,57	0,726	4,348	
9	2,48	2,4	0,9	0,9	0,651	0,61	0,646	0,615	0,014	0,016	9 - 10	1,691	-1,548	0,941	3,26	
10	-	2,48	-	0,9	-	0,65	-	0,388	0,182	0,205	-	-	-	-	1,548	
11	4,4	-	0,9	-	2,05	-	1,503	-	0,754	0,784	11 - 12	2,61	-2,718	2,27	2,61	
12	4,32	4,4	0,9	0,9	1,916	2,05	1,982	2,044	-0,031	-0,031	12 - 13	2,712	-2,68	2,123	5,504	
13	2,4	4,32	0,9	0,9	0,61	1,916	0,798	1,874	-0,536	-0,536	13 - 14	1,67	-1,569	0,75	4,05	
14	2,48	2,4	0,9	0,9	0,651	0,61	0,645	0,615	0,0182	0,0185	14 - 15	1,689	-1,55	0,936	3,258	
15	-	2,48	0,9	-	0,651	-	0,397	0,181	0,198	-	-	-	-	-	1,55	

6.7 - Calcul des Efforts sur G

- Poste à queue d'antivolinal -

Niveau N	L'_e	L'_w	q_e	q_w	M'_e	M'_w	M_e	M_w	M_n	M_s	Travée	$T_{(x=0)}$	$T_{(x=L)}$	M_t	N		
1	3,08	-	0,751	-	0,844	-	0,416	-	-	0,416	1 - 2	1,51	-1,74	1,028	1,51		
2	2,36	3,22	0,707	0,707	0,486	0,989	0,625	0,901	-	-0,282	2 - 3	1,339	-1,242	0,559	1,239		
3	2,48	2,36	0,757	0,757	0,641	0,696	0,585	0,508	-	0,021	3 - 4	1,359	-1,366	0,685	2,621		
4	2,48	2,48	0,707	0,707	0,541	0,647	0,547	0,547	-	0	4 - 5	1,36	-1,36	0,679	2,72		
5	-	-	-	-	-	-	-	-	-	-	5 - 6	-	-	-	-		
6	2,48	2,48	0,751	0,751	0,548	0,147	0,547	0,547	-	0	6 - 7	1,35	-1,37	0,689	2,71		
7	2,48	2,48	0,757	0,757	0,713	0,547	0,671	0,586	-	0,091	7 - 8	1,48	-1,24	0,763	2,85		
8	-	2,52	0,757	0,717	-	0,565	-	0,280	-	0,280	-	-	-	-	1,24		
9	3,08	-	0,67	0,67	0,741	-	0,484	-	0,221	0,216	9 - 10	1,388	-1,49	0,953	1,388		
10	2,36	3,08	0,67	0,67	0,441	0,747	0,492	0,707	-0,101	-0,113	10 - 11	1,169	-1,162	0,587	2,661		
11	2,48	2,36	0,67	0,67	0,484	0,459	0,477	0,442	0,014	0,016	11 - 12	1,204	-1,208	0,605	2,346		
12	2,48	2,48	0,67	0,67	0,484	0,484	0,484	0,484	0	0	12 - 13	-	-	-	-		
13	-	-	-	-	-	-	-	-	-	-	13 - 14	1,206	-1,206	0,601	2,414		
14	2,48	2,48	0,67	0,67	0,484	0,484	0,484	0,484	0	0	14 - 15	1,205	-1,206	0,6	2,411		
15	2,52	2,48	0,67	0,67	0,5	0,484	0,751	0,486	0,005	0,001	15 - 16	1,26	-1,15	0,681	2,466		
16	-	2,52	0,67	0,67	-	0,5	-	0,3	0,141	0,159	-	-	-	-	1,15		
17	3,08	-	0,67	0,67	0,741	-	0,483	-	0,246	0,246	17 - 18	1,39	-1,49	0,948	1,39		
18	2,36	3,08	0,67	0,67	0,489	0,741	0,489	0,708	-0,109	-0,109	18 - 19	1,168	-1,14	0,529	2,662		
A	-	19	2,48	2,36	0,67	0,67	0,484	0,489	0,411	0,446	0,015	0,015	19 - 20	1,204	-1,203	0,605	2,344
B	-	20	2,48	2,48	0,67	0,67	0,484	0,484	0,484	0,484	0	0	20 - 21	-	-	-	
C	-	21	2,48	2,48	0,67	0,67	0,484	0,484	0,484	0,484	0	0	21 - 22	1,206	-1,206	0,601	2,414
D	-	22	2,48	2,48	0,67	0,67	0,484	0,484	0,484	0,484	0	0	22 - 23	1,205	-1,206	0,6	2,411
E	-	23	2,52	2,48	0,67	0,67	0,5	0,484	0,481	0,489	0,005	0,005	23 - 24	1,288	-1,183	0,683	2,464
F	-	24	-	2,52	-	0,67	-	0,5	-	0,307	0,153	0,153	-	-	-	1,153	

C.8 - Calcul des efforts durs / P.

Portique longitudinal

Niveau	N° élémt	L'_e	L'_w	q_e	q_w	M'_e	M'_w	M_e	M_w	M_h	M_3	Travée	$T_{(x=0)}$	$T_{(x=y)}$	M_t	N
1	3,08	-	0,095	-	0,106	-	0,12	-	-	0,082	1 - 2	0,190	-0,22	0,052	0,19	
2	2,36	3,35	0,095	0,095	0,062	0,115	0,078	0,133	-	0,035	2 - 3	0,168	-0,159	0,071	0,388	
3	2,48	2,36	0,095	0,095	0,068	0,062	0,066	0,063	-	0,003	3 - 4	0,110	-0,111	0,087	0,329	
4	5	2,48	2,48	0,095	0,095	0,068	0,068	0,068	0,068	-	0	4 - 5				
		2,48	2,48	0,095	0,095	0,068	0,068	0,068	0,068	0	5 - 6	0,171	-0,171	0,026	0,342	
		2,48	2,48	0,095	0,095	0,068	0,068	0,068	0,068	-	6 - 7	0,169	-0,172	0,083	0,340	
		2,48	2,48	0,095	0,095	0,068	0,068	0,068	0,068	0	7 - 8	0,185	-0,156	0,096	0,357	
		-	2,52	-	0,095	-	0,071	-	0,031	-	8 -	-	-	-	0,156	
		3,08	-	0,231	-	0,264	-	0,171	-	0,081	0,09	9 - 10	0,491	-0,521	0,887	0,491
		2,36	3,08	0,231	0,267	0,155	0,264	0,173	0,249	0,085	0,04	10 - 11	0,413	-0,404	0,187	0,94
		2,48	2,36	0,231	0,237	0,171	0,155	0,168	0,157	0,005	0,006	11 - 12	0,426	-0,427	0,214	0,829
		2,48	2,48	0,231	0,237	0,171	0,171	0,171	0,171	0	0	12 - 13				
		2,48	2,48	0,231	0,237	0,171	0,171	0,171	0,171	0	0	13 - 14	0,426	-0,426	0,213	0,853
		2,48	2,48	0,231	0,237	0,171	0,171	0,171	0,171	0	0	15 - 16	0,426	-0,426	0,213	0,852
		2,52	2,48	0,231	0,237	0,171	0,171	0,176	0,172	0,002	0,002	16 - 17	0,446	-0,404	0,243	0,872
		-	2,52	-	0,207	-	0,171	-	0,106	0,05	0,056					0,407
		3,08	-	0,207	-	0,264	-	0,171	-	0,081	0,087	17 - 18	0,492	-0,527	0,385	0,492
		2,36	3,08	0,207	0,287	0,155	0,264	0,173	0,280	0,038	0,038	18 - 19	0,413	-0,404	0,187	0,94
		2,48	2,36	0,207	0,287	0,171	0,155	0,168	0,157	0,005	0,005	19 - 20	0,426	-0,427	0,214	0,849
		2,48	2,48	0,207	0,287	0,171	0,171	0,171	0,171	0	0	20 - 21	0,426	-0,426	0,213	0,853
		2,48	2,48	0,207	0,207	0,171	0,171	0,171	0,171	0	0	22 - 23	0,426	-0,426	0,214	0,852
		2,52	2,48	0,207	0,207	0,171	0,171	0,171	0,171	0	0	23 - 24	0,445	-0,404	0,242	0,871
		-	2,52	-	0,207	-	0,171	-	0,108	0,064	0,064		-	-	-	0,407

CHAPITRE : VII

- COMBINAISON DES CHARGES -

COMBINAISONS

DES SURCHARGES

X.

La sollicitation développée par les surcharges permanentes d'exploitation est prépondérante devant celle due au vent.
 La sollicitation totale pondérée du 1^{er} genre à considérer sera donc : $G + 1,2P$

Celle du second genre : $G + P + S_{II}$.

- Pour les poutres : 1^{er} genre : $G + 1,2P$

$$\begin{aligned} 2^{\text{e}} \text{ genre} : G + P + & \xrightarrow{\leftarrow} S_{II} \\ & 0,8G + \xrightarrow{\rightarrow} S_{II} \end{aligned}$$

- Pour les poteaux : 1^{er} genre : $G + 1,2P$

$$\begin{aligned} 2^{\text{e}} \text{ genre} : G + P + & \xrightarrow{\leftarrow} S_{II} \\ & G + P + 1,2S_{II} \\ & 0,8G + \xrightarrow{\rightarrow} S_{II} \end{aligned}$$

Moments en tranché des poutres (Art A.12 CEBIA 88)

Pour déterminer les moments en tranché, on trace les courbes des moments de la tranché modifiant au complet de poutre L avec les charges permanentes puis avec les charges permanentes et les surcharges en prenant comme ligne de fermeture.

- Pour les moments positifs, celle qui joint les moments d'appuis minimaux en valeur absolue.

- Pour les moments négatifs celle qui joint les moments d'appuis maximaux en valeur absolue.

Et on trace chaque fois de charge en supposant que les charges

peuvent être indépendantes de ceux des autres.

Exemple : soit à calculer le moment sous $\sigma + 1,2P$
en travée et sur appuis :

On calcule le moment hydrostatique M_o sous $\sigma + 1,2P$. Soit

Moment extérieur sous : $\left\{ \begin{array}{l} M_T = M_o(\sigma + 1,2P) - M_a(G) + M_w(G) \\ \text{ou appuis} \\ M_a = M_a(G) + M_a(1,2P) \end{array} \right.$

7.7 - Moment fléchissant dans les parties $S_1/S_2 P_1$: $\sigma + 1,2P$.
Portique C transversal 7-7.

N°Y	TRAVÉE	L	$\frac{S/10}{M_o+M_w}$	$\sigma + 1,2P$				
				M_o	q_o	M_a	M_w	M_T
W	1-2	6,00	4,261	14,496	2,777	9,25	3,57	6,421
2	2-3	6,00	4,459	12,496	2,777	7,25	6,124	5,601
2	3-4	6,00	4,078	4,498	2,777	2,485	2,766	2,001
2	4-5	3,60	1,378	4,498	2,777	8,12	2,083	0,661
T	6-7	6,00	3,664	10,27	2,949	9,606	4,886	6,69
2	7-8	6,00	4,001	10,27	2,949	9,24	6,486	6,144
2	8-9	6,00	1,456	4,777	2,949	6,321	2,584	2,013
2	9-10	3,60	1,072	4,777	2,949	3,703	2,112	1,271
H	11-12	6,00	3,678	10,27	2,949	9,69	4,93	6,69
P1	12-13	6,00	3,996	10,27	2,949	1,275	6,486	0,126
2	13-14	3,60	1,463	4,777	2,949	6,314	2,615	2,003
2	14-15	3,60	1,082	4,777	2,949	3,645	2,116	1,5

7.2. Moments fléchissants S/S_{P1} dans le portique long. D-D.

NIV.	DISTANCES	L	$\frac{S/P_1}{M_{max}}$	Carré + 1,2 P				
				M _z	T _z	M _x	M _w	M _e
1-2	4.50	0,6675	2,013	0,871	1,851	0,478	1,042	
W	2-3	3.45	0,5605	1,295	0,871	0,729	0,718	0,583
3	3-4	3.60	0,5415	1,411	0,871	0,87	0,615	0,628
4	4-5	3.60	0,5415	1,411	0,871	0,864	0,628	0,628
5	5-6	3.60	0,5415	1,411	0,871	0,864	0,628	0,628
W	6-7	3.60	0,5605	1,411	0,871	0,8445	0,628	0,673
7	7-8	3.60	0,4835	1,411	0,871	0,8475	0,777	0,286
	8-9	4.30	0,5985	0,205	0,954	1,610	0,689	1,005
	9-10	3.45	0,469	1,413	0,954	0,95	0,669	0,604
H	10-11	3.60	0,480	1,546	0,954	1,065	0,678	0,689
11	11-12	3.60	0,480	1,546	0,954	1,065	0,678	0,689
12	12-13	3.60	0,484	1,546	0,954	1,062	0,689	0,689
Z	13-14	3.60	0,484	1,546	0,954	1,062	0,689	0,689
14	14-15	3.60	0,485	1,546	0,954	1,061	0,689	0,689
Z	15-16	3.60	0,3985	1,546	0,954	1,144	0,708	0,427
	16-17	4.30	0,6005	1,205	0,954	1,605	0,701	1,006
H	17-18	3.45	0,4675	1,413	0,954	0,951	0,696	0,604
18	18-19	3.60	0,4806	1,546	0,954	1,065	0,678	0,699
19	19-20	3.60	0,484	1,546	0,954	1,062	0,689	0,689
X	20-21	3.60	0,484	1,546	0,954	1,062	0,689	0,689
Z	21-22	3.60	0,484	1,546	0,954	1,062	0,689	0,689
22	22-23	3.60	0,485	1,546	0,954	1,061	0,689	0,689
Z	23-24	3.60	0,462	1,546	0,954	1,144	0,708	0,436

7.3 - Combiner les Moments dans les parties portiques (casuel 7-7).

NIV.	TRAVEL	G + P + S _{in}			G + P + S _{im}			0,8 G + S _{in}			0,8 G + S _{im}		
		MW	M _L	M _e									
E1	1-2	0,519	9,136	-11,861	1,67	8,66	-0,663	1,616	4,17	-9,473	-6,576	5,77	1,256
	2-3	-0,236	9,618	-10,371	11,684	6,814	-0,541	1,647	4,864	-8,699	-9,850	4,06	1,131
	3-4	5,653	2,835	9,56	11,24	1,9	3,007	6,678	1,83	-8,667	-10,41	0,962	0,264
	4-5	2,064	3,194	-6,151	3,704	2,17	4,154	3,774	2,83	-6,191	-8,993	1,042	1,353
E2	5-6	4,571	9,286	-12,224	-13,49	9,216	3,686	6,123	3,23	-13,93	-11,30	4,5	0,348
	6-7	-1,025	8,157	-13,5	-16,203	2,03	3,991	6,624	3,65	-16,87	-18,40	3,4	0,645
	7-8	11,547	0,753	-17,4	-19,1	2,10	13,622	15,66	1,98	-16,53	-18,28	0,52	14,742
	8-9	10,052	4,140	-11,07	-17,024	2,03	11,68	13,166	2,64	-10,52	-16,11	0,493	12,253
E3	9-10	10,052	4,140	-11,07	-17,024	2,03	11,68	13,166	2,64	-10,52	-16,11	0,493	12,253
	10-11	8,884	9,16	-11,82	18,753	9,39	9,258	17,016	2,76	16,9	-16,07	4,177	12,75
	11-12	8,112	2,95	-20,293	-21,9	1,97	11,7	11,526	4,014	-18,95	-10,1	0,04	13,826
	12-13	1,514	2,53	25,41	28,26	2,14	22,07	21,49	2,123	25,12	-23,15	0,371	22,923
E4	13-14	21,53	4,976	21,93	25,3	2,026	19,35	22,21	2,929	-24,23	-24,33	0,175	19,012
	14-15	13,524	9,061	23,88	22,0	1,74	10,313	13,66	3,061	-22,13	-20,66	4,49	16,205
	15-16	10,25	9,03	-24,22	-26,03	1,892	15,05	16,65	4,09	-21,9	-20,23	4,153	15,096
	16-17	30,247	3,122	34,68	32,15	2,92	30,121	31,37	1,85	-30,5	-31,025	1,113	31,48
E5	17-18	24,52	5,69	-28,75	-60,49	1,104	26,64	60,46	3,85	-23,56	-68,879	-0,74	26,25
	18-19	15,556	7,78	-28,67	-21,65	9,916	16,044	19,68	2,704	-25,72	-22,69	4,04	18,909
	19-20	16,65	9,14	-21,57	-28,81	8,011	16,07	19,485	3,17	-23,92	-26,011	0,17	19,718
	20-21	8,548	3,93	-38,016	-40,406	8,11	31,24	36,629	2,16	-23,14	-31,27	0,34	35,115
E6	21-22	33,03	5,693	-61,66	-37,01	1,11	29,22	38,956	3,84	-31,08	-66,1	-0,73	28,78
	22-23	19,033	9,23	30,84	-29,104	1,02	18,27	20,966	0,23	-27,95	-25,47	4,023	21,168
	23-24	18,906	8,935	-29,8	-31,08	7,987	16,294	21,71	4,002	-27,15	-26,23	0,05	20,916
	24-25	39,34	3,65	42,45	-44,28	2,392	68,66	40,5	1,675	-34,56	-46,15	0,21	39,55
E7	25-26	37,185	5,64	-36,06	-41,02	1,154	35,60	38,26	0,73	-38,51	-40,14	-0,64	34,21
	26-27	14,051	9,16	-23,924	-24,124	6,15	13,156	16,98	2,9	-22,93	-21,94	0,75	16,048
	27-28	52,53	7,178	-28,09	-25,846	9,14	16,594	16,49	2,24	-26,44	-28,06	4,61	19,241
	28-29	33,406	8,191	-34,16	-41,01	1,13	35,38	31,63	2,043	-33,23	-40,18	0,449	36,26
E8	29-30	34,145	6,919	29,70	-38,12	0,11	29,16	35,06	3,04	-24,74	-37,2	1,46	16,114
	30-31	14,051	9,16	-23,924	-24,124	6,15	13,156	16,98	2,9	-22,93	-21,94	0,75	16,048

7.4 - Combinations des Moments dans les poutres

Portique longitudinal D-D

NIV	TRAVEE	G + P + SIN			G + P + SIN			0,8G + SIN			0,8G + SIN		
		Mw	Mx	Mc	Mw	Mx	Mc	Mw	Mx	Mc	Mw	Mx	Mc
	1-2	3,313	1,232	-1,919	1,238	1,32	1,909	8,133	0,791	1,615	4,102	0,848	3,203
(E)	2-3	-1,02	0,992	-2,464	-1,936	0,403	-1,532	-1,505	0,518	-5,129	-5,585	0,296	-1,766
	3-4	1,013	1,52	-5,525	1,295	1,348	1,125	-1,246	0,529	5,177	5,102	0,528	4,27
(F)	4-5	-1,100	0,75	-2,054	-1,255	0,303	-1,125	1,242	0,513	-5,177	-5,177	0,543	4,502
	5-6	1,1	0,41	-5,509	1,255	0,81	1,069	1,362	0,527	-5,208	-5,177	0,527	4,271
	6-7	0,515	1,228	-4,683	1,301	0,605	3,192	4,108	0,932	-5,54	-5,241	0,298	2,838
	7-8	9,451	1,045	-3,572	8,761	1,455	8,06	9,318	0,807	-9,581	-8,453	1,217	8,450
(G)	8-9	10,83	1,04	-11,558	12,72	0,42	10,632	11,161	0,581	-11,58	11,810	0,26	10,87
	9-10	10,016	0,317	-11,493	11,376	1,022	11,185	10,348	0,144	-11,247	-11,112	0,524	10,452
(H)	10-11	10,136	0,38	-11,466	11,466	0,98	10,156	10,413	0,48	-11,19	11,193	0,48	10,423
	11-12	10,136	0,384	-11,463	11,466	0,984	10,153	10,423	0,49	-11,19	11,168	0,48	10,422
(I)	12-13	10,136	1,228	3,701	11,481	0,341	8,869	10,413	1,3	8,505	11,208	-0,2	9,055
	13-14	12,123	1,116	14,562	14,065	1,21	12,469	13,301	0,743	13,30	13,740	0,77	12,860
	14-15	12,326	1,12	1,552	13,570	0,603	16,119	16,816	0,66	17,08	17,548	0,185	16,875
(J)	15-16	12,321	0,38	-19,016	16,627	1,17	13,406	15,60	0,285	16,746	16,363	0,673	15,938
	16-17	15,705	0,98	-19,013	17,012	0,89	15,705	15,912	0,48	16,117	16,747	0,460	15,972
	17-18	15,705	0,984	-19,018	17,012	0,864	15,705	15,912	0,48	16,116	16,747	0,48	15,874
(K)	18-19	15,705	1,98	-19,005	17,545	1,25	17,195	17,942	1,26	18,185	18,747	0,168	17,684
	19-20	15,705	1,98	-19,016	16,627	1,17	13,406	15,60	0,285	16,746	16,363	0,673	15,938
(L)	20-21	15,705	0,98	-19,013	17,012	0,89	15,705	15,912	0,48	16,117	16,747	0,460	15,972
	21-22	15,705	0,984	-19,018	17,012	0,864	15,705	15,912	0,48	16,116	16,747	0,48	15,874
(M)	22-23	15,705	1,98	-19,005	17,545	1,25	17,195	17,942	1,26	18,185	18,747	0,168	17,684
	23-24	15,699	1,98	-18,545	19,005	0,25	17,195	17,942	1,26	18,185	18,747	0,168	17,684
(N)	24-25	18,683	1	-19,278	16,071	1,93	19,361	16,855	0,27	18,886	19,744	1,24	19,758
	25-26	18,683	1,237	-23,594	24,479	0,587	21,569	20,09	0,91	22,114	-23,87	-0,071	22,113
(O)	26-27	20,985	0,905	-22,219	22,219	0,985	20,985	21,252	0,48	22,017	22,017	0,17	21,255
	27-28	20,985	0,905	-22,219	22,219	0,985	20,985	21,252	0,48	22,017	22,017	0,17	21,255
(P)	28-29	20,985	0,985	-22,219	22,219	0,985	20,985	21,252	0,48	22,017	22,017	0,17	21,255
	29-30	20,985	0,981	-22,219	22,219	0,981	20,981	21,252	0,48	22,017	22,017	0,17	21,255
(Q)	30-31	20,985	0,981	-22,219	22,219	0,981	20,981	21,252	0,48	22,017	22,017	0,17	21,255
	31-32	20,967	0,111	18,693	12,316	0,615	18,603	21,242	1,626	-18,728	-22,024	0,41	21,16
(R)	32-33	19,626	0,083	-21,249	18,932	1,93	18,324	18,688	0,26	-20,75	-22,027	0,53	18,23
	33-34	25,928	1,277	25,603	26,653	0,369	24,349	25,598	0,018	-25,86	-18,69	1,255	18,72
(S)	34-35	26,244	0,5	-24,714	24,101	1,17	20,404	20,504	0,367	-24,114	-26,87	-0,0718	24,64
	35-36	23,404	0,087	24,714	24,714	0,085	23,404	23,671	0,48	-24,114	-24,114	0,57	23,67
(T)	36-37	23,404	0,984	-24,714	24,714	0,084	23,404	23,671	0,48	-24,114	-24,114	0,48	23,67
	37-38	23,404	0,984	-24,714	24,714	0,084	23,404	23,671	0,48	-24,114	-24,114	0,48	23,67
(U)	38-39	23,404	2,11	22,389	24,714	0,427	21,545	20,651	1,583	22,210	-24,114	0,49	20,67
	39-40	23,386	2,11	22,389	24,714	0,427	21,545	20,651	1,583	22,210	-24,114	0,49	20,67
(V)	40-41	21,768	1,053	-24,278	23,102	1,038	22,361	22,04	0,316	-24,114	-24,114	-0,40	21,72
	41-42	20,228	1,289	-28,084	20,552	0,475	23,479	20,178	0,93	-24,114	-24,114	1,2	22,758
(W)	42-43	0,125	0,69	28,364	1,812	1,21	24,554	21,38	0,262	-24,114	-20,281	0,016	20,657
	43-44	27,559	0,695	-28,364	1,812	1,21	24,554	21,38	0,262	-24,114	-20,281	0,016	20,657
(X)	44-45	27,559	0,695	-28,364	1,812	1,21	24,554	21,38	0,262	-24,114	-20,281	0,016	20,657
	45-46	27,559	0,695	-28,364	1,812	1,21	24,554	21,38	0,262	-24,114	-20,281	0,016	20,657
(Y)	46-47	27,559	0,695	-28,364	1,812	1,21	24,554	21,38	0,262	-24,114	-20,281	0,016	20,657
	47-48	27,544	2,55	25,653	20,812	0,416	24,194	24,91	2,926	-24,114	-26,601	0,44	24,72
(Z)	48-50	18,548	1,5	-21,368	20,812	1,039	19,453	18,932	0,563	-20,87	-26,611	-0,83	24,99
	50-51	25,498	1,05	-21,363	20,812	1,035	20,601	20,795	0,723	-20,856	-20,601	0,706	24,761
(A)	51-52	2,145	2,345	26,143	1,56	1,56	25,103	25,168	0,393	-25,74	-26,54	0,723	25,317
	52-53	15,085	0,975	26,343	1,612	0,985	25,085	25,252	0,48	-26,12	-26,112	0,48	25,35
(B)	53-54	25,085	0,984	-26,143	26,302	0,484	25,081	25,352	0,48	-26,112	-26,112	0,48	25,35
	54-55	25,085	0,984	-26,143	26,302	0,484	25,081	25,352	0,48	-26,112	-26,112	0,48	25,35
(C)	55-56	1,5164	2,62	-22,912	22,491	0,324	22,442	23,342	2,13	-22,910	-26,103	-1,04	22,559

7.5 - Combinatoires des Effets Géométriques dans les Parties.

Portique Circumval 7-7

N°V.	N°Partie	G + P + Sin		G + P + Sin		0,8G + Sin		0,8G + Sin	
		T(x=0)	T(x=L)	T(x=0)	T(x=L)	T(x=0)	T(x=L)	T(x=0)	T(x=L)
(1)	1-2	6,05	-10,146	9,326	6,944	3,7	-7,552	0,9328	-9,021
	2-3	0,731	-0,77	1,969	-0,249	0,92	-1,329	1,157	-3,791
	3-4	0,593	-0,14	9,50	-0,17	-0,94	-7,222	8,008	1,258
	4-5	1,668	-8,063	3,87	-0,869	0,0504	-8,068	7,263	0,509
(2)	5-6	4,941	11,73	11,161	-5,44	1,183	-7,177	7,1473	-1,187
	6-7	5	-11,52	11,624	-4,9	1,16	-7,73	7,79	-1,11
	7-8	-6,93	-13,858	14,159	4,1	-6,25	-11,63	11,79	6,42
	8-9	-2,55	-12,51	12,95	2,09	-4,94	-10,32	10,56	5,187
(3)	11-12	8,185	-13,4	12,871	-0,739	-0,308	-9,44	9,14	0,211
	12-13	3,249	-13,35	13,464	-0,18	-0,597	-9,557	9,624	0,661
	13-14	-8,142	-13,66	18,996	9,031	-11,07	-10,45	16,63	11,255
	14-15	-6,99	-16,962	18,39	7,122	-9,38	-14,768	14,996	9,616
(4)	16-17	1,738	-14,196	-14,316	-2,23	-1,955	10,92	10,624	1,058
	17-18	1,401	-14,69	14,615	-1,783	-1,945	-10,965	10,969	1,009
	18-19	-12,97	-22,95	26,25	15,29	-15,33	-20,74	20,996	15,51
	19-20	-11,03	-20,996	27,42	11,156	-18,42	-18,73	19,03	13,65
(5)	21-22	0,941	-15,665	15,115	-1,19	-2,75	-11,74	11,21	2,455
	22-23	0,934	-15,66	15,78	-0,816	-2,912	-11,84	11,936	2,976
	23-24	-15,738	-26,159	25,718	15,75	-17,8	-23,17	23,354	17,97
	24-25	-12,99	-22,95	23,079	13,415	-15,38	-20,76	20,989	15,609
(6)	26-27	0,022	-16,58	16,064	-0,572	-6,67	-12,63	12,34	3,374
	27-28	0,194	-16,41	16,532	-0,066	-6,66	-12,64	12,63	3,72
	28-29	-17,74	-27,17	29,028	19,06	-20,912	-28,798	28,664	20,284
	29-30	-15,4	-25,87	25,79	15,95	-17,78	-25,976	23,904	19,024
(7)	31-32	1,54	-15,06	14,576	-2,08	-2,153	-14,94	10,622	1,768
	32-33	1,358	-15,26	15,379	-1,22	-2,5	-11,76	11,53	1,57
	33-34	-16	-25,96	26,24	16,62	-16,37	-23,74	23,92	18,548
	34-35	-12,92	-22,93	23,61	16,85	-15,62	-20,696	20,92	15,544

7.6 - Combinations des Efforts F_x rachetés dans les poutres.

(Portique) Longitudinal D-D

NIV	TABLE	$C + P + S_{in}$		$C + P + S_{in}$		$C + L + S_{in}$		$C + G + S_{in}$	
		T(x=0)	T(x=L)	T(x=0)	T(x=L)	T(x=0)	T(x=L)	T(x=0)	T(x=L)
1-2		-0,03	-3,195	3,195	-0,19	-0,522	-3,192	2,998	1,398
2-3		-1,61	-4,150	4,150	1,148	-1,605	-2,944	3,948	1,259
3-4		-1,048	-4,144	4,144	1,048	-1,519	-3,644	3,644	1,514
4-5		-1,080	-4,148	4,148	1,080	-1,528	-3,705	3,705	1,528
5-6		-1,098	-4,152	4,152	1,098	-1,584	-3,718	3,647	1,521
6-7		-1,098	-4,152	4,152	1,098	-1,584	-3,718	3,647	1,521
7-8		-0,772	-3,036	4,105	1,046	-1,256	-3,442	3,624	1,446
8-9		-2,101	-5,995	5,959	1,161	-2,669	-5,173	5,080	2,786
9-10		-5,018	-8,146	8,182	5,024	-5,564	-9,113	9,135	5,086
10-11		-4,659	-7,618	7,612	4,348	-5,019	-6,945	6,946	5,016
11-12		-4,208	-7,632	7,632	4,068	-5,035	-6,964	6,964	5,035
12-13		-4,308	-7,632	7,632	4,068	-5,036	-6,964	6,964	5,035
13-14		-3,075	-7,142	7,129	4,028	-4,578	-6,595	6,595	4,605
14-15		-4,516	-7,251	7,112	3,209	-5,119	-7,145	7,342	5,034
15-16		-6,248	-11,071	11,411	9,206	-6,295	-10,742	10,764	6,118
16-17		-7,155	-10,619	10,613	7,349	-7,020	-9,950	9,944	7,017
17-18		-7,148	-10,712	10,712	7,449	-7,115	-10,044	10,044	7,115
18-19		-7,148	-10,712	10,712	7,449	-7,116	-10,044	10,044	7,115
19-20		-6,927	-10,25	10,293	7,13	-7,683	-9,618	9,646	7,707
20-21		-6,406	-10,311	10,192	6,269	-7,191	-9,495	9,402	7,094
21-22		-11,739	-14,364	14,401	11,776	-12,285	-14,168	14,254	12,408
22-23		-10,344	-13,805	13,549	10,835	-11,006	-12,436	12,933	11,003
23-24		-10,408	-13,872	13,652	10,868	-11,075	-13,004	12,965	11,086
24-25		-10,409	-13,672	13,632	10,303	-11,076	-13,884	12,964	11,036
25-26		-9,702	-12,87	13,913	9,785	-10,403	-12,608	12,417	10,464
26-27		-7,318	-11,221	11,082	7,173	-8,089	-10,345	10,312	7,015
27-28		-13,719	-16,524	16,361	13,236	-13,945	-15,692	15,715	12,860
28-29		-11,694	-14,453	14,147	11,673	-12,654	-14,284	14,282	12,652
29-30		-11,748	-15,092	14,992	11,802	-12,415	-14,314	14,305	12,346
30-31		-11,749	-15,092	14,992	11,704	-12,416	-14,314	14,305	12,346
31-32		-11,073	-14,34	14,403	11,22	-11,773	-12,403	13,787	11,158
32-33		-8,759	-12,661	12,522	9,619	-8,929	-11,685	11,752	9,445
33-34		-15,503	-18,804	19,691	15,546	-16,155	-18,003	18,102	16,178
34-35		-13,921	-17,185	19,119	13,915	-14,566	-16,516	16,514	14,583
35-36		-14,036	-17,302	19,302	14,081	-14,815	-16,634	16,635	14,706
36-37		-14,035	-17,302	19,302	14,081	-14,816	-16,634	16,634	14,706
37-38		-14,073	-14,34	14,403	11,22	-11,773	-12,403	13,787	11,158
38-39		-8,759	-12,661	12,522	9,619	-8,929	-11,685	11,752	9,445
39-40		-15,503	-18,804	19,691	15,546	-16,155	-18,003	18,102	16,178
40-41		-13,921	-17,185	19,119	13,915	-14,566	-16,516	16,514	14,583
41-42		-14,036	-17,302	19,302	14,081	-14,815	-16,634	16,635	14,706
42-43		-14,035	-17,302	19,302	14,081	-14,816	-16,634	16,634	14,706
43-44		-13,921	-17,185	19,119	13,915	-14,566	-16,516	16,514	14,583
44-45		-14,036	-17,302	19,302	14,081	-14,815	-16,634	16,635	14,706
45-46		-14,035	-17,302	19,302	14,081	-14,816	-16,634	16,634	14,706
46-47		-13,921	-17,185	19,119	13,915	-14,566	-16,516	16,514	14,583
47-48		-14,036	-17,302	19,302	14,081	-14,815	-16,634	16,635	14,706
48-49		-14,035	-17,302	19,302	14,081	-14,816	-16,634	16,634	14,706
49-50		-13,921	-17,185	19,119	13,915	-14,566	-16,516	16,514	14,583
50-51		-13,748	-16,844	16,911	10,786	-14,695	-16,232	16,265	14,418
51-52		-12,621	-15,095	15,679	12,615	-18,286	-18,816	15,214	13,244
52-53		-12,660	-15,432	15,952	12,661	-18,685	-15,864	15,265	13,336
53-54		-12,664	-15,433	15,952	12,661	-18,686	-15,864	15,264	13,336
54-55		-11,749	-14,147	15,113	11,65	-12,403	-14,634	14,414	12,448

7.7 - Combinatoire des moments glissants
dans les plateaux. Postique Géométral 7-7.

NIV	PSC.	G + P + S _M		G + P + S _H		0,7G + S _M		0,8G + S _H		G + P + 1,2S _H		G + P + 2,5S _H	
		M _{mp}	M _{hg}	M _{mp}	M _{hg}	M _{mp}	M _{hg}	M _{mp}	M _{hg}	M _{mp}	M _{hg}	M _{mp}	M _{hg}
V-1	1 - C	-0,519	0,163	1,613	-1,123	-1,616	0,8211	0,516	0,114	-1,828	0,223	0,192	-1,152
	2 - T	-11,97	2,612	11,024	2,452	11,119	2,04	11,1	2,493	12,03	8,11	11,02	2,43
	3 - B	-10,223	0,112	10,7	2,493	12,59	8,397	11,55	3,7	-13,91	9,023	13,40	-3,43
	4 - S	11,65	6,37	13,86	-6,496	14,74	6,109	13,25	6,45	-17,63	9,916	18,36	-3,16
	5 - D	4,906	2,089	2,254	-3,93	4,44	0,425	2,19	1,418	5,855	3,55	4,54	-1,67
V-2	6 - H	1,51	2,315	4,35	-6,951	5,61	8,89	8,25	5,86	5,93	8,24	10,94	1,49
	7 - D	-11,65	4,85	11,123	-8,64	11,58	8,98	11,46	8,68	21,14	10,57	20,94	-10,88
	8 - T	23,95	13,723	20,42	10,15	20,84	12,99	21,24	11,14	16,709	16,415	24,96	-12,84
	9 - H	-21,08	16,64	24,16	16,13	24,4	16,065	24,16	16,13	-26,9	18,306	28,01	-19,85
	10 - T	9,82	9,122	10,08	-9,84	9,11	11,02	1,79	8,06	10,7	9,688	11,87	-8,991
V-3	11 - C	6,57	-1,95	11,2	-9,59	7,63	6,02	10,39	8,52	-6,84	8,4	12,49	11,04
	12 - T	-22,72	14,11	22,53	-13,92	22,67	14,06	22,59	13,16	-27,124	16,9	27,05	-16,92
	13 - B	30,23	29,8	26,43	19,16	26,44	20,14	29,69	18,56	-35,94	21,95	32,65	-17,6
	14 - S	31,26	23,57	31,85	-28,66	31,28	25,53	31,86	25,64	-37,52	20,69	37,61	-20,79
	15 - D	-12,25	10,58	13,46	11,99	12,51	10,23	10,16	11,49	14,79	12,78	18,45	-14,02
V-4	16 - H	8,516	5,945	10,23	11,25	9,64	4,16	11,11	10,16	10,75	6,59	15,68	16,015
	17 - D	2,562	18,551	2,543	19,36	-2,519	14,109	2,548	19,34	-28,73	2,314	20,54	-2,618
	18 - T	60,8	29,04	30,611	24,14	-32,15	29,28	31,36	25,501	-40,86	33,82	39,06	-20,028
	19 - H	58,37	31,39	38,46	31,44	39,35	31,41	33,44	31,48	-46,086	37,67	46,106	-27,46
	20 - T	15,14	13,08	16,36	14,28	15,42	10,25	16,018	14,02	-16,29	16,016	11,51	11,03
V-5	21 - C	9,46	1,962	13,58	-16,59	-10,02	10,02	12,53	12,53	-18,218	11,21	15,65	-15,65
	22 - T	2,549	2,515	2,512	2,569	2,515	2,615	2,514	-2,51	-29,6	20,62	25,505	21,031
	23 - B	35,05	35,04	31,74	31,94	31,24	31,24	32,13	32,13	-41,71	41,71	38,42	-38,42
	24 - S	39,71	39,71	39,71	69,7	38,10	68,93	68,97	68,98	-47,66	47,66	47,66	47,66
	25 - D	10,72	10,142	16,996	17,56	16,42	16,42	17,02	17,02	77,08	29,08	19,48	16,77
V-6	26 - H	9,54	9,434	14,51	-11,21	-10,21	10,44	12,44	12,44	-12,31	12,31	16,44	-16,44
	27 - D	24,06	31,29	23,59	31,44	24,02	31,43	10,91	31,33	28,55	27,56	16,66	23,75
	28 - T	-31,15	11,39	20,65	-32,01	30,39	10,61	31,62	30,93	-30,65	40,81	37,55	32,07
	29 - H	40,18	45,73	40,23	45,82	40,16	45,75	40,21	-45,606	46,73	46,73	46,73	51,98
	30 - T	17,5	17,502	19,122	-16,72	19,48	11,19	11,14	12,44	12,44	21,92	22,31	22,31
V-7	31 - C	4,54	17,421	1,612	-17,024	6,04	11,12	6,544	17,024	6,16	2,014	11,095	20,12
	32 - B	11,538	30,58	7,744	10,58	-7,13	10,58	7,78	10,58	-1,5	64,7	64,7	64,7
	33 - S	-20,44	0,148	19,94	-64,498	22,73	61,498	20,59	61,496	-27,493	77,38	24,11	11,38
	34 - D	-21,62	24,556	23,71	-21,71	21,64	61,566	21,69	61,566	-33,15	77,76	33,24	77,76
	35 - H	12,37	18,52	11,6	-11,6	-12,16	11,92	11,32	-12,16	-12,16	23,78	13,79	23,78

7.8 Combinations des moments dans les Poteaux.

Poteau longitudinal D-D.

N°Y	Poteau	G + P + S		G + P + S' M		G, G + S M		G, G + S' M		G + P + A, 2 S M		G + P + A, S M		
		M _{xx}	M _{yy}	M _{xx}	M _{yy}	M _{xx}	M _{yy}							
1- 3		3,102	1,726	1,236	2,301	3,424	1,95	4,108	2,46	-4,056	2,13	4,992	-1,718	
2- 4		4,192	1,964	3,649	4,402	4,199	4,003	8,740	4,744	-11,024	5,93	10,442	5,65	
3- 11	(1)	9,528	5,406	1,593	5,144	9,516	5,144	9,509	5,16	-11,589	6,16	11,511	-6,20	
4- 12	(2)	9,988	5,073	1,622	5,07	9,562	5,07	9,512	5,07	-11,606	6,08	11,506	-6,08	
7- 15	(3)	4,132	5,068	4,024	5,06	4,519	5,07	4,194	5,07	-11,204	6,06	11,106	-6,09	
8- 16	(4)	3,807	2,26	1,064	2,64	3,879	2,64	9,369	2,66	-1,621	2,75	5,116	-3,13	
9- 17	(5)	5,926	4,665	8,418	5,0	5,804	4,79	6,116	5,16	6,1410	5,62	9,632	-8,29	
10- 18	(6)	12,9	10,645	12,549	14,05	13,826	10,51	13,656	10,41	19,048	12,74	18,413	12,45	
11- 19	(7)	16,193	11,119	16,189	11,13	16,304	11,1	15,249	11,22	20,158	12,12	20,202	12,12	
12- 20	(8)	16,55	11,083	16,55	11,083	16,55	11,083	16,55	11,053	19,186	16,24	19,106	15,24	
13- 23	(9)	16,512	11,026	16,518	11,04	16,515	11,08	16,554	11,087	18,85	16,23	19,169	15,24	
14- 24	(10)	6,621	5,39	4,059	5,1	6,714	5,495	6,169	5,32	-8,19	6,51	6,1425	6,92	
17- 25	(11)	7,153	6,61	6,810	7,12	8,263	8,14	8,682	5,14	9,650	9,98	10,516	-8,66	
18- 26	(12)	29,29	16,61	19,491	16,52	29,241	16,58	29,056	18,39	24,31	18,02	24,02	18,63	
19- 27	(13)	21,481	17,57	21,524	17,61	21,445	17,58	21,519	17,6	-25,79	21,10	25,84	-21,12	
20- 28	(14)	21,169	17,52	21,164	17,52	21,129	17,52	21,169	17,52	-25,10	20,78	21,140	16,78	
23- 31	(15)	21,761	17,51	21,196	17,61	21,264	17,61	21,193	17,61	-26,39	20,74	25,114	20,79	
14- 32	(16)	9,125	4,1823	9,125	4,123	9,243	4,19	9,154	5,15	10,29	9,43	11,405	9,84	
25- 33	(17)	10,474	6,18	10,743	7,65	10,412	8,21	10,607	8,21	-12,15	9,81	12,825	10,55	
26- 34	(18)	25,452	10,675	25,198	10,58	25,422	10,61	25,248	10,640	-30,51	25,102	30,35	24,12	
21- 36	(19)	26,362	21,545	26,402	21,592	26,37	21,57	26,394	21,59	21,63	21,588	31,64	-25,12	
29- 38	(20)	25,186	21,24	25,186	21,24	25,146	21,24	25,196	21,24	-31,15	25,44	31,15	25,48	
31- 39	(21)	26,401	21,23	25,518	21,24	26,416	21,23	25,514	21,24	-31,54	25,74	30,744	25,19	
32- 40	(22)	11,241	9,64	11,655	10,05	11,326	9,72	11,511	9,94	10,53	11,61	18,944	-12,02	
33- 41	(23)	10,443	10,44	11,109	11,11	10,519	10,518	10,516	10,47	-12,59	12,59	18,264	-10,26	
34- 42	(24)	25,639	25,71	25,10	25,42	26,63	25,65	25,418	25,416	30,621	30,62	30,61	-30,53	
35- 43	(25)	24,229	24,129	24,55	24,23	24,3	24,13	24,132	24,132	24,78	24,75	24,78	-32,79	
36- 44	(26)	26,878	26,879	26,873	26,870	26,798	26,878	26,878	26,878	26,246	26,246	26,245	32,25	
38- 47	(27)	26,171	26,971	26,995	26,925	26,913	26,879	26,879	26,879	26,121	26,121	26,121	32,26	
40- 48	(28)	11,191	11,191	11,33	11,32	12,00	11,1	11,111	12,41	-41,84	14,84	14,85	14,75	
41- 49	(29)	11,32	11,22	11,19	11,19	11,16	11,16	M,185	11,15	16,65	13,65	14,39	-14,31	
42- 50	(30)	2,8,19	2,9,01	2,9,19	2,9,51	2,9,41	2,9,45	2,9,54	-2,9,54	23,33	23,33	33,34	33,05	
43- 51	(31)	20,53	20,51	20,51	20,51	20,53	20,53	20,53	20,53	20,148	20,148	31,88	-35,48	
44- 52	(32)	20,55	20,55	20,55	20,51	20,53	20,53	20,54	20,54	20,146	20,148	20,146	-65,48	
45- 53	(33)	20,54	20,54	20,55	20,55	20,54	20,54	20,54	20,55	20,145	20,146	20,146	-65,46	
46- 55	(34)	12,913	12,913	13,24	-16,31	12,418	12,419	13,28	16,24	-15,58	12,61	13,94	-16,32	
48- 57	(35)	6,22	15,9	6,99	15,89	6,35	15,89	6,34	15,89	6,33	16,99	16,80	16,96	16,96
50- 58	(36)	14,02	14,119	14,77	14,109	18,412	14,119	14,112	14,114	22,84	15,016	22,54	53,018	
51- 59	(37)	22,774	42,276	32,773	-42,173	22,75	42,174	22,77	42,174	-22,249	50,473	47,38	50,473	
52- 60	(38)	21,193	42,57	21,193	-42,57	21,193	42,57	21,192	42,57	-26,180	51,07	26,30	51,07	
53- 68	(39)	21,192	42,57	21,193	-42,57	21,191	42,57	21,193	-42,57	25,161	51,06	26,62	51,09	
56- 64	(40)	9,123	16,59	9,164	16,59	9,14	16,59	9,16	16,59	-9,111	19,19	19,19	16,53	

7.9 - Continuation des Effets Premiers dans les Poteaux
dans / SP₂. Puissance Conservée : 7-7

NIV	Put	G + P + S _{in}		G + P + S _{in}		0,8G + S _{in}		0,8G + S _{in}		G + P + 1,2S _{in}		G + P + 1,2S _{in}	
		N	Nc	N	Nc	N	Nc	N	Nc	N	Nc	N	Nc
(2)	1-6	7,33	7,33	10,56	10,56	4,72	4,72	7,95	7,95	7,006	7,006	10,56	10,56
	2-7	13	13	17,51	17,51	13,59	13,59	13,61	13,61	13,69	13,69	18,47	18,47
	3-8	12,71	12,71	18,211	18,211	8,21	8,21	13,71	13,71	12,22	12,22	18,75	18,75
	4-9	18,21	18,21	11,418	11,418	9,69	9,69	7,125	7,125	13,745	13,745	11,211	11,211
	5-10	2,103	2,103	9,519	9,519	6,512	6,512	7,725	7,725	1,118	1,118	10,01	10,01
(3)	6-11	6,15	13,48	12,04	23	2,203	0,927	6,41	18,147	5,522	12,52	18,04	13,15
	7-12	18,43	18,43	19,40	53,745	10,61	21,265	11,202	24,85	19,69	26,06	19,69	28,639
	8-13	16,02	22,19	21,43	3,9,66	0,59	11,66	14,824	28,54	8,88	21,1	22,59	41,84
	9-14	13,7	26,91	11,15	22,548	8,609	18,5	6,68	18,985	18,95	27,345	10,9	22,14
	10-15	17,17	0,422	13,93	13,13	6,26	2,915	12,24	19,16	-3,26	-1,64	15,04	25,44
(4)	11-16	4,462	17,44	11,15	5,115	0,315	7,142	10,1	26,64	8,48	16,04	15,11	59,06
	12-11	13,47	27,32	19,603	58,51	10,718	25,01	11,53	28,22	14,014	57,04	19,65	51,494
	13-18	7,031	28,82	24,32	24,18	0,4	12,06	17,61	16,42	5,28	46,38	26,27	49,61
	14-19	14,07	10,98	10,75	63,048	2,49	2,918	0,624	11,64	14,8	14,74	10,42	58,59
	15-20	5,44	8,718	18,24	11,3	4,59	11,73	15,19	6,55	6,58	-10,42	20,68	46,09
(5)	16-21	2,02	20,96	11,59	12,74	0,43	6,512	11,64	20,23	17,6	14,47	16,85	53,99
	17-22	18,47	16,87	19,504	77,64	10,89	15,94	11,23	14,45	14,76	36,12	14,53	13,02
	18-23	11,13	66,95	29,43	41,61	2,51	1,55	20,49	27,21	1,73	28,17	29,76	97,37
	19-24	11,23	56,23	10,552	40,9	9,208	36,47	5,14	25,02	17,67	36,44	10,15	42,94
	20-25	10,416	15,85	22,24	28,69	12,63	20,45	19,92	11,59	-12,42	-23,64	25,52	73,61
(6)	21-26	2,121	32,18	16,391	69,13	1,726	1,726	12,44	50,72	0,603	15,57	17,81	40,12
	22-27	1,03	15,37	19,67	37,14	10,92	58,86	11,404	59,85	11,43	65,15	11,74	53,76
	23-28	2,626	56,87	29,93	12,0,54	-1,04	5,64	22,29	88,5	-0,004	2,9,16	01,56	126,95
	24-23	14,266	70,09	10,02	18,92	1,117	46,141	1,961	35,01	15,26	41,69	1,54	52,73
	25-30	12,13	28,02	24,265	87,005	14,48	38,53	21,78	39,35	-18,87	34,61	17,87	99,46
(7)	26-31	1,302	24,48	14,314	32,44	-2,04	2,14	13,38	84,06	-0,83	19,26	16,916	42,63
	27-32	18,169	14,54	19,505	11,04	10,296	6,9,55	11,23	10,08	14,168	111,26	14,53	111,24
	28-33	1,068	67,630	30,44	15,05	3,17	6,03	23,85	113,35	-1,626	46,24	33,43	161,36
	29-34	14,54	68,76	10,113	64,063	9,604	55,96	5,0,4	35,05	15,11	6,43	9,677	61,93
	30-35	14,35	42,47	28,65	111,115	-17	55,53	24,2	16,55	-19,67	-58,26	30,77	130,26
(8)	31-36	2,182	27,13	15,74	102,23	1,13	1,01	11,81	75,92	1,82	19,70	14,03	108,72
	32-01	12,965	133,34	19,164	138,91	10,53	18,03	11,59	11,67	18,68	132,85	16,87	137,26
	33-06	1,05	59,13	29,91	45,03	-1,97	5,01	23,27	166,62	-1,07	26,41	32,73	195,09
	34-09	12,44	106,2	9,336	54,618	19,25	66,75	4,247	59,83	16,04	142,97	61,73	70,73
	35-40	12,07	54,64	24,17	103,61	-14,52	79,05	27,77	123,26	15,69	-73,97	27,73	158,01

7. 10. Évaluations des Effets Normaux dans les Poteaux
Sous / S_{P2}. Portique longitudinal : D-D.

NIV.	Poteau	G+P+S _N		G+P+S _{NC}		0,8G+S _N		0,8G+S _{NC}		G+P+1,25 _N		G+P+1,25 _{NC}	
		N	NC	N	NC	N	NC	N	NC	N	NC	N	NC
I	1-9	1,10	1,10	4,47	4,47	0,942	0,924	4,022	4,022	0,93	0,93	5,123	5,123
	2-10	4,77	4,77	8,95	8,95	3,26	3,26	8,47	8,47	4,86	4,86	9,14	9,14
	3-11	5,63	5,63	5,09	5,09	4,29	4,29	8,95	8,95	5,69	5,69	5,036	5,036
	4-12	5,458	5,458	5,478	5,478	4,05	4,05	4,11	4,11	5,45	5,45	5,48	5,48
	5-13	5,46	5,46	5,48	5,48	4,09	4,09	4,09	4,09	5,46	5,46	5,46	5,46
	7-15	5,42	5,42	5,43	5,43	4,07	4,07	4,023	4,023	5,82	5,82	5,29	5,29
	9-16	0,236	0,236	5,116	5,116	-4,24	-4,24	4,456	4,456	0,252	0,252	5,60	5,60
II	9-17	0,921	0,921	7,11	7,11	1,20	0,959	6,649	10,67	1,617	0,987	7,033	13,058
	10-19	3,02	3,02	8,76	8,76	1,57	1,429	4,715	6,666	12,13	2,85	7,14	8,14
	11-18	6,19	6,19	11,92	4,95	10,04	4,71	7,70	8,190	6,93	6,61	11,99	11,03
	12-20	5,84	5,84	5,664	5,664	3,92	3,92	6,060	7,199	5,64	11,096	5,69	11,16
	13-21	5,66	5,66	5,66	5,66	6,95	7,14	6,150	7,14	5,66	11,12	5,66	11,12
	15-23	6,15	6,15	5,62	5,62	4,80	4,64	2,410	7,140	6,13	12,05	6,24	10,63
	16-24	2,74	2,74	9,42	10,53	-8,15	-7,07	2,015	12,19	-6,86	-4,112	8,539	15,14
III	17-25	0,06	2,66	9,09	21,30	-4,00	-4,14	9,568	14,026	-7,31	5,084	10,63	23,68
	19-26	2,4	10,58	5,60	8,18	0,469	5,166	7,647	19,74	1,63	9,09	10,02	26,85
	19-26	6,42	16,24	4,72	19,77	4,164	10,24	2,950	9,08	6,59	18,67	4,65	14,41
	20-28	6,54	16,66	5,72	16,12	3,755	11,64	6,440	11,41	5,65	16,64	5,73	16,94
	21-29	5,664	16,78	5,86	16,78	3,765	11,75	6,250	11,78	5,66	16,78	5,664	16,78
	23-31	6,12	19,05	5,84	16,05	5,126	12,02	4,440	11,96	6,20	16,26	5,266	15,89
	24-32	-5,185	-8,65	11,58	11,58	-6,74	-10,21	10,63	23,1	-7,59	-11,70	13,26	26,40
IV	25-33	-5,129	-7,77	11,45	11,45	-5,62	-14,56	10,96	23,89	-6,13	-11,77	13,11	30,79
	26-34	0,97	11,53	11,03	28,20	0,97	4,186	9,079	23,74	0,036	9,034	12,036	38,66
	27-35	6,92	28,16	4,22	19,99	5,145	9,79	2,440	12,32	7,19	23,76	6,95	19,36
	28-36	5,619	22,29	5,71	21,65	0,301	15,171	0,40	1,5,91	5,604	26,21	5,723	22,66
	29-37	5,684	23,14	5,66	22,14	0,250	15,61	0,430	1,5,164	5,664	22,44	5,664	22,44
	31-39	6,305	24,13	5,125	21,215	0,28	19,20	0,500	16,46	6,163	24,74	5,00	20,39
	32-40	-7,54	-16,17	11,24	10,29	1,16	18,77	18,35	36,75	-10,93	-22,53	16,53	44,93

remarque: du tableau de synthèses des effets normaux
dans les poteaux S/S_{P2}. (Portique longitudinal)
etant trop long ne peut être entièrement contenue
dans ce cadre, il a donc été partagé en deux:
depuis : NIVEAUX: III à IV. (ci-dessus)
et : NIVEAUX: II à I. (à la suite).

7.11 - Calculations des Efforts Normaux dans les plateaux
 sous l'EP₂ (suite) (suite)
 (NIVEAUX III et I -)

NIV	Pot.	G + P + S _{IN}		G + P + S _{IN}		0,8G + S _{IN}		0,8G + S _{IN}		G + P + 1,2S _{IN}		G + P + 1,2S _{IN}	
		N	Nc	N	Nc	N	Nc	N	Nc	N	Nc	N	Nc
(I)	33-41	-6,05	-16,818	12,32	45,11	-9,06	-19,62	11,33	44,32	-16,2	-40,44	14,20	50,83
	34-42	0,42	13,95	11,58	-47,79	-1,23	2,65	9,62	36,96	-0,646	4,356	12,69	51,35
	35-43	1,05	32,19	-1,150	23,09	5,225	23,44	2,305	14,65	-1,325	38,09	3,321	12,181
	36-44	5,625	24,101	5,710	23,341	8,60	18,29	6,69	14,70	5,640	24,185	5,717	23,364
	37-45	5,664	28,101	5,664	28,109	8,85	18,49	6,95	18,49	5,664	28,108	5,664	18,706
	38-47	4,010	30,705	5,150	28,356	4,47	21,69	8,81	18,74	6,43	31,443	5,1033	15,929
	40-48	9,34	-26,76	15,61	52,40	9,84	-29,71	15,61	52,06	-12,49	-24,99	16,17	63,10
	41-49	-7,47	-21,28	13,80	58,41	-8,50	-26,12	12,49	54,096	-0,600	-29,34	15,93	46,92
(II)	42-50	-0,45	11,50	12,45	60,13	-2,40	0,256	10,48	48,458	-1,74	8,619	16,74	65,096
	43-57	7,113	10,06	4,033	14,123	5,35	29,09	2,25	16,905	-1,12	40,595	3,720	16,901
	44-58	2,154	61,73	5,73	9,124	3,46	26,09	8,44	23,40	5,82	38,34	5,610	34,194
	45-53	5,664	30,705	5,664	35,732	3,95	23,34	8,75	23,34	5,684	35,734	5,664	33,732
	47-55	6,565	27,127	4,90	31,265	4,92	26,69	8,06	22,63	6,43	37,64	4,74	30,668
	48-56	12,00	-36,86	19,67	32,57	-12,169	-42,60	16,78	68,84	-14,92	-46,96	20,64	13,740
	49-57	6,1240	-24,55	12,60	41,51	-4,304	-33,45	11,54	65,66	-5,16	-67,707	14,49	31,410
	50-59	0,110	11,61	11,63	42,12	-1,64	-1,604	8,83	58,168	-1,661	5,550	12,08	33,164
(III)	51-59	6,1650	25,71	4,49	31,613	-1,77	36,94	2,71	10,635	8,64	-47,34	4,240	30,171
	52-60	5,614	48,34	5,714	68,844	0,60	26,101	8,90	24,57	5,604	36,96	5,727	33,921
	53-61	5,664	60,45	5,664	68,486	3,15	24,19	8,65	24,18	5,664	38,43	5,664	68,486
	55-63	6,1620	48,39	4,94	36,102	-1,76	31,14	3,009	15,663	6,602	34,64	4,666	35,684
	56-64	-10,57	-49,43	16,24	69,93	11,16	54,06	15,63	94,18	-18,25	-63,219	16,53	102,67

712. Continuation des Efforts Normaux dans les Poteaux S/SP
Tout'que Lassaccah 77

NIV	POTEAUX	N°
E	1 - C	38,62
	2 - F	19,6
	3 - G	15,83
	4 - H	12,59
	5 - I	5,86
H	6 - J	18,96
	7 - K	39,99
	8 - L	32,44
	9 - M	25,67
	10 - N	12,10
I	11 - O	28,79
	12 - P	60,42
	13 - Q	48,09
	14 - R	38,73
	15 - S	18,56
J	16 - T	38,62
	17 - U	60,85
	18 - V	65,74
	19 - W	51,73
	20 - X	24,92
K	21 - Y	48,43
	22 - Z	101,19
	23 - AA	82,39
	24 - BB	64,76
	25 - CC	31,28
L	26 - DD	58,28
	27 - EE	121,71
	28 - FF	94,04
	29 - GG	74,91
	30 - HH	39,64
M	31 - II	64,11
	32 - JJ	142,14
	33 - KK	115,69
	34 - LL	90,99
	35 - MM	43,97

NIV	tot.	n _o	N _p	N _{pp}	N _{surp}	N°
E	1 - C	6,646	4,02	1,28	9,15	38,62
	2 - F	14,53	2,25	2,4	14,6	19,6
	3 - G	11,818	1,743	2,4	15,63	15,83
	4 - H	8,018	1,32	2,4	12,54	12,59
	5 - I	3,94	0,594	1,28	5,96	5,86
H	6 - J	2,41	1,606	1,28	4,817	18,96
	7 - K	11,294	1,504	2,4	20,34	39,99
	8 - L	6,943	1,348	2,4	12,61	32,44
	9 - M	0,77	3,20	2,4	13,08	25,67
	10 - N	3,21	1,548	1,28	6,34	12,10
I	11 - O	3,418	2,64	1,28	4,83	28,79
	12 - P	11,43	1,587	2,4	20,48	60,42
	13 - Q	9,03	1,35	2,4	18,65	48,09
	14 - R	6,758	1,258	2,4	18,06	38,73
	15 - S	3,22	1,55	1,28	6,08	18,56

1) dégradiation des fibres:

N_o: effort normal induit par la charge permanente.

N_p: effort normal induit par la surcharge d'exploitation.

N_{pp}: facteur propre du pôleau.
Poteau de reine: 40x40

$$N_{pp} = 0,4 \times 0,4 \times 3,2 \times 2,5 = 1,28 \text{ k}$$

Poteau intermédiaire: 60x50:

$$N_{pp} = 0,6 \times 0,5 \times 3,2 \times 2,5 = 2,4 \text{ k}$$

F. 13 - Combinatoires des Efforts Normaux dans les Poteaux
Sur / EP₃ - Profil longitudinal D-D -

NIV	POTEAUX	N°
	1- 9	3, 018
	2- 10	2, 944
	3- 11	5, 432
1	4- 12	5, 536
	5- 13, 6- 14	5, 53
	7- 15	5, 678
	8- 16	3, 707
	9- 17	6, 87
	10- 18	12, 13
	11- 19	11, 16
2	12- 20	16, 37
	13- 21, 14- 22	11, 36
	15- 23	11, 59
	16- 24	5, 625
	17- 25	9, 53
	18- 26	18, 32
3	19- 27	16, 89
	20- 28	17, 2
	21- 29, 22- 30	17, 19
	23- 31	17, 49
	24- 32	8, 543
	25- 33	12, 79
	26- 34	24, 5
4	27- 35	28, 62
	28- 36	23, 037
	29- 37, 30- 38	23, 026
	31- 39	23, 4
	32- 40	11, 458

NIV	POTEAUX	N°
	33- 41	16, 05
	34- 42	30, 688
	35- 43	28, 35
5	36- 44	23, 87
	37- 45, 38- 46	28, 86
	39- 47	29, 31
	40- 48	14, 37
	41- 49	19, 31
	42- 50	36, 87
6	43- 51	34, 08
	44- 52	34, 707
	45- 53, 46- 54	34, 69
	47- 55	35, 28
	48- 56	17, 238
7	49- 57	22, 57
	50- 58	43, 058
	51- 59	39, 81
	52- 60	40, 84
	53- 61, 54- 62	40, 82
8	55- 63	41, 13
	56- 64	20, 2

C H A P I T R E : VIII

- FERRAILLAGE DES POUTRES -

FERRAILLAGE DES POUTRES

8.1. Introduction :

Conformément à l'article A.15 CCPA-B7, il ne sera pas fait état, dans les calculs, des efforts mécaniques dans les poutres.

Les poutres sont donc soumises à flexion simple.

Les tableaux suivants regroupent les valeurs des moments fléchissants et des efforts tranchants nécessaires pour le calcul.

Ces efforts ont été déterminés d'après les combinaisons suivantes :

- Sollicitation du 1^{er} étage : $6 + 1,2P$, avec $\bar{\sigma}_a = 2300 \text{ kg/cm}^2$
et $\bar{\sigma}'_b = 137 \text{ kg/cm}^2$.

- Sollicitation du 2^e étage : $\begin{cases} 6 + P + \frac{S}{I}H \\ 0,86 + \frac{S}{I}H \end{cases}$, avec $\bar{\sigma}_a = 4200 \text{ kg/cm}^2$
et $\bar{\sigma}'_b = 205 \text{ kg/cm}^2$.

Des sections d'aciers sont déterminées sous la sollicitation du 1^{er} étage (SP_1) et sous la plus défavorable des combinaisons due aux sollicitations du 2^e étage (SP_2).

La méthode de détermination des armatures est celle de P. CHAZON ; si le moment S/SP_1 multiplié par 1,5 est inférieur au moment S/SP_2 , on travailera avec le moment S/SP_2 . Dans le cas contraire on retiendra le moment S/SP_1 .

8.2. Méthode de calcul :

on calculera la valeur de $\mu = \frac{n.M}{T.d. \text{charon}}$ $\xrightarrow{\text{T.d. charon}}$ $\left\{ \begin{array}{l} E \\ K \end{array} \right\}$

si $\bar{\sigma}'_b = \frac{\bar{\sigma}_a}{K} < \bar{\sigma}'_b$, les armures supérieures ne sont pas nécessaires

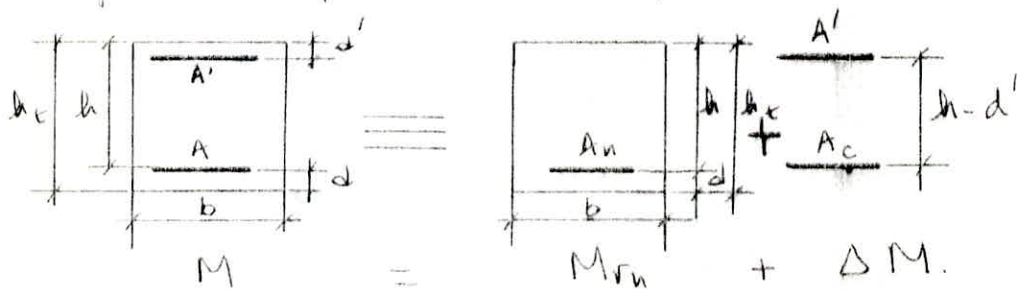
$$\text{et alors } A = \frac{M}{E_a \cdot z \cdot h}$$

si $\bar{\sigma}_b' = \frac{\bar{\sigma}_a}{k} > \bar{\sigma}_b'$, les armatures longitudinales sont nécessaires.

Dans ces conditions, on calcule le moment résistant du béton :

$$M_{dn} \leq \frac{1}{2} \bar{\sigma}_b' \cdot d \cdot \bar{\gamma} \cdot b h^2 \text{ avec } d = \frac{n \bar{\sigma}_b'}{n \bar{\sigma}_b + \bar{\sigma}_a}, \bar{\gamma} = 1 - \frac{d}{\frac{3}{2}}$$

La section étudiée peut être considérée comme étant obtenue par la superposition de 2 sections fictives représentées ci-dessous :



- La 1^{re} section équilibre le moment M_{dn}

la 2^{me} section équilibre le moment ΔM , après avoir ajouté A_c .

$$A' = \frac{\Delta M}{\bar{\sigma}_a'(h-d')} \text{ avec } \bar{\sigma}_a' = n \bar{\sigma}_b' \left(\frac{\bar{\gamma}}{\bar{\gamma}} - \frac{\bar{\delta}}{\bar{\gamma}} \right), \bar{\gamma} = \frac{y}{d}, \bar{\delta} = \frac{d'}{h}$$

$$A_n = \frac{M_{dn}}{\bar{\gamma} \cdot h \cdot \bar{\sigma}_a} \quad \text{et} \quad A_c = \frac{\Delta M}{(h-d') \cdot \bar{\sigma}_a}$$

La section d'armatures tendues sera donc : $A = A_n + A_c$

Nota :

- Des poutres supportant des charges verticales de planchers doivent porter des armatures plantées (supérieures et inférieures avec une section minimale indiquée par la fig. 8, PPA 71).

- Des poutres supportant des faibles charges verticales et sollicitées principalement par des forces latérales sismiques doivent avoir des armatures symétriques avec une section latérale au moins égale à la moitié de la section sur appuis.

8.3. Répartition des moments sur appuis et en fente

1 - Portique transversal

Niveau I:

	7,67	11,76	11,24	5,7	6,454
(1)	$\Delta_{1,616}$ 4,23 / SP ₁ 6,66 / SP ₂	$\Delta_{1,54}$	7,23 7,629	$\Delta_{0,67}$ 2,936 4,70	$\Delta_{0,26}$ 0,12 3,33 4,93 $\Delta_{(5)}$

Niveau II:

	13,45	16,22	10,4	11,4	14,07
(1)	$\Delta_{4,606} / SP_1$	$\Delta_{(7)}$	9,29 / SP ₁ 6,54 / SP ₂	3,32 / SP ₁ 15,68	3,70 / SP ₁ 4,19 / SP ₂ 13,265 $\Delta_{(10)}$

Niveau III:

	-16,15	21,3	26,26	25,94	21,78
(1)	$\Delta_{9,59 / SP_1}$	$\Delta_{(2)}$	9,29 9,95	3,314 3,9 22,98	3,695 4,795 $\Delta_{(16)}$ 16,0

Niveau IV:

	22,9	26,03	35,16	34,98	29,13
(1)	$\Delta_{9,58 / SP_1}$	$\Delta_{(1)}$	9,29	3,314 3,122 21,79	3,695 5,69 $\Delta_{(20)}$ 26,26

Niveau V:

	21,93	26,9	40,4	29,01	21,66
(1)	$\Delta_{9,58 / SP_1}$	$\Delta_{(2)}$	9,29 6,011	3,314 3,122 21,79	3,695 5,69 $\Delta_{(20)}$ 29,78

Niveau VI:

	29,1	31,09	44,28	42,45	28,98
(1)	$\Delta_{9,58 / SP_1}$	$\Delta_{(2)}$	9,29 6,935	3,314 3,62 29,55	3,695 5,694 $\Delta_{(20)}$ 24,12

Niveau VII:

	24,126	21,8	41,31	40,55	29,76
(1)	$\Delta_{9,58 / SP_1}$	$\Delta_{(32)}$	9,29 9,94	3,314 3,61 34,53	3,695 3,61 36,25 $\Delta_{(25)}$ 28,44

répartition des moments sur appuis et enfoncés

Niveau terrasse :

2 - Portique longitudinal -

-4,236	-5,788	-5,464	-5,526	-5,585	-5,525	-5,501	-4,687
△ 1,351/SP ₁	△ 0,123	△ 0,67	△ 0,824	△ 0,684	△ 0,745	△ 0,547	△ 0,687
2,437 1,36/SP ₂ 4,588	0,172	1,398	0,29	0,662	1,302	0,81	1,228 0,686
(8) (2) (5) (4) (6) (6) (7) (8)							

Niveau (I) :

-9,164	-9,22	-11,378	-11,445	-11,466	-11,466	-11,464	1,301
△ 7,112	△ 11,6	△ 10,808	△ 10,452	△ 10,423	△ 10,423	△ 10,422	△ 0,666
(9) 1,610/SP ₁ (10) 0,145 (11) 1,65 (12) 1,028 (13) 0,48 (14) 1,062 (15) 0,484 (16) 1,144 1,920							

Niveau (II) :

-14,063	-13,710	-10,229	-13,016	-14,015	-13,015	-13,003	-15,345
△ △ △ △ △ △ △ △							
(13) 1,606/SP ₁ 14,916 0,931 12,600 1,065 15,972 1,022 15,972 1,022 15,972 1,061 15,972 1,024 14,684							

Niveau (III) :

-14,097	-24,142	-23,893	-22,295	-22,295	-22,295	-22,295	-19,933
△ 1,605/SP ₁ △ 23,089 0,931 24,132 1,065 24,252 1,022 24,252 1,062 24,252 1,061 24,252 1,024 14,684							
(23) 1,605/SP ₂ (24) 1,219 (25) 1,068 (26) 0,985 (27) 0,965 (28) 0,965 (29) 0,985 (30) 0,985 (31) 1,144 (32) 1,144 (33) 1,144 (34) 1,144							

Niveau (IV) :

-19,960	26,602	-26,602	-26,714	-26,714	-26,714	-26,714	-26,889
△ 1,605/SP ₁ △ 26,602 0,931 26,602 1,064 23,671 1,062 23,671 1,062 23,671 1,061 23,671 1,044 24,729							
(35) 1,605/SP ₂ (36) 1,219 1,068 1,069 (37) 1,069 (38) 1,069 (39) 1,069 (40) 1,069 (41) 1,069 (42) 1,069 (43) 1,069 (44) 1,069							

Niveau (V) :

-23,102	-40,662	-20,685	-20,669	26,602	-21,169	-28,889	-26,602
△ 1,606/SP ₁ △ 0,951 26,602 1,065 26,602 1,062 26,602 1,061							
(41) 1,606/SP ₂ 24,492 1,269 24,492 1,064 24,492 0,965 24,492 0,965 24,492 0,964 24,492 0,964 24,492							

Niveau (VI) :

-20,062	-28,614	-27,706	-26,393	26,295	26,295	26,410	22,972
△ 1,606/SP ₁ △ 0,951 26,295 1,065 26,295 1,062 26,295 1,061 26,295 1,061							
(48) 1,606/SP ₂ 26,295 1,065 26,295 1,064 26,295 0,965 26,295 0,965 26,295 0,964 26,295 0,964 26,295							

8.4. Tableau récapitulatif : Série des Armatures sans longitudinal
1. Portique D-D.

sect.	\bar{G}_a	$M(\text{t-m})$	μ	E	K	G'_{bifurc}	$A \text{ cm}^2$	$\rho \text{ chini}$ (mm)	$A \text{ chini}$ (mm)	
1 arb	+200	-4,684	0,0275	0,9281	54,5	77,06	2,69	4T12	4,52	
2 arb	+200	-5,738	0,0357	0,9211	46,4	86,97	3,296	4T12	4,52	
tronc	1-2	2000	1,351	0,0119	0,9512	87,5	32	1,127	4T12	4,52
tronc	3-7b	+200	-9,701	0,057	0,9004	35,2	119,318	5,703	4T14	8,15
tronc	10-15	+200	-12,22	0,0718	0,8982	30,6	159,125	7,262	4T16	8,04
tronc	9-10	2000	1,6	0,014	0,9474	80	35	1,34	4T12	4,52
tronc	17-24	+200	-15,345	0,0902	0,8712	26,4	159,08	8,234	2T20 2T16	10,03
tronc	18-23	+200	-19,87	0,105	0,8718	24	175	10,945	4T20	12,56
tronc	17-18	2000	1,605	0,014	0,9474	80	35	1,34	4T12	4,52
tronc	25-32	+200	-19,893	0,1169	0,8663	22,4	177,15	12,149	4T20	12,56
tronc	26-31	+200	-14,742	0,1116	0,8555	18,6	214,120	$A = 14,64$ $A = 1,578$	6T16	18,08
tronc	23-26	2000	1,605	0,014	0,9474	80	35	1,34	4T12	4,52
tronc	33-40	+200	-22,589	0,161	0,8296	20,6	206,97	13,93	4T14 4T16	14,18
tronc	34-45	+200	-26,652	0,1566	0,8199	19,3	229,5	$A = 16,33$ $A = 4,35$	4T14 4T20	18,71
tronc	33-34	2000	1,605	0,014	0,9474	80	35	1,34	4T12	4,52
tronc	41-46	+200	-25,804	0,1508	0,9521	18,8	223,4	$A = 15,74$ $A = 3,24$	6T16	16,53
tronc	41-47	+200	-30,552	0,179	0,8423	16,4	151,40	$A = 19,65$ $A = 8,62$	4T16 4T20	20,6
tronc	41-42	2000	1,605	0,014	0,9474	80	35	1,34	4T12	4,52
tronc	49-56	+200	-22,172	0,155	0,858	20,2	207,92	$A = 14,14$ $A = 0,28$	6T16	16,08
tronc	50-55	+200	-29,743	0,1623	0,8418	17,9	234,63	$A = 16,46$ $A = 5,4$	4T14 4T20	18,71
tronc	49-50	2000	1,605	0,014	0,9474	80	35	1,34	4T12	4,52

Stableau Céleste lauf

Laien der Armatoren des Erzbistums

2 - Portogallo 7-7 -

section	\bar{O}_a	M	L_m	N	E	K	O_b	f calc	f char	section
1, 5	4200	-1,61	1,616	0,04500	0,9104	10,8	101,94	4,451	4T12	4,52
2, 3	4200	-1,86	1,61	0,0691	0,9561	21,2	134,61	4,894	4T12	4,52
4	4200	-9,1	6,26	0,053	0,8918	35,2	119,31	3,066	4T16	8,04
4- 5	2800	8,66	0,0763	0,8876	29,5	94,91	7,74	4T16	8,04	
3- 4	2800	3,89	0,0343	0,9206	48	58,33	3,35	4T12	4,52	
4- 5	2800	-13,49	6,46	0,0193	0,8855	26,1	146,84	8,079	2T16+2T20	10,03
6	4200	-16,22	6,821	0,0953	0,9189	25,5	142,82	3,127	4T12	4,52
7	4200	-16,22	6,821	0,0401	0,8752	43,8	164,73	9,19	2T16+2T20	10,03
8	4200	-19,4	15,66	0,114	0,8674	22,3	164,73	3,347	4T12	4,52
9	4200	-11,4	14,69	0,1022	0,8781	24,4	122,15	10,54	4T20	12,55
10	4200	-14,03	12,23	0,0623	0,8824	27,5	152,72	9,688	2T20+2T16	10,03
6- 7	2800	9,6	0,0846	0,8826	27,6	101,45	8,63	2T20+2T16	10,03	
7- 8	2800	4,49	0,03989	0,9153	44	63,63	3,89	4T12	4,52	
8- 9	4200	-18,15	11,026	0,105	0,8111	23,9	176,35	11,024	4T20	12,55
9- 10	2800	-21,9	12,25	0,126	0,864	32,9	127,6	4,762	4T16	8,04
11	4200	-21,9	12,25	0,0734	0,8661	21	90,2	13,42	4T16+4T20	14,18
12	4200	-21,26	24,46	0,166	0,8466	17,6	150,07	1,43	4T16	8,04
13	4200	-25,93	92,88	0,152	0,8455	19,4	238,6	1,43	4T16+4T20	18,71
14	4200	-25,93	92,88	0,182	0,8536	18,7	244,39	0,18	4T16+4T20	16,08
15	4200	-21,78	10,9	0,128	0,8613	21	200,69	0,03	8T16	16,08
11- 12	2800	9,78	-	-	-	92,4	187,1	13,36	4T16+4T20	14,18
12- 13	2800	9,78	-	-	-	92,4	187,1	12,15	4T20	12,55
13- 14	2800	4,776	-	-	-	-	-	-	4T12	4,52

section	\bar{a}_a	η	M	c	K	\bar{b}_b	A_{cal}	A_{choice}	section
16	4200	22.8 15.62	0.083 0.126	0.890 0.897	26.1 23.7	167.3 224.6	11.21 7.55	4T20 4T14	12.56 8.04
17	4200	26.03 16.65	0.124 0.0655	0.8781 0.8945	24.4 22.4	172.13 128.62	12.9 8.05	4T14+4T14 2T20+2T14	14.19 10.03
18	4200	35.15 21.37	0.138 0.123	0.8511 0.8624	20 21.1	210 189.03 178.55	17.16 17.04 14.01 13.01	4T20+4T14 8T16	18.71 16.08
19	4200	28.13 26.25	0.1107 0.1033	0.8691 0.8725	23.2 24.2	189.03 178.55	14.01 13.01	4T14+4T16 4T14+4T16	14.10 14.49
16-17	2800	9.59	0.0566	0.9008	35.4	79.094	6.918	4T16	8.04
17-18	2800	5.69	0.033	0.9216	48.8	57.37	4.009	4T14	6.15
21	4200	24.83 27.68	0.0811 0.0695	0.8756 0.8918	26.2 31.2	166.66 184.16	14.27 8.58	4T14+4T14 2T20+2T14	14.19 10.03
22	4200	28.8 19.43	0.1463 0.1254	0.8671 0.8817	22.8 29.4	184.2 142.8	14.36 9.44	8T16 4T20+2T14	16.08 10.03
23	4200	40.04 26.6	-	-	-	-	14.28 12.18 12.15 12.12	6T20+2T14 4T20+4T16	22.86 20.6
24	4200	31.66 29.78	0.124 0.117	0.8626 0.8666	21.4 22.3	186.26 186.88	15.882 14.86	8T16 81.6	16.08 16.08
25	4200	28.1 20.8	-	-	-	-	14.36 9.44	8T16 2T20+2T14	16.08 16.08
26	4200	31.09 21.71	0.122 0.085	0.8632 0.8621	21.7 27.4	186.54 158.26	16.58 10.66	8T16 4T20	16.08 12.56
27	4200	44.13 30.5	-	-	-	-	14.27 12.25 12.22 12.21	8T16 4T20+2T14	22.86 20.6
28	4200	36.08 34.2	0.1419 0.134	0.8551 0.8587	19.6 20.3	214.29 206.8	14.12 14.12	4T20+4T16 4T20+4T16	16.08 12.56
31	4200	25.3 16.98	0.1051 0.1068	0.8724 0.8596	24.5 32	171.42 151.95	14.28 14.28 14.22	4T14+4T14 4T14+4T14	14.19 12.56
32	4200	41.31 37.53	-	-	-	-	14.22 14.22	5T20+2T14 4T20+4T16	22.86 20.6
33	4200	29.76 28.44	0.117 0.1119	0.866 0.869	22.3 23	182.34 182.34	14.07 14.07	8T16 81.6	16.08 16.08
34	4200	29.76 28.44	0.117 0.1119	0.866 0.869	22.3 23	182.34 182.34	14.07 14.07	8T16 81.6	16.08 16.08
35	+200	-	-	-	-	-	-	-	-

Remarque: D'après Art. 9 L 3.2 APA 91, le pourcentage maximal des niveaux longitudinaux dans les parties doit être de 2,5%. A cet effet nous avons dû augmenter la hauteur des 4 premiers niveaux à h = 60 cm alors la sur. transversal.

8.5 - Vérification des armatures longitudinales.

8.5.1 - Vérification de la flèche : (Art. 61 / CEBPA 68)

Si la condition suivante est vérifiée, il est inutile de calculer la flèche en général ; Il y a 3 conditions à vérifier, cependant celle qui va avoir le plus d'effets et la plus restrictive :

$$\frac{A}{b_0 \cdot h} \leq \frac{43}{5 \text{cm}} \quad \left\{ \begin{array}{l} b_0 = 30 \\ h = 45 \\ 5 \text{cm} = 42 \text{cm} \end{array} \right. \rightarrow A \leq 13,82 \text{ cm}^2$$

- ce qui est vérifié pour toute la section en briques,

8.5.2 - Condition de non-fracture :

$$A \geq 0,69 \cdot b \cdot h \frac{b_b}{5 \text{cm}} = 0,69 \times 30 \times 45 \times \frac{5,9}{42 \text{cm}} = 1,3 \text{ cm}^2$$

$$A \geq 0,69 \cdot 30 \times 45 \times \frac{5,9}{42 \text{cm}} = 1,3 \text{ cm}^2, \text{ la condition est vérifiée pour toute la section.}$$

8.5.3 - Vérification de l'adhérence : (Art. 29 / CEBPA 68).

$$c_d \leq \bar{c}_d, \quad \bar{c}_d = 2 \Psi_d \cdot f_b = 2 \times 1,5 \times 5,0 = 17,7 \text{ kg/cm}^2.$$

$$\bar{c}_d = \frac{T_{max}}{n \cdot P \cdot Z}, \quad \left\{ \begin{array}{l} n: \text{nombre de barres} \\ Z = \frac{\pi}{4} \cdot h^2, \quad h = 55 \text{ et } h = 45 \text{ cm} \\ P: \text{périmètre des barres.} \end{array} \right.$$

1. Sous le caniveau

NIVEAU Ø mm	Terrasse	II 12	II 20	I 16	IV 16	III 16	II 16	I 16
$T_{max}(t)$	9,960	14,150	13,4	14,615	25,7	28,28	15,870	
$C_d (\text{kg/cm}^2)$	16,79	13,69	16,9	15,3	13,28	11,48	15,89	

2 - sous longitudinal

NIVEAU Ø mm	Terrasse	II 12	II 16	I 16	IV 20	III 16	II 16	I 16
$T_{max}(t)$	4,150	8,182	10,30	13,113	16,361	18,671	16,844	
$C_d (\text{kg/cm}^2)$	6,69	10,33	13,125	10,25	10,33	11,79	10,65	

La condition d'adhérence est donc vérifiée dans les 2 sous.

8.5.4. Condition aux appuis

$$\Leftrightarrow \frac{\Delta T}{\bar{\delta}_{bs}'} = c_0 \quad \left\{ \begin{array}{l} \bar{\delta}_{bs}' = 0,5 \\ T: \text{effet tangentiel à l'appui libre} \end{array} \right.$$

$\Leftrightarrow a - (t + r)$, au poinçon: $r = 5,5 \Phi$

$t = 5 \text{ cm}$, et $a = 40 \text{ cm}$

donc $c = 45 - 5,5 \Phi$



1 - seuil transversal

NIVEAU	Terrasse	II	III	IV	V	VI	II	I
ϕ_{nm}	12	16	16	16	16	16	16	16
Tmax (t)	1,62	12,51	16,962	20,996	22,95	25,37	27,99	22,99
c_0 (cm)	0,07	12,17	16,5	20,43	22,33	24,69	22,27	
C (cm)	26,4	26,2	26,2	26,2	26,2	26,2	26,2	26,2

2 - seuil longitudinal

NIVEAU	Terrasse	VI	II	IV	V	III	II	I
ϕ_{nm}	12	14	16	20	16	16	16	16
Tmax (t)	3,636	7,142	10,25	12,97	14,34	16,4	14,87	
c_0 (cm)	3,733	6,95	8,07	12,62	13,95	15,96	14,56	
C (m)	28,4	27,3	26,2	26	26,2	26,2	26,2	26,2

8.5.5 - Amélioration de l'état équilibre des forces (Art 3a 62/CCPM 68)

$$r \geq 0,10 \Phi \cdot \frac{c_0}{\bar{\delta}_{bs}'} \left(1 + \frac{\Phi}{\bar{\delta}_{bs}'} \right) = r_0$$

$\left\{ \begin{array}{l} \bar{\delta}_{bs} = 1, \text{ base horizontale et isolée} \\ \end{array} \right.$

$\left\{ \begin{array}{l} d_1 = 5,5 \Phi + t \\ \text{distance du centre de gravité de la base} \\ \text{à la face} \end{array} \right.$

1 - sens Généralisé

NIVEAU ϕ_{mm}	Terrasse 12	VI 16	V 16	IV 16	III 16	II 16	I 16
$r = S_1 \phi_{cm}$	6,6	8,8	8,8	8,8	8,8	8,8	8,8
r_o (cm)	3,49	7,4	7,4	7,4	7,4	7,4	7,4

2 - sens Longitudinal

NIVEAU ϕ_{mm}	Terrasse 12	VI 14	V 16	IV 20	III 16	II 16	I 16
$r = S_1 \phi_{cm}$	6,6	7,9	8,8	11	8,8	8,8	8,8
r_o (cm)	3,49	9,44	7,4	9,35	7,4	7,4	7,4

Cette condition est donc vérifiée dans les niveaux et dans les deux sens.

8.5.6 - Armatures inférieures au niveau des appuis : (Art. 35.62 Recom-62)

Au niveau des appuis l'effort tranchant T et le moment fléchissant exercent un effet de traction dans les armatures inférieures. Pour cela il faut vérifier la relation suivante :

$$\left\{ \begin{array}{l} A_{-fa} \geq T + \frac{M}{z} \\ q = f_{th} \end{array} \right.$$

$T + \frac{M}{z}$, résultant de la plus défavorable des combinaisons, en partie M et pris avec son signe.

1 - *Sens C* measured

Hiveau	nord	$M_1 (L.m)$	$T(L)$	$\frac{1}{O_n} (T + \frac{M_1}{L})$	A prise
H	1 5	1,616 4,99	3,7 -0,503	1,858 2,89	4,52 4,52
	3 n	6,67 6,26	-0,97 -1,268	3,802 3,48	4,52 4,52
H	10	12,235	-5,187	6,16	8,04
	8 9	15,66 14,49	-6,25 -6,42	7,98 7,23	10,03 10,03
H	15	19,9	-9,616	9,74	12,56
	13 14	24,48 22,98	-11,07 -11,25	12,16 11,21	16,08 16,08
H	20	26,25	-13,65	9,73	14,19
	18 19	31,37 31,48	-15,33 -15,51	11,87 11,88	16,08 16,08
H	25	29,78	-15,609	11,017	16,08
	23 24	36,627 35,115	-17,8 -17,97	13,88 18,09	18,71 18,71
H	30	34,2	-18,024	12,62	18,71
	28 29	40,5 39,55	-20,112 -20,288	15,24 14,73	20,6 20,6
H	35	28,44	-15,544	10,36	16,08
	33 34	37,53 36,25	-18,87 -18,54	14,19 13,518	20,6 20,6

2 - Seas, longitudinal -

Hiree	Nom d	M [t m]	T (x)	$\frac{1}{\alpha} (T + \frac{M}{2})$	Aprise
日	8	3,636	-1,448	1,854	4,52
月	2	4,535	1,805	2,312	4,52
日	16	9,055	-4,665	4,36	6,15
月	10	11,161	-5,664	5,4	8,04
日	24	14,684	-7,767	7,03	10,03
月	18	16,816	-8,895	8,05	12,56
日	32	19,232	-10,488	9,13	12,56
月	26	23,08	-12,385	11	16,08
日	40	21,728	-11,858	10,3	14,19
月	34	25,598	-13,845	12,18	18,71
日	48	24,996	-13,918	11,8	16,08
月	42	24,498	-16,155	10,96	20,6
日	56	22,311	-12,488	10,52	16,08
月	51	26,097	-13,786	12,5	18,71

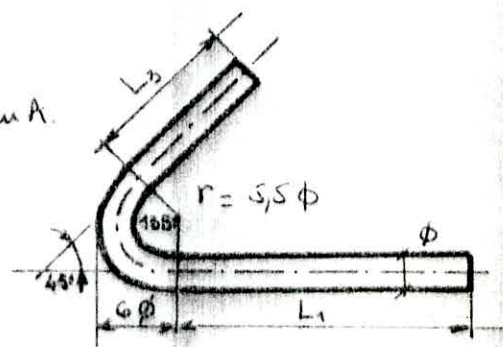
8.5.7-Vérification de l'ancrage:

condition pour un ancrage total en A.

$$L_1 + 2,56 L_3 \geq L_d - 3,92 r$$

$$\left\{ \begin{array}{l} c_d = 17,7 \text{ kg/cm}^2 \\ L_d = \frac{\phi}{4} \cdot \frac{6a}{c_d} \end{array} \right.$$

Après les dispositions constructives de l'ancrage données par le RPA 81 (fig. 103) on prendra $L_1 \geq 20\phi$ et $L_3 = 8\phi$, ce qui pour l'ancrage des acierures supérieures, qui ont aux acierures inférieures en fait sacrifier: $L_1 + 2,56 L_3 \geq \max(20\phi, 50)$.



NIVEAU	IV	V	VI	VII	III	II	I
ϕ	12	12	12	16	16	16	16
L_1	26,4	26,4	26,2	26,2	26,2	26,2	26,2
L_3	9,6	9,6	12,8	12,8	12,8	12,8	12,8
L_d	47,46	47,46	63,28	63,28	63,28	63,28	63,28
r	6,6	6,6	8,8	8,8	8,8	8,8	8,8
$L_1 + 2,56 L_3$	52,97	52,97	58,968	58,968	58,968	58,968	58,968
$L_d - 3,92 r$	21,588	21,588	26,784	28,784	28,784	28,784	28,784

1 - sans transversal

NIVEAU	IV	V	VI	VII	III	II	I
ϕ	12	14	16	20	16	16	16
L_1	26,4	27,3	26,2	24	26,2	26,2	26,2
L_3	9,6	11,2	12,8	16	12,8	12,8	12,8
L_d	47,46	55,36	63,24	73,09	63,24	63,24	63,24
r	6,6	7,7	8,8	11	8,8	8,8	8,8
$L_1 + 2,56 L_3$	52,97	55,97	58,96	64,96	58,96	58,96	58,96
$L_d - 3,92 r$	21,58	26,17	28,78	36,97	28,78	28,78	28,78

2 - sans longitudinal

8.5.8. Calculer devant les contraintes dans chaque section

1 - Les calculs

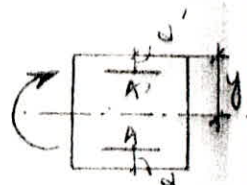
Noeud	M (Nm)	$A \text{ cm}^2$	$t \text{ (cm)}$	w	ϵ	K	σ_a	σ_b'
1, 5	-7,67	4,52	45,4	0,331	0,9104	40,8	4105,5	100,62
2, 3	11,86	8,04	45,2	0,3903	0,8862	28,9	3682,6	127,42
4	9,7	6,15	45,3	0,4828	0,897	33,9	3878,5	114,41
2 - 3 1 - 2	8,66	8,04	45,2	0,5903	0,8862	28,9	2689	93,04
3 - 4 4 - 5	3,89	4,52	45,4	0,3318	0,9101	40,6	2082,8	51,3
6	13,49	10,03	45,1	0,7413	0,8786	25,5	4095,1	162,5
7	16,22	10,03	45,1	0,7413	0,8786	25,2	4095,1	162,5
8	19,4	12,56	45	0,93037	0,8643	21,9	3971,3	181,33
9	17,4	12,56	45	0,93	0,864	21,9	3561,9	162,64
10	14,07	10,03	45,1	0,7413	0,8786	25,2	3582,3	140,96
11	18,15	12,56	45	0,93	0,8643	21,9	3725,43	169,65
12	21,9	14,18	45,25	1,044	0,8584	20,3	3976,1	195,86
15	21,79	14,18	44,85	1,044	0,858	20,3	4045,5	199,2
11 - 12 12 - 13	9,79	10,03	45,1	0,7413	0,8786	25,2	2471,72	98,08
13 - 14 14 - 15	4,776	4,52	45,4	0,3318	0,9104	40,8	2856,4	62,65
16 -	22,8	12,56	55	0,7612	0,8744	24,8	3774,6	152,2
17	26,03	14,18	54,25	0,871	0,8677	22,8	3896,9	170,9
16 - 17 17 - 18	9,59	8,04	55,2	0,485	0,8947	22,5	2415,16	74,81
21	24,83	14,19	54,5	0,867	0,868	22,9	3688,5	161,5

Noeud	$M_{E,y}$	A_{cm}^2	h_{cm}	w	ϵ	κ	σ_a	σ_b'
20, 22	28,8	16,08	54,4	0,985	0,8615	21,1	3821,6	181,12
25, 27	31,66	16,08	54,4	0,985	0,8615	21,1	4198,4	193,1
26	28,1	16,08	54,4	0,985	0,8615	21,1	3728,7	176,7
35	29,76	16,03	54,4	0,985	0,8615	21,1	3961,3	181,7
31, 32	25,8	14,19	54,4	0,867	0,868	22,9	3843	167,81
18, 19 19, 20	5,69	6,15	55,3	0,37	0,9057	38	1847,25	48,61

- vérification des sections avec armatures renforcées:

Position de l'axe neutre:

équation des moments statiques / à l'axe neutre:



$$\frac{b}{2}y^2 + nA'(y - \bar{e}) - nA(h - y) = 0.$$

$$\rightarrow \frac{b}{2}y^2 + 15(A' + A)y - 15(A'\bar{e}' + A.h) = 0$$

$$\text{de moment d'inertie: } I_z = \frac{b}{3}y^3 + A'n(y - \bar{e}')^2 + nA(h - y)^2.$$

- les entraînements: $\begin{cases} \sigma_b' = \Theta.y, \text{ avec } \Theta = M/I_z \\ \sigma_a' = n\Theta(y - \bar{e}') \\ \sigma_a = n\Theta(h - y) \end{cases}$

- sans l'entraînement -

Noeud	$M_{E,y}$	A_{cm}^2	A'_{cm}^2	y_{cm}	I_{cm}^2	Θ	σ_a'	σ_a	σ_b'
13	28,26	18,71	16,08	11,85	289321,0	9,76	3919,28	1750,8	171,42
14	25,94	16,08	16,08	16,51	261330,4	9,926	4182,5	1624,41	163,88
18, 19	35,15	18,71	16,08	20,132	460186,3	7,638	3917,79	1665,47	153,8
23, 24	40,4	22,86	20,6	21,029	539684,8	7,48	3714,15	1710,03	157,419
30	36,08	20,6	18,71	20,463	441528,0	8,171	4122,7	1797,17	167,8
33, 34	41,31	22,86	20,6	21,029	539684,8	7,65	3794,8	1747,5	160,96

D'abord élevant les antécédents dans chaque section

2 - Deux Impulsionnel

Niveau	Section	$M_{kg \cdot m}$	A_{cm^2}	b_{cm}	\tilde{w}	E	K	σ_a^{kcal}	σ_b^{kcal}	
VII	1 et 8	-4,684	4,52	45,4	0,3318	0,9101	40,6	2508,31	61,78	
	2 et 7	-5,738	4,52	45,4	0,3318	0,9101	40,6	3072,73	75,68	
	travée	1 à 2	1,351	4,52	45,4	0,3318	0,9101	40,6	723,46	17,88
VI	9 et 16	-9,701	6,15	45,3	0,4525	0,8977	38,9	3878,93	114,42	
	10 à 15	-11,491	8,04	45,2	0,5929	0,8859	28,85	3570,5	123,76	
	travée	9 - 10	1,610	4,52	45,4	0,3318	0,9101	40,6	862,16	21,23
V	17 et 24	-15,345	10,03	45,1	0,7493	0,8756	25,2	3874,2	153,73	
	18 à 23	-17,87	12,56	45	0,9303	0,8644	21,88	3657,69	167,17	
	travée	17 - 18	1,605	4,52	45,4	0,3318	0,9101	40,6	859,48	21,17
IV	25 et 32	-19,893	12,56	45	0,9303	0,8644	21,88	4071,77	186,09	
	travée	25 - 26	1,605	4,52	45,4	0,3318	0,9101	40,6	859,48	21,17
	33 et 40	-22,389	14,18	44,5	1,0631	0,8576	20,1	4137,26	205,5	
III	travée	33 - 34	1,605	4,52	45,4	0,3318	0,9101	40,6	859,48	21,17
	travée	41 - 42	1,605	4,52	45,4	0,3318	0,9101	40,6	859,48	21,17
II	travée	49 - 50	1,605	4,52	45,4	0,3318	0,9101	40,6	859,48	21,17

- D'abord élevant les antécédents dans les sections avec remontées
dans plusieurs - deux Impulsionnel

Nom	$M_{kg \cdot m}$	A_{cm^2}	A'_{cm^2}	y_{cm}	I_{cm^4}	θ	σ_a^{kcal}	σ_b^{kcal}	$\sigma_b' (kcal)$
26 31	-24,142	16,08	16,08	16,51	261830,11	9,23	3861,87	1510,49	152,38
37 38	-26,682	18,71	18,71	17,14	294109,3	9,06	3691,04	1554,69	155,28
41 48	-25,687	16,08	16,08	16,51	261830,11	9,81	4104,01	1605,4	161,96
42 47	-30,552	20,6	20,6	17,53	316174,82	9,66	3864,48	1699,67	169,34
49 56	-22,972	16,08	16,08	16,51	261830,11	8,79	3677,29	1438,46	145,18
50 53	-27,708	18,71	18,71	17,14	294109,3	9,42	3837,70	1616,47	161,45

8.5.9-Vérification de la fissuration :

$$\sigma_1 = k\eta \left(\frac{w_f}{1 + 10w_f} \right) \quad \left\{ \begin{array}{l} \bar{\sigma}_b = 5,9 \text{ kg/cm}^2 \\ \eta = 1,6 \\ k = 1,5 \cdot 10^6 \\ w = \frac{A}{Bf} \\ \phi = \frac{w}{w_f} \end{array} \right.$$

$$\sigma_2 = 2,4 \sqrt{\frac{k\eta}{\phi}} \cdot \bar{\sigma}_b$$

1- Tens transversal -

NIV	A (cm²)	Bf (cm²)	wf	σ_{1wf}	σ_{2wf}	$\bar{\sigma}_{trans}$	$\bar{\sigma}_{tension}$
T	8,04	2,8	0,0273	2257,7	3273,6	2800	2800
	4,52	2,8	0,0163	2607,06	2874,4	2800	2800
V	10,03	2,04	0,034	2019,4	3052,4	2800	2800
I	4,52	2,8	0,0163	2807,06	2806,03	2800	2800
IV	8,04	2,8	0,0273	2257,7	3273,6	2800	2800
III							
II	6,15	2,82	0,021	2413,6	3069,2	2800	2800

2- Tens longitudinal -

Puisque les sections en trave possèdent le même ferrailage on ne vérifiera la fissuration que pour une seule section.

$$A = 4,52 \text{ cm}^2, \quad Pef = 2 \cdot b \cdot d = 2 \cdot 4,6 \cdot 20 = 170 \text{ cm}^2$$

$$w_f = \frac{A}{Bf} = \frac{4,52}{2,8} = 0,0164$$

$$\sigma_1 = \frac{1,5 \cdot 10^6 \cdot 1,6}{12} \left(\frac{0,0164}{1 + 10 \cdot 0,0164} \right) = 2662 \text{ kg/cm}^2 \quad \left\{ \begin{array}{l} \text{La fissuration} \\ \text{est vérifiée.} \end{array} \right.$$

$$\sigma_2 = 2,4 \sqrt{\frac{1,5 \cdot 10^6 \cdot 5,9}{12}} = 2061 \text{ kg/cm}^2 \quad \left\{ \begin{array}{l} \text{La fissuration} \\ \text{est vérifiée.} \end{array} \right.$$

8.6 - Armatures d'ouvertures :

Du déterminera les armatures transversales pour l'effet
bouleau maximal à l'appui, en fonction de la
lire, entraînée de courbure maximale :

$$C_{bmax} = \frac{T_{max}}{b \cdot z}, \quad \begin{cases} b = \text{largeur} \\ z = \frac{1}{8} h \end{cases}$$

on vérifie : $\{ C_{bmax} \leq 3,5 \bar{b}_b \text{ et } \bar{b}_b \leq \bar{b}'_b$.

$$(C_{bmax} \leq \left(4,5 - \frac{\bar{b}_b}{\bar{b}'_b} \right)), \text{ et } \bar{b}'_b \leq \bar{b}_b \leq 2\bar{b}'_b.$$

8.6.1 - Sans ouverture.

Niv.	Terrasse	VI	VII	VIII	IX	X	XI
$\frac{sp}{T_{max}}$	8,797	9,006	8,14	9,13	9,13	8	8,13
\bar{b}_b	84,8	106,83	130,57	113,9	120,7	120,83	111,76
C_{bmax}	7,489	7,1824	7,624	6,237	6,237	6,237	6,237
\bar{b}_b	19,8	16,92	15,3	16,45	15,87	15,06	16,52

- La quantité d'armature transversale est donnée par $A_t = 0,003 \bar{b}_b$,

Art. 4.2.3.22 avec $\rho \leq \frac{h_c}{2}$ (h_c : hauteur totale du bouleau).

Pour notre cas $h_c = 50,60 \text{ cm}$ soit $\rho \leq 25 \text{ cm}$.

$$b_1 = 60 \text{ cm} \text{ dit } A_t \geq 0,003 \times 60 \times 25 = 4,5 \text{ cm}^2.$$

D'un chevron 1 cadre + 2 étages $\Rightarrow A_t = 4,71 \text{ cm}^2 \phi = 10 \text{ mm}$.

- Espacement :

Dans la zone nodale : $\rho \leq \min \left(\frac{h_c}{4}, 12\phi \right)$

en dehors de la zone nodale : $\rho \leq \frac{h_c}{2}$.

8.6.2 - Jeus d'empêchement.

NIV	Terrasse	VI	I	II	III	IV	V
T_{max}	2,504	2,124	2,126	2,126	2,126	2,126	2,126
b'_b	50,45	82,5	111,41	101,58	103,52	112,89	107,63
$C_{b_{max}}$	1,69	1,79	1,79	1,79	1,79	1,79	1,79
\bar{C}_b	20,3	19,11	16,66	17,49	17,33	16,54	16,98

$$A_t = 0,003 \rho' b_1 \quad \text{avec} \quad \rho' \leq \frac{h_t}{2}, \quad b_1 = 20 \text{ cm}$$

$$h_t = 50, \rightarrow \rho' \leq 25 \text{ m} \quad \text{puis} \quad \rho' = 20 \text{ cm}.$$

$$A_t = 3,6 \text{ cm}^2, \quad 1 \text{ cache + 2 autres.}$$

- remplacement : $\begin{cases} \rho \leq \min\left(\frac{h_t}{4}, 12\phi\right), \text{ zone modale.} \\ \rho' \leq \frac{h_t}{2}, \text{ en dehors de la zone modale.} \end{cases}$

sans

8.7 - DISPOSITIONS DES ARMATURES TRANSVERSALES.

transversal

 11×12 5×20 8×25 5×20 9×12

Terrasse

$2 \cdot h_1 = 100$

$8 \cdot h_1 = 100$

6.00

NIVEAUX: I, II, III, IV.

 9×14 5×20 4×20 5×20 9×14

$2 \cdot h_1 = 120$

$2 \cdot h_1 = 120$

6.00

NIVEAUX: I, II, III.

 9×12 2×20 4×25 2×20 9×12

$2 \cdot h_1 = 100$

$2 \cdot h_1 = 100$

3.60

sans longitudinal

 11×12 3×20 5×25 3×20 9×12

$2 \cdot h_1 = 100$

$2 \cdot h_1 = 100$

4.30

CHAPITRE : IX

- FERRAILLAGE DES POTEAUX -

FERRAILLAGE DES POTEAUX

3.1 Introduction :

Les poteaux sont soumis à des effets normaux, des effets transversaux et à des moments fléchissants en tête et à la base, et ceci dans le sens longitudinal et dans le sens transversal.

Ils sont donc calculés en flexion, au poinçons/SPJ et sous la plus défavorable des combinaisons du second genre et en optima pour la plus importante section d'acier.

On distingue 3 types d'effets :

N_{min} , M_{can} pour le calcul des armatures tendues

N_{max} , M_{corr} } Pour le calcul du béton compressif et

N_{cor} , M_{max} } éventuellement des armes superficielles.

3.2 Méthode du calcul :

Nous avons appliquée la méthode de P. CATAZOS

la contrainte admissible du béton est donnée par :

$$\bar{\sigma}_b = 2\bar{\sigma}_{b_0} \quad \text{si } e_0 \geq \frac{ht}{2}, \quad e_0 = \frac{M}{N}$$

$$\bar{\sigma}'_b = \bar{\sigma}'_{b_0} \left(1 + \frac{e_0}{3e_1} \right) \quad \text{si } e_0 < \frac{ht}{2}, \quad e_1 = \frac{ht}{6}$$

On peut avoir 3 cas de polarisation :

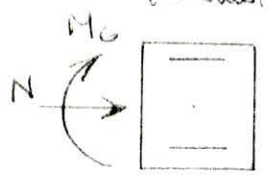
- $e_0 > e_1$, section partiellement compressive
- $e_0 \leq e_1$ { section entièrement compressive (N_{comp})
 { , tendue (N_{tend})
- $e_0 = 0$, tout poteau simple.

1.2.1 Section Pachettement symétrique : ($e_0 > e_1$)

On fera celle de manière symétrique ; d'où la marche à suivre va être la suivante :

On calculera le moment fictif : $M_f = N \cdot f$

f étant la distance entre le point de passage de N et les axes neutres.



$$M > 0$$

On calculera la section en flexion simple sous M_f en calculant \bar{b}_b' on peut avoir :

- $\bar{b}_b' \leq \bar{b}_b$, les armatures symétriques ne sont pas nécessaires, on calculera une section A_{f_p} sous M_f et la section d'acier dans la flexion symétrique sera :

$$A_{f_p} = A_{f_p} - \frac{N}{f} \quad (N \leq 0, si \text{ on a une traction})$$

- $\bar{b}_b' > \bar{b}_b$, les armatures symétriques seront nécessaires, on calculera les sections d'acier A_{f_p}' , A_{f_p} sous M_f et elle elliptique les sections d'acier seront déterminées en flexion symétrique seront :

$$A_{f_p}' = A_{f_p}$$

$$A_{f_p} = A_{f_p}' - \frac{N}{f} \quad (N \leq 0, traction)$$

1.2.2 Section entièrement symétrique : ($e_0 \leq e_1$)

On fera celle toujours de manière symétrique.

on détermine δ_c , d' et on calcule \bar{b}_b' comme

plus tard et les coefficients suivants égaux par :

$$\delta = \frac{\bar{b}_b' \cdot b \cdot h_0}{N}, \rho = \frac{b \cdot e_0}{h_0}, c = 0.27(1 + \delta')^n \cdot \rho$$

$$D = 0,3(\beta - \beta_0) - 0,8(1-\beta)(1-2\beta')^2$$

$$\epsilon_2 = (1+\beta-\beta_0), \quad \bar{w}' = \frac{-D + \sqrt{D^2 - 4Ec}}{2c}$$

enfin la section d'armature A^L obtenue par :

$$A = A' = \bar{w}' \cdot b \cdot h_t$$

1.2.3 - Section en l'empression simple ($\ell_0 = 0$):

Si la section d'armatures longitudinales sont spécifiées les 3 conditions:

1er critère: $A_L \geq \frac{1}{n} \left(\frac{N}{f_{b0}} - P_b \right)$, P_b section du béton.

Condition de sécurité:

$$A_L \leq \frac{P_b}{2\alpha}, \quad \left(\frac{A_L}{P_b} \leq 5\% \text{, CEBM 69 Art. 324.6} \right)$$

3ème condition:

$$A_L \geq \frac{1,25}{1000} \theta_1 \cdot \theta_2 \cdot \theta_3 \frac{N}{f_{b0}}, \quad 1\% \leq A_L \leq 4\%.$$

Coefficients:

θ_1 : tient compte de l'excentricité de la charge.

$\begin{cases} \theta_1 = 1,6 & \text{poteau d'angle.} \\ \theta_1 = 1,4 & \text{de coin} \end{cases}$

$\begin{cases} \theta_1 = 1 & \text{autres poteaux.} \end{cases}$

$\theta_2 = 1 + \frac{\ell_c}{4a - 2c}$ $\begin{cases} \ell_c: \text{longeur de flambement} \\ a: \text{plus petite dimension transversale.} \\ c: \text{épaisseur des fûts longitudinaux} \end{cases}$

$\theta_3 = 1 + \frac{2f_{b0}}{f_{cu}}$, dépend de la résistance des aciers longitudinaux.

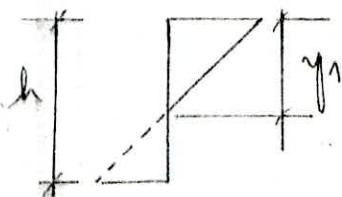
2.3 . Pourcentage Minimal d'armatures:

$w_L = \frac{A_L}{P_b} \geq \frac{1,25}{1000} \theta_1 \cdot \theta_2 \cdot \theta_3 \cdot \frac{f_m'}{f_m}$, où f_m' est la contrainte moyenne de compression $5f_{b0}$ sur la section s_f^{bs} du béton slak : $f_m' = \frac{N}{P_b}$.

Pour les sections partiellement compressées, on peut calculer en considérant le diagramme de "Navier".

$$y_1 = h \cdot \frac{\bar{b}_b}{\bar{b}_b + \frac{\bar{b}_n}{n}} \quad , \quad B = b \cdot y_1$$

$$\text{et } \bar{b}'_m = \frac{N}{b \cdot y_1}$$



9.4. Flambement des Poteaux :

- Longueur de flambement :

Pour le bâtiment à étages multiples (particulièrement lorsque il est autoporteur) la longueur de flambement est fonction de la hauteur du poteau et de la liaison des extrémités

$$l_c = 0,7 h_o = 0,7 \times 3,20 = 2,24 \text{ cm} \text{ (cas le plus dur).}$$

- Vérification au flambement :

$$\text{Poteau de coin (} 40 \times 40 \text{ cm) : } \frac{l_c}{a} = \frac{2,24}{40} = 5,6 < 14,4$$

$$\text{Poteau intermédiaire (} 50 \times 60 \text{ cm) : } \frac{l_c}{a} = \frac{2,24}{50} = 4,48 < 14,4$$

L'article 32,31 EC8-ALB précise que dans ce cas la pôle sera justifié uniquement en flexion superposé sans tenir compte de l'effet du flambement.

POLETIQUE TRANSVERSAL

9.5 Détermination des armatures longitudinales de CPz :

A) Poteaux intermédiaires → File 4 - 60x50,

$r_1 = 0,10 \text{ m}$

sous N^{\max} et M^{corr} .

Poteau	N^t	$M^t \text{ m}$	e_0	$f_{\frac{1}{2}e_0,25}$	$M^t \text{ m}$	$M_R^t \text{ m}$	A'_1	A_1	A'	A
4-9	13,395	17,63	1,316	1,866	20,97	56,53	-	10,01	-	6,82
9-14	27,345	28,9	1,087	1,307	28,9	56,53	-	14,01	-	7,499
14-19	41,74	37,52	0,898	1,148	47,91	56,53	-	23,9	-	13,96
19-24	56,41	46,058	0,8164	1,066	60,13	56,03	2,913	39,2	2,973	16,76
24-29	71,69	47,66	0,6648	0,9148	65,58	56,53	7,47	32,79	7,47	15,72
29-34	86,83	54,89	0,632	0,832	76,58	56,53	16,56	38,03	16,56	11,35
34-39	102,87	77,46	0,7829	1,05	107,83	94,759	8,63	40,8	8,63	16,3

$r_1 = 0,10 \text{ m}$

sous N^{\min} et M^{corr} .

Poteau	N	M	e_0	$f_{\frac{1}{2}e_0,25}$	M	M_r	A'_1	A_1	A'	A
4-9	7,925	18,25	2,302	2,55	20,23	56,53	-	9,64	-	7,758
9-14	13,985	24,16	1,728	1,978	27,65	56,53	-	13,37	-	10,04
14-19	19,64	31,83	1,595	1,845	36,24	56,53	-	17,78	-	13,1
19-24	25,08	38,44	1,582	1,78	44,71	56,53	-	12,2	-	16,23
24-29	30,01	39,78	1,325	1,575	47,28	56,53	-	23,869	-	16,42
29-34	35,05	45,8	1,306	1,55	54,86	56,53	-	17,42	-	19,07
34-39	39,34	64,55	1,64	1,94	76,31	94,756	-	32,10	-	22,72

File 3 (60x50 mm)

 $\ell_1 = 0,10m$ dans $N_{\text{max}}^{\text{max}}$ M^{corr}

POT	N	M	ℓ_0	$f_{\ell_0 \ell_0+2S}$	M0	Mr	A'_1	A_1	A'	A
3-8	18,75	18,4	0,714	0,964	18,03	56,53	—	8,57	—	4,11
8-13	41,34	24,96	0,6013	0,9513	35,19	56,53	—	11,24	—	7,39
13-18	67,61	32,65	0,4829	0,9329	45,55	56,53	—	24,76	—	8,66
18-23	89,07	39,06	0,38	0,6306	61,4	56,53	4,022	30,70	4,022	7,616
23-28	128,93	81,42	0,294	0,5173	70,65	56,53	12,053	35,19	12,053	4,492
28-33	162,36	69,07	0,284	0,494	78,66	47,5	20,6	33,17	29,5	—
33-38	195,09	77,39	0,396	0,696	136,7	54,75	17	56,66	27	10,2

 $\ell_1 = 0,10m$ dans $N_{\text{max}}^{\text{max}}$ M^{corr}

POT	N	M	ℓ_0	$f_{\ell_0 \ell_0+2S}$	M0	Mr	A'_1	A_1	A'	A
3-8	9,24	15,24	1,656	2,1	11,36	56,53	—	8,122	—	6,25
8-13	11,66	23,14	1,984	2,234	26,065	56,53	—	12,57	—	9,75
13-18	12,06	29,47	2,443	2,69	32,49	56,53	—	15,64	—	12,96
18-23	9,55	33,75	3,47	3,72	35,537	56,53	—	14,42	—	15,14
23-28	5,54	84,28	6,18	6,43	35,66	46,53	—	17,48	—	161,69
28-33	- 0,03	40,61	1858,66	1858,4	40,6	56,53	—	20,052	—	20,059
33-38	- 5,01	24,55	12,81	12,61	23,74	54,75	—	28,29	—	29,78

Tableau donnant le pourcentage
minimum d'armatures

Poteau	θ_b	N_t	$Y_t(\text{cm})$	D_1	θ_2	θ_3	A
4 - 9	205,5	13,395	23,28	1	2,178	1,52	1,274
9 - 14	205,5	27,845	23,28	1	2,178	1,52	2,6
14 - 19	205,5	41,74	23,28	1	2,178	1,52	3,97
19 - 24	205,5	56,41	23,28	1	2,178	1,52	5,36
24 - 29	205,5	71,69	23,28	1	2,178	1,52	6,82
29 - 34	205,5	86,83	23,28	1	2,178	1,52	8,26
34 - 39	205,5	102,81	27,51	1	1,97	1,52	8,87

Tableau récapitulatif du ferrailage adopté.
- FILE 4 -

Poteau	4 - 9	9 - 14	14 - 19	19 - 24	24 - 29	29 - 34	34 - 39
A'	-	-	-	2,973	7,47	16,06	8,63
$A \text{ cm}^2$	7,75	10,04	13,96	16,76	16,42	19,07	22,73
A' adoptée	4T16	4T20	5T20	6T20	6T20	7T20	8T20
A adopté	4T16	4T20	5T20	6T20	6T20	7T20	8T20

- FILE 3 -

Poteau	3 - 8	8 - 13	13 - 18	18 - 23	23 - 28	28 - 33	33 - 38
$A' \text{ cm}^2$	-	-	-	4,022	13,08	29,5	27
$A \text{ cm}^2$	6,25	9,79	12,96	15,14	16,169	20,05	27,48
A' adoptée	4T16	4T20	5T20	6T20	6T20	7T20	9T20
A adopté	4T16	4T20	5T20	6T20	6T20	7T20	9T20

B) Potentiels de fuite : File 1 - 40 x 10 cm
 $\ell_1 = 0,66 \text{ m}$ dans $N^{\min} \times M^{\text{corr}}$

POT	M (l/m)	N° (f)	$\ell_0 (\text{cm})$	$f = \ell_0 + 15$	$M_f (\text{cm})$	Mr	A'_1	A_1	$A'_{(\text{cm}^2)}$	$A_{(\text{cm}^2)}$
1-6	6,48	10,82	0,78	0,93	10,18	18,31	—	7,74	—	5,14
6-11	10,71	23,95	0,448	0,598	14,82	18,31	—	11,14	—	5,96
11-16	12,98	39,06	0,3523	0,4823	18,31	18,31	—	14,5	—	5,20
16-21	15,38	56,91	0,275	0,425	23,76	18,51	6,89	19,82	9,69	5,4
21-26	16,65	73,72	0,215	0,365	28,9	18,51	14,014	21,31	14,014	3,75
26-31	16,91	92,03	0,1828	0,3328	30,82	17,14	27,63	24,34	23,63	2,32
31-36	20,4	100,72	0,125	0,325	42,24	32,92	12,74	26,82	12,74	—

$\ell_1 = 0,66 \text{ m}$ dans $N^{\min} \times M^{\text{corr}}$

POT	M (l/m)	N° (f)	$\ell_0 (\text{cm})$	$f = \ell_0 + 15$	$M_f (\text{cm})$	Mr	A'_1	A_1	$A'_{(\text{cm}^2)}$	$A_{(\text{cm}^2)}$
1-6	1,616	4,72	0,342	0,482	2,82	18,31	—	1,63	—	0,55
6-11	5,64	8,92	0,814	0,964	8,69	18,31	—	5,005	—	3,65
11-16	7,63	14,42	1,02	1,17	8,7	18,31	—	6,6	—	4,823
16-21	9,64	16,52	1,48	1,63	10,61	18,31	—	10,138	—	8,587
21-26	10,02	17,72	2,09	2,24	10,7	18,31	—	8,21	—	7,107
26-31	10,94	21,14	5,11	5,26	11,26	18,31	—	8,65	—	7,14
31-36	6,04	9,01	5,00	6,15	6,252	37,84	—	3,53	—	3,28

Tableau donnant le Pourcentage Minimum d'Armature
- FILE 1 - 40x40cm

POT	\bar{E}_b [kg/cm ²]	N (t)	y_1 [mm]	θ_1	θ_2	θ_3	A
1-6	205,5	10,88	14,81	1,4	2,493	1,52	1,68
6-11	205,5	28,96	14,81	1,4	2,493	1,52	3,66
11-16	205,5	39,06	14,81	1,4	2,493	1,52	5,96
16-21	205,5	55,91	14,81	1,4	2,493	1,52	8,56
21-26	206,6	73,72	14,81	1,4	2,493	1,52	11,24
26-31	196,67	82,63	14,44	1,4	2,493	1,52	14,49
31-36	181,13	103,72	15,196	1,4	2,17	1,52	17,439

Tableau Récapitulatif du ferrailage Adopté
- FILE 1 -

POT Arm	1-6	6-11	11-16	16-21	21-26	26-31	31-36
A'	-	-	-	6,63	14,01	23,63	32,74
A	5,14	5,46	5,2	8,88	9,10	9,11	3,28
And	4T16	4T16	4T16	4T20	5T20	8T20	9T20
A' And	4T16	4T16	4T16	4T20	5T20	8T20	8T20

9.C.

PORTIQUE LONGITUDINAL

Détermination des Armatures longitudinales $\sigma_1 \text{ et } \sigma_2$. $\ell_1 = 0,6833 \text{ m.}$ FILE 7 - 50x60 cm. dans N^{\min} et M^{corr}

Potier	N	M	$e_0^{(m)}$	$f_{\bar{e}_0}^{(m)}$	$M_b^{(k.m)}$	M_r	A'_1	A_1	A'	A
7-15	5,82	11,204	1,925	2,125	12,36	45,417	-	7,119	-	5,733
15-23	12,05	19,85	1,64	1,84	22,17	45,417	-	13,41	-	10,24
23-31	18,25	25,395	1,39	1,59	29,04	45,417	-	17,41	-	13,07
31-39	24,717	35,593	1,278	1,478	36,53	45,417	-	22,21	-	16,83
39-47	31,147	32,24	1,085	1,235	58,469	45,417	-	26,41	-	17,39
47-55	37,817	38,45	0,935	1,1058	48,025	45,417	-	26,41	-	17,39
55-63	44,678	51,08	1,148	1,393	62,23	79,15	-	30,89	-	20,25

dans N^{\min} et M^{corr} $\ell_1 = 0,6833 \text{ m.}$

FILE 7

Potier	N	M	e_0	$f_{\bar{e}_0}^{(m)}$	$M_b^{(k.m)}$	M_r	A'_1	A_1	A'	A
7-15	4,023	9,494	2,359	2,559	10,29	45,417	-	9,88	-	4,929
15-23	7,49	16,554	2,21	2,41	18,052	45,417	-	18,56	-	8,78
23-31	11,96	24,173	1,77	1,97	23,565	45,417	-	18,97	-	2,847
31-39	16,46	25,964	1,57	1,77	29,25	45,417	-	17,05	-	13,63
39-47	19,77	26,882	1,359	1,559	30,862	45,417	-	18,56	-	13,85
47-55	22,83	29,554	1,29	1,49	34,12	45,417	-	20,65	-	15,21
55-63	25,831	42,57	1,64	1,89	48,8	79,15	-	23,9	-	17,74

Probable élément de Percentage Maximum d'Armatures.

Poteau	$\bar{\delta}'_b$	N (t)	Y, cm	θ_1	θ_2	θ_3	A
7-15	205,5	5,82	19,047	1	2,11	1,52	0,05
15-23	205,5	12,05	19,047	1	2,11	1,52	1,14
23-31	205,5	18,25	19,047	1	2,11	1,52	1,73
31-39	205,5	24,717	19,047	1	2,11	1,52	2,34
39-47	205,5	31,147	19,047	1	2,11	1,52	2,95
47-55	205,5	37,877	19,047	1	2,11	1,52	3,59
55-63	205,5	44,679	23,28	1	1,97	1,52	3,84

Probable récapitulatif du Ferrailage Adopté.

Poteau	7-15	15-23	23-31	31-39	39-47	47-55	55-63
$4' \text{ cm}^2$	-	-	-	-	-	-	-
$4' \text{ cm}^2$	5,733	10,24	13,07	16,33	16,04	17,89	20,25
$4' \text{ adopté}$	4T16	4T20	5T20	6T20	6T20	6T20	7T20
$4' \text{ adopté}_{\text{corr}}$	4T16	4T20	5T20	6T20	6T20	6T20	7T20

Remarque : Les sections des poteaux (cise et intérieur) fixées définitivement dans le préalablemement énoncé en suspentes vis-à-vis des entrainements dans le béton ; En outre les recommandations de l'Art. 4431 & PA 81, limitent la quantité maximale des Aciers dans le poteau 5% de la section de celui-ci.
 L'ancien Afin de rester dans l'affit des Art. Article auquel doivent être chargés les sections des poteaux du R.D.C. à : $\left\{ \begin{array}{l} 70 \times 60 \text{ cm P. intérieur} \\ 50 \times 50 \text{ cm P. cise} \end{array} \right.$

9.7 - Ferrailage Final Adopté pour les Poteaux -
Poteaux Intérieurs -

VII	VI	V	I
• • • 8T16 + 4T16 • • •	• • • 8T20 + 4T20 • • •	• • • 10T20 + 6T20 • • •	
• • • 12T20 + 8T20 • • •	• • • 12T20 + 8T20 • • •	• • • 14T20 + 10T20 • • •	
			18T20 + 90T20 • • •

- Poteaux de Drivé -

VII	VI	V	I
• • • 8T16 + 4T16 • • •	• • • 8T16 + 4T16 • • •	• • • 8T20 + 4T20 • • •	
• • • 8T20 + 4T20 • • •	• • • 10T20 + 6T20 • • •	• • • 16T20 .. + 8T20 .. • • •	

3.8 VÉRIFICATION DES CONTRAINTES.

Pour la vérification des contraintes on a utilisé le résultat obtenu par les tableaux des aides-mémoires "Ondron" du Professeur Armé. on a les données : $N, M, b, h_T, A = A'$.

on calcule les constantes :

$$K_c = \frac{N}{M} \cdot \frac{h_T}{b h_T}, \quad \tilde{w} = \frac{100 A}{b h_T^2} = \frac{100 A'}{b \cdot h_T^2}$$

Et à partir des tableaux, on détermine les valeurs K_b, K qui donnent les contraintes par la relation suivante :

$$\sigma_b' = \frac{1}{K_b} \frac{M}{b h_T^2}, \quad \sigma_a = K \cdot \sigma_b'.$$

3.8.1. - Plateau Intermédiaire - sens transversal.

	3-8	8-13	13-18	18-23	23-28	28-33	33-38
M	15,07	23,14	20,47	33,15	34,18	40,61	64,55
N	8,24	11,86	12,06	9,55	8,15	-9,93	-5,01
K_c	0,3228	0,3036	0,248	0,172	0,1018	-0,0044	-0,054
\tilde{w}	0,263	0,4966	0,5233	0,628	0,628	0,733	0,673
K_b	0,10	0,13	0,14	0,15	0,16	0,10	0,14
K	43	300	33	30	21	20	31
σ_b'	85,33	80,38	116,94	122,44	118,02	125,33	129,15
σ_a	36,91,7	39,86,66	38,58,16	38,83,83	38,89,86	38,60,18	40,03,7

B. B. 2 - Sens longitudinal

	7-15	15-23	23-31	31-39	39-47	47-55	55-63
M	11,204	10,852	25,295	31,693	32,24	36,46	51,08
N	5,92	12,95	19,26	24,71	31,11	37,977	44,679
K _c	0,2637	0,30084	0,3558	0,3911	0,483	0,53422	0,5248
W	0,268	0,41666	0,5263	0,626	0,627	0,628	0,5285
K	44,5	34	30	26	26	24	27,5
K _b	0,10	0,135	0,19	0,166	0,185	0,165	0,14
S _b '	74,69	96,034	120	135	138	152,47	144,78
S _a	3823,7	3833,19	3624,96	3582,98	3466,66	3658,35	3981,67

- Vérification de l'entraînement -

B. B. 3 - Poteaux de rivière -

	5-10	10-15	15-20	20-25	25-30	30-35	35-40
M	9,59	11,871	14,102	19,52	20,71	22,34	23,78
N	10,04	25,47	46,08	71,61	89,48	130,26	158,04
K _c	0,532	0,649	1,316	1,467	1,92	2,332	3,32
W	0,5026	0,5026	0,785	0,785	0,981	0,945	1,005
K _b	0,14	0,14	0,16	0,16	0,17	0,17	0,15
K	27	23	14,5	12,9	9,8	6,4	3
S _b '	84,47	174,5	199,59	190,6	190,87	20,5	126,02
S _a	2261,73	4012,65	2580,86	2459,06	1484,72	1314,11	860,48

5.10. Structures Léanantes dans les Petrus :

Recommandations du RPA 81:

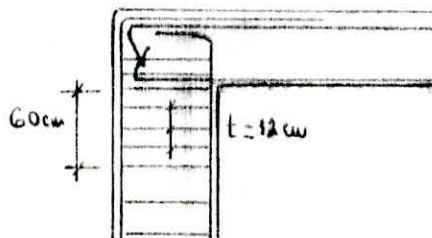
- Dans la zone ordale : $t \leq \min(10\phi_L, 15\text{cm})$, où ϕ_L étant la valeur du plus petit diamètre des aciers longitudinaux, pour nudité cas : $\phi_L = 16 \text{ mm}$.
soit $t = 12 \text{ cm}$.

- Dans la zone émanante :

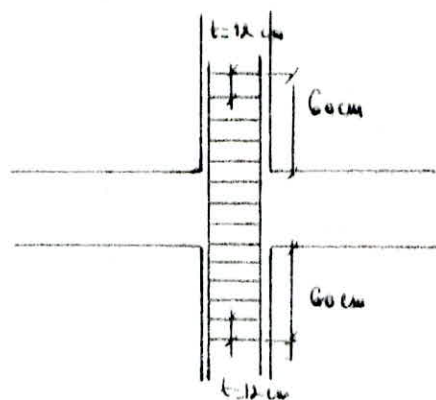
$t' \leq 12 \phi_L$, $\phi_L = 16 \text{ mm} \rightarrow t' \leq 19,2 \text{ cm}$
en prenant $t' = 16 \text{ cm}$.

$$h' = \max(h_2, b_1, h_1, 60a) = 60 \text{ cm}$$

Niveau terrasse :



Niveau étage journal :



9.11. Vérification à l'effort tranchant:

Art. 4.2.1.1 DPA 81., la résistance à l'effet tranchant
est établie avec:

$T = 2$ fois l'effet tranchant du calcul n° l'élanement dans
la direction longitudinale et inférieur ou égal à 15.

= 3 fois l'effet tranchant du calcul n° l'élanement dans la
direction longitudinale et inférieur à 15.

- Sans poinçonnage -

NIV	L_c (cm)	$i = \sqrt{\frac{E}{P_s}}$	$\lambda = \frac{L_c}{i}$	T calculé	$T = \begin{cases} \frac{1}{2} T_{cal} \\ \frac{3}{2} T_{cal} \end{cases}$	$C_b = \frac{T}{b \cdot z}$	$C_b = 0,15 C_2'$
II	224	17,82	12,923	8,7	20,1	6,35	41,25
II	224	17,32	12,933	12,57	37,71	22,179	41,25
I	224	17,32	12,933	17,75	63,17	22,178	41,25
II	224	17,82	12,923	21,82	65,19	27,29	41,25
III	224	17,82	12,923	24,05	74,65	30,98	41,25
II	224	17,32	12,933	26,07	80,61	33,5	41,25
I	224	20,2	11,089	28,82	86,46	45,33	41,25

- Sans poinçonnage -

NIV	L_c	$i = \sqrt{\frac{E}{P_s}}$	$\lambda = \frac{L_c}{i}$	T calculé	$T = \begin{cases} \frac{1}{2} T_{cal} \\ \frac{3}{2} T_{cal} \end{cases}$	$C_b = \frac{T}{b \cdot z}$	$C_b = 0,15 C_2'$
II	224	14,43	15,52	4,6	9,2	3,99	41,25
II	224	14,43	15,52	6,769	17,17	7,141	41,25
I	224	14,43	15,52	12,22	24,14	10,84	41,25
II	224	14,43	15,52	14,99	29,19	12,87	41,25
III	224	14,43	15,52	19,07	34,94	14,45	41,25
II	224	14,43	15,52	19,69	38,938	15,634	41,25
I	224	17,82	12,92	20,26	40,652	17,067	41,25

CHAPITRE : X

- FONDATIONS -

FONDA TIONS

10.1 Introduction

Le terrain de fondation et un terrain vague recouvert d'un important remblai de tout venant de démolition régulièrement refait.

La base géologique d'Alger situe le terrain sur le complexe métamorphique d'Alger, formation englobant toute la région de Bougargoub et la partie ouest de la ville d'Alger.

10.2 Connaissance du site

10.2.1 - Investigation de reconnaissance :

En raison de la nature du terrain le L.N.T.P.B

a réalisé les travaux de reconnaissance suivants :

- Exécution d'un sondage laotté de 16,5 m de profondeur pour déterminer l'épaisseur du remblai et la recherche du substratum.
- Exécution de 6 pénétromètres dynamiques pour estimer la résistance des remblais.

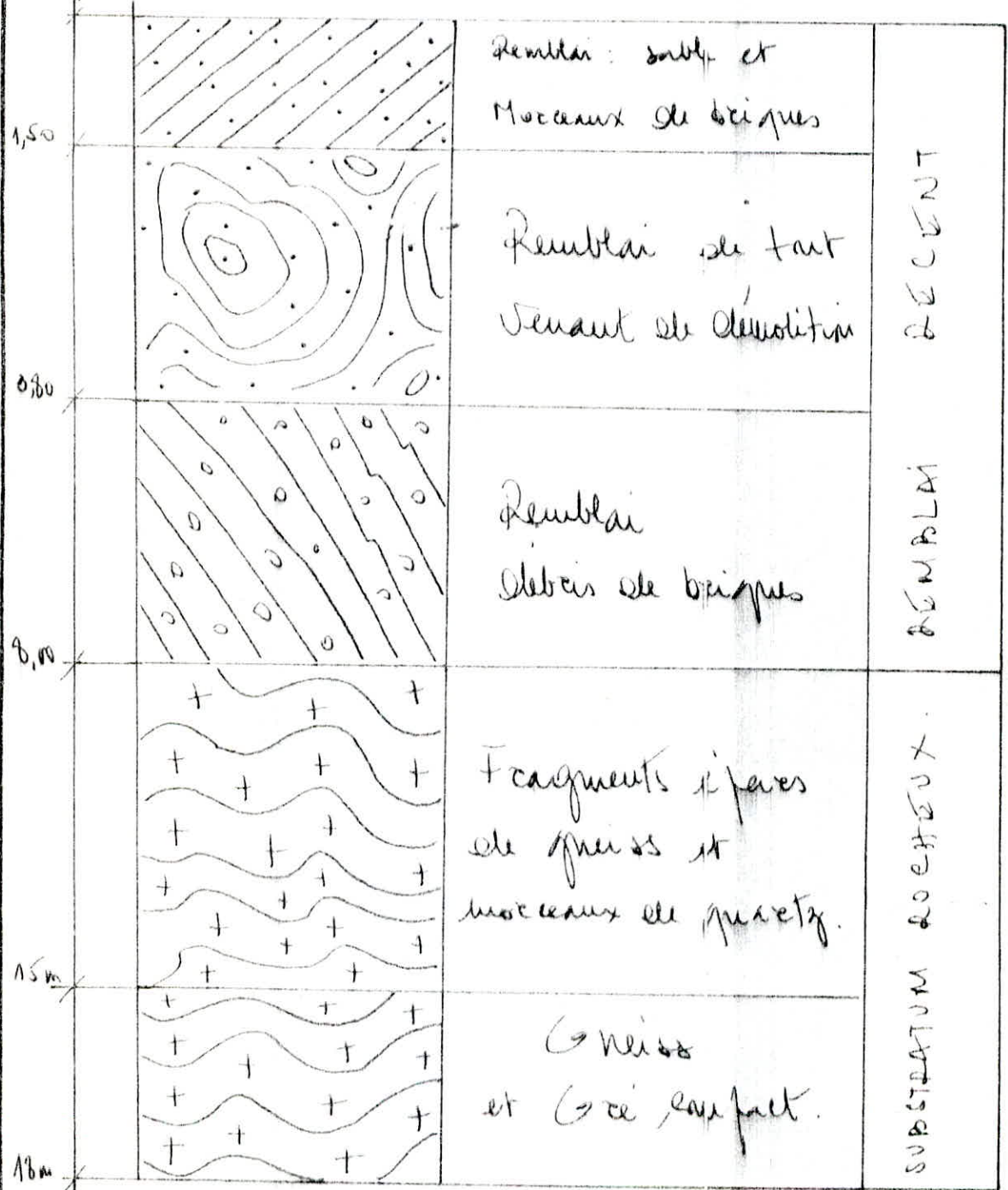
10.2.2 - Interprétation des reconnaissances :

- Sondage laotté : l'exécution d'un sondage laotté nous a permis de déterminer la nature du remblai qui paraît très lâche et hétérogène : Matériaux de tout secours de démolition tel que : morceaux de briques, bloc de calcaire, brique ... A l'endroit du sondage l'épaisseur

du remblai et du feu, au delà commence le substratum.
Coches, d'abord par des fragments épais de grès et des
morceaux de grès et ce jusqu'à 15m, en pente il devient sain
en dominant des caillots difficiles à arracher.

La coupe ci-dessous relate le détail du sondage

Prof. [m]



10.2.3. Pénétrométrie dynamique :

des six (6) essais au pénétromètre sur 8 m de profondeur résultant des résistances très faibles sont négligeables.

On voit qu'à partir de 8 m que la résistance à la pénétration augmente au détriment du refus, exception faite pour le pénétromètre n° 4 où le refus a été observé à 4 m. Ceci s'explique par la présence de gros blocs dans le remblai.

A travers les valeurs obtenues au pénétromètre dynamique, nous pouvons enfin donner le renouvellement en détaillant le profil suivant :

- 0 à 8 m : Remblai lâche et hétérogène.

- A partir de 8 m : Déstockage rocheux.

Nota: Aucun essai au laboratoire n'a pu être effectué en raison de la nature du terrain.

10.3. Fondation de l'Ourcage :

Etant donné la nature hétérogène et la faible résistance du remblai le risque de fondations superficielles sur scories flottantes isolées est à exclure. De plus la conception d'un caisson généralisé est aussi à éliminer car si la portance est assurée, la stabilité n'en sera pas assurée.

En effet le remblai étant plus ou moins soumis aux secousses sismiques pourrait provoquer des affaissements.

Nous pensons alors à l'application des fondations sur pieux forcés, bitumés sur place à l'intérieur d'un socle en métallique prévisible, relevé progressivement

au fur et à mesure du montage ; le fourreau devient nécessaire tenant compte des pertes totales qu'il peut subir au cours des travaux de remise en place.

Les pieux travailleront en pointe sur la roche, dans laquelle ils pénétreraient de $1,5 \pm 2,0$ m.

Pour que dans le cas d'un pieu, l'épargne en pointe n'efface pas la portance latérale, étant donné que le substratum rocheux s'oppose aux traitements des faces supérieures, ces dernières n'occasionnent aucun frottement sur la partie de pointe du pieu.

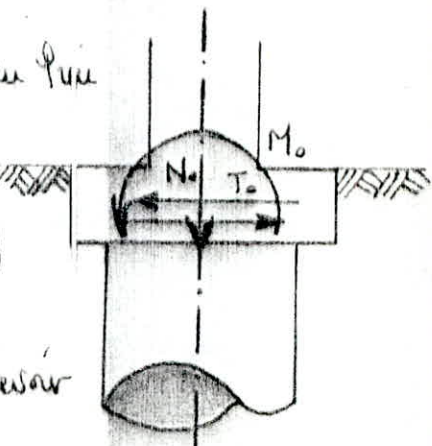
On peut donc calculer la portance du pieu en tenant compte de la section de la pointe. La face portante a été estimée à l'aide de l'essai des penetromètres à 25 bars, et les pieux travailleront à la résistance du béton (50 kg/cm^2).

10.4 • Méthode de calcul des pieux sous les sollicitations de la grue (88 Pa).

La construction est soumise à la base par un effort N normal du sol, un moment de renversement M et un effort horizontal négatif T .

Les éléments de ce calcul en tête du pieu sont les suivants : N_0 , T_0 et M_0 .

Il est aussi à remarquer (voir figure) que le long des deux axes des pieux assez fréquemment il est impossible de concevoir



les boulles, tête des pieux, mais on aurait davantage et en entierement les boulles. Aussi avons-nous décidé de tirer tout les pieux par un ciseaux de Jaugeau et ce sont de chaque pieu installer un pieu.
Ils offraient la présence des noeuds qui renforçaient notre infrastructure.

Pendant de cela le pieu sera calculé comme étant une tige reposant sur appuis élastiques.

Si les efforts N_0 , T_0 et M_0 le pieu résiste en flétrissant élastiquement en se déplaçant en tête, ce qui provoque une réaction R_0 du sol proportionnelle à y au déplacement, soit : $q = -c_1 y \quad (1)$

q : coefficient de réaction du sol (kg/cm^2).

q : réaction latérale du sol (kg/cm^2).

y : déplacement, correspondant en cm.

Des caractéristiques d'un élément flexible

sont : il peut s'exprimer mathématiquement

à l'aide de l'équation différentielle du 4^e ordre :

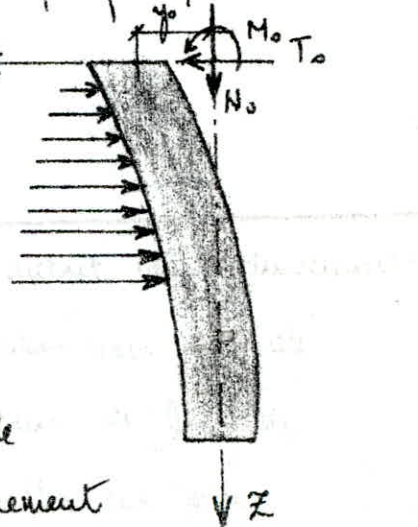
$$EI \frac{d^4y}{dz^4} + c_1 y = 0 \quad (2)$$

I : moment d'inertie du pieu

S : surface de la section

c_1 : constante d'élasticité du matériau.

La résolution de cette équation met en évidence un coefficient



instant appelé longueur de transfert $l_0 = \sqrt{\frac{4EI}{c \cdot b}}$ (3)

peut-on constater que la partie du prie située à la profondeur $Z > 3l_0$ n'est quasiment pas soumise à la flexion due à l'effet horizontal en tête et au moment de flexion, le déplacement étant à peu près nul.

Or, les pries peuvent se présenter selon la longueur L du prie.

- si $\frac{l_0}{L} < L < 3l_0$: le comportement du prie est complexe car celui-ci est à la fois élastique et de longueur finie.
- $L < \frac{l_0}{3}$: le prie a un comportement rigide, les calculs relient directement des équations de la statique.
- $L > 3l_0$: ce qui est le cas fréquent, le prie peut être considéré suffisamment long et élastique.

La solution générale de l'équation (2) s'écrit :

$$y(z) = l \cdot \left(a_1 \cos \frac{z}{l_0} + a_2 \sin \frac{z}{l_0} \right) + l^2 \cdot \left(a_3 \cos \frac{z}{l_0} + a_4 \sin \frac{z}{l_0} \right) \quad (4)$$

où a_1, a_2, a_3 et a_4 sont des constantes dépendantes des conditions aux limites.

Le moment à la tête Z est obtenu en faisant la différence du moment du à l'effet horizontal T_0

$$\text{soit } M_1(y) = T_0 \cdot l_0 \cdot l^2 \cdot \sin \frac{Z}{l_0} \quad (5)$$

et le moment du à M_0 :

$$M_2(y) = M_0 \cdot l^2 \cdot \left(\sin \frac{Z}{l_0} + \cos \frac{Z}{l_0} \right) \quad (6)$$

Si un mouvement fléchissant est donné par la rotation,

$$M(z) = T_0 \cdot l_0 \cdot e^{-\frac{z}{l_0}} \sin \frac{z}{l_0} + M_0 e^{-\frac{z}{l_0}} \left(\sin \frac{z}{l_0} + \cos \frac{z}{l_0} \right) \quad (7)$$

et l'effort tranchant :

$$T(z) = \frac{dM(z)}{dz} \quad \text{où} \quad T(z) = T_0 e^{-\frac{z}{l_0}} \left(\cos \frac{z}{l_0} - \sin \frac{z}{l_0} \right) - \frac{2M_0}{l_0} e^{-\frac{z}{l_0}} \sin \frac{z}{l_0}$$

et l'effort normal :

$$N(z) = N_0 + \frac{\pi D^2}{4} \cdot \tau z \quad (8), \quad \frac{\pi D^2}{4} \cdot \tau z : \text{friction du pôle},$$

Le moment maximum se situe à la tête $z=0$ d'effort tranchant nul.

$$\text{Or } T(z) = 0 \rightarrow \cos \frac{z}{l_0} = \left(1 + \frac{2M_0}{T_0 \cdot l_0} \right) \cdot \sin \frac{z}{l_0}$$

$$\text{On trouve } \tan \frac{z}{l_0} = \frac{1}{1 + \frac{2M_0}{T_0 \cdot l_0}}$$

d'où la tête z recherchée est :

$$z = l_0 \arctan \frac{1}{1 + \frac{2M_0}{T_0 \cdot l_0}} \quad (10).$$

Notons les déplacements :

$$y(z) = \frac{2T_0}{l_0 \cdot b} \cdot e^{-\frac{z}{l_0}} \cdot \cos \frac{z}{l_0} \quad (11)$$

qui sous l'effet de l'effort horizontal T_0 .

- déplacement du moment M_0 :

$$y(z)_{M_0} = \frac{2M_0}{l_0^2 \cdot b \cdot c} \cdot e^{-\frac{z}{l_0}} \cdot \left(\cos \frac{z}{l_0} - \sin \frac{z}{l_0} \right) \quad (12)$$

sous l'action combinée de T_0 et M_0 . Le déplacement résultant au pôle

$$y_0(l_0 M_0) = \frac{2}{l_0 \cdot b \cdot c} \cdot \left(T_0 + \frac{M_0}{l_0} \right) \quad (13)$$

10.5. Exemple de calcul :

- Calcul du diamètre du poteau :

La charge verticale maximale est $N = 170 \text{ t}$ et la résistance à la pointe est de 25 bars, la section du poteau s'obtient de telle manière à vérifier l'équation : $R \geq \frac{N}{A_p}$ pour que la section du poteau puisse supporter la charge N sous l'effet de la pointe.

$$\text{d'où} : A_p \geq \frac{N}{R} = \frac{170 \cdot 10^3}{25} = 6800 \text{ cm}^2.$$

$$B \geq \sqrt{\frac{4A_p}{\pi}} = 93 \text{ cm}.$$

on obtient pour 2 types de poteau :

$$\left\{ \begin{array}{l} \text{Poteau intérieur} : B = 100 \text{ cm} \\ \text{Poteau extérieur} : B = 80 \text{ cm}. \end{array} \right.$$

Nota : le calcul du poteau se fera sous SP_2 car sous la sollicitation SP_1 les poteaux n'ont pas besoin d'armatures.

10.5.1 - Calcul du poteau sous SP_2 : sous transversal.

les efforts sollicitant le poteau sont : $\left\{ \begin{array}{l} N_o = 105,00 \text{ t}, M_o = 77,88 \text{ tm} \\ T_o = 28,87 \text{ t} \end{array} \right.$

car ne existe que du poteau :

$$I = \frac{\pi b^4}{64} = \frac{\pi \cdot 1,0^4}{64} = 0,049 \text{ m}^4.$$

Largeur de l'enfoncement :

$$l_o = \sqrt{\frac{4EI}{c \cdot b}}, \quad \text{où } c \text{ (coeff. de réaction du sol) et} \\ \text{épaisseur des fondations, en fonction de la nature du sol.}$$

Pour notre cas: $c = 389 \text{ kg/cm}^2$

b': longeur apparente du poteau pour une section équivalente:

$$b' = 1,5b$$

$$\text{et enfin } c = 389,48 \cdot 10^3 \text{ kg/cm}^2,$$

$$\text{donc: } l_0 = \sqrt{\frac{1 \times 389,48 \times 10^3 \times 4,0 \cdot 10^6}{0 \times 150}} = 2,72 \text{ m.}$$

On remarque que la longueur du poteau $l = 10 \text{ m} > 3 \times 2,72 = 8,16 \text{ m}$
donc le poteau sera considéré comme parfaitement rigide et
élastique, et l'hypothèse de fonctionnement du poteau comme
une partie d'un appui élastique est vérifiée.
L'allure des efforts maximums dans le poteau.

Le moment max est donné par:

$$Z = 2,72 A c t_0 \frac{1}{1 + 2 \cdot \frac{26,87}{2,72 \times 26,87}} = 0,843 \text{ m}$$

et le moment max: $M_{\max} = T_0 \cdot f_0 \cdot c_1$

$$\text{avec } c_1 = e^{-\frac{2}{\beta} \left(\sin \frac{k}{l_0} + \frac{H_0}{l_0} \left(\sin \frac{k}{l_0} + \cos \frac{k}{l_0} \right) \right)}$$

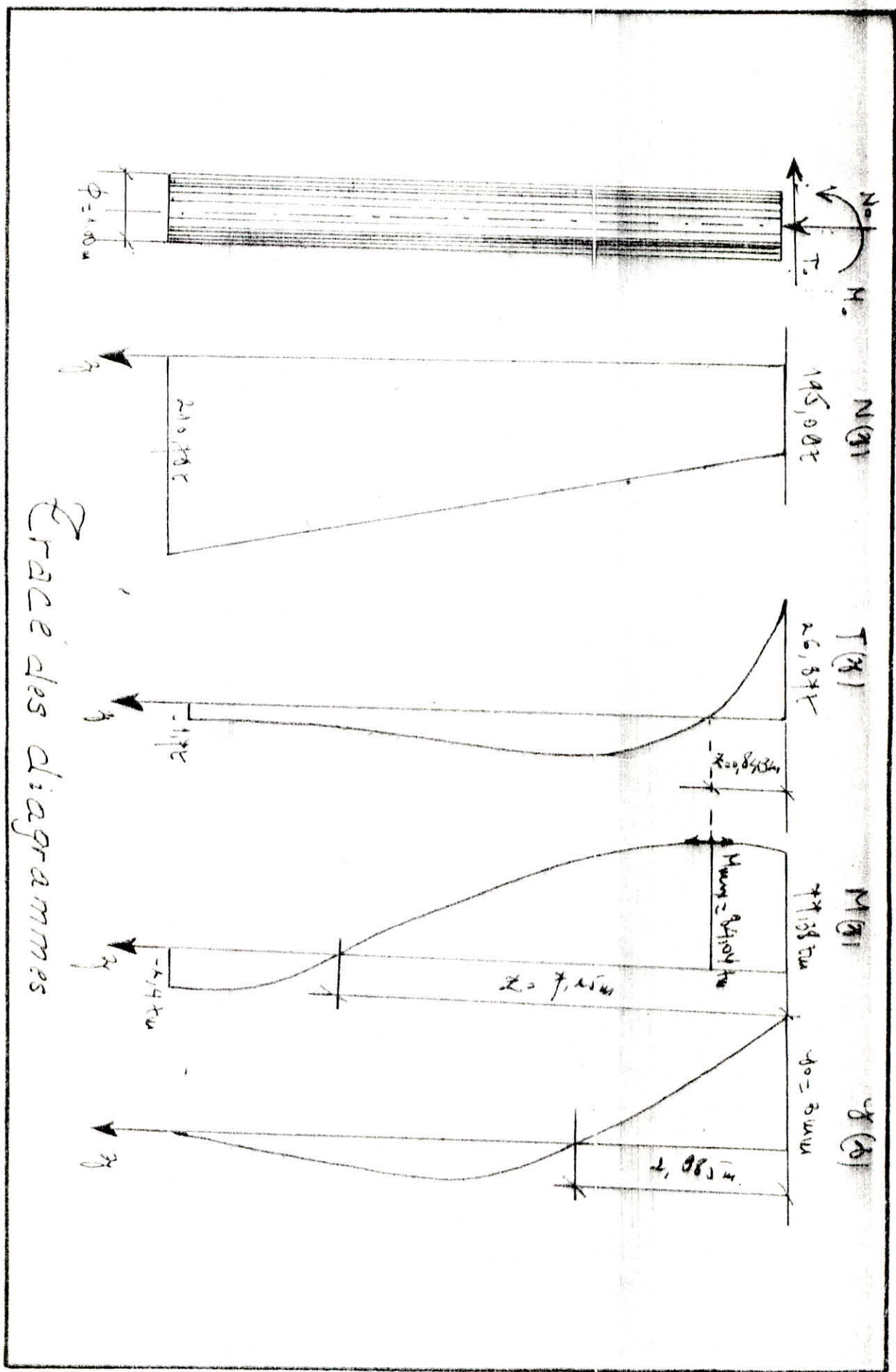
le coefficient est donné par les abaqes en fonction de $\beta = \frac{M_0}{T_0 \cdot l_0}$

$$\text{pour } \beta = \frac{77,87}{26,87 \times 2,72} = 1,05 \rightarrow c_1 = 1,15$$

$$\text{Donc } M_{\max} = 26,87 \times 2,72 \times 1,15 = 84,047 \text{ m.}$$

et le déplacement en tête est égal à:

$$y = \frac{l}{2,72 \times 0 \times 150} \left(26,870 + \frac{77,87 \cdot 10^5}{2,72} \right) = 8 \text{ mm.}$$



Remarque :

On remarque que la partie supérieure des pieux est partiellement superficielle : $\alpha_p = \frac{D}{f} = 0,75 \leq \frac{M}{N} = 0,427$ par contre la partie inférieure est entièrement superficielle et elle le fait en calculera les armatures des pieux à partir des effets de la section partiellement superficielle et on vérifiera les sections entièrement superficielle.

Ainsi le pieu se calcule à la flexion superficielle sans

$$M_{\text{max}} = 84,04 \text{ tm} \quad \text{et} \quad N^{\text{cor}} = 196,74 \text{ t.}$$

- Calcul des contraintes admissibles :

la contrainte des pieux à la compression est donnée par le rapport des sols : $\bar{\sigma}_{b_0}' = 50 \text{ kg/cm}^2$ dans SP₂ ; $\bar{\sigma}_{b_0}' = 75 \text{ kg/cm}^2$.

En flexion superficielle pour une section circulaire on a :

$$\left. \begin{array}{l} \sigma_0 \leq 0,375 D \\ e_0 \geq 0,375 D \end{array} \right\} \Rightarrow \begin{array}{l} \sigma = 0,5 \left(1 + \frac{2,667 \cdot e_0}{D} \right) \\ \sigma = 0,6 \end{array}$$

$$\text{Dans notre cas } \sigma_0 = \frac{M}{N} = \frac{84,04}{196,74} = 0,427 > 0,375 \times 1 \text{ soit } \sigma = 0,6$$

voici la contrainte admissible du béton SP₂ : $\bar{\sigma}_b' = 150 \text{ kg/cm}^2$

- Porrailage des pieux :

de ce moment résistant du béton d'une section circulaire

$$\text{on obtient : } M_{AB} = \bar{\sigma}_b' \cdot \frac{\pi}{4} \cdot 150 \cdot \pi \cdot \frac{100^3}{32} = 147,26 \text{ tm.}$$

$$M_{AB} > M_{\text{ext.}}$$

10.5 Calcul du pieu sous σ_{P_1} :

$$Q = 170t + 19,6 = 199,6 \text{ t}$$

$$w_l = \frac{A}{B} = \frac{1,20}{1000} \cdot \theta_1 \cdot \theta_2 \cdot \theta_3 \cdot \frac{5 \text{ m}}{6,60} =$$

$$\theta_1 = 1, \text{ pieu intermédiaire}$$

$$\theta_2 = 1 + \frac{l_c}{4a - l_c} = 1 + \frac{0,9 \times 100}{4 \times 100 - 2 \times 5} = 0,90$$

$$\theta_3 = 1 + \frac{2,160}{4,200} = 1,51$$

$$A_{min} = \frac{1,25 \times 1 \times 3,200 \times 1,51 \times 199,600}{1000 \times 50} = 23,62 \text{ cm}^2$$

$$A_1 = \frac{1}{15} \left[\frac{199,600}{50} - \frac{3,14 \cdot 10^4}{4} \right] = -210,70 < 0$$

Dans σ_{P_1} , le pieu n'a pas besoin d'être ferraillé, la section du béton résiste toute seule, mais le règlement exige quand même de prendre $A_{min} = 23,62 \text{ cm}^2$.

Tous les pieux intermédiaires sont ferraillés dans σ_{P_2} .

- Pieu de type $\phi 80 \text{ cm}$.

$$I = \frac{\pi D^4}{64} = 0,02 \text{ m}^4$$

$$\text{longueur élastique: } l_e = \sqrt{\frac{t \times 3,81 \cdot 48,10^3 \times 2 \cdot 1,6}{0 \times 120}} = 2,3 \text{ m}$$

$$l_1 = 0,1 \text{ m} , \quad \frac{J}{l_1} = 0,10$$

Pour le calcul du renforcement d'une section circulaire partiellement enfoncée on utilise les tableaux donnés par l'Institut suisse (SINOS) dont les données sont : N , M , r , δ_a
au calcul les constantes :

$$\alpha_e = \frac{N \cdot r}{M}, \quad \alpha_a = \frac{M}{r^3 \cdot \delta_a}$$

$$\text{d'où } \alpha_e = \frac{196,74 \times 0,5}{64,04} = 1,17, \quad \alpha_a = \frac{64,04 \cdot 10^5}{16^6 (0,5)^3 \cdot 4200} = 0,016$$

A partir des tableaux on déduit les valeurs : w_0 , k .

$$\text{on a : } w_0 = 0,18 \text{ et } k_0 = 23.$$

et la section d'armature est donnée par :

$$A = \frac{w_0 \cdot \pi \cdot r^2}{100} = \frac{0,18 \cdot \pi \cdot 50^2}{100} = 14,92 \text{ cm}^2$$

Pour la partie inférieure du poin à la section du poin et extérieurement au poin effectuera une vérification des conditions : $\delta_b' = \frac{N}{A} + \frac{M}{I} \cdot r$

Cette partie correspondra à peu près à $x_f = 1,61 \text{ m}$, on a avec
 $M = 25,6 \text{ t.m}$ et $N = 204,14 \text{ t}$

$$\text{alors } \frac{M}{N} = 0,125 = e_f = \frac{f}{g}$$

$$\text{d'où } \delta_b' = \frac{204,14 \cdot 10^3}{2,14 \cdot 50^2} + \frac{25,6 \cdot 10^5 \cdot 64,50}{2,14 \cdot 10^4} = 52,067 \text{ t/m}^2 < \delta_b'$$

On remarque bien que la condition sur beton dans les

sections entièrement saupoudrées. Si le filtre et le béton rendent seul, mais pour des raisons de sécurité, on ajoute le renfort étiré pour la section partiellement saupoudrée.

10.6. Ferrailage des Piliers :

10.6.1 - Pilier Intermédiaire : L'ablation du ferrailage

$$e_i = 0,125 \text{ m}$$

	Effort à la base du poteau	Efforts max dans le piliers	e_o	$k_e = \frac{N_{er}}{M}$	$\frac{M}{k_e r^3 \sigma_a}$	$\tilde{\omega} \%$	$A = \frac{\pi D^2 r^2}{400}$
Sens transversal	$N_y^{\text{max}} = 195,09$	$N_y = 196,74$					
	$M_y^{\text{cor}} = 77,38 t_m$	$M_y = 84,04$	0,427	1,17	0,8168	0,19	14,922
	$T_y = 26,87$	$T_y = 26,87$					
	$N_y^{\text{min}} = -5,01$	$N_y = -3,156$					
	$M_y^{\text{cor}} = 64,48$	$M_y = 76,74$	24,31	0,041	0,0153	0,9	70,68
	$T_y = 26,87$	$T_y = 26,87$					
Sens longitudinal	$N_x^{\text{var}} = 78,164$	$N_u = 79,83$					
	$M_u^{\text{cor}} = 53,018$	$M_u = 61,08$	0,765	0,653	0,0116	0,32	25,182
	$T_u = 19,7$	$T_u = 19,7$					
	$N_u^{\text{mi}} = 5,55$	$N_u = 7,2$					
	$M_u^{\text{cor}} = 53,018$	$M_u = 61,08$	8,48	0,0589	0,011	0,56	43,98
	$T_u = 19,7$	$T_u = 19,7$					

Remarque : On obtient par M_x, N_x, T_x les efforts dans le sens longitudinal et par M_y, N_y, T_y les efforts dans le sens transversal. Des piliers sont renforcés par le ferrailage minimum donné dans SP2 $A = 70,87 \text{ et } 80,37 \text{ JT32}$ ($A = 72,38 \text{ cm}^2$)

10.62 Gabarre de feuillage : Puis de rive

$$e_1 = 0,1m$$

	Effort à la base du poteau	Effort max dans le pieu	e_o	$K_s = \frac{N_f}{M}$	$K = \frac{M}{a^2 r^3 \sigma_a}$	$w\%$	$A = \frac{\omega \pi r^2}{100}$
Sens transversal	$N_y^{max} = 158,04$	$N_y = 158,915$					
	$M_y^{cor} = 23,78$	$M_y = 26,83$	0,168	8,369	0,0104	-	-
	$T_y = 9,41$	$T_y = 9,41$					
	$N_y^{min} = 1,01$	$N_y = 1,246$					
Sens longitudinal	$M_y^{cor} = 17,024$	$M_y = 19,228$	15,43	0,0259	0,007	0,4	20,106
	$T_y = 7,6$	$T_y = 7,6$					
	$N_x^{max} = 102,67$	$N_u = 102,89$					
	$M_u^{cor} = 19,9$	$M_u = 22,45$	0,218	1,833	0,008	-	-
	$T_u = 8,137$	$T_u = 8,137$					
	$N_x^{min} = -27,558$	$N_u = -27,31$					
	$M_u^{cor} = 15,8$	$M_u = 18,45$	0,67	0,592	0,0072	0,28	11,86
	$T_u = 7,64$	$T_u = 7,64$					

Gabarre en béton pour les pieux de rive, le feuillage minimum admis par le D.T.O soit $A_s = 0,5 \times \pi \cdot 10^2 = 25,139$
 dont $6725 = 29,45 \text{ cm}^2$.

10.63 - Effet de genoupe :

les pieux sont placés à une distance égale avec elle 3,60m

$$d = 3,60 \text{ m} > \frac{1}{2} L = \frac{1}{2} \cdot 10 = 5 \text{ m}$$

Il n'y aura donc pas d'effet de genoupe à condition du fait que les pieux sont suffisamment éloignés l'un de l'autre.

10.64 - Vérification de la pression en tête des pieux :

La charge de fluage du pieu est la pression, au-delà de laquelle de grands déplacements sont à craindre ; elle est définie par :

$P_c = \frac{Q_p}{l}$, où Q_p est la pression limite, trouvée lors d'un essai pessostatique dans autre cas : $10 \leq Q_p \leq 20$ bars.

sont la charge de fluage : $\sqrt{5} Q_c \leq 10$ bars.

Par définition elle est élastique pour un déplacement y du pieu vers le sol, le sol fournit en réaction la pression horizontale suivante : $P_H = C_y y$, le déplacement a été calculé, il faut $y_{max} = 3 \text{ mm}$, et on : $P_H = 8 \times 0,3 = 2,4 \text{ kg/cm}^2$.

Pour que le sol fournit les réactions latérales en tête des pieux, il faut vérifier que : $P_H \leq P_{cmax}$

$$\text{or } \frac{8y_{max}}{l} \leq P_{cmax} \leq 10 \text{ kg/cm}^2 \quad \text{Vérifié}$$

En conclusion nous pouvons dire que la nature du sol en tête des pieux permet de mobiliser les réactions latérales pieu en compte dans l'hypothèse de fonctionnement du pieu comme une piste sur appuis gantés élastique.

10.65 - Distances des disjoncteurs :

L'effort tranchant Maximum à l'âme en tête du pieu

et donc $T_{max} = 26,87 t$

En assimilant le pieu à une section homogène e.a.d pour traction dans une partie du béton, la contrainte de cisaillement maximale vaudra:

$$\tau_b = \frac{t}{3} \cdot \frac{T}{S} = \frac{t}{3} \cdot \frac{26,87 \cdot 10^3}{4163,48} = 4,5 \text{ kg/cm}^2.$$

et après l'Article 25.12 du CCPA 68 et $\sigma_b^2 \leq \bar{\sigma}_b$.

$$\Rightarrow \bar{\sigma}_b = 3,5 \bar{\sigma}_b = 3,5 \times 5,9 = 20,65 \text{ kg/cm}^2.$$

Le cisaillement sur dalle vérifié.

En l'absence des efforts tranchants horizontaux peuvent passer de la dalle au pieu, et du pieu au sol par la section du pieu et suffisante

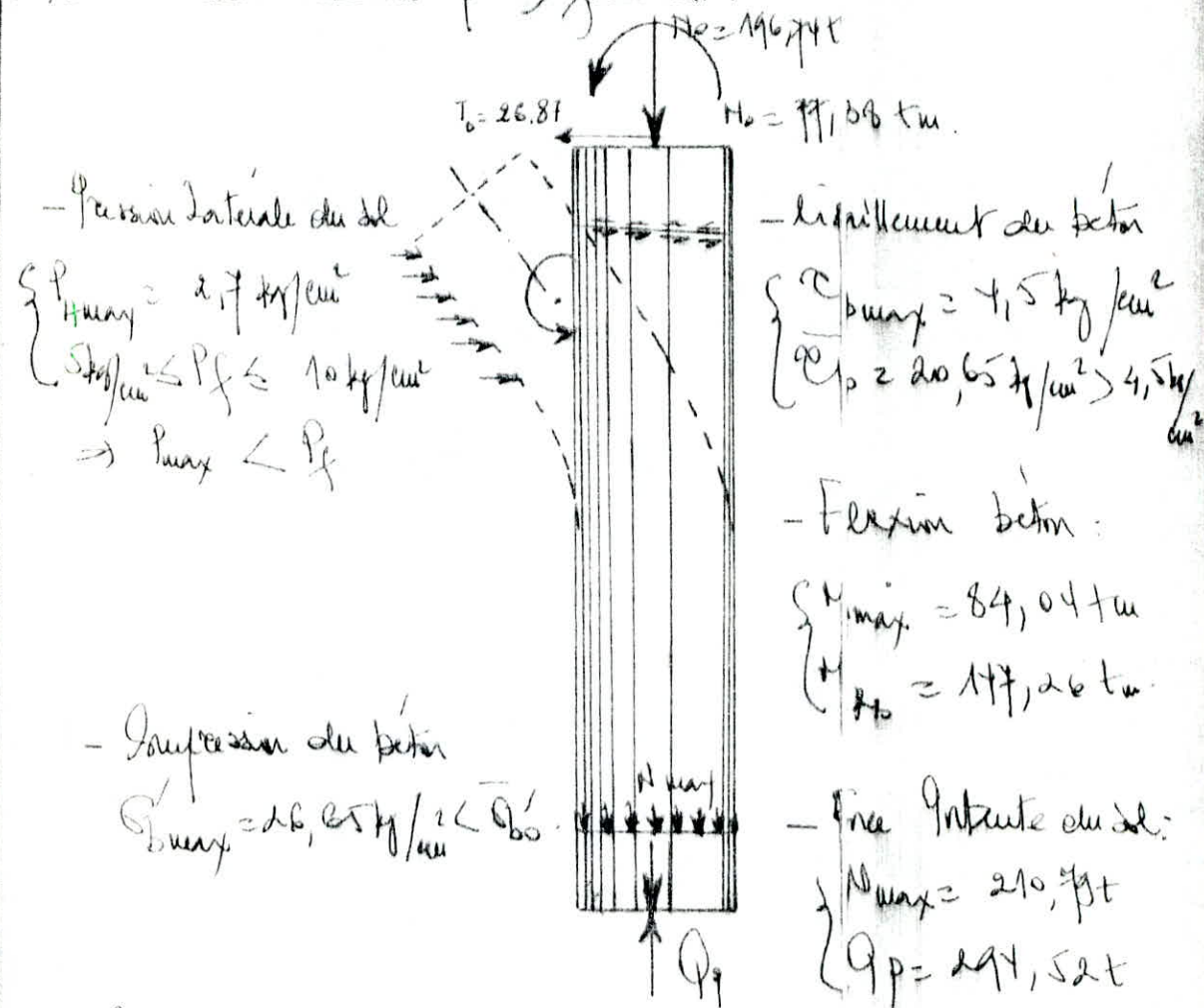
- Configuration maximale simple au pied du pieu :

$$N = 209,318 t, M = 0$$

et la contrainte du béton dans le pieu sera:

$$\sigma_b' = \frac{N}{S} = \frac{209,318 \cdot 10^3}{\pi \times 50^2} = 16,65 \text{ kg/cm}^2.$$

10.7 - Conclusion générale pour la fondation :



- Conclusion :

La stabilité et la résistance de la fondation sont dans l'ensemble assurées.

10.8 - Avis des experts :

Spire hélicoïdale en T12, $\phi_{\text{effter}} = 15 \text{ cm}$

$e = 15 \text{ cm}$ sur les premiers mètres et $e = 20 \text{ cm}$ au dessus.

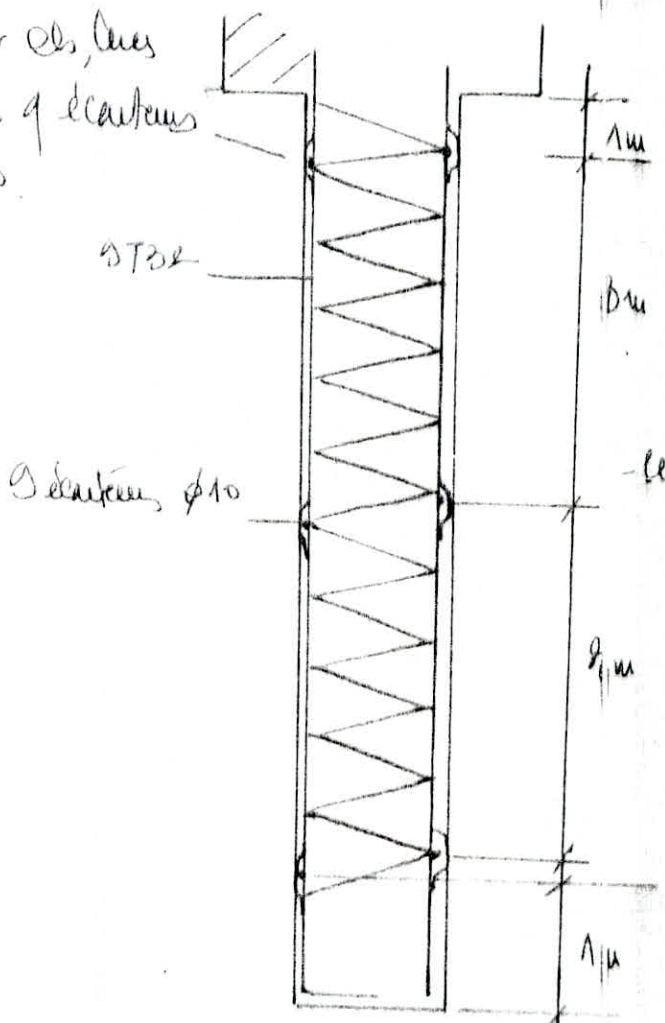
→ 1 ligne circulaire de marquage et de marquetterie en T16 tous les 3 mètres ; et jusqu'au bout des deux des écartées afin de respecter l'entassement des piers dans le sien.

Il faut faire attention à ce que les écartées n'aient pas de décalage entre elles dans le sien.

Aciers transversaux

smalle esp. liaison

Au deçà des deux
cercles d'écarts
en $\phi 10$.

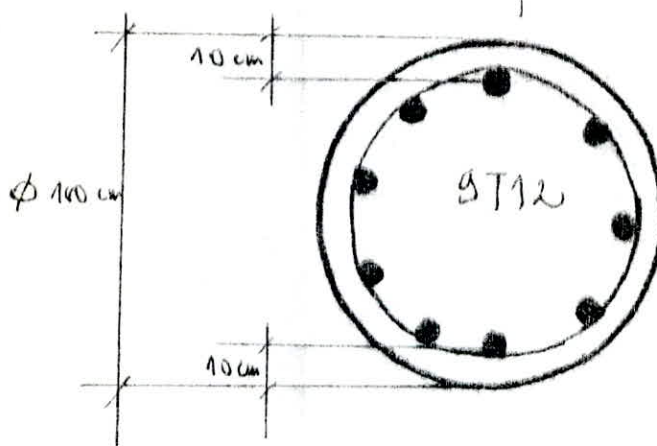


- sur 4m : spires
T12, $\phi = 1.5$ cm

- bars circulaires
T16 $\phi = 3$ cm

- sur 8m, spirales
T12 $\phi = 20$ cm

- Irc en plan sur l'axe



10.9 - Flambement des Pieux :

On ne peut pas empêcher du flambement pour le calcul des pieux ; la butée des pieux est toujours suffisante pour s'y opposer et maintenir latéralement les pieux ce qui limite leur flambement.

10.10 - Fenestrage de la semelle de liaison :

La hauteur minimum de la semelle est égale au diamètre du pieu soit $d = 100 \text{ cm}$, cela pour permettre un accrochement correct des pieux des pieux et des pieux au poteau.

Ainsi la section horizontale de la semelle devrait être au moins égale à la section du poteau. Chargant le pieu d'autant plus, la semelle doit enclencher suffisamment le pieu en étant aussi $l \geq d + 2 \times 0,15$

$$\text{soit : } l = d + 2 \times 0,15 = 1,30 \text{ m.}$$

Chose également aussi, rien n'est nécessaire dans la semelle, l'écartement des pieux de l'isolant directement et sans faire appelle à la poteau au pieu ; comme la section de la semelle est de $1300 \times 130 \text{ cm}$ le béton peut résister à la flexion sans armature.

D'un point de vue un quadrillage en face inférieure de 5 à 8 p.m pour les caissons de sécurité.

10.11 - Calcul des Languines : Art. 42,33

Les languines sont placées au niveau des semelles qu'elles

relient entre elles.

Les longueurs doivent être calculées pour résister à la traction ou à la compression dans l'action d'une force égale à 10% de l'effort normal.

On diminue les longueurs en 30×45 cm. Soumis à $N = 17\text{t}$

en compression :

$$A_L \geq \frac{1}{n} \left(\frac{N^1}{\sigma_b^1} - p_2 \right) = \frac{1}{15} \left(\frac{17 \cdot 10^3}{2800} - \frac{30 \times 45}{1200} \right) < 0$$

En traction :

$$A_L \geq \frac{N}{\sigma_a} = \frac{17 \cdot 10^3}{2800} = 6,07 \text{ cm}^2$$

Vérification de la condition de la fragilité

$$A \geq 0,69 \text{ b.h.} \frac{\sigma_b^1}{\sigma_a} = 0,69 \times 30 \times 40 \times \frac{2,9}{1200} = 1,16 \text{ cm}^2$$

On prendra 4716 ($A = 8,04 \text{ cm}^2$)

Pour la répartition transversale des longueurs, on prendra des fentes ϕ espacées tous les 20 cm.

BIBLIOGRAPHIE.

- Règles Techniques CCPACG.
- Règles Paroisques R.P.A. 81.
- Règles Neige et Vent : N.V 65.
- Bulletin du CTC n° 5.
- Calcul et vérification des ouvrages en P.A. (P. CHARDON)
- cours de béton III. (M. PRÉLAZOUSSI)
- Calcul Pratique des Ouvrages de Ponts en P.A.
(A. FUENTÉS)
- Calcul de Béton Armé Tome 3 et 4 (A. GUERRIN)
- Calcul dynamique des Structures en zone sismique.
(A. CAPRA)
- Fondations Spéciales (Marcel FOYERNI)
- Aide-mémoire de Béton Armé (Y. DAVIDOVICI).

